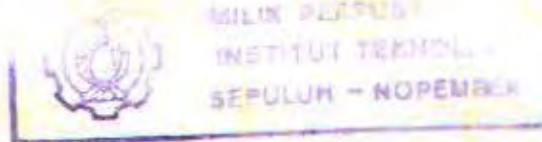


21389 /41/05



MILIK PEGAWAI
INSTITUT TEKNOLOGI
SEPULUH - NOPEMBER

TUGAS AKHIR

MODIFIKASI PERANCANGAN STRUKTUR TOWER GEDUNG PERKANTORAN PT. HALIM SAKTI SURABAYA DENGAN METODA PRACETAK MEMAKAI BUILDING FRAME SYSTEM DAN SHEAR WALL

Oleh :

AGUS SETIABUDI
3101 109 620

RSS

690.523

Set

m - 1

2004



PERPUSTAKAAN ITS	
Tgl. Terima	11-8-2004
Terima Dari	H
No. Agenda Prp.	721171

PROGRAM SARJANA (S-1)
JURUSAN TEKNIK SIPIL
FAKULTAS TEKNIK SIPIL DAN PERENCANAAN
INSTITUT TEKNOLOGI SEPULUH NOPEMBER
SURABAYA
2004

TUGAS AKHIR

MODIFIKASI PERANCANGAN STRUKTUR TOWER GEDUNG PERKANTORAN PT. HALIM SAKTI SURABAYA DENGAN METODA PRACETAK MEMAKAI BUILDING FRAME SYSTEM DAN SHEAR WALL

SURABAYA, JUNI 2004

MENGETAHUI/MENYETUJUI
DOSEN PEMBIMBING



H. Tumantik

Ir. KURDIAN SUPRAPTO, MS
NIP. 130 532 020

PROGRAM SARJANA (S-1)
JURUSAN TEKNIK SIPIL
FAKULTAS TEKNIK SIPIL DAN PERENCANAAN
INSTITUT TEKNOLOGI SEPULUH NOPEMBER
SURABAYA
2004

**MODIFIKASI PERANCANGAN STRUKTUR TOWER
GEDUNG PERKANTORAN PT. HALIM SAKTI SURABAYA
DENGAN METODA PRACETAK MEMAKAI
BUILDING FRAME SYSTEM DAN SHEAR WALL**

Oleh :

Agus Setiabudi

3101.109.620

Dosen Pembimbing :

Ir. Kurdian Suprapto, MS.

ABSTRAK

Metode penyelesaian struktur saat ini makin berkembang dalam usaha memenuhi kebutuhan untuk efisiensi dan efektifitas, dimana masing – masing metode memiliki keunggulan tersendiri. Dalam tugas akhir ini metode pracetak digunakan dengan tujuan kemungkinan digunakananya metode tersebut dalam penyelesaian struktur.

Dalam perancangan Tower Gedung Perkantoran PT. Halim Sakti Surabaya ini, sistem pemodelan struktur yang digunakan adalah Building Frame System, yaitu memanfaatkan pengaku lateral untuk menahan beban lateral seperti gempa sedangkan frame hanya memikul beban vertikal/gravitasi saja.

Perhitungan beban lateral yaitu beban gempa dalam perencanaan ini menggunakan peraturan *UBC 1997*, untuk perhitungan gaya – gaya akibat pengangkatan mengikuti tata cara perhitungan yang ada dalam *PCI Design Handbook*, sedangkan perhitungan tulangan aksial, lentur dan geser elemen pracetak mengikuti ketentuan Tata Cara Perhitungan Struktur Beton Untuk Bangunan Gedung (SK SNI T-15-1991-03).

Tower Gedung Perkantoran PT. Halim Sakti Surabaya terdiri 8 lantai dengan tinggi total 32 m, berfungsi sebagai gedung perkantoran direncanakan pracetak pada elemen balok dan pelat, sedangkan elemen kolom, tangga menggunakan cor setempat

Hasil perencanaan gedung ini dituangkan dalam gambar.

KATA PENGANTAR

Pulji syukur penulis panjatkan kehadirat Allah SWT yang telah memberikan kemampuan sekaligus semangat dalammenyertai dari awal penulisan tugas akhir ini sampai penulis dapat menyelesaikan tugas akhir ini sesuai harapan.

Penulisan tugas akhir ini yang berjudul " Modifikasi Perencanaan Struktur Gedung Tower Perkantoran PT. Halim Sakti Surabaya Dengan Metoda Pracetak Menggunakan Buillding Frame Sistem dan Shear Wall " dibuat sebagai persyaratan utama kelulusan mahasiswa Strata 1 (S-1) sesuai dengan kurikulum yang berlaku di Fakultas Teknik Sipil dan Perencanaan Institut Teknologi Sepuluh Nopember (ITS) Surabaya. Disamping itu, penulisan tugas akhir ini diharapkan mampu menambah sekaligus meningkatkan pengetahuan serta wawasan penulis dalam menyerap ilmu sipil tertama dalam ilmu konstruksi beton pracetak.

Penulis menyadari masih banyak kelemahan serta kekurangan yang dimiliki penulis sehingga saran, pesan, kritikan serta koreksi diharapkan penulis dapat membangun untuk perbaikan selanjutnya.

Dalam penyelesaian tugas akhir ini banyak sekali pihak turut membantu penulis hingga tugas akhir ini dapat terselesaikan. Untuk itu pihak penulis mengucapkan terima kasih sebesar – besarnya kepada :

1. Ibu Prof. Noor Endah, MSc. PhD. selaku Pembantu Rektor ITS.
2. Bapak Ir. Indra Surya B. Mochtar, MSc. PhD. selaku Ketua Jurusan Teknik Sipil FTSP – ITS.
3. Ibu Ir. Ervina Ahyudanari, M. Eng selaku Ketua Program Bidang Studi Teknik Sipil FTSP – ITS.
4. Bapak Ir. Kurdian Suprapto, MS. Selaku Dosen Pembimbing Tugas Akhir
5. Bapak Ir. Chomaedi, CES. GeO selaku DosenWali.
6. Segenap Dosen dan Staf Pengajar Jurusan Teknik Sipil FTSP – ITS.
7. Keluarga di Tuban, Ibu, Bapak, Mbak Ika, Mas Den, Emak yang telah banyak memberikan seangat dan doa serta bantuan dalam penyelesaian tugas akhir ini.

8. Teman – teman, Doni, Polin, Temi, Kris, Arif, teman kosku serta Adikku Unky.
9. Teman – teman dan pihak – pihak lain yang turut membantu penyelesaian tugas akhir ini.

Dengan tersusunnya tugas akhir ini penulis berharap agar dapat memberikan manfaat bagi penulis khususnya dalam menggali ilmu pengetahuan yang semakin berkembang serta untuk Civitas Akademika Teknik Sipil ITS Surabaya.

Surabaya, Juni 2004

Penulis

LEMBAR PENGESAHAN	i
ABSTRAK	ii
KATA PENGANTAR	iii
DAFTAR ISI	iv
BAB I PENDAHULUAN	
1.1 Latar Belakang	
1.2 Maksud dan Tujuan	I - 1
1.3 Lingkup Permasalahan	I - 1
1.4 Batasan Masalah	I - 1
1.5 Tinjauan Pustaka	I - 2
1.6 Metodologi	I - 3
BAB II DASAR PERENCANAAN	
2.1 Umum	II - 1
2.2 Data Bangunan	II - 1
2.3 Data Tanah	II - 2
2.4 Pembebanan	II - 2
2.4.1 Definisi Pembebanan	II - 2
2.5 Asumsi Dan Analisa	II - 3
2.5.1 Asumsi	II - 3
2.5.2 Metoda Analisa	II - 4
BAB III PENGANTAR BETON PRACETAK	
3.1 Definisi Beton Pracetak	III - 1
3.2 Industri Beton Pracetak	III - 1
3.2.1 Pabrikasi yang Bersifat Permanen	III - 1
3.2.2 Transportasi Elemen Pracetak	III - 2
3.4 Pemasangan Elemen Pracetak	III - 2
3.4.1 Site Plan	III - 3
3.4.2 Peralatan	III - 3
3.4.3 Siklus Pemasangan Elemen Pracetak	III - 3
3.4.4 Tenaga Kerja	III - 3
3.5 Beberapa Typikal Pracetak	III - 4
3.5.1 Pelat.	III - 4

3.5.2 Balok	III - 4
3.6 Keuntungan Beton Pracetak	III - 4
4.7 Aplikasi Sistem Pracetak Pada Gedung	III - 6
BAB IV PERENCANAAN STRUKTUR SEKUNDER	
4.1 Pendahuluan	IV - 1
4.1.1 Preliminary Design	IV - 1
4.1.2 Analisa Struktur	IV - 2
4.1.3 Perencanaan Pembebanan Pelat	IV - 2
4.1.3.1 Perencanaan Pembebanan Pelat Lantai	IV - 2
4.1.3.2 Perencanaan Pembebanan Pelat Atap	IV - 3
4.1.4 Kombinasi Pembebanan	IV - 4
4.1.5 Perencanaan Pelat	IV - 4
4.1.5.1 Penentuan Tebal Pelat	IV - 4
4.1.5.2 Perhitungan Tulangan Pelat Lantai	IV - 7
4.1.5.3 Penulangan Sebelum Komposit	IV - 8
4.1.5.4 Penulangan Sebelum Komposit Akibat Pengangkatan	IV - 12
4.1.5.5 Penulangan Sesudah Komposit	IV - 14
4.1.5.6 Hasil Perhitungan Tulangan Pelat Lantai	IV - 17
4.1.5.7 Penulangan Stud Pelat Lantai	IV - 17
4.1.7 Kontrol Retak	IV - 19
4.1.8 Panjang Penyaluran	IV - 20
4.1.9 Kontrol Tegangan Pelat	IV - 20
4.2 Perencanaan Balok Anak	IV - 22
4.2.1 Mekanika Beban	IV - 22
4.2.2 Perhitungan Momen	IV - 25
4.2.2.1 Perhitungan Momen Sebelum Komposit	IV - 26
4.2.2.2 Perhitungan Momen Sesudah Komposit	IV - 27
4.2.3 Perhitungan Tulangan Geser	IV - 29
4.2.3.1 Tulangan Geser Sebelum Komposit	IV - 30
4.2.3.2 Tulangan Geser Sesudah Komposit	IV - 30
4.3 Perencanaan Tangga	IV - 31
4.3.1 Pembebanan Tangga dan Bordes	IV - 33

4.3.2 Analisa Gaya – gaya dalam	IV – 33
4.3.3 Penulangan Lentur Tangga	IV – 37
4.3.4 Penulangan Geser Tangga	IV – 39
BAB V ANALISA STRUKTUR UTAMA	
5.1 Umum	V – 1
5.2 Data – data Perencanaan	V – 1
5.3 Perhitungan Pembebanan Vertikal	V – 2
5.4 Perhitungan Gaya Horisontal	V – 2
5.4.1 Perhitungan Berat Total Atap	V – 2
5.4.2 Perhitungan Berat Total Lantai	V – 4
5.5 Perhitungan Gaya Geser Dasar	V – 6
5.5.1 Perhitungan Gaya Geser Dasar Tiap Lantai	V – 8
5.6 Perhitungan Analisa Gempa Dinamis	V – 9
5.7 Pemodelan Struktur	V – 11
5.8 Kombinasi Pembebanan	V – 13
5.9 Kontrol Periode Getar Alami Struktur	V – 15
5.9.1 Kontrol Gaya Gempa Dinamis	V – 16
5.9.1.1 Kontrol Partisipasi Massa Pada Struktur	V – 16
5.9.1.2 Kontrol Gaya Geser Dasar	V – 16
5.10 Kontrol Drift Antar Tingkat	V – 16
BAB VI PERENCANAAN STRUKTUR UTAMA	
6.1 Pendahuluan	VI – 1
6.2 Perencanaan Balok Induk	VI – 1
6.2.1 Penulangan Balok NLFRS	VI – 1
6.2.1.1 Penulangan Lentur Sebelum Komposit	VI – 2
6.2.1.2 Penulangan Sebelum Komposit	VI – 5
6.2.1.3 Penulangan Sesudah Komposit	VI – 8
6.2.1.4 Penulangan Akhir	VI – 9
6.2.2 Penulangan Geser Dan Torsi	VI – 11
6.2.3 Penulangan Stud Balok Induk	VI – 14
6.2.4 Panjang Penyaluran	VI – 15
6.2.5 Kontrol Lendutan	VI – 16
6.2.6 Kontrol Retak	VI – 17

6.3 Perencanaan Kolom	VI – 18
6.3.1 Kontrol Dengan Bressler Reciprocal Method	VI – 20
6.4 Perencanaan Dinding Geser	VI – 23
6.4.1 Dasar Teori	VI – 23
6.4.2 Kuat Beban Aksial Rancang	VI – 23
6.4.3 Perencanaan Geser	VI – 23
6.4.3.1 Ketentuan Perencanaan Dinding Geser	VI – 24
6.4.3.2 Ketentuan Perencanaan Untuk Struktur Dengan Tingkat Daktilitas	VI – 25
6.4.4 Data – data Perencanaan	VI – 26
6.4.5 Dasar – Dasar Perencanaan	VI – 26
6.4.6 Kontrol Komponen Pembatas	VI – 27
6.4.7 Cek Kekuatan ShearWall	VI – 29
6.4.8 Penulangan Lentur Pada ShearWall	VI – 29
6.4.9 Penulangan Geser Vertikal	VI – 30
6.4.10 Penulangan Geser Horisontal	VI – 31
BAB VII PERENCANAAN SAMBUNGAN	
7.1 Umum	VII – 1
7.2 Kriteria Perencanaan Sambungan	VII – 2
7.2.1 Kekuatan	VII – 2
7.2.2 Daktilitas	VII – 2
7.2.3 Perubahan Volume	VII – 2
7.2.4 Keawetan	VII – 3
7.2.5 Ketahanan Terhadap Kebakaran	VII – 3
7.2.6 Kesederhanaan Sambungan	VII – 3
7.2.7 Kesederhanaan Pemasangan	VII – 4
7.3 Konsep Desain Sambungan	VII – 4
7.3.1 Mekanismc Pemindahan Beban	VII – 4
7.3.2 Pola – Pola Kehancuran	VII – 5
7.3.3 Stabilitas Dan Keseimbangan	VII – 6
7.3.4 Klasifikasi Sistem Pracetak Dan Sambungannya	VII – 7
7.4 Pertimbangan – Pertimbangan Rancangan	VII – 8
7.5 Penggunaan Topping Beton	VII – 10

7.6 Prosedur Desain Sambungan	VII – 11
7.6.1 Transfer Gaya Horisontal	VII – 11
7.6.2 Perencanaan Sambungan Pelat Diafragma	VII – 13
7.6.3 Penulangan Stud/ Geser Balok Induk	VII – 13
7.6.4 Bearing On Plain Concrete	VII – 14
7.6.5 Penulangan End Bearing	VII – 15
7.7 Perhitungan Sambungan	VII – 15
7.7.1 Penulangan Stud/ Geser Pelat Diafragma	VII – 15
7.7.2 Penulangan Stud/ Geser Balok Induk	VII – 16
7.8 Perkuatan Penulangan Ujung Balok	VII – 17
7.8.1 Perencanaan Perkuatan Penulangan Konsol Bawah Balok Induk	VII – 19
7.9 Sambungan Kolom – Balok	VII – 22
7.9.1 Perencanaan Konsol pada Kolom	VII – 22
7.9.2 Perencanaan Reinforced Concreted Bearing pada Balok	VII – 25
BAB VIII PERENCANAAN PONDASI	
8.1 Perencanaan Pondasi Pada Struktur Utama	VIII – 1
8.1.1 Daya Dukung Ting Pancang Tunggal	VIII – 1
8.1.2 Daya Dukung Tiang Pancang Kelompok	VIII – 5
8.1.3 Daya Dukung Lateral Tiang Pancang	VIII – 7
8.1.4 Perencanaan Poer Pondasi	VIII – 8
8.1.5 Perencanaan Sloof Pondasi	VIII – 12
BAB IX PELAKSANAAN	
9.1 Umum	IX – 1
9.2 Proses Produksi Elemen Beton Pracetak	IX – 1
9.3 Penumpukan Elemen Beton Pracetak	IX – 3
9.4 Perhitungan Tulangan Angkat Pelat Pracetak	IX – 3
9.4.1 Kontrol Tegangan Angkat	IX – 5
9.5 Pengangkatan Balok Anak	IX – 7
9.6 Pengangkatan Balok Induk	IX – 10
9.7 Penempatan Crane	IX – 12
9.8 Proses Pemasangan Elemen Pracetak	IX – 13
9.8.1 Pekerjaan Tiang Pancang	IX – 14

9.8.2 Pekerjaan Poer	IX – 14
9.8.3 Pekerjaan Sloof	IX – 14
9.8.4 Pekerjaan Kolom	IX – 14
9.8.5 Pemasangan Elemen Balok	IX – 15
9.8.6 Pekerjaan Tangga	IX – 15
9.8.7 Pemasangan Elemen Pelat	IX – 15
9.9 Transportasi Elemen Beton Pracetak	IX – 15
9.9.1 Sistem Transportasi	IX – 15
9.9.2 Jadwal Pengangkatan Elemen Beton Pracetak	IX – 16

BAB IX PENUTUP

10.1 Kesimpulan	X – 1
10.2 Saran	X – 2

DAFTAR PUSTAKA

LAMPIRAN

GAMBAR PERENCANAAN

BAB I

PENDAHULUAN

BAB I

PENDAHULUAN

1.1. Latar Belakang

Pracetak sebagai metode sekaligus material konstruksi yang mulai banyak digunakan. Hal ini disebabkan adanya beberapa keuntungan di dalam pelaksanaannya, seperti waktu pelaksanaan konstruksi yang lebih cepat serta kemudahan dalam pelaksanaannya.

Sebagai material konstruksi, pembuatan pracetak bisa dilakukan di lapangan dengan kontrol kualitas yang terjamin. Sedangkan sebagai metode konstruksi, pracetak bukan lagi sebagai hal yang sulit dilakukan karena jenis dan kemampuan peralatan konstruksi, seperti sarana transportasi dan kemampuan alat – alat berat sebagai pendukung mobilisasi mengalami perkembangan yang pesat untuk mendukung pelaksanaan konstruksi.

Mengingat gedung perkantoran ini memiliki model gedung tinggi dan ramping, maka dapat dimungkinkan untuk menggunakan sistem beton pracetak sebagai alternatif penyelesaian desain. Sistem ini menjadi lebih efektif, bila diterapkan pada jenis pekerjaan komponen struktur yang tipenya sama yang mempunyai sifat masal dan berulang, dalam hal ini struktur Tower Gedung Perkantoran PT. Halim Sakti Surabaya memiliki sifat tersebut.

1.2. Maksud dan Tujuan

Maksud dan tujuan Tugas Akhir ini adalah untuk merencanakan ulang Struktur Tower Gedung Perkantoran PT. Halim Sakti Surabaya dengan menyajikan alternatif penyelesaian dengan beton pracetak, menggunakan *building frames sistem*.

1.3. Lingkup Permasalahan

Perencanaan struktur yang menggunakan metode pracetak perlu diperhatikan struktur penahan beban lateral dan detail pada sambungan, agar dapat berperilaku monolit dan berperilaku sesuai dengan Building Frames System. Demikian pula

dengan masalah pengangkutan, pengangkatan dan pemasangan diperlukan sebagai pertimbangan ekonomi dalam perencanaan elemen – elemen pracetak. Dengan mempertimbangkan hal tersebut diatas akan didapatkan sistem yang tepat dan efisien.

1.4. Batasan Masalah

Dalam perencanaan Tower Gedung Perkantoran PT. Halim Sakti, jalan HR. Muhammad Surabaya ini mempunyai batasan masalah sebagai berikut :

1. Elemen struktur yang meliputi elemen balok dan pelat direncanakan dengan beton pracetak. Sedangkan untuk elemen tangga, kolom, overtopping dan shear Wall dengan cor setempat.
2. Tidak membahas metode pelaksanaan kontruksi di lapangan namun akan dibahas tentang detail penulangan dari elemen.
3. Pada perencanaan ini tidak dilakukan analisa segi biaya, serta tidak membahas kecepatan pelaksanaan konstruksi menggunakan metode pracetak dibandingkan dengan cor setempat.

1.5. Tinjauan Pustaka

Pengertian pracetak atau precast disebutkan beberapa sumber antara lain :

1. Menurut Plant Cast and Prestressed Concrete (A Design Guide) menyebutkan beton pracetak adalah beton pracetak yang dicetak di beberapa lokasi (dapat di pabrik atau di lokasi proyek) yang pada akhirnya dipasang pada posisinya dengan suatu sistem sambungan sehingga rangkaian elemen demi elemen beton pracetak menjadi satu kesatuan utuh sebagai suatu struktur.
2. Dalam SKSNI T-15-1991-03 (ps. 3.9.1) disebutkan beton pracetak adalah komponen beton yang dicor di tempat yang bukan merupakan posisi terakhirnya dalam suatu struktur.

Pada perencanaan Tower Gedung PT. Halim Sakti Surabaya ini akan dipakai pemodelan struktur sebagai building frames system . Building Frames System yang seperti pengertiannya disebutkan dalam peraturan UBC 1997 (Uniform Building System) pasal 1629.6.3 yaitu sistem struktur yang pada dasarnya memanfaatkan

space frame untuk menjadi penahan beban gravitasi sedangkan penahan terhadap beban lateral dilakukan oleh **shear wall** atau **braced system**.

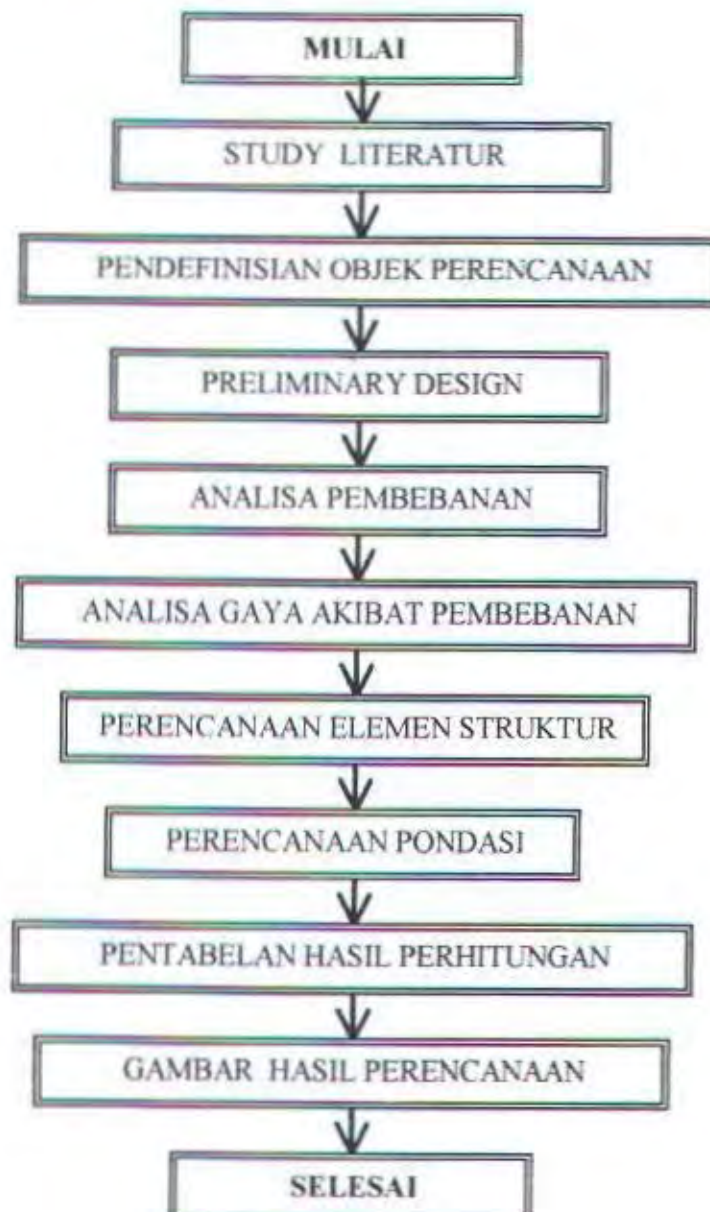
1.6. Metodologi

Metode atau langkah – langkah yang digunakan dalam merencanakan struktur Tower Gedung Perkantoran PT. Halim Sakti Surabaya ini adalah sebagai berikut :

1. Mengumpulkan atau mempelajari literatur yang berkaitan dengan perencanaan.
2. Pendefinisian obyek perencanaan yaitu penentuan gedung sebagai obyek perencanaan, peruntukan gedung dan lokasi dibangunnya gedung yang dipakai untuk menentukan zona gempa lokasi bangunan.
3. Preliminary design yang mencakup perencanaan dimensi struktur gedung.
4. Analisa pembebanan meliputi :
 - a. Besarnya beban hidup dan beban mati sesuai dengan ketentuan PPIUG 1983.
 - b. Besarnya beban gempa sesuai dengan ketentuan UBC 1997.
 - c. Kombinasi pembebanan sesuai dengan UBC 1997 sesi 1612.2.1 dan section 1909.2.1
5. Pemodelan struktur meliputi :
 - a. Struktur utama dimodelkan sebagai building frame sistem, dimana gaya gravitasi ditahan oleh space frame dan beban lateral ditahan oleh shear wall dengan perlakuan dasar jepit.
 - b. Lantai dimodelkan sebagai diafragma kaku dengan tumpuan yang terjepit elastis dengan balok.
 - c. Tangga dimodelkan sebagai frame 2 dimensi dengan perlakuan jepit dan rol pada bagian bordes.
6. Analisa gaya – gaya dalam yang terjadi dalam struktur
 - a. Untuk analisa struktur utama dipakai bantuan program ETABS
 - b. Untuk analisa elemen tangga dipakai analisa biasa
 - c. Untuk analisa struktur sekunder (pelat dan balok) dipakai tabel koefisien pada PBI 1971
7. Detail elemen struktur
 - a. Detail penulangan sesuai dengan SK SNI T – 15 –1991-03

- b. Tipe sambungan sesuai dengan PCI Design Hand Book Precast and Prestressed concrete, fourth edition
- 8. Perhitungan pondasi dari struktur gedung
- 9. Hasil perhitungan disajikan dalam bentuk tabel
- 10. Bentuk struktur dan hasil perhitungannya akan disajikan dalam bentuk gambar.

Diagram alur metoda perencanaan



BAB II

DASAR – DASAR PERENCANAN

BAB II

DASAR – DASAR PERENCANAAN

2.1 Umum

Dalam Tugas akhir ini dasar – dasar perencanaan yang dimaksud adalah segala sesuatu baik yang berupa data – data teknis, asumsi – asumsi perencanaan sampai dengan penggunaan berbagai metode yang dapat dimanfaatkan dalam menyelesaikan Tugas Akhir ini.

Data – data teknis dalam hal ini dapat berupa gambar yang ada baik yang berkenaan dengan kolom, luas lantai, tinggi total struktur, jumlah lantai, dimensi arah panjang dan arah lebar dari bangunan dan data – data lainnya yang kesemuanya itu akan akan membantu mengidentifikasi struktur yang dimaksud dalam perhitungan beban gravitasi, penentuan cara analisa perhitungan beban gempa sampai pada bentuk pemodelan struktur itu sendiri agar pendekatan yang dilakukan mendekati kenyataan yang sebenarnya.

Setelah mmbaca dan menganalisa semua data – data teknis yang telah ada maka dapat menggunakan beberapa asumsi – asumsi tertentu yang berkenaan dengan struktur yang ada. Asumsi – asumsi dianggap penting dikarenakan kesalahan dalam mengasumsikan struktur untuk kondisi tertentu akan membahayakan struktur itu sendiri. Hal ini yang selanjutnya menjadikan bahan pemikiran penulis untuk menetapkan metode analisa yang tepat untuk elemen pelat, elemen unsur – unsur sekunder dan elemen unsur – unsur primer guna mempermudah menganalisa elemen yang dimaksud.

2.2. Data Bangunan

Tower Gedung Perkantoran PT. Halim Sakti Surabaya yang akan dimodifikasi dalam tugas akhir ini fungsi utamanya adalah sebagai gedung perkantoran.

Adapun data – data bangunan adalah sebagai berikut :

- | | |
|---------------|--|
| - Nama Gedung | : Tower Gedung Perkantoran PT. Halim Sakti |
| - Lokasi | : Jl. HR. Muhammad Surabaya |

- Jumlah Lantai Gedung Utama : 10 lantai + 1 atap
Dimodifikasi 8 lantai + 1 atap pelat beton
- Jumlah Lantai Gedung Sekunder : 3 lantai + 1 atap beton
- Gedung Utama : Panjang = 24.4 m
Lebar = 18 m
- Gedung Sekunder : Panjang = 6.6 m
Lebar = 18 m
- Tinggi Gedung : 40 m
Dimodifikasi menjadi 32 m
- Bahan Struktur : Beton Bertulang Biasa
Dimodifikasi menjadi beton pracetak untuk elemen Balok Induk dan Balok Anak, Pelat lantai dan Pelat atap.
Beton bertulang biasa untuk elemen Kolom, shear wall dan tangga
- Pondasi : Tiang Pancang

2.3. Data Tanah

Penyelidikan tanah berfungsi untuk mengetahui jenis tanah sehingga dapat digunakan untuk perencanaan pondasi sesuai dengan jenis serta kemampuan daya dukung tanah tersebut.

Dari hasil penyelidikan tanah maka dapat direncanakan untuk Tower Gedung Perkantoran PT. Halim Sakti Surabaya dengan Pondasi Tiang Pancang.

2.4. Pembebanan

2.4.1. Definisi beban

Pembebanan yang dimaksud dalam pembebanan berikut adalah beban – beban yang diperkirakan akan bekerja pada struktur Tower Gedung Perkantoran PT. Halim Sakti Surabaya. Adapun jenis pembebanan yang diperhitungkan dalam perancangan gedung ini meliputi :

1. Beban Mati (PPI 1983 BAB I ps. 1 ayat 1)

Beban mati adalah berat dari semua bagian gedung yang bersifat tetap, termasuk segala unsur tambahan, penyeleiaian mesin – mesin serta peralatan tetap yang merupakan bagian tidak terpisahkan dari gedung itu.

2. Beban Hidup (PPI 1983 BAB I ps. 1 ayat 1)

Beban hidup adalah semua beban akibat penghunian atau penggunaan suatu gedung, dan kedalamnya termasuk beban – beban lantai yang berasal dari barang – barang yang dapat dipisah, mesin – mesin serta peralatan yang berasal dari barang – barang yang tak terpisahkan dari gedung dan dapat diganti selama masa umur gedung, sehingga mengakibatkan perubahan dalam lantai dan atap. Khusus pada atap dapat dikategorikan beban hidup dari air hujan, baik dari genangan maupun akibat tekanan jatuh air hujan. Untuk beban hidup pada lantai harus diambil menurut tabel 3.1 PPI 1983 dimana didalam beban hidup tersebut sudah termasuk kelengkapan ruang sesuai dengan kegunaan lantai ruang yang bersangkutan, dan juga dinding – dinding pemisah ringan dengan berat tidak lebih dari 100 kg/m².

3. Beban Gempa

Sesuai dengan UBC 1997 Division IV Earthquake Design

$$\text{Gaya Geser Lateral Dasar} ; \quad V = \frac{C_w \cdot I \cdot W}{R \cdot T}$$

2.5. Asumsi dan Analisa

2.5.1. Asumsi

1. Untuk pelat dipakai pelat biasa dan lantai dimodelkan sebagai diafragma yang kaku dengan tumpuan terjepit elastis dengan balok.
2. Struktur tangga dihitung sebagai frame 2 dimensi dengan perletakan sendi dan perletakan rol pada bagian bordes sehingga struktur ini tidak akan berpengaruh pada struktur utama
3. Perletakan kolom dan shear wall dapat diasumsikan sebagai perletakan jepit

4. Sesuai dengan Building Frame System, Bahwa Space Frame diperuntukkan sebagai penahan gaya gravitasi sedangkan shear wall sebagai penahan gaya lateral.

2.5.2. Metode Analisa

1. Analisa gaya pada elemen plat dengan menggunakan analisa manual
2. Analisa gaya dalam struktur utama menggunakan program ETABS

BAB III

PENGANTAR BETON PRACETAK

BAB III

PENGANTAR BETON PRACETAK

3.1 Definisi Beton Pracetak

1. Menurut **Plant Cast and Prestressed Concrete (A Design Guide)** menyebutkan beton pracetak adalah beton pracetak yang dicetak di beberapa lokasi (dapat di pabrik atau di lokasi proyek) yang pada akhirnya dipasang pada posisinya dengan suatu sistem sambungan sehingga rangkaian elemen demi elemen beton pracetak menjadi satu kesatuan utuh sebagai suatu struktur.
2. Dalam SK SNI T-15-1991-03 (ps 3.9.1.) disebutkan beton pracetak adalah komponen beton yang dicor di tempat yang bukan merupakan posisi terakhirnya dalam suatu struktur.

3.2 Industri Beton Pracetak

3.2.1 Pabrikasi yang bersifat sementara

1. Luas areal proyek cukup luas sehingga cukup tempat untuk membuat atau menyimpan bahan baku dan elemen – elemen pracetak yang sudah jadi untuk menunggu giliran pemasangan.
2. Lingkungan mendukung untuk pergerakan transportasi dari komponen pracetak yaitu berkaitan dengan pengaturan letak tower crane, tempat penyimpanan elemen pracetak dan tempat dipasangkannya elemen pracetak pada struktur sehingga pelaksanaannya dapat berjalan lancar.
3. Tempat dan proses pabrikasi akan berakhir seiring berakhirnya proyek.

3.2.1 Pabrikasi yang bersifat permanen

1. Pabriknya memerlukan areal yang sangat luas, karena produksi akan dilakukan secara massal dan tentunya didukung dengan lokasi sumber bahan baku yang relatif dekat dengan lokasi proyek.
2. Proses berlangsungnya pabrikasi harus tetap menjaga lingkungan dari segala polusi akibat proses pabrikasi
3. Sarana jalannya diharapkan juga mendukung pergerakan dari bahan baku, elemen pracetak yang sudah jadi, serta truk dan kendaraan berat lainnya untuk keluar masuk di lokasi proyek.

3.3 Transportasi Elemen Pracetak

Pergerakan elemen – elemen pracetak mulai dari fabrikasi sampai ke lokasi proyek merupakan bagian terpenting dari rencana penggunaan elemen pracetak. Alat pengangkut seperti truk atau trailer harus disesuaikan dengan elemen yang akan diangkut, demikian pula dengan jalan yang akan dilewati harus cukup memenuhi syarat baik lebar, kemampuan maksimal dalam menerima beban sesuai dengan desain dan syarat – syarat lainnya yang mendukung kelancaran pergerakan dari elemen pracetak tersebut.

Beberapa faktor – faktor yang harus dipertimbangkan dalam perencanaan pengangkutan elemen pracetak ke lokasi proyek adalah sebagai berikut :

1. Waktu yang diperlukan untuk mencapai lokasi
2. Ijin angkutan berkenaan dengan ukuran dan bentuk kendaraan pengangkut.
3. Daya tampung gudang dalam menerima pengiriman elemen pracetak di lokasi proyek.
4. Kemampuan tower crane dalam mengangkut elemen pracetak.
5. Jadwal pemasangan elemen pracetak sesuai jadwal.
6. Ketelitian dalam pemberian tanda lokasi dimana elemen pracetak akan ditempatkan sehingga sekecil mungkin dihindari kesalahan pengangkatan oleh tower crane yang disebabkan kesalahan dalam memberikan tanda lokasi pada elemen pracetak dalam struktur.

Waktu antara pengangkutan elemen pracetak sampai pada saat pemasangannya dapat menjadi ideal apabila elemen – elemen pracetak



sampai lokasi pada saat elemen tersebut akan dipasang sehingga apabila hal tersebut benar – benar tercapai maka akan memperkecil total luas area penumpukan (luas gudang) di lokasi, sehingga hal tersebut akan menguntungkan karena ruang kerja di lokasi proyek menjadi lebih luas. Demikian pula halnya

3.4 Pemasangan Elemen Pracetak

3.4.1 Site Plan

Dengan site plan diperoleh hal – hal sebagai berikut :

1. Tempat penempatan tower crane
2. Tempat penumpukan elemen pracetak sehingga dijangkau tower crane
3. Perencanaan jalan proyek

3.4.2 Peralatan

Hal – hal yang perlu diperhatikan :

1. Jumlah tower crane agar dapat berfungsi maksimal
2. Berapa diameter perputaran tower crane
3. Berapa kapasitas angkat maksimal tower crane
4. Peralatan pembantu yang dibutuhkan

3.4.3 Siklus Pemasangan Elemen Pracetak

1. Pemasangan elemen kolom
2. Pemasang elemen balok
3. Pemasangan elemen pelat
4. Pengcoran Overtopping

3.4.4 Tenaga Kerja

Jumlah tenaga kerja secara keseluruhan yang diperlukan untuk penyelesaian struktur suatu bangunan yang memakai pracetak lebih sedikit diandingkan dengan tenaga kerja dilapangan (semisal pekerjaan dengan konvensional).

3.5 Beberapa Typikal Pracetak

3.5.1 Pelat (precast Slab)

Untuk pelat pracetak (precat slab) ada dua jenis yang umum dipakai yaitu :

1. Pelat pracetak berlubang (Hollow Core Slab)

Pelat pracetak dimana lebih tebal dan biasanya menggunakan kabel pratekan. Keuntungannya adalah lebih ringan, durabilitas tinggi dan ketahanan terhadap api sangat tinggi.

2. Pelat pracetak tanpa berlubang (Non Hollow Core Slab)

Pelat pracetak dimana ketebalan dari pelat lebih tipis dan keuntungannya tidak banyak memakan tempat sewaktu penumpukan.

3.5.2 Balok (precast Beam)

Untuk balok pracetak (precast beam) ada dua macam jenis yang umum dipakai yaitu :

1. Balok berpenampang bentuk persegi (Rectangular Beam)

Keuntungan dari jenis ini adalah sewaktu pabrikasi lebih mudah dengan bekisting yang lebih ekonomis dan tidak perlu memperhitungkan tulangan akibat cor sewaktu pelaksanaan.

2. Balok berpenampang U (U-Shell Beam)

Keuntungan dari bentuk ini adalah lebih ringan dan dapat digunakan pada bentang yang panjang dan penyambungan pada join lebih.

3.6 Keuntungan Beton Pracetak

Kualitas beton pacetak dan beton pracetak yang dipratekankan yang diproduksi dibawah kondisi kontrol kualitas yang ideal akan mempunyai beberapa keuntungan sebagai berikut :

1. Ketebalan elemen kecil

Elemen pracetak yang dipratekankan akan memiliki ketebalan yang minimum. Elemen struktur mampu digunakan untuk bentang panjang dan yang terpenting dari segi struktur bisa meringankan berat struktur sehingga akan memperkecil beban gempa yang harus dipikul struktur.

2. Daya dukung beban tinggi

Beton pracetak memiliki kekuatan yang lebih tinggi gunan menerima beban yang cukup berat

3. Keawetan

Beton dengan kualitas ideal memiliki kepadatan dan kekedapan air yang lebih tinggi sehingga beton pracetak lebih tahan terhadap korosi, kerusakan lainnya akibat dari umur beton.

4. Bentang panjang

Dengan bentang yang lebih panjang akan lebih leluasa untuk desain interior gedung.

5. Fleksibel untuk dikembangkan

Beton pracetak dapat diproduksi untuk penyediaan fasilitas arah vertikal dan horisontal secara lebih mudah. Misalnya untuk saluran listrik, saluran air kotor dan lainnya dengan biaya rendah.

6. Sedikit perawatan

Proses pabrikasi beton pracetak dengan kontrol kualitas yang baik akan dihasilkan beton dengan kepadatan yang lebih tinggi sehingga lebih tahan terhadap korosi dan keropos.

7. Penyediaannya mudah

Penyediaan beton pracetak dapat dilakukan dengan mudah terutama untuk produksi massal disesuaikan dengan scedule pemasangan selama pemesanan masih dibawah kapasitas produksi maksimum.

8. Ekonomis

Secara keseluruhan penggunaan elemen beton pracetak emppunyai keuntungan biaya rendah dan dapat dilakukan penghematan biaya yang lainnya. Mahalnya tenaga kerja di lapangan dapat dikurangi sehingga dapat menghemat biaya pelaksanaan.

9. Kontrol kualitas

Dalam produksinya beton pracetak lebih mudah dilakukan kontrol kualitas sesuai dengan spesifikasi yang direncanakan. Dalam pelaksanaannya kontrol kualitas merupakan standar utama untuk standar tinggi dari fabrikasi.

10. Tahan terhadap kebakaran

Beton pracetak tidak mudah terbakar adalah material yang baik untuk mencegah menjalarinya api pada gedung atau antar gedung. Manfaat yang mlekat pada beton pracetak menjamin keamanan penghuni dari kebakaran.

11. Transmisi kegaduhan rendah

Dikarenakan kegiatan elemen pracetak banyak dilakukan di pabrik dan dilokasi proyek hanya tinggal pemasangan saja, maka tingkat kegaduhan akansangat berkurang jika dibandingkan dengan cara konvensional.

12. Kontrol dari creep dan shrinkage

Elemen pracetak biasanya dirawat dalam tempat penyimpanan sesudah dicetak selama 30 hari sampai 60 hari sebelum dikirim ke lokasi. Bagian terpenting 50 %

Atau lebih dari pergerakan dari creep dan shrinkage jangka panjang mungkin terjadi sebelum komponen – komponen tergabung dalam satu kesatuan struktur.

13. Kecepatan konstruksi

Konstruksi beton pracetak akan sangat membantu penghematan waktu pelaksanaan.

3.7 Aplikasi Sistem Pracetak Pada Gedung

Jenis – jenis elemen gedung yang dipakai adalah sistem pabrikasi serta sistem sambungannya adalah sebagai berikut :

- Pelat pracetak yang dipakai adalah pelat pracetak tidak berlubang
- Kolom pracetak yang digunakan adalah berpenampang persegi
- Sambungan yang dipakai adalah sambungan basah (cor setempat) atau sambungan kering (dengan pengelasan) disesuaikan dengan keperluan.
- Pabrikasi elemen pracetak dibuat dilokasi lain yang terletak tidak jauh dari lokasi proyek.

BAB IV

PERENCANAAN STRUKTUR SEKUNDER

BAB IV

PERENCANAAN STRUKTUR SEKUNDER

4.1 Pendahuluan

Struktur sekunder termasuk merupakan bagian dari struktur yang tidak menahan kekakuan secara keseluruhan, namun tetap mengalami tegangan akibat beban kerja. Termasuk dalam struktur sekunder adalah pelat, balok anak dan tangga.

4.1.1 Preliminary Design

Data perencanaan :

Mutu bahan :

Mutu Beton (f_c') = 30 Mpa

Mutu Baja (f_y) = 320 MPa

Dimensi balok

Perencanaan disesuaikan dengan SKSNI T-15-1991-03 ps. 3.2.5 tabel a

$$h_{\min} = \frac{Lb}{16} \times \left(0.4 + \frac{f_y}{700} \right)$$

a. Arah memanjang (balok induk)

- $Lb = 660 \text{ cm} \dots\dots\dots h_{\min} = 35.36 \text{ cm}$
Dimensi (40/70)
- $Lb = 560 \text{ cm} \dots\dots\dots h_{\min} = 30.00 \text{ cm}$
Dimensi (40/70)

b. Arah melintang (balok induk)

- $Lb = 400 \text{ cm} \dots\dots\dots h_{\min} = 21.42 \text{ cm}$
Dimensi (30/50)
- $Lb = 300 \text{ cm} \dots\dots\dots h_{\min} = 16.07 \text{ cm}$
Dimensi (30/50)

c. Arah melintang (balok anak)

- $Lb = 400 \text{ cm} \dots\dots\dots h_{\min} = 21.42 \text{ cm}$
Dimensi (30/40)

- $L_b = 300 \text{ cm} \dots\dots\dots h_{\min} = 16.07 \text{ cm}$

Dimensi (30/40)

4.1.2 Analisa Struktur

Tebal pelat yang direncanakan adalah setebal 12 cm, terdiri dari 7 cm pracetak dan 5 cm overtopping. Peraturan yang digunakan adalah peraturan pembebaan Untuk Gedung 1983 (PPIUG) dalam menentukan besarnya beban – beban yang bekerja pada struktur.

Dua kondisi perencanaan pelat pracetak :

1. Sebelum komposit

Komponen pracetak dan topping belum menyatu dalam memikul beban.

2. Sesudah komposit

Komponen pracetak dan topping telah bersama - sama dalam memikul beban.

Pemodelan pelat terutama perletakan sebelum komposit diasumsikan memiliki perletakan bebas sedangkan setelah komposit diasumsikan perletakannya terjepit elastis. Penulangan pelat didasarkan atas penggabungan dua kondisi diatas, diambil manakah yang terbesar.

Selain tulangan untuk menahan beban gravitasi juga perlu diperhitungkan adanya tulangan angkat yang sesuai dengan pemasangan pelat pracetak.

4.1.3 Perencanaan Pembebaan Pelat

4.1.3.1 Pembebaan Pelat Lantai

➢ Sebelum Komposit

Adanya penumpukan beton segar saat pengecoran juga harus diperhitungkan, diperkirakan $\pm 2 \text{ cm}$, sehingga total tebal topping dalam perhitungan adalah diperkirakan setebal 7 cm.

1. Beban Mati (DL)

$$\bullet \text{ Berat topping} = 0.07 \times 2400 = 168 \text{ kg/m}^2$$

$$\bullet \text{ Berat sendiri} = 0.07 \times 2400 = \frac{168 \text{ kg/m}^2}{336 \text{ kg/n.}^2}$$

2. Beban Hidup (LL) = 200 kg/m^2

➤ Sesudah Komposit

1. Beban Mati (DL)

- Berat sendiri = $0.12 \times 2400 = 288 \text{ kg/m}^2$
- Ubin ($t = 2 \text{ cm}$) = $0.02 \times 2400 = 48 \text{ kg/m}^2$
- Spesi ($t = 2 \text{ cm}$) = $0.02 \times 2100 = 42 \text{ kg/m}^2$
- AC + pipa = 10 kg/m^2
- Plafon + penggantung ($11 + 7$) = 18 kg/m^2 +
 406 kg/m^2

2. Beban Hidup (LL) = 250 kg/m^2

4.1.3.2 Pembebanan Pelat Atap

➤ Sebelum Komposit

Adanya penumpukan beton segar saat pengecoran juga harus diperhitungkan, diperkirakan $\pm 2 \text{ cm}$, sehingga total tebal topping dalam perhitungan adalah diperkirakan setebal 7 cm.

1. Beban Mati (DL)

- Berat topping = $0.07 \times 2400 = 168 \text{ kg/m}^2$
- Berat sendiri = $0.07 \times 2400 = 168 \text{ kg/m}^2$ +
 336 kg/m^2

2. Beban Hidup (LL) = 200 kg/m^2

➤ Sesudah Komposit

1. Beban Mati (DL)

- Berat sendiri = $0.12 \times 2400 = 288 \text{ kg/m}^2$
- Aspal ($t = 1 \text{ cm}$) = $0.01 \times 1400 = 14 \text{ kg/m}^2$
- Spesi ($t = 2 \text{ cm}$) = $0.02 \times 2100 = 42 \text{ kg/m}^2$
- AC + pipa = 10 kg/m^2
- Plafon + penggantung ($11 + 7$) = 18 kg/m^2 +
 372 kg/m^2

2. Beban Hidup (LL) = 100 kg/m^2

4.1.4 Kombinasi Pembebaan

1. Kombinasi Pembeban Pelat Lantai

a. Sebelum Komposit

$$Qu = 1.2 \times 168 + 1.6 \times 200 = 521.6 \text{ kg/m}^2 \dots \text{ada beban kerja}$$

$$Qu = 1.2 \times 336 + 1.6 \times 0 = 403.2 \text{ kg/m}^2 \dots \text{topping telah terpasang}$$

b. Sesudah Komposit

$$Qu = 1.2 \times 406 + 1.6 \times 250 = 887.2 \text{ kg/m}^2$$

2. Kombinasi Pembeban Pelat Atap

a. Sebelum Komposit

$$Qu = 1.2 \times 168 + 1.6 \times 200 = 521.6 \text{ kg/m}^2 \dots \text{ada beban kerja}$$

$$Qu = 1.2 \times 336 + 1.6 \times 0 = 303.2 \text{ kg/m}^2 \dots \text{topping telah terpasang}$$

b. Sesudah Komposit

$$Qu = 1.2 \times 372 + 1.6 \times 100 = 606.4 \text{ kg/m}^2$$

4.1.5 Perencanaan Pelat

Diambil contoh pelat Type A (3.3 X 4 m²)



Gambar 4.1 Pelat Type A

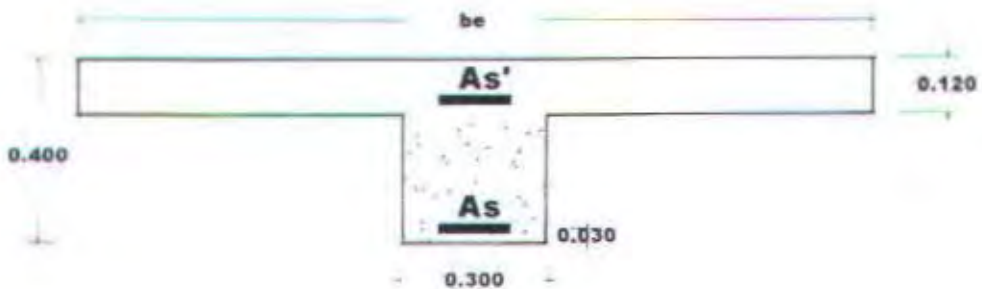
4.1.5.1 Penentuan Tebal Pelat

SKSNI T-15-1991-03 tabel 3.2.5 a memberikan penjelasan mengenai tebal minimum balok nonpratekan atau pelat satu arah bila lendutan tidak dihitung dimana komponen yang tidak mendukung atau menyatu dengan partisi atau konstruksi yang lain akan rusak karena lendutan yang besar.

$$LH = 400 - \left(\frac{40}{2} + \frac{40}{2} \right) = 360 \text{ cm}$$

$$S_n = 330 - \left(\frac{30}{2} + \frac{30}{2} \right) = 300 \text{ cm}$$

$$\beta = \frac{360}{300} = 1.2 \leq 2 \quad \dots \dots \dots \text{pelat dua arah}$$



Gambar 4.2 Dimensi Pelat dan balok anak

a. Balok Melintang

balok interior

Data – data balok

$$f_c = 30 \text{ Mpa}$$

$$f_y = 320 \text{ Mpa}$$

$$t = 12 \text{ cm}$$

$$bw = 30 \text{ cm}$$

$$h = 50 \text{ cm}$$

$$L_s = 400 \text{ cm}$$

$$be_1 = bw + 2(h - t) = 30 + 2(50 - 12) = 94 \text{ cm} \quad \dots \dots \text{Menentukan}$$

$$be_2 = bw + 8t = 30 + 8 \times 12 = 126 \text{ cm}$$

$$k = \frac{1 + \left(\frac{be}{bw} - 1 \right) \left(\frac{t}{h} \right)}{1 + \left(\frac{be}{bw} - 1 \right) \left(\frac{t}{h} \right)} \left[4 - 6 \left(\frac{t}{h} \right) + \left(\frac{t}{h} \right)^2 + \left(\frac{be}{bw} - 1 \right) \left(\frac{t}{h} \right)^3 \right]$$

$$= \frac{1 + \left(\frac{94}{30} - 1 \right) \left(\frac{12}{50} \right) \left[4 - 6 \left(\frac{12}{50} \right) + \left(\frac{12}{50} \right)^2 + \left(\frac{96}{30} - 1 \right) \left(\frac{12}{50} \right)^3 \right]}{1 + \left(\frac{96}{30} - 1 \right) \left(\frac{12}{50} \right)} = 1.71$$

$$I_b = \frac{1}{12} \cdot b \cdot w \cdot h^3 \cdot k$$

$$= \frac{1}{12} \times 30 \times 50^3 \times 1.71 = 534374.9 \text{ cm}^4$$

$$I_s = \frac{1}{12} \cdot I \cdot s \cdot t^3$$

$$= \frac{1}{12} \times 400 \times 12^3 = 73233.3 \text{ cm}^4$$

$$\alpha = \frac{I_b}{I_s} = \frac{534374.9}{73233.3} = 6.57$$

b. Balok Memanjang ($L = 330 \text{ cm}$)

$$be1 = 40 + 2(70 - 12) = 156$$

$$be2 = 40 + 8 \times 12 = 136 \quad \dots \dots \text{ menentukan}$$

$$k = 1.555$$

$$I_b = \frac{1}{12} \times 40 \times 70^3 \times 1.555 = 1777883.3 \text{ cm}^4$$

$$I_s = \frac{1}{12} \times 330 \times 12^3 = 60417.5 \text{ cm}^4$$

$$\alpha = 9.77$$

c. Balok Melintang ($L = 400 \text{ cm}$)

$$be1 = 30 + 2(40 - 12) = 86 \quad \dots \dots \text{ menentukan}$$

$$be2 = 30 + 8 \times 12 = 126$$

$$k = 2.12$$

$$I_b = \frac{1}{12} \times 30 \times 40^3 \times 2.12 = 339406.6 \text{ cm}^4$$

$$I_s = \frac{1}{12} \times 400 \times 12^3 = 73233.3 \text{ cm}^4$$

$$\alpha = 4.634$$

didapatkan :

$$\alpha_m = 1/4 \times (2 \times 6.57 + 9.77 + 7.29) = 7.55 \geq 2 \quad \dots \dots \dots \quad h_3 \text{ min} = 9 \text{ cm}$$

tebal minimum

□ tidak boleh kurang dari :

$$h_1 = \frac{\ln\left(0.8 + \frac{f_y}{1500}\right)}{36 + 5\beta \left[\alpha_m - 0.12\left(1 + \frac{1}{\beta}\right)\right]}$$
$$= \frac{360\left(0.8 + \frac{320}{1500}\right)}{36 + 5 \times 1.2 \left[7.55 - 0.12\left(1 + \frac{1}{1.2}\right)\right]} = 4.56 \text{ cm}$$

□ tidak boleh kurang dari :

$$h_2 = \frac{\ln\left(0.8 + \frac{f_y}{1500}\right)}{36 + 9\beta}$$
$$h_2 = \frac{360\left(0.8 + \frac{320}{1500}\right)}{36 + 9 \times 1.2} = 7.79 \text{ cm}$$

untuk $\alpha_m \geq 2$, tebal pelat minimum tidak boleh kurang dari $h_3 = 9 \text{ cm}$, jadi tebal pelat sebesar 12 cm yang direncanakan telah memenuhi persyaratan dan bisa dipergunakan. Tebal pelat lainnya dianggap sama dengan tebal pelat Type A.

4.1.5.2 Perhitungan Tulangan Pelat

Tulangan pelat diambil dengan membandingkan tulangan yang paling kritis dari keadaan penggabungan penulangan sebelum komposit, pengangkatan dan sesudah komposit.

Dalam hal ini diambil contoh perhitungan untuk pelat lantai :

Data Perencanaan :

- Pelat Type A ($3.3 \times 4.0 \text{ m}^2$)
- $f_c = 30 \text{ Mpa}$
- $f_y = 320 \text{ Mpa}$



- decking = 20 mm
- Tulangan utama = 10 mm
- Tebal pracetak = 70 mm
- Tebal topping = 50 mm

Sebelum komposit :

- $dx = 70 - 20 - \frac{10}{2} = 45 \text{ mm}$
- $dy = 70 - 20 - 10 - \frac{10}{2} = 35 \text{ mm}$

Sesudah komposit :

- $dx = 120 - 20 - \frac{10}{2} = 95 \text{ mm}$
- $dy = 120 - 20 - 10 - \frac{10}{2} = 85 \text{ mm}$

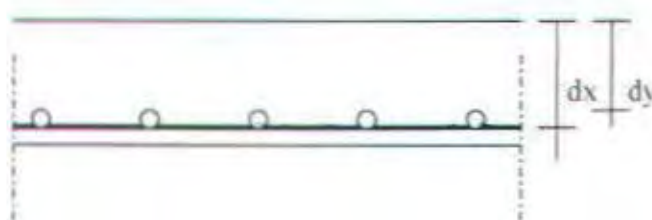
4.1.5.3 Penulangan Sebelum Komposit

$$Qu = 550.4 \text{ kg/m}^2$$

$$dx = 45 \text{ mm}$$

$$dy = 35 \text{ mm}$$

memakai tulangan $\varnothing 10$ dan selimut beton 20 mm



Gambar 4.3 Potongan Melintang Pelat

Untuk f'_c sampai dengan 30 MPa, β_1 diambil 0,85PB'89)

$$\rho_{\min} \text{ pelat} = 0,0018 \times \frac{400}{f_y} = 0,00225 \quad \dots \dots \text{Diktat Lab Beton ITS}$$

$$\rho_{\max} = 0,75 * \rho_b \quad \dots \dots \text{(Ps. 10.5.1. PB '89)}$$

$$\rho_b = \frac{0,85 * \beta_1 * f_c'}{f_y} * \frac{(600)}{(600 + f_y)} \quad \dots \dots \dots \text{(Ps. 8.4.3. PB '89)}$$

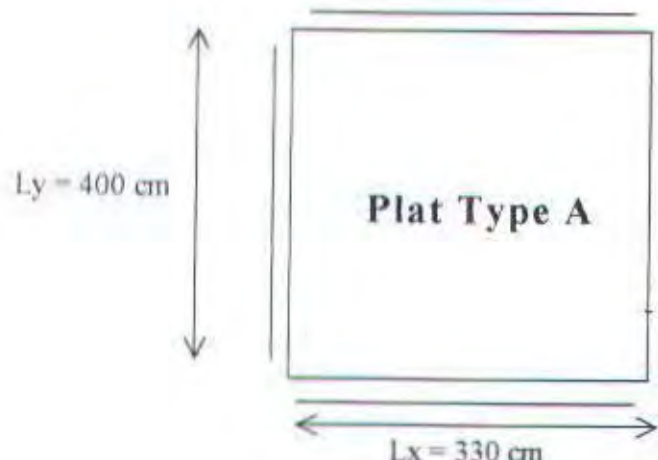
Sebagai contoh perhitungan kita ambil plat lantai **1 type A** untuk dimensi :

$$L_y = 400 \text{ cm}$$

$$L_x = 330 \text{ cm}$$

$$L = \frac{L_y}{L_x} = \frac{400}{330} = 1.2$$

Sehingga didapat Koefisien momen dari tabel Koefisien Momen pada PBI '71 sebagai berikut :



Gambar 4.4 Momen Pelat sesuai PBBI '71

Dan perhitungan momen sebagai berikut :

$$M_{ulx} = 0.001 * q_u * L_x^2 * X \quad \dots \dots \quad X_{M_{ulx}} = 59$$

$$= 0.001 * 521.6 * 3.3^2 * 59$$

$$= 3351332 \text{ N.mm}$$

$$M_{uly} = 0.001 * q_u * L_x^2 * X \quad \dots \dots \quad X_{M_{uly}} = 45$$

$$= 0.001 * 521.6 * 3.3^2 * 45$$

$$= 2556100 \text{ N.mm}$$

1. Penulangan arah x

➢ Tulangan lapangan

$$\begin{aligned}M_n &= \frac{M_{ulx}}{\phi} \\&= \frac{3351332}{0,8} \\&= 4189165 \text{ N.mm}\end{aligned}$$

$$\begin{aligned}R_n &= \frac{M_n}{b * dx^2} \\&= \frac{4189165}{1000 * 45^2} \\&= 2.07 \\m &= \frac{f_y}{0.85 * f_{c'}} \\&= \frac{320}{0.85 * 30} \\&= 12.55\end{aligned}$$

$$\begin{aligned}\rho_{perlu} &= \frac{1}{m} \left\{ 1 - \sqrt{1 - \frac{2 * m * R_n}{f_y}} \right\} \\&= \frac{1}{12.55} \left\{ 1 - \sqrt{1 - \frac{2 * 12.55 * 2.07}{320}} \right\} \\&= 0.0067 > \rho_{min} = 0.00225\end{aligned}$$

Di pakai $\rho = 0.0067$

$$\begin{aligned}A_s &= \rho * b * dx \\&= 0.0067 * 1000 * 45 \\&= 303.9 \text{ mm}^2\end{aligned}$$

Syarat tulangan utama $\leq 3 \times$ tebal pelat = 210 mm

$$\leq 500 \text{ mm}$$

Pakai tulangan $\textcircled{10} - 210$ ($A_s = 392.5 \text{ mm}^2$)

2. Penulangan arah y

➢ Tulangan lapangan

$$\begin{aligned} Mn &= \frac{M_{fy}}{\phi} \\ &= \frac{2556100}{0,8} \\ &= 3195125 \text{ N.mm} \end{aligned}$$

$$\begin{aligned} Rn &= \frac{Mn}{b * dy^2} \\ &= \frac{3195125}{1000 * 35^2} \\ &= 2.6 \end{aligned}$$

$$\begin{aligned} m &= \frac{f_y}{0.85 * f'_c} \\ &= \frac{320}{0.85 * 30} \\ &= 12.55 \end{aligned}$$

$$\begin{aligned} \rho_{\text{perlu}} &= \frac{1}{m} \left\{ 1 - \sqrt{1 - \frac{2 * m * Rn}{f_y}} \right\} \\ &= \frac{1}{12.55} \left\{ 1 - \sqrt{1 - \frac{2 * 12.55 * 2.6}{320}} \right\} \\ &= 0.0085 > \rho_{\text{min}} = 0.00225 \end{aligned}$$

Di pakai $\rho = 0.0085$

$$\begin{aligned} As &= \rho * b * dx \\ &= 0.0085 * 1000 * 35 \\ &= 300.57 \text{ mm}^2 \end{aligned}$$

menurut SKSNI T-15-1991-03 ps. 3.16.5-5 :

Syarat tulangan utama $\leq 3 \times$ tebal pelat = 210 mm

$\leq 500 \text{ mm}$

Pakai tulangan $\varnothing 10 - 210$ ($As = 392.5 \text{ mm}^2$)

4.1.5.4 Penulangan Sebelum komposit akibat Pengangkatan

Besar momen dan pengaturan jarak tulangan angkat disesuaikan dengan " Precast and Presstressed Concrete " fig. 5.2.1. Dimana momen daerah tumpuan sama dengan momen daerah lapangan.

$$W = 0.07 \times 2400 = 168 \text{ kg/m}^2$$

$$\begin{aligned} M_x &= 0.0054 \cdot w \cdot a^2 \cdot b \\ &= 0.0054 \times 168 \times 3.3^2 \times 4 \\ &= 69.517 \text{ kgm} = 395176 \text{ Nmm} \end{aligned}$$

$$\begin{aligned} M_y &= 0.0027 \cdot w \cdot a \cdot b^2 \\ &= 0.0027 \times 168 \times 3.3 \times 4^2 \\ &= 23.95 \text{ kgm} = 239500 \text{ Nmm} \end{aligned}$$

1. Penulangan arah x

➢ Tulangan lapangan = tulangan tumpuan

$$\begin{aligned} M_n &= \frac{M_{ulx}}{\phi} \\ &= \frac{395176}{0,8} \\ &= 493970 \text{ N.mm} \end{aligned}$$

$$\begin{aligned} R_n &= \frac{M_n}{b \cdot dx^2} \\ &= \frac{493970}{1000 \cdot 45^2} \\ &= 0.139 \end{aligned}$$

$$\begin{aligned} m &= \frac{f_y}{0.85 \cdot f_c'} \\ &= \frac{320}{0.85 \cdot 30} \\ &= 12.55 \end{aligned}$$

$$\rho_{\text{perlu}} = \frac{1}{m} \left\{ 1 - \sqrt{1 - \frac{2 \cdot m \cdot R_n}{f_y}} \right\}$$

$$= \frac{1}{12.55} \left\{ 1 - \sqrt{1 - \frac{2 * 12.55 * 0.139}{320}} \right\}$$

$$= 0.00044 > \rho_{\min} = 0.00225$$

Di pakai $\rho = 0.0044$

$$\begin{aligned} As &= \rho * b * dx \\ &= 0.0044 * 1000 * 45 \\ &= 198 \text{ mm}^2 \end{aligned}$$

Syarat tulangan utama $\leq 3 \times$ tebal pelat = 210 mm
 $\leq 500 \text{ mm}$

Pakai tulangan $\emptyset 10 \cdot 210$ ($As = 392.5 \text{ mm}^2$)

2. Penulangan arah y

✓ Tulangan lapangan = tulangan tumpuan

$$\begin{aligned} Mn &= \frac{M_{uly}}{\phi} \\ &= \frac{239500}{0.8} \\ &= 299375 \text{ N.mm} \end{aligned}$$

$$\begin{aligned} R_n &= \frac{Mn}{b * d_y^2} \\ &= \frac{299375}{1000 * 35^2} \\ &= 0.126 \end{aligned}$$

$$\begin{aligned} m &= \frac{f_y}{0.85 * f_c} \\ &= \frac{320}{0.85 * 30} \\ &= 12.55 \end{aligned}$$

$$\rho_{\text{perlu}} = \frac{1}{m} \left\{ 1 - \sqrt{1 - \frac{2 * m * R_n}{f_y}} \right\}$$

$$= \frac{1}{12.55} \left\{ 1 - \sqrt{1 - \frac{2 * 12.55 * 0.127}{320}} \right\}$$

$$= 0.0004 < \rho_{\text{min}} = 0.00225$$

Di pakai $\rho = 0.00225$

$$\begin{aligned} As &= \rho * b * dx \\ &= 0.00225 * 1000 * 35 \\ &= 78.75 \text{ mm}^2 \end{aligned}$$

menurut SKSNI T-15-1991-03 ps. 3.16.5 - 5 :

Syarat tulangan utama $\leq 3 \times$ tebal pelat = 210 mm

$$\leq 500 \text{ mm}$$

Pakai tulangan $\varnothing 10 - 210$ ($As = 392.5 \text{ mm}^2$)

4.1.5.5 Penulangan Sesudah Komposit

$$Qu = 887 \text{ kg/m}^2$$

$$dx = 95 \text{ mm}$$

$$dy = 85 \text{ mm}$$

$$\rho_b = 0.044$$

$$\rho_{\text{max}} = 0.033$$

$$\rho_{\text{min}} = 0.00225$$

momen - momen dari PB1 '71 ps. 13.1.3.1 :

$$Ly = 400 \text{ cm}$$

$$Lx = 330 \text{ cm}$$

$$L = \frac{Ly}{Lx} = \frac{400}{330} = 1.2$$

Dan perhitungan momen sebagai berikut :

$$Mu_{lx} = 0.001 * q_u * Lx^2 * X \quad \dots \quad X_{Mu_{lx}} = 46$$

$$= 0.001 * 887.2 * 3.3^2 * 46$$

$$= 4444339 \text{ N.mm}$$

$$Mu_{ly} = 0.001 * q_u * Lx^2 * X \quad \dots \quad X_{Mu_{ly}} = 38$$

$$= 0.001 * 887.2 * 3.3^2 * 38$$

$$= 3671411 \text{ N.mm}$$

$$M_{Ux} = -0.001 * q_u * Lx^2 * X \quad \dots \quad X_{M_{Ux}} = 46$$

$$= -0.001 * 887.2 * 3.3^2 * 46$$

$$= -4444339 \text{ N.mm}$$

$$M_{Uy} = -0.001 * q_u * Lx^2 * X \quad \dots \quad X_{M_{Uy}} = 38$$

$$= -0.001 * 887.2 * 3.3^2 * 38$$

$$= -3671411 \text{ N.mm}$$

1. Penulangan arah x.

✓ Tulangan lapangan = tulangan tumpuan

$$M_n = \frac{M_{Ux}}{\phi}$$

$$= \frac{4444379}{0.8}$$

$$= 5555473 \text{ N.mm}$$

$$R_n = \frac{M_n}{b * dx^2}$$

$$= \frac{5555473}{1000 * 95^2}$$

$$= 0.62$$

$$m = \frac{f_y}{0.85 * f_{c'}^t}$$

$$= \frac{320}{0.85 * 30}$$

$$= 12.55$$

$$\rho_{\text{perlu}} = \frac{1}{m} \left\{ 1 - \sqrt{1 - \frac{2 * m * R_n}{f_y}} \right\}$$

$$= \frac{1}{12.55} \left\{ 1 - \sqrt{1 - \frac{2 * 12.55 * 0.62}{320}} \right\}$$

$$= 0.0023 > \rho_{\min} = 0.00225$$

Di pakai $\rho = 0.00225$

$$\begin{aligned}
 As &= \rho * b * dx \\
 &= 0.00225 * 1000 * 95 \\
 &= 213.75 \text{ mm}^2
 \end{aligned}$$

Syarat tulangan utama $\leq 3 \times$ tebal pelat = 360 mm
 $\leq 500 \text{ mm}$

Pakai tulangan $\varnothing 10 - 175$ ($As = 549.5 \text{ mm}^2$)

2. Penulangan arah y

➢ Tulangan lapangan = tulangan tumpuan

$$\begin{aligned}
 Mn &= \frac{M_{ul} y}{\phi} \\
 &= \frac{1545857}{0,8} \\
 &= 1932321 \text{ N.mm}
 \end{aligned}$$

$$\begin{aligned}
 Rn &= \frac{Mn}{b * dy^2} \\
 &= \frac{1932321}{1000 * 85^2} \\
 &= 0.319
 \end{aligned}$$

$$\begin{aligned}
 m &= \frac{f_y}{0.85 * f_c} \\
 &= \frac{320}{0.85 * 30} \\
 &= 12.55
 \end{aligned}$$

$$\begin{aligned}
 \rho_{perlu} &= \frac{1}{m} \left\{ 1 - \sqrt{1 - \frac{2 * m * Rn}{f_y}} \right\} \\
 &= \frac{1}{12.55} \left\{ 1 - \sqrt{1 - \frac{2 * 12.55 * 0.317}{320}} \right\} \\
 &\approx 0.0001 < \rho_{min} = 0.00225
 \end{aligned}$$

Di pakai $\rho = 0.00225$

$$\begin{aligned}A_s &= \rho * b * dx \\&= 0.00225 * 1000 * 85 \\&= 191.25 \text{ mm}^2\end{aligned}$$

menurut SKSNI T-15-1991-03 ps. 3.16.5 - 5 :

Syarat tulangan utama $\leq 3 \times$ tebal pelat = 360 mm
 $\leq 500 \text{ mm}$

Pakai tulangan $\varnothing 10 - 210$ ($A_s = 392.5 \text{ mm}^2$)

4.1.5.6 Hasil Perhitungan Tulangan Pelat Lantai

Dari kondisi paling kritis dari tiga kondisi diatas (sebelum komposit, pengangkatan dan sesudah komposit), dapat diambil tulangan :

Type Pelat A

Arah	Tumpuan	Lapangan
X	D10 - 175	D10 - 175
Y	D10 - 210	D10 - 210

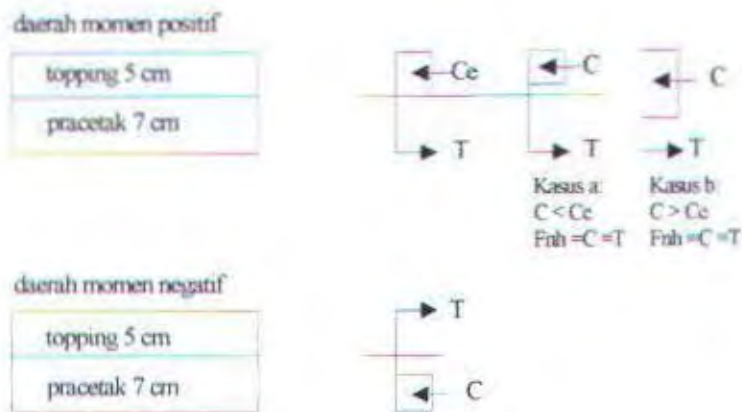
4.1.6 Penulangan Stud Pelat Lantai

Perancangan pelat pracetak didapatkan transfer gaya tegangan horisontal harus mampu dipikul oleh seluruh penampang. Jadi fungsi tulangan stud sebagai pengikat elemen pracetak dan topping.

Dalam SKSNI T-15-1991-03 ps. 3.10.5.3 gaya geser horisontal boleh diperiksa dengan cara menghitung perubahan aktual dari gaya tekan dan tarik didalam sembarang segmen dan dengan menentukan gaya tersebut dipindahkan sebagai gaya geser horisontal ke elemen - elemen pendukung.

Dari gambar dibawah didapatkan gaya geser horisontal yang terjadi pada penampang komposit terdapat 2 kasus :

- kasus 1 : gaya tekan elemen komposit kurang dari tekan elemen cor setempat
- kasus 2 : gaya tekan elemen komposit lebih dari tekan elemen cor setempat



Gambar 4.5 Diagram Gaya Geser Horisontal Penampang Komposit

contoh perhitungan :

pelat Type A ($3.3 \times 4.0 \text{ m}^2$)

$$C_c = 0.85 \cdot f_c \cdot A_{topping}$$

$$= 0.85 \times 30 \times 50 \times 1000$$

$$= 1275000 \text{ N}$$

$$= 1275 \text{ KN}$$

Dipakai Stud 10 mm

$$A_s = \frac{1}{4} \times \pi \times 10^2 = 78.5 \text{ mm}^2$$

$$V_{nh} = A_s \times f_y$$

$$= 78.5 \times 320$$

$$= 25.120 \text{ Kn}$$

$$V_{nh} = C \approx T$$

Dipasang sengkang pengikat min. SKSNI T-1991-03 ps. 3.10.5 butir 2 - 2

$$\begin{aligned}V_{nh} &\leq 0.6 \times b v \times d \\&\leq 0.6 \times 1000 \times 105 \\&\leq 63 \text{ KN}\end{aligned}$$

63 KN > 25.12 KN OK

Spasi sengkang $\leq 4 \times$ tebal cast in situ SKSNI 3.10.6 butir 1

$$\begin{aligned}&\leq 4 \times 50 = 200 \text{ mm} \\&\text{atau } \leq 600 \text{ mm}\end{aligned}$$

$$A_{v_{mm}} = \frac{b_{w,s}}{3 \cdot f_y} = \frac{1000 \times 200}{3 \times 320} = 208.3 \text{ mm}$$

dipasang stud D10 – 210 mm

4.1.7 Kontrol Retak

Bila tegangan leleh rencana f_y untuk tarik lebih dari 300 Mpa, penampang dengan momen positif dan negatif terbesar harus diseimbangkan sedemikian hingga nilai Z yang diberikan oleh :

$$Z = f_s \times \sqrt[3]{d_c \times A} < 30 \text{ MN/m} \dots, \text{SKSNI T-1991-03 ps. 3.3.6 butir 4}$$

$$f_s = 0.6 \times f_y = 0.6 \times 320 = 192 \text{ Mpa}$$

$$d_c = \text{decking} + 1/2 \times \text{jari-jari tulangan}$$

$$\text{dc arah x} = 20 + 1/2 \times 10 = 25 \text{ mm}$$

$$\text{dc arah y} = 20 + 10 + 1/2 \times 10 = 35 \text{ mm}$$

A = Luas efektif beton tarik disekitar tulangan lentur tarik dan mempunyai titik pusat yang sama dengan pusat tulangan

➤ Retak arah x

$$A = (0.50 \times 1\text{m})/6 = 0.083 \text{ m}^2$$

$$Z = 192 \times \sqrt[3]{0.025 \times 0.083} = 24.49 \text{ MN/m} < 30 \text{ MN/m} \dots \text{OK}$$

➤ Retak arah y

$$A = (0.70 \times 1\text{m})/5 = 0.14 \text{ m}^2$$

$$Z = 192 \times \sqrt[3]{0.035 \times 0.014} = 15.2 \text{ MN/m} < 30 \text{ MN/m} \dots \text{OK}$$

4.1.8 panjang Penyaluran

1. $Ldh > 8 \times db = 8 \times 10 = 80 \text{ mm} \dots \text{ SKSNI T-15-1991-03 ps. 3.5.5.1}$

2. $Ldh > 150 \text{ mm} \dots \text{ SKSNI T-15-1991-03 ps. 3.5.5.1}$

$$3. Idh = \frac{100 \cdot db}{\sqrt{fc}} = \frac{100 \times 10}{\sqrt{30}} = 182.57 \dots \text{ SKSNI T-15-1991-03 ps. 3.5.5.2}$$

$$4. Ldh > Ihb \cdot \frac{f_y}{400} = 182.57 \times \frac{320}{400} = 146.1 \text{ cm}$$

Diambil panjang penyaluran 150 mm

4.1.8 Kontrol Tegangan Pelat

Kontrol Tegangan Pelat Sebelum Komposit

titik berat

$$\frac{1}{2} \cdot 1000 \cdot X_1^2 = n \cdot As \cdot (d_1 - X_1)$$

$$500 \cdot x_1^2 = 8 \times 549.5 (45 - x_1)$$

$$X_1 = 20.72 \text{ mm}$$

$$M \text{ sebelum (Msb)} = 3351332 \text{ Nmm}$$

$$Icr = 1/3 \times b \times X_1 + n \times As \times (d_1 - X_1)$$

$$1/3 \times 1000 \times 20.72 + 8 \times 1099 \times (45 - 20.72)^2 = 5326008.8 \text{ mm}^2$$

$$y_a = X_1 = 20.72 \text{ mm}$$

$$y_b = (d_1 - X_1) = 24.28 \text{ mm}$$

$$\text{Teg. Serat atas} = \frac{Msb \cdot y_a}{Icr} = \frac{3351332 \times 20.72}{5326008.8} = 13.03 \text{ MPa}$$

$$\text{Teg. Serat bawah} = \frac{Msb \cdot y_b}{Icr} = \frac{3351332 \times 24.28}{5326008.8} = 15.27 \text{ MPa}$$

Kontrol Tegangan Pelat Sesudah Komposit

titik berat

$$\frac{1}{2} \cdot 1000 \cdot X_2^2 = n \cdot As \cdot (d_2 - x_2)$$

$$500 \cdot x_2^2 = 8 \times 549.5 (95 - x_2)$$

$$X_2 = 33.13 \text{ cm}$$

$$M \text{ sesudah (Msd)} = 4444339 \text{ Nmm}$$

$$I_{cr} = 1/3 \times b \times X_2^3 + n \times A_s \times (d_2 - X_2)^2$$

$$1/3 \times 1000 \times (33.13)^3 + 8 \times 549.5 (95 - 33.13)^2 = 17193263.8 \text{ mm}^4$$

$$y_s = X_2 = 33.13 \text{ mm}, y_b = (d_2 - X_2) = 61.87 \text{ mm}$$

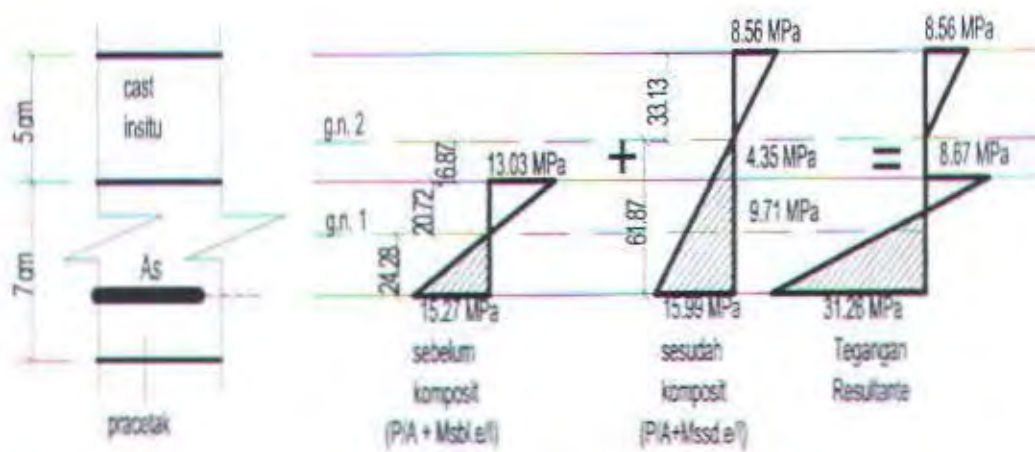
$$\text{Teg. Serat atas} = \frac{Msd \cdot y_s}{I_{cr}} = \frac{4444339 \times 33.13}{17193263.8} = 8.56 \text{ MPa}$$

$$\text{Teg. Serat bawah} = \frac{Msd \cdot y_b}{I_{cr}} = \frac{4444339 \times 61.87}{17193263.8} = 15.99 \text{ MPa}$$

Didapatkan :

$$\frac{\sigma_u}{8.99} = \frac{16.87}{86.87} \quad \dots \quad \sigma_a = 1.74 \text{ MPa}$$

$$\frac{\sigma_u}{8.99} = \frac{29.71}{86.87} \quad \dots \quad \sigma_a = 3.07 \text{ MPa}$$



Gambar 4.6 Diagram tegangan Pelat



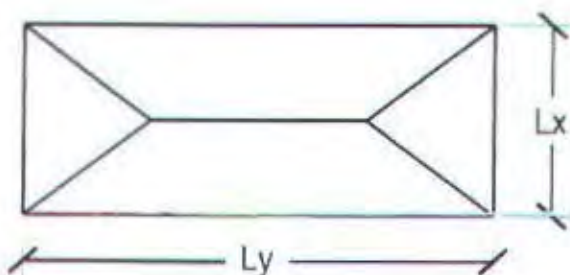
4.2 Perencanaan Balok Anak

Balok dianggap terjepit elastis pada tumpuan, apabila balok tersebut pada tumpuan sebagai satu kesatuan monolit dengan balok lain, dinding atau dinding kolom beton bertulang yang dapat dianggap dapat memberikan perlawanan terhadap bentuk perubahan balok di tumpuan tersebut (PPBBI 1971)

Balok anak setelah komposit dianggap " terjepit elastis "

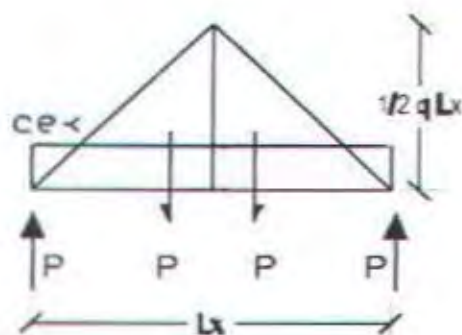
4.2.1 Mekanika Pembebaan

Perumusan Beban ekivalen dapat diturunkan sebagai berikut :



Variasi pembebaan dan beban ekivalen pelat yang terjadi pada perhitungan balok ini adalah :

1. Beban Ekivalen Segitiga



$$P = \frac{1}{2} Lx \cdot \frac{1}{2} q \cdot Lx \cdot \frac{1}{2}$$

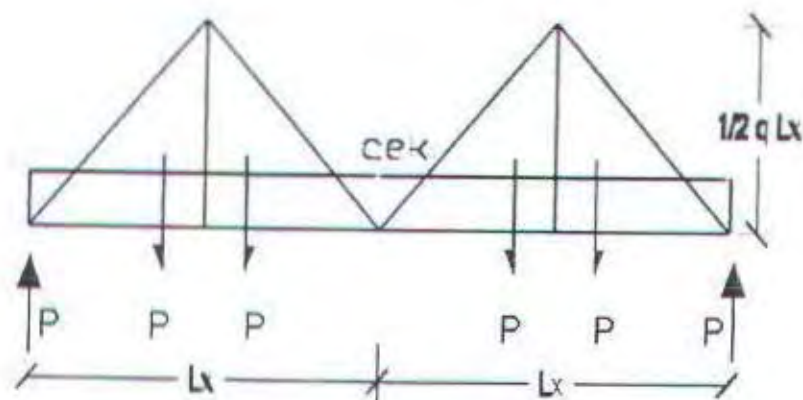
$$= \frac{1}{8} q \cdot Lx^3$$

$$M_{\max} = P \cdot \left[\frac{Lx}{2} - \frac{Lx}{6} \right]$$

$$\frac{1}{8} \cdot q \cdot Lx^2 = \frac{1}{8} \cdot q \cdot Lx^2 \cdot \left[\frac{Lx}{2} - \frac{Lx}{6} \right]$$

$$q_{ek} = \frac{1}{3} \cdot q \cdot Lx$$

2. Beban Ekivalen dua Segitiga



$$P = \frac{1}{2} \cdot Lx \cdot \frac{1}{2} \cdot q \cdot Lx \cdot \frac{1}{2}$$

$$= \frac{1}{8} \cdot q \cdot Lx^2$$

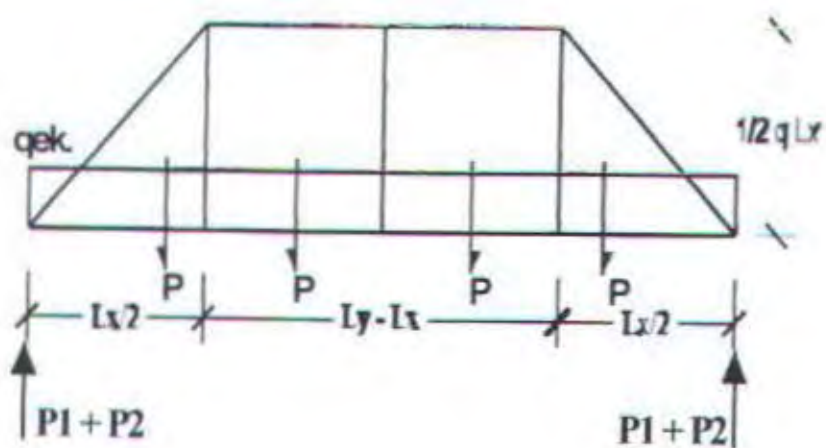
$$M_{\max} = 2P \cdot Lx - P \left[\frac{Lx}{2} + \frac{Lx}{6} \right] - P \cdot \frac{Lx}{3}$$

$$= P \cdot Lx$$

$$\frac{1}{8} \cdot q \cdot (2Lx)^2 = \frac{1}{8} \cdot q \cdot Lx^2 \cdot Lx$$

$$q_{ek} = \frac{1}{4} \cdot q \cdot Lx$$

3. Beban Ekivalen Trapesium



$$P_1 = \frac{1}{2} \cdot \frac{1}{2} Lx \cdot \frac{1}{2} q Lx$$

$$= \frac{1}{8} q Lx^2$$

$$P_2 = \frac{1}{2} \cdot \frac{1}{2} q Lx \cdot \frac{1}{2} (Ly - Lx)$$

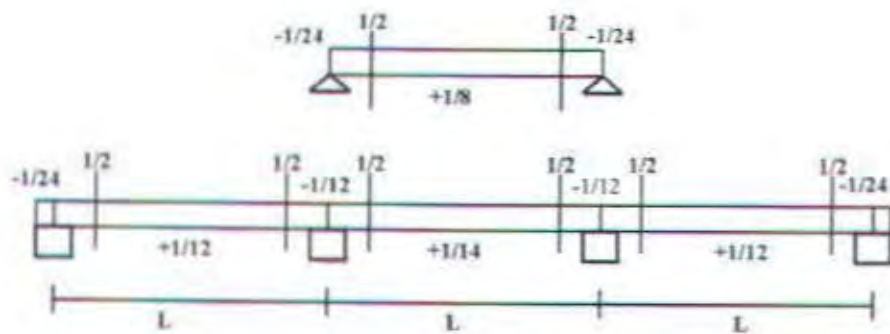
$$= \frac{1}{4} q Lx (Ly - Lx)$$

$$\begin{aligned} M_{\max} &= (P_1 + P_2) x \left[\frac{Lx}{2} + \frac{Ly - Lx}{2} \right] - P_1 x \left[\frac{Lx}{6} + \frac{Ly - Lx}{2} \right] - P_2 x \left[\frac{Ly - Lx}{2} \right] \\ &= \frac{1}{6} Lx [2P_1 + 3P_2] \end{aligned}$$

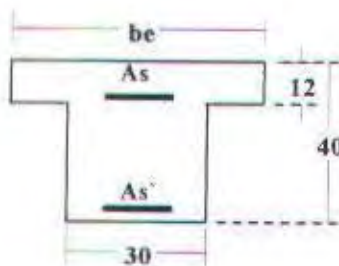
$$\frac{1}{8} q_{ek} Lx^2 = \frac{1}{6} Lx \left[2 \times \frac{1}{8} q Lx^2 + 3 \times \frac{1}{4} q Lx (Ly - Lx) \right]$$

$$q_{ek} = \frac{1}{2} q Lx \left(1 - \frac{1}{3} \left(\frac{Lx}{Ly} \right)^2 \right)$$

4.2.2 Perhitungan Momen



Gambar 4.7 Momen – momen dan gaya – gaya Melintang



Gambar 4.8 Potongan Melintang Balok Anak

4.3.2.1 Perhitungan Momen Sebelum Komposit

- q sendiri balok anak = $1.2 \times 0.28 \times 0.3 \times 2400 = 233.38 \text{ kg/m}$
- sbl komposit pelat = 521.6 kg/m
- ssd komposit pelat = 887.2 kg/m

$$\begin{aligned}
 q_{ek} &= \frac{1}{2} \times q \times Lx \left(1 - \frac{1}{3} \left(\frac{Lx}{Ly} \right)^2 \right) \\
 &= \frac{1}{2} \times 521.6 \times 1.65 \left(1 - \frac{1}{3} \left(\frac{1.65}{4} \right)^2 \right) \times 2 \\
 &= 811.87 \text{ kgm}
 \end{aligned}$$

$$M_{tump} = -1/24 (811.87 + 233.3) \times 4^2 = 696.78 \text{ kgm}$$

$$M_{lap} = -1/8 (811.87 + 233.3) \times 3.3^2 = 1422.74 \text{ kgm}$$

$$V = 1/2 (811.87 + 233.3) \times 4 = 2090.34 \text{ kg}$$

a. Penulangan Balok Anak Sebelum Komposit

- Dimensi balok anak-anak 30/40
- Diameter rencana 20 mm
- Diameter sengkang 10 mm
- Decking 30 mm
- $h' = 400 - 120 - 30 - 10 - 19/2 = 230.5 \text{ mm}$
- $d' = 30 + 10 + 19/2 = 50.5 \text{ mm}$

Tulangan Tumpuan

$$M_{tump} = 6967800 \text{ Nmm}$$

$$R_n = \frac{6967800}{0.8 \times 300 \times 230.5^2} = 0.57 \text{ Mpa}$$

$$\rho = \frac{1}{12.55} \times \left[1 - \sqrt{1 - \frac{2 \times 12.55 \times 0.57}{320}} \right] = 0.0018$$

$$\rho_{\min} = \frac{1.4}{f_y} = \frac{1.4}{320} = 0.0044$$

$$\text{diambil } \rho_{\min} = 0.0044 \quad \dots \dots \quad \rho < \rho_{\min}$$

$$A_s \text{ perlu} = \rho \times b \times d$$

$$= 0.0044 \times 300 \times 230.5$$

$$= 303 \text{ mm}^2$$

dipakai 2D19 (566.7 mm²)

Tulangan Lapangan

$$M_{lap} = 14227400 \text{ Nmm}$$

$$R_n = \frac{14838000}{0.8 \times 300 \times 230.5^2} = 1.58 \text{ Mpa}$$

$$\rho = \frac{1}{12.55} \times \left[1 - \sqrt{1 - \frac{2 \times 12.55 \times 1.58}{320}} \right] = 0.0051$$

$$\rho_{\min} = \frac{1.4}{f_y} = \frac{1.4}{320} = 0.0044$$

diambil $\rho = 0.0051$ $\rho > \rho_{\min}$

As perlu = $\rho \times b \times d$

$$= 0.0051 \times 300 \times 230.5$$

$$= 351.9 \text{ mm}^2$$

dipakai 2D19.5 (566.7 mm^2)

4.5.3.2 Perhitungan Momen Sesudah Komposit

$$q_{ek} = \frac{1}{2} \times q \times Lx \left(1 - \frac{1}{3} \left(\frac{Lx}{Ly} \right)^2 \right) \quad \dots \dots \quad L = 4 \text{ m}$$

$$= \frac{1}{2} \times 887.2 \times 1.65 \left(1 - \frac{1}{3} \left(\frac{1.65}{4} \right)^2 \right) \times 2$$

$$= 1380.933 \text{ kgm}$$

$$q_{ek} = \frac{1}{2} \times q \times Lx \left(1 - \frac{1}{3} \left(\frac{Lx}{Ly} \right)^2 \right) \quad \dots \dots \quad L = 3 \text{ m}$$

$$= \frac{1}{2} \times 887.2 \times 1.65 \left(1 - \frac{1}{3} \left(\frac{1.65}{3} \right)^2 \right) \times 2$$

$$= 1316.419 \text{ kgm}$$

momen dan gaya lintang disesuaikan dengan tabel PB1 1971

$$M_{tump} = -1/24 (1316.4 + 233.3) \times 3^2 = 581.13 \text{ kgm}$$

$$M_{lap_1} = -1/12 (1316.4 + 233.3) \times 3^2 = 2066.27 \text{ kgm}$$

$$M_{lap_2} = -1/14 (1380.9 + 233.3) \times 4^2 = 1844.8 \text{ kgm}$$

$$V_1 = 1/2 (1316.4 + 233.3) \times 3 = 2324.55 \text{ kg}$$

$$V_2 = 1/2 (1380.9 + 233.3) \times 4 = 2421.3 \text{ kg}$$

b. Penulangan Balok Sesudah Komposit

- Dimensi balok anak 30/40
- Diameter rencana 20 mm
- Diameter sengkang 10 mm
- Decking 30 mm
- $h' = 400 - 30 - 10 - 19/2 = 350.5 \text{ mm}$
- $d' = 30 + 10 + 19/2 = 50.5 \text{ mm}$

Tulangan Tumpuan

$$M_{tump} = 5811300 \text{ Nmm}$$

$$R_n = \frac{5811300}{0.8 \times 300 \times 350.5^2} = 0.32 \text{ Mpa}$$

$$\rho = \frac{1}{12.55} \times \left[1 - \sqrt{1 - \frac{2 \times 12.55 \times 0.32}{320}} \right] = 0.001$$

$$\rho_{\min} = \frac{1.4}{f_y} = \frac{1.4}{320} = 0.0044$$

diambil $\rho_{\min} = 0.0044$ $\rho < \rho_{\min}$

$$\begin{aligned} As \ perlu &= \rho \times b \times d \\ &= 0.0044 \times 300 \times 350 \\ &= 462 \text{ mm}^2 \end{aligned}$$

dipakai 2D19 (566.7 mm²)

Tulangan Lapangan

$$M_{lap} = 20662700 \text{ Nmm}$$

$$R_n = \frac{20662700}{0.8 \times 300 \times 350^2} = 0.904 \text{ Mpa}$$

$$\rho = \frac{1}{12.55} \times \left[1 - \sqrt{1 - \frac{2 \times 12.55 \times 0.904}{320}} \right] = 0.0022$$

$$\rho_{\min} = \frac{1.4}{f_y} = \frac{1.4}{320} = 0.0044$$

diambil $\rho = 0.0044$ $\rho < \rho_{\min}$

b. Penulangan Balok Sesudah Komposit

- Dimensi balok anak 30/40
- Diameter rencana 20 mm
- Diameter sengkang 10 mm
- Decking 30 mm
- $h' = 400 - 30 - 10 - 19/2 = 350.5 \text{ mm}$
- $d' = 30 + 10 + 19/2 = 50.5 \text{ mm}$

Tulangan Tumpuan

$$M_{tump} = 5811300 \text{ Nmm}$$

$$R_n = \frac{5811300}{0.8 \times 300 \times 350.5^2} = 0.32 \text{ Mpa}$$

$$\rho = \frac{1}{12.55} \times \left[1 - \sqrt{1 - \frac{2 \times 12.55 \times 0.32}{320}} \right] = 0.001$$

$$\rho_{\min} = \frac{1.4}{f_y} = \frac{1.4}{320} = 0.0044$$

diambil $\rho_{\min} = 0.0044 \dots \dots \rho < \rho_{\min}$

$$\begin{aligned} \text{As perlu} &= \rho \times b \times d \\ &= 0.0044 \times 300 \times 350 \\ &= 462 \text{ mm}^2 \end{aligned}$$

dipakai 2D19 (566.7 mm²)

Tulangan Lapangan

$$M_{lap} = 20662700 \text{ Nmm}$$

$$R_n = \frac{20662700}{0.8 \times 300 \times 350^2} = 0.904 \text{ Mpa}$$

$$\rho = \frac{1}{12.55} \times \left[1 - \sqrt{1 - \frac{2 \times 12.55 \times 0.904}{320}} \right] = 0.0022$$

$$\rho_{\min} = \frac{1.4}{f_y} = \frac{1.4}{320} = 0.0044$$

diambil $\rho = 0.0044 \dots \dots \rho < \rho_{\min}$

4.2.3.1 Tulangan Geser Sebelum Komposit

$$V_u = 2090 \text{ kg}$$

$$d = 400 - 120 - 30 - 10 - 19/2 = 230.5 \text{ mm}$$

$$V_c = 1/6 \times \sqrt{f_c} \times b_w \times d$$

$$= 1/6 \times \sqrt{30} \times 300 \times 230.5$$

$$\approx 62988.1 \text{ N}$$

$$\emptyset V_c = 0.6 \times 62988.1 = 37792.9 \text{ N}$$

$V_u < \emptyset V_c$ jarak tulangan dipasang praktis

Syarat $\leq d/2 = 230/2 = 115 \text{ mm}$

$\leq 600 \text{ mm}$

dipasang $s = 110 \text{ mm}$

4.4.2 Tulangan Geser Sesudah Komposit

$$V_u = 24213 \text{ N}$$

$$d = 400 - 30 - 10 - 20/2 = 350 \text{ mm}$$

$$V_c = 1/6 \times \sqrt{f_c} \times b_w \times d$$

$$= 1/6 \times \sqrt{30} \times 300 \times 350 = 95851.4 \text{ N}$$

$$\emptyset V_c = 0.6 \times 95851.4 = 57510.9 \text{ N}$$

$V_u < \emptyset V_c$ jarak tulangan dipasang praktis

Syarat $\leq d/2 = 350/2 = 175 \text{ mm}$

$\leq 600 \text{ mm}$

dipasang $s = 175 \text{ mm}$

4.5 Perencanaan Tangga

Perencanaan struktur tangga dapat mengambil beberapa macam alternatif, baik konstruksi maupun perletakannya. Konstruksi tangga dapat direncanakan sebagai balok tipis, pelat (shell) maupun konstruksi balok dan pelat. Perbedaan asumsi ini akan menentukan besarnya gaya – gaya reaksi yang akan terjadi pada konstruksi tangga tersebut.

Berdasarkan persyaratan PPTGIUG 1983, unsur – unsur non struktur hendaknya dipisahkan dari strukturnya, agar unsur non struktur tersebut tidak mempengaruhi kekakuan struktur utamanya.

Analisa gaya dalamnya dengan memakai perencanaan struktur statis tertentu, perletakan tangga dapat diasumsikan sebagai sendi – sendi, sendi – rol maupun jepit – jepit. Perbedaan asumsi ini akan menentukan cara penulangan dan konsentrasi penulangan konstruksinya serta pengaruhnya terhadap keseluruhan.

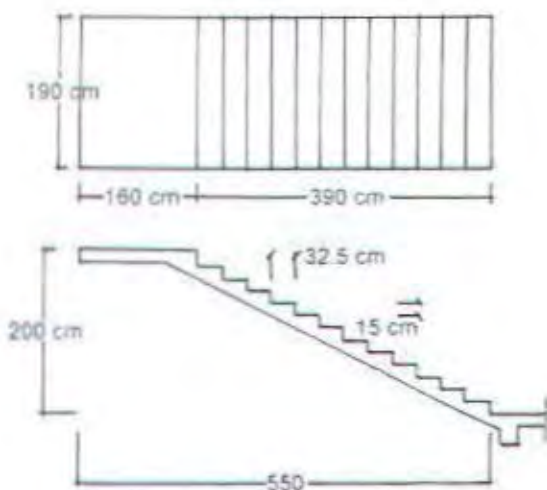
Struktur tangga dimodelkan sebagai frame dua dimensi dengan perletakan sendi serta rol. Pelaksanaan di lapangan dilakukan dengan cor setempat, termasuk juga balok pada tumpuan.

Data – data perencanaan :

$$f_c = 30 \text{ Mpa}$$

$$f_y = 320 \text{ Mpa}$$

- Tebal pelat tangga dan bordes rencana = 15 cm
- Tinggi antar lantai = 400 cm
- Panjang bordes = 160 cm
- Panjang tangga = 390 cm
- Lebar tangga = $400 (2 \times 190)$
- Banyaknya injakan = 12 buah
- Tinggi injakan (t) = 15 cm
- Lebar injakan (l) = 32.5 cm
- Jarak horizontal = $32.5 \times 12 = 190 \text{ cm}$
- Jarak vertikal = 15×12
= 180 + 20 cm untuk tinggi bordes
- Sudut kemiringan tangga (α) = $\text{arc tan } \frac{15}{32.5} = 24.77^\circ < 45^\circ$



Gambar 4.11 Gambar tangga

- Perhitungan tebal pelat rata – rata (tr) :

$$\text{Arc tan} \left[\frac{15}{32.5} \right] = \text{Arc cos} \left[\frac{x}{7.5} \right]$$

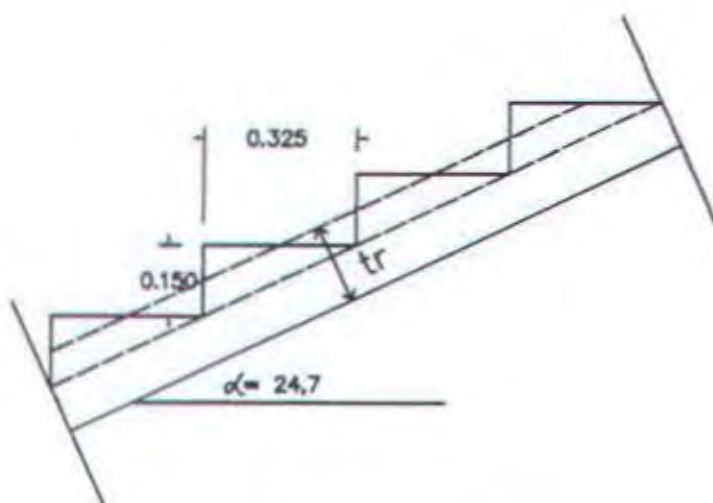
$$x = 7.5 \times \cos 24.77$$

$$x = 6.8 \text{ cm} \approx 7 \text{ cm}$$

$$\text{Tebal pelat rata – rata} = \text{tebal pelat tangga} + x$$

$$= 15 + 7$$

$$= 22 \text{ cm}$$



Gambar 4.12 Tebal rata – rata tangga

Pembeban tangga dan bordes

Beban – beban pada tangga meliputi berat sendiri ditambah beban hidup merata diatasnya.

1. Pelat tangga

- Beban mati

$$\text{- Pelat tangga} = \frac{0.22 \times 2400}{\cos 24.77^\circ} = 528 \text{ kg/m}^2$$

$$\text{- Spesi + tegel} = 1 \times (21 + 24) = 45 \text{ kg/m}^2$$

$$\begin{aligned}\text{- Sandaran} &= 50 \text{ kg/m}^2 \\ &\underline{623 \text{ kg/m}^2}\end{aligned}$$

$$\bullet \text{ Beban hidup} = 300 \text{ kg/m}^2$$

Didapatkan : $q_u = 1.2DL + 1.6LL$

$$= 1.2 \times 623 + 1.6 \times 300$$

$$= 1227.6 \text{ kg/m}^2$$

2. Pelat bordes

- Beban mati

$$\text{- Pelat tangga} = 0.15 \times 2400 = 360 \text{ kg/m}^2$$

$$\text{- Spesi + tegel} = 1 \times (21 + 24) = 45 \text{ kg/m}^2$$

$$\begin{aligned}\text{- Sandaran} &= 50 \text{ kg/m}^2 \\ &\underline{455 \text{ kg/m}^2}\end{aligned}$$

- Beban hidup = 300 kg/m^2

Didapatkan : $q_u = 1.2DL + 1.6LL$

$$= 1.2 \times 455 + 1.6 \times 300$$

$$= 1026 \text{ kg/m}^2$$

4.5.2 Analisa Gaya – gaya dalam

$$q_1 = 1026 \text{ kg/m}^2 \times 1.9 \text{ m} = 1949 \text{ kg/m}$$

$$q_2 = 1227.6 \text{ kg/m}^2 \times 1.9 \text{ m} = 2332.44 \text{ kg/m}$$

$$\begin{aligned}\Sigma MB = 0 \Rightarrow VA \times 5.5 - 1949 \times 1.6 \times (3.9 + \frac{1.6}{2}) - 2332.44 \times 3.9 \times \frac{3.9}{2} \\ = 5.5 VA - 14656.48 - 17737.9\end{aligned}$$

$$V_A = 5889.9 \text{ kg}$$

$$\sum V = 0 , V_A + V_B - q_1 \times 1.6 - q_2 \times 3.9 = 0$$

$$5889.9 + V_B - 1949 \times 1.6 - 2332.4 \times 3.9 = 0$$

$$V_B = 6324.9 \text{ kg}$$

$$\sum M_A = 0 : -V_B \times 5.5 + 1949 \times 1.6 \times \frac{1.6}{2} + 2332.4 \times 3.9 \times (1.6 + \frac{3.9}{2}) + H_B \times 2$$

$$H_B = (-6324.9 \times 5.5 + 1949 \times 1.6 \times 0.8 + 2332.4 \times 3.9 \times 3.55) / 2$$

$$= 0.006 \approx 0 \text{ kg}$$

$$\sum H = 0 \dots H_B = 0 \text{ kg}$$

➤ Pelat Bordes A – C

$$\text{Panjang} = 1.60 \text{ m}$$

a. Gaya Momen (M)

$$MX_1 = V_A \times X_1 - \frac{1}{2} \times q_1 \times X_1^2$$

$$\text{Momen maksimum bila} : \frac{\partial MX_1}{\partial X_1} = 0 \rightarrow V_A - q_1 \cdot X_1 = 0$$

$$X_1 = V_A / q_1 = 5889.9 / 1949.9 = 3.02 \text{ m} < 1.60 \text{ m} \dots \text{tidak mungkin}$$

maka momen maksimum terjadi di titik c :

$$X_1 = 1.60 \text{ m} \longrightarrow M_{\max} = V_A \times 1.60 - 1/2 \times 1949 \times 1.60^2$$

$$= 6929.3 \text{ kgm}$$

Titik A = Momen A = 0 kgm

b. Gaya Lintang (D)

$$DX = V_A - q_1 \cdot X_1$$

$$= 5889.9 - 1949 \cdot X_1$$

$$\text{Titik A; } X_1 = 0 \dots D_A = 5889.9 \text{ kg}$$

$$\text{Titik C; } X_1 = 2 \dots D_A = 1991.9 \text{ kg}$$

c. Gaya Normal (N)

$$\text{Titik A; } N_A = 0 \text{ kg}$$

$$\text{Titik C; } N_A = 0 \text{ kg}$$

➢ Pelat Tangga C – B

Panjang = 3.90 m

a. Gaya Momen (M)

$$MX_2 = V_A \times (1.6 + X_2) - q_1 \times 1.6 \times (0.8 + X_2^2) - \frac{1}{2} \times q_2 \times X_2^2 \\ = 1.6 \times V_A - 1.28 \times q_1 \times X_2 - \frac{1}{2} \times q_2 \times X_2^2$$

maksimum bila : $\frac{\partial Mx_2}{\partial x_2} = 0 \rightarrow V_A - 1.6 \times q_1 - q_2 \times X_2 = 0$

$$X_2 = \frac{V_A - 1.25 \times q_1}{q_2}$$

$$= \frac{5889.9 - 1.6 \times 1949}{2332.4}$$

$$= 1.19 \text{ m}$$

maka momen maksimum terjadi di titik $X_2 =$

$$M_{\max} = 1.6 \times V_A - 1.28 \times q_1 - \frac{1}{2} \times q_2 \times X_2 \\ = 1.6 \times 5889.9 - 1.28 \times 1949 - \frac{1}{2} \times 2332.4 \times 1.19 \\ = 5529.9 \text{ kgm}$$

Titik B = 0 kgm

Titik C = 2731.5 kgm

b. Gaya Lintang (D)

Titik C; $D_C = D_c = 1991.9 \times \sin 24.77 = 834.59 \text{ kg}$

Titik B; $D_B = D_b = 834.59 - 2332.4 \times \sin 24.77 \times 3.9 = -2976.6 \text{ kg}$

c. Gaya Normal (N)

Titik C; $N_C = 1991.9 \times \cos 24.77 = 1808.64 \text{ kg}$

Titik B; $N_B = 1808.64 - 2332 \cos 24.77 \times 3.9 = -6450 \text{ kg}$



4.6.1 Penulangan Lentur Tangga

a. Penulangan Lentur Pelat Tangga

Penulangan Lentur arah x

$$M_{mak} = 5529.9 \text{ Nmm}$$

Direncanakan tulangan diameter 16 mm

$$d = 220 - 20 - 16/2 = 192 \text{ mm}$$

$$M_n = \frac{M_{mak}}{\phi} = \frac{55299000}{0.8} = 69123750 \text{ N.mm}$$

$$R_n = \frac{M_n}{b * d^2}$$

$$= \frac{69123750}{1000 * 192^2}$$

$$= 1.87 \text{ MPa}$$

$$m = \frac{f_y}{0.85 * f_c'}$$

$$= \frac{320}{0.85 * 30}$$

$$= 12.55$$

$$\rho_{perlu} = \frac{1}{m} \left\{ 1 - \sqrt{1 - \frac{2 * m * R_n}{f_y}} \right\}$$

$$= \frac{1}{12.55} \left\{ 1 - \sqrt{1 - \frac{2 * 12.55 * 1.87}{320}} \right\}$$

$$= 0.006 > \rho_{min} = 0.0044$$

Di pakai $\rho = 0.006$

$$A_s = \rho * b * d_x$$

$$= 0.006 * 1000 * 192$$

$$= 1166.49 \text{ mm}^2$$

Dipasang D16 - 175 mm

➤ Penulangan Lentur arah y

Direncanakan sebagai pelat satu arah maka penulangan arah y adalah tulangan pembagi dengan jumlah tulangan

Tulangan pembagi = $0.002 \times A_s$

$$\begin{aligned} &= 0.002 \times 1000 \times 192 \\ &= 384 \text{ mm}^2 \end{aligned}$$

Dipasang D10 - 150 mm (A_s ada = 523.33 mm^2)

b. Penulangan lentur Pelat Bordes

Penulangan Lentur arah x

$M_{mak} = 69293000 \text{ Nmm}$

Direncanakan tulangan diameter 16 mm

$$d = 220 - 20 - 16/2 = 192 \text{ mm}$$

$$\begin{aligned} M_n &= \frac{M_{mak}}{\phi} \\ &= \frac{69293000}{0.8} \\ &= 86616250 \text{ N.mm} \end{aligned}$$

$$\begin{aligned} R_n &= \frac{M_n}{b * d^2} \\ &= \frac{86616250}{1000 * 192^2} \\ &= 2.34 \text{ MPa} \end{aligned}$$

$$\begin{aligned} m &= \frac{f_y}{0.85 * f_{c'}} \\ &= \frac{320}{0.85 * 30} \\ &= 12.55 \end{aligned}$$

$$\begin{aligned} \rho_{perlu} &= \frac{1}{m} \left\{ 1 - \sqrt{1 - \frac{2 * m * R_n}{f_y}} \right\} \\ &= \frac{1}{12.55} \left\{ 1 - \sqrt{1 - \frac{2 * 12.55 * 2.34}{320}} \right\} \end{aligned}$$

$$= 0.0076 > \rho_{min} = 0.0044$$

Di pakai $\rho = 0.0076$

$$As = \rho * b * dx$$

$$= 0.0076 * 1000 * 192$$

$$= 1475.11 \text{ mm}^2$$

Dipasang D16 - 140 mm ($As = 1607.7 \text{ mm}^2$)

➢ Penulangan Lentur arah y

Direncanakan sebagai pelat satu arah maka penulangan arah y adalah tulangan pembagi dengan jumlah tulangan

$$\text{Tulangan pembagi} = 0.002 \times As$$

$$= 0.002 \times 1000 \times 150$$

$$= 300 \text{ mm}^2$$

Dipasang D10 - 250 mm ($As \text{ ada} = 314 \text{ mm}^2$)

4.6.2 Penulangan Geser Tangga

a. Penulangan geser bordes

$$Vu = 5889.9 \text{ kg} = 58899 \text{ N}$$

$$Vc = \frac{1}{6} \sqrt{fc} bw d \quad \dots \dots \text{ SKSNI T-15-1991-03 ps. 3.4.3}$$

$$\phi Vc = 0.6 \times 1/6 \times \sqrt{30} \times 1000 \times 192$$

$$= 105162.7 \text{ N} = 105.16 \text{ KN}$$

$\phi Vc > Vu = N \quad \dots \dots \text{ tidak perlu tulangan geser}$

b. Penulangan geser pelat Tangga

$$Vu = \text{kg} = 2976.5 \text{ N}$$

$$Vc = \frac{1}{6} \sqrt{fc} bw d \quad \dots \dots \text{ SKSNI T-15-1991-03 ps. 3.4.3}$$

$$\phi Vc = 0.6 \times 1/6 \times \sqrt{30} \times 1000 \times 192$$

$$= 105162.7 \text{ N} = 105.16 \text{ KN}$$

$\phi Vc > Vu = N \quad \dots \dots \text{ tidak perlu tulangan}$

Untuk seluruh elemen – elemen pada pelat tangga didapatkan bahwa gaya geser yang terjadi adalah di bawah kekuatan geser beton sehingga tidak diperlukan tulangan geser untuk menambah kekuatan.

BAB V

ANALISA STRUKTUR UTAMA

BAB V

ANALISA STRUKTUR UTAMA

5.1. Umum

Didalam analisa struktur, struktur utama merupakan struktur yang kekakuananya mempengaruhi perilaku dari struktur gedung tersebut. Struktur utama berfungsi menahan beban baik beban dari gravitasi maupun beban arah lateral (beban gempa). Komponen struktur ini terdiri dari kolom, balok induk dan shearwall.

Didalam analisa struktur utama Tower Gedung Perkantoran PT. Halim Sakti Surabaya ini, pemodelan struktur didasarkan atas peraturan UBC 1997 dengan mempergunakan **Building Frames System**.

5.2 Data – data perencanaan

Perencanaan Struktur Tower Gedung Perkantoran PT. Halim Sakti Surabaya ini sebagai berikut :

- Fungsi Bangunan = Perkantoran
- Tinggi Bangunan = 32 m
- Jumlah Tingkat = 8 m
- Tinggi Tiap Tingkat = 4 m
- Jenis Bangunan = Beton Bertulang
- Mutu Beton (fc) = 30 Mpa
- Mutu Baja Tulangan Utama (fy) = 320 Mpa
- Mutu Baja Tulangan Sengkang = 320 Mpa
- Zona Gempa = 2b
- Dimensi Balok Induk Memanjang = 40/70
- Dimensi Balok Induk Melintang = 30/50
- Dimensi Balok Anak Melintang = 30/40
- Tebal Shearwall = 30 cm

5.3 Perhitungan Pembebaan Vertikal

Dari Mekanika pembebaan didapatkan beban – beban arah gravitasi dipikul untuk Building Frame System oleh frame, sedangkan analisa memakai program **ETABS**.

Beban – beban :

1. Beban pelat atap

- Beban mati = 372 kg/m^2
- Beban hidup = 250 kg/m^2

Beban –beban langsung diberikan pada program ETABS sesuai type trybutary

2. Beban pelat lantai

- Beban mati = 406 kg/m^2
- Beban hidup = 250 kg/m^2

Beban –beban langsung diberikan pada program ETABS sesuai type trybutary

3. Beban sendiri balok

- Balok induk memanjang 40/70
 $q = 0.4 \times 0.7 \times 2400 = 672 \text{ kg/m}$
- Balok induk melintang 30/50
 $q = 0.3 \times 0.5 \times 2400 = 360 \text{ kg/m}$
- Balok induk melintang 30/40
 $q = 0.3 \times 0.4 \times 2400 = 288 \text{ kg/m}$

4. Beban dinding

$$q = (2 + 2) \times 2400 = 1000 \text{ kg/m}$$

5.4 Perhitungan Gaya Horisontal

5.4.1. Berat pelat atap total

a. Beban mati atap

1. Berat pelat atap total

$$\begin{aligned}W_{(1)(1)} &= q \times A \text{ pelat total} \\&= 372 \times 421.2 = 156686.4 \text{ kg}\end{aligned}$$

- $W_{1(l:4)} = q \times A$ pelat total
 $= 372 \times 118.8 = 44193.6 \text{ kg}$
2. $W_{2(l:9)}$
 $= (0.4 \times 0.7 \times 2400) \times (\text{panjang total balok induk } L = 660 \text{ cm})$
 $= 672 \times 39.6 = 26611.2 \text{ kg}$
- $W_{2(l:4)} = (0.4 \times 0.7 \times 2400) \times (\text{panjang total balok induk } L = 660 \text{ cm})$
 $= 672 \times 39.6 = 26611.2 \text{ kg}$
3. $W_{3(l:9)}$
 $= (0.3 \times 0.5 \times 2400) \times (\text{panjang total balok induk } L = 400 \text{ cm})$
 $= 360 \times 60 = 21600 \text{ kg}$
- $W_{3(l:4)} = (0.3 \times 0.5 \times 2400) \times (\text{panjang total balok induk } L = 400 \text{ cm})$
 $= 360 \times 12 = 4320 \text{ kg}$
4. $W_{4(l:9)}$
 $= (0.4 \times 0.7 \times 2400) \times (\text{panjang total balok induk } L = 560 \text{ cm})$
 $= 672 \times 100.8 = 67737.6 \text{ kg}$
5. $W_{5(l:9)}$
 $= (0.3 \times 0.5 \times 2400) \times (\text{panjang total balok induk } L = 300 \text{ cm})$
 $= 360 \times 30 = 10800 \text{ kg}$
- $W_{5(l:4)} = (0.3 \times 0.5 \times 2400) \times (\text{panjang total balok induk } L = 300 \text{ cm})$
 $= 360 \times 6 = 2160 \text{ kg}$
6. $W_{6(l:9)}$
 $= (0.3 \times 0.4 \times 2400) \times (\text{panjang total balok anak } L = 400 \text{ cm})$
 $= 288 \times 72 = 20736 \text{ kg}$
- $W_{6(l:4)} = (0.3 \times 0.4 \times 2400) \times (\text{panjang total balok anak } L = 400 \text{ cm})$
 $= 672 \times 39.6 = 5184 \text{ kg}$
7. $W_{7(l:9)}$
 $= (0.3 \times 0.4 \times 2400) \times (\text{panjang total balok anak } L = 300 \text{ cm})$
 $= 288 \times 24 = 6912 \text{ kg}$
- $W_{7(l:4)} = (0.3 \times 0.4 \times 2400) \times (\text{panjang total balok anak } L = 300 \text{ cm})$
 $= 288 \times 4 = 1152 \text{ kg}$
8. $W_{8(l:9)}$
 $= \text{Berat total kolom}$
 $= 0.80 \times 0.80 \times 2 \times 2400 \times 30$
 $= 92160 \text{ kg}$
- $W_{8(l:4)} = \text{Berat total kolom}$
 $= 0.35 \times 0.35 \times 2 \times 2400 \times 6$
 $= 3528 \text{ kg}$
9. $W_9 = \text{Berat total shearwall}$
 $= A \text{ total shearwall} \times \text{tinggi shearwall yang dipikul} \times 2400$

$$= 9.84 \times 2 \times 2400$$

$$= 47232 \text{ kg}$$

10. $W_{100,9}$ = Berat total dinding

$$= q \times \text{tinggi dinding yang dipikul} \times \text{panjang total dinding}$$

$$= 250 \times 2 \times 104.8$$

$$= 52400 \text{ kg}$$

$W_{100,4}$ = Berat total dinding

$$= q \times \text{tinggi dinding yang dipikul} \times \text{panjang total dinding}$$

$$= 250 \times 2 \times 31.2$$

$$= 15600 \text{ kg}$$

berat mati total atap 9

$$= 156686.4 \text{ kg} + 26611.2 \text{ kg} + 21600 \text{ kg} + 67737.6 \text{ kg} + 10800 \text{ kg} + 20736 \text{ kg}$$

$$+ 6912 \text{ kg} + 92160 \text{ kg} + 47232 + 52400 = 502875.2 \text{ kg}$$

berat mati total atap 4

$$= 44193.6 \text{ kg} + 26611.2 \text{ kg} + 4320 \text{ kg} + 2160 \text{ kg} + 5184 \text{ kg} + 1152 \text{ kg}$$

$$+ 3528 + 15600 = 102748.8 \text{ kg}$$

b. Beban hidup atap

W hidup total atap lt.9 = koef. reduksi $\times q \times A$ total pelat atap

$$= 0.5 \times 421.2 \times 100$$

$$= 21060 \text{ kg}$$

W hidup total atap lt.4 = koef. reduksi $\times q \times A$ total pelat atap

$$= 0.5 \times 118.8 \times 100$$

$$= 4140 \text{ kg}$$

W total atap lt. 9 = $21060 + 502875.2 = 453264.6 \text{ kg}$

W total atap lt. 4 = $4140 + 102748.8 = 106888.8 \text{ kg}$

5.4.2. Berat pelat lantai total

a. Beban mati lantai

Berat pelat lantai total

I. $W_{100,1,8}$ = $q \times A$ pelat lantai total

$$= 406 \times 421.6 = 171007.2 \text{ kg}$$

- $W_{1(B.1.8)} = q \times A$ pelat lantai total
 $= 406 \times 118.8 = 48232.8 \text{ kg}$
2. $W_{2(B.1.8)} = (0.4 \times 0.7 \times 2400) \times (\text{panjang total balok induk } L = 660 \text{ cm})$
 $= 672 \times 39.6 = 26611.2 \text{ kg}$
- $W_{2(B.1.3)} = (0.4 \times 0.7 \times 2400) \times (\text{panjang total balok induk } L = 660 \text{ cm})$
 $= 672 \times 39.6 = 26611.2 \text{ kg}$
3. $W_{3(B.1.8)} = (0.3 \times 0.5 \times 2400) \times (\text{panjang total balok induk } L = 560 \text{ cm})$
 $= 360 \times 134.4 = 48383 \text{ kg}$
4. $W_{4(B.1.8)} = (0.3 \times 0.5 \times 2400) \times (\text{panjang total balok induk } L = 400 \text{ cm})$
 $= 360 \times 60 = 21600 \text{ kg}$
- $W_{4(B.1.3)} = (0.3 \times 0.5 \times 2400) \times (\text{panjang total balok induk } L = 400 \text{ cm})$
 $= 360 \times 12 = 4320 \text{ kg}$
5. $W_{5(B.1.8)} = (0.3 \times 0.5 \times 2400) \times (\text{panjang total balok induk } L = 300 \text{ cm})$
 $= 360 \times 30 = 10800 \text{ kg}$
- $W_{5(B.1.3)} = (0.3 \times 0.5 \times 2400) \times (\text{panjang total balok induk } L = 300 \text{ cm})$
 $= 360 \times 6 = 2160 \text{ kg}$
6. $W_{6(B.1.8)} = (0.3 \times 0.4 \times 2400) \times (\text{panjang total balok anak } L = 400)$
 $= 288 \times 48 = 13284 \text{ kg}$
- $W_{6(B.1.3)} = (0.3 \times 0.4 \times 2400) \times (\text{panjang total balok anak } L = 400)$
 $= 288 \times 12 = 3456 \text{ kg}$
7. $W_{7(B.1.8)} = (0.3 \times 0.4 \times 2400) \times (\text{panjang total balok anak } L = 300)$
 $= 288 \times 24 = 6912 \text{ kg}$
- $W_{7(B.1.3)} = (0.3 \times 0.4 \times 2400) \times (\text{panjang total balok anak } L = 300)$
 $= 288 \times 6 = 1728 \text{ kg}$
8. $W_{8(B.1.8)} = \text{Berat total kolom}$
 $= 0.8 \times 0.8 \times 2400 \times 4 \times 20$
 $= 122880 \text{ kg}$
- $W_{8(B.1.3)} = \text{Berat total kolom}$
 $= 0.8 \times 0.8 \times 2400 \times 4 \times 5$
 $= 30720 \text{ kg}$
9. $W_9 = \text{Berat total shearwall}$
 $= \text{A total shearwall} \times \text{tinggi shearwall yang dipikul} \times 2400$

$$= 9.84 \times 4 \times 2400$$

$$= 94464 \text{ kg}$$

10. $W_{10(1.1-8)}$ = Berat total dinding

$$= q \times \text{tinggi dinding yang dipikul} \times \text{panjang total dinding}$$

$$= 250 \times 4 \times 104.8$$

$$= 104800 \text{ kg}$$

$W_{10(1.1-3)}$ = Berat total dinding

$$= q \times \text{tinggi dinding yang dipikul} \times \text{panjang total dinding}$$

$$= 250 \times 4 \times 31.2$$

$$= 31200 \text{ kg}$$

berat mati total lantai 1-8

$$= 171007.2 \text{ kg} + 26611.2 \text{ kg} + 48383 \text{ kg} + 21600 \text{ kg} + 10800 \text{ kg} +$$

$$13284 \text{ kg} + 6912 \text{ kg} + 122880 \text{ kg} + 94464 \text{ kg} + 104800 \text{ kg}$$

$$= 602741.4 \text{ kg}$$

berat mati total lantai 1-3

$$= 48232.8 \text{ kg} + 26611.2 \text{ kg} + 4320 \text{ kg} + 2160 \text{ kg} + 3456 \text{ kg} + 1728 \text{ kg}$$

$$+ 30720 \text{ kg} + 31200 \text{ kg}$$

$$= 148428 \text{ kg}$$

b. Beban hidup atap

$W_{\text{hidup total lantai (lt.1-8)}}$ = koef. reduksi $\times q \times A$ total pelat lantai

$$= 0.5 \times 250 \times 421.2$$

$$= 52650 \text{ kg}$$

$W_{\text{hidup total lantai (lt.1-3)}}$ = koef. reduksi $\times q \times A$ total pelat lantai

$$= 0.5 \times 250 \times 118.8$$

$$= 14850 \text{ kg}$$

5.5 Perhitungan Gaya Geser Dasar

Semua perhitungan gaya geser dasar dalam perencanaan gaya gempa digunakan UBC 1997. Perhitungan gaya geser dasar ini dipergunakan untuk mengecek gaya gempa yang dihasilkan oleh analisa dinamis, dimana besarnya gaya gempa yang

dihasilkan pada analisa dinamis tidak boleh kurang dari 90% dari perhitungan analisa gempa statis.

Perhitungan gaya gempa dasar sesuai dengan UBC 1997 section 1630.2.1 sebagai berikut :

- Total gaya geser dasar yang bekerja dihitung berdasarkan :

$$V = \frac{C_v \cdot I}{R \cdot T} \times W \quad \text{Persamaan (30 - 4)}$$

- Dimana total gaya geser tidak perlu lebih dari :

$$V \leq \frac{2.5 C_v \cdot I}{R} \times W \quad \text{Persamaan (30 - 5)}$$

- Dimana total gaya geser tidak perlu kurang dari :

$$V \geq 0.11 \cdot C_a \cdot I \cdot W \quad \text{Pers (30 - 6)}$$

Periode perhitungan dasar struktur (T) dapat dilakukan dengan dua metode :

1. Metode A

$$T = C_t \cdot (h_b)^{3/4} \quad \text{Pers (30 - 6) section 1630.2.2 UBC1997}$$

2. Metode B

$$T = 2\pi \sqrt{\left(\sum_{i=1}^n w_i \cdot \delta i^2 \right) + \left(g \sum_{i=1}^n f_i \cdot \delta i \right)}$$

Perhitungan T dengan metode A

Dimana $C_t = 0.0488$ for other building

$$\text{Didapatkan } T = 0.0488 \times (32)^{3/4} = 0.656 \text{ dt}$$

- Building frames system (shear wall – concrete) : $R = 5.5, \Omega_0 = 2.8$
- Zona 2b dan tipe tanah Sd : $C_a = 0.28$ tabel 16 – Q UBC 1997
- Zona 2b dan tipe tanah Sd : $C_v = 0.40$ tabel 16 – R UBC 1997
- Perkantoran (Special occupancy structures³) = 1:1
- Zona 2b (z = 0.2)

dari data diatas didapatkan :

$$V = \frac{C_v \cdot I}{R \cdot T} \times W = \frac{0.4 \times 1}{5.5 \times 0.656} \times 6293118 = 697684.9 \text{ kg}$$

$$V \leq \frac{2.5C_a I}{R} x W = \frac{2.5 \times 0.44 \times 1}{5.5} \times 6293118 = 1258623.6 \text{ kg .. (menentukan)}$$

$$V \geq 0.11.C_a.I.W = 0.11 \times 0.44 \times 1 \times 6293118 = 304586.9 \text{ kg}$$

5.5.1 Perhitungan Gaya Geser Tiap Lantai

Gaya geser yang telah didapatkan dari perhitungan diatas akan didistribusikan secara vertical ke masing – masing lantai dengan UBC 1997 Section 163.5 dengan perumusan :

$$F_x = \frac{(V - F_i)W_i.h_i}{\sum W_i.h_i} \quad \dots \text{pers. UBC 1997 (30-15)}$$

Dimana :

V = gaya geser dasar

F_i = gaya gempa pada puncak struktur

Karena nilai $T < 7$ detik maka F_i = diabaikan = 0

Dengan rumus $F_x = \frac{(V - F_i)W_i.h_i}{\sum W_i.h_i}$ diperoleh gaya geser tiap lantai sebagai berikut :

Table 5.1 Gaya Geser Tiap Lantai

Lantai	Wi		Wi gab.	Hi	Wi x Hi	Fx
	9 lt.	4 lt.				
	(kg)	(kg)				
9	453264		453264.0	32	14504448.0	150210.49
8	655391		655391.4	28	18350959.2	190045.60
7	655391		655391.4	24	15729393.6	162896.23
6	655391		655391.4	20	13107828.0	135746.86
5	655391		655391.4	16	10486262.4	108597.49
4	655391	106889	762280.2	12	9147362.4	94731.61
3	655391	163278	818669.4	8	6549355.2	67826.22
2	655391	163278	818669.4	4	3274677.6	33913.11
1	655391	163278	818669.4	0	0.0	0.00
			6293118		91150286.4	

5.6 Perhitungan Analisa Gempa Dinamis

Perhitungan analisa gempa dinamis dihitung langsung menggunakan program ETABS dimana perhitungan gempa dinamis ini mengacu pada UBC 1997 section 1631 sebagai berikut :

- Respon Spectrum Function

Didalam mendesai respon spectrum function mengacu pada nilai Ca dan Cv dimana tertera pada figure 16-3 UBC 1997, dimana nilai Ca dan Cv direduksi dengan faktor pembagi R

- Respon Spectrum Case

Didalam mendesai respon spectrum case nilai acceleration ordinates sesuai dengan UBC 1997 section 1631.2 haruslah dikalikan dengan kecepatan gravitasi sebesar 9.81 m/det^2 , dengan nilai mempertimbangkan terjadi dumping sebesar 0.05

Tabel 5.2 Nilai Response Spectrum Case

$$T = 0.656 \text{ det}$$

$$Ca = 0.28$$

$$Cv = 0.4$$

Period	Acceleration	Ts
0	0.28	0
0.114	0.70	3.499
0.57	0.70	0.700
0.8	0.50	0.500
1.0	0.40	0.400
1.2	0.33	0.333
1.4	0.29	0.285
1.6	0.25	0.250
etc.		

$$0.25Ca = 0.25 \times 2.8 = 0.7$$

$$Ts = Cv/(2.5Ca)$$

Perhitungan analisa gempa dinamis hendaknya memperhitungkan bahwa jumlah mode yang dimasukkan memepertimbangkan sekurang – kurangnya 90% jumlah partisipasi massa yang dihasilkan masuk kedalam hitungangaya gempa dinamis. Selain itu juga perlu dipenuhi bahwa total reaksi gaya geser dasar yang dihasilkan pada analisa gempa dinamis tidak boleh kurang dari 90% total gaya geser dasar yang dihasilkan pada perhitungan gempa statis, hal ini sesuai dengan yang diisyaratkan dalam UBC 1997 section 1631 5.4.1

Gaya puntir diperhitungkan juga dalam analisa gaya gempa, hal ini ssuai dengan yang diisyaratkan UBC 1997 section 1630.7, kemudian gaya puntir yang dapat dimasukkan sebagai beban gaya yang memutar sumbu di vertikal pusat massa, dimana momen puntir ini diperhtungkan berdasarkan :

1. Momen Torsi akibat kekakuan yang tidak berimpit dengan pusat massa struktur (ec).
2. Momen Torsi yang terjadi dengan anggapan terjadi pergeseran pusat massa sebesar 5% dari lebar gedung pada masing – masing arah yang ditinjau sesuai UBC 1997 section 1630.6

Tabel 5.3 Momen Torsi Akibat beban gempa arah x di Pusat massa

	Fx kg	Letak titik berat			M Torsi Kg-m
		x m	y m	Z M	
atap	320837	11.715	8.985	32	152542
8	384766	11.565	9.032	28	182967
7	329799	11.565	9.032	24	152468
6	274832	11.565	9.032	20	127056
5	219866	11.565	9.032	16	101645
4	191617	13.718	9.028	12	86762.8
3	133229	13.898	9.028	8	58574.9
2	66614	13.898	0.028	4	30065.6

Tabel 5.4 Momen Torsi Akibat beban gempa arah y di Pusat massa

	Fy kg	Letak titik berat			M Torsi Kg-m
		x m	y m	Z M	
atap	20416.3	11.715	8.985	32	197730
8	4674.8	11.565	9.032	28	240653
7	4007	11.565	9.032	24	201897
6	3339.1	11.565	9.032	20	168247
5	2671.3	11.565	9.032	16	134598
4	2153.3	13.718	9.028	12	163590
3	2423.2	13.898	9.028	8	117155
2	1211	13.898	0.028	4	58578

5.7 Pemodelan Struktur

Di dalam perencanaan Tower gedung Perkantoran PT. Halim Sakti Surabaya ini gedung dimodelkan sebagai Building Frame System dengan shearwall. Di dalam pemodelan Building Frame System, shearwall didesain untuk menahan seluruh beban lateral (gaya horizontal) dan frame didesain untuk menahan seluruh beban gravitasi.

Shearwall dan balok kolom akan mengalami translasi yang sama besarnya karena pelat direncanakan sebagai diafragma yang kaku. Sehingga perlu mendesain struktur dimana balok kolom harus didesain untuk tidak runtuh dalam menahan translasi yang besar akibatnya dari beban lateral dan tidak rusak dalam menerima beban gempa yang kecil.

Perhitungan gaya-gaya dalam struktur akan menggunakan bantuan program software analisa struktur ETABS.

Untuk memenuhi persyaratan yang disebut diatas maka struktur dimodelkan menjadi 3 pemodelan, sebagai berikut:

a. Pemodelan I :

- Digunakan untuk mencari gaya dalam frames akibat berat sendiri, beban mati, beban hidup dan gempa
- Dengan analisa dinamis (respon spectra) pada ETABS

b. Pemodelan II :

- Digunakan untuk mencari translasi (Δm) yang ditimbulkan oleh beban lateral
- Digunakan untuk mencari gaya dalam pada shearwall akibat berat sendiri dan beban lateral.
- Dengan analisa dinamis (respon spectra) pada ETABS

c. Pemodelan III :

- Digunakan untuk mencari gaya dalam frames akibat traslasi (Δm) dari pemodelan II, berat sendiri, beban mati dan beban hidup.
- Dengan analisa statis pada ETABS

Di dalam pemodelan I ini ditujukan untuk mendapatkan gaya dalam akibat gravitasi dan gempa. Gaya dalam yang didapatkan nantinya akan dikombinasikan dengan gaya dalam yang dihasilkan pada pemodelan struktur lainnya. Pada pemodelan I kekauan semua elemen tetap ada dengan input beban kombinasi gravitasi dan gempa

Pada pemodelan II ini gaya lateral ini yang terjadi sepenuhnya dipikul oleh LFRS (Lateral Force Resisting System) dalam ini adalah shearwall. Untuk itu maka dari frames NLFRS (Non Lateral Force Resisting System) direduksi, sedangkan kekauan dari shearwall tetap ada sehingga seolah-olah gaya lateral dapat diterima sepenuhnya oleh shearwall.



Pemodelan II ini memiliki dua tujuan yaitu:

1. Untuk mendapatkan besarnya (Δm) yang terjadi pada komponen penahanan gaya lateral yaitu shearwall.

$$(\Delta m) = 0.7 \times R \times \Delta s$$

Δs adalah besarnya output displacements yang dihasilkan.

2. Untuk mendapatkan gaya-gaya dalam akibat gempa pada struktur LFRS

Pemodelan ini dimaksudkan bahwa frames harus mampu menerima beban gravitasi pada saat displacement terbesar pada tiap tingkat kearah lateral yang disebabkan oleh gempa, hal ini dimaksudkan bahwa struktur NLFRS tidak boleh runtuh pada saat beban gempa besar terjadi. Untuk itu pada pemodelan III ini struktur memiliki prilaku yang sama dengan pemodelan I namun beban yang bekerja pada struktur adalah joint displacement sebesar Δm dari pemodelan II dan beban gravitas. Pemodelan ini selanjutnya untuk menentukan konsep perhitungan yang bekerja pada struktur NLFRS.

5.8 Kombinasi Pembebanan

Kombinasi pembebanan yang bekerja pada struktur utama didasarkan pada UBC 1997 section 1612.2.1 dan section 1909.2.1 dimana secara umum kombinasi pembebanan yang bekerja adalah sebagai berikut:

1. 1.4D + 1.7L
2. 1.1 (1.2D + f_LL + 1.0 E)

f_L = 1.0 untuk lantai kepentingan umum 0.5 untuk beban hidup lain

3. 1.1 (0.9D + 1.0E)

Disamping itu untuk komponen NLFRS dipakai kombinasi .. UBC 1921.7

1. 1.4D + 1.4L + E
2. 0.9D + E

Selain kombinasi diatas section 1612.4 UBC mensyaratkan pemakaian kombinasi khusus untuk pembebanan gempa :

$$1. 1.2D + f_iL = 1.0 E_m$$

$$2. 0.9D + 1.0E_m$$

Dimana:

D = beban mati

L = beban hidup

E = beban gempa

$$E = \rho E_h + E_v \dots \text{ Dimana } \rho = 1$$

E_h = komponen gaya gempa horizontal yaitu gaya geser dasar (V)

E_v = komponen gaya gempa vertical = $0.5 C_a 1 D = 0.5 \times 2.8 \times 0.5 \times D = 1.4D + E_h$

Kombinasi pembebanan yang dipakai pada perencanaan Struktur Tower Gedung Perkantoran PT. Halim Sakti Surabaya sebagai berikut:

1. Pada pemodelan I

a. $4D + 1.7L$

b. $1.4D + 1.4L + E = 2.8D + 1.4L + E_h$

c. $0.9D + E = 2.3D + E_h$

d. $1.2D + f_iL + 1.0E_m = 1.2D + 0.5L + 1E_m$

e. $0.9D + 1.0E_m = 2.1D + E_h$

2. Pada pemodelan II

a. $1.2D + f_iL + 1.0E_m = 1.2D + 0.5L + 1E_m$

b. $0.9D + 1.0E_m = 2.1D + E_h$

3. Pada pemodelan III

COMBO						KETERANGAN	
	STATIS VERTIKAL			STATIS LATERAL			
	I	II	III	A	B		
1	1.4	1.7				1.4D + 1.7L	
2	2.8	1.4	1	1		1.4D + 1.7L + E (arah x)	
3	2.3		1		1	1.4D + 1.7L + E (arah y)	
4	1.2	0.5	1	1		0.9D + E (arah x)	
5	2.1		1		1	0.9D + E (arah y)	
6	1.2	0.5	1	1		1.2D + f1 L + 1.0Em (arah x)	
7	1.2	0.5	1		1	1.2D + f1 L + 1.0Em (arah y)	
8	2.1		1	1		0.9D + 1.0Em (arah x)	
9	2.1		1		1	0.9D + 1.0Em (arah y)	

5.9 Kontrol Periode (T) Getar Alami Struktur

Periode yang didapatkan pertama kali dari perumusan:

$$T_a = C_1 (h_n)^{1/4}$$

Selanjutnya harus ditinjau dengan metode B dengan perumusan:

$$T = 2\pi \sqrt{\left(\sum_{i=1}^n w_i \delta_i^2 \right) + \left(g \sum_{i=1}^n f_i \delta_i \right)}$$

Dimana:

w_i = berat struktur pada lantai i

δ_i = defleksi elastis pada lantai i

g = percepatan gravitasi

f_i = gaya gempa pada lantai i

sesuai dengan UBC 1997 section 1630.2.2 bahwa perlu dipenuhi periode yang dihitung dengan analisa dinamis tidak boleh melebihi periode yang dihitung melalui pendekatan (Ta) sebesar $T_a + 40\% T_a$.

Dari analisa struktur yang dilakukan didapatkan nilai δ harga δ tiap tingkat digunakan untuk mendapatkan displacement relatif tingkat (δ_i).

5.9.1 Kontrol Gaya Gempa Dinamis

5.9.1.1 Kontrol partisipasi masa pada gempa dinamis

Sesuai dengan UBC 1997 section 1631 5.2 jumlah mode harus ditentukan sedemikian sehingga jumlah masa yang berpartisipasi di dalam perhitungan gempa dinamis tidak boleh kurang dari 90% dan massa yang ada.

5.9.1.2 Kontrol gaya geser dasar

Pada UBC section 1631.5.4.1 dikatakan bahwa total gaya geser dasar yang bekerja pada analisa dinamis boleh direduksi sehingga nilai geser total yang bekerja tidak boleh kurang dari 90% dari gaya geser dasar yang dihasilkan dari analisa statis.

5.10 Kontrol Drift Antar Tingkat

Kontrol drift pada perancangan ini menggunakan data disolacement pemodelan II, karena displacement serta drift yang dihasilkan lebih besar dari data displacementdrift pada tiap tingkat: $\Delta m = 0.7 R \cdot \Delta s$ pers (30-17) UBC 1997

nilai $R = 5.5$... untuk building frame system

Defleksi Arah x

	Ds m	Dmaks m	Dm m	Ket.
atap	0.0144	0.08	0.05544	ok
8	0.0146	0.08	0.05621	ok
7	0.0143	0.08	0.05506	ok
6	0.00136	0.08	0.00524	ok
5	0.0122	0.08	0.04697	ok
4	0.01	0.08	0.0385	ok
3	0.007	0.08	0.02695	ok
2	0.0029	0.08	0.01117	ok

Defleksi Arah y

	Ds m	Dmaks m	Dm m	Ket.
atap	0.0037	0.08	0.01425	ok
8	0.0037	0.08	0.01425	ok
7	0.0037	0.08	0.01425	ok
6	0.0035	0.08	0.01348	ok
5	0.0031	0.08	0.01194	ok
4	0.0036	0.08	0.01386	ok
3	0.0027	0.08	0.0104	ok
2	0.00084	0.08	0.00323	ok

$$D_{max} = 0.02hs = 0.02 \times 4 = 0.08 \text{ m}$$

Ds dari Analisa Etabs

$$D_m = 0.7R.D_s$$

BAB VI

PERENCANAAN STRUKTUR UTAMA

BAB VI

PERENCANAAN STRUKTUR UTAMA

6.1. Pendahuluan

Gaya – gaya yang didapatkan dari output ETABS akan digunakan dalam perhitungan struktur utama.

Perencanaan struktur utama mengacu pada peraturan UBC 1997, sedangkan pada penulangan mengacu pada SKSNI T-15-1991-03.

6.2. Perencanaan Balok Induk

Didalam UBC 1997 telah dijelaskan bahwa balok dapat dikategorikan menjadi dua bagian yaitu balok kolektor elemen yang merupakan bagian dari LFRS dan balok NLFRS.

Pada Perencanaan Struktur Tower Gedung Perkantoran PT. Halim Sakti Surabaya ini digunakan balok komposit, dimana balok mendapatkan overtopping saat bersamaan dengan pengecoran pelat.

Pada saat sebelum komposit, balok berbentuk persegi dan memikul beban gravitasi selama pelaksanaan pemasangan pelat pracetak dan pengecoran overtopping. Setelah komposit, balok berbentuk T karena pelat menjadi monolit dengan balok.

6.2.1 Penulangan Balok NLFRS

Pada struktur Building Frames System, balok NLFRS direncanakan hanya menerima gaya gravitasi saja, namun perlu ditinjau pula bahwa balok tidak boleh rusak akibat gempa kecil dan tidak boleh runtuh akibat gempa besar. Sehingga pada perhitungan momen akibat beban gravitasi harus dikombinasikan akibat beban gempa dan pada pemodelan ketiga, selain itu perlu juga diperiksa apakah momen akibat

deformasi kearah lateral melebihi momen akibat gempa. Hal ini hanya dilakukan perencanaan balok sesudah komposit.

6.2.1.1 Penulangan Lentur Sebelum Komposit

Balok precast pada saat sebelum komposit dianggap sebagai balok sederhana pada tumpuan dua sendi.

Data - data perencanaan :

$$f_c = 30 \text{ Mpa}$$

$$f_y = 320 \text{ Mpa}$$

Dimensi balok induk 40/70

$$L_s = 660 \text{ cm}$$

Beban - beban :

1. Beban mati

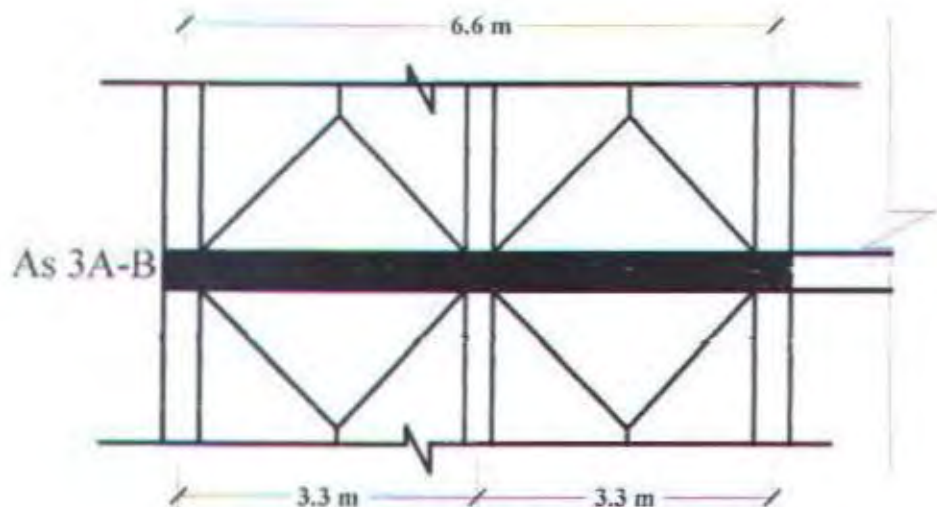
beban diperoleh dari berat sendirinya tanpa dipengaruhi oleh berat topping.

$$\begin{aligned} &\checkmark \text{ Berat sendiri pelat pracetak} = 0.07 \times 2400 = 168 \text{ kg/m}^2 \\ &\checkmark \text{ Berat overtopping} = 0.05 \times 2400 = \underline{120 \text{ kg/m}^2} + \\ & \qquad \qquad \qquad 288 \text{ kg/m}^2 \end{aligned}$$

2. Beban hidup = 200 kg/m^2

$$\begin{aligned} \text{qek mati} &= (1/4 \times q \times L_s) \times 2 \\ &= (1/4 \times 288 \times 3.3) \times 2 \\ &= 475.2 \text{ kg/m} \end{aligned}$$

$$\begin{aligned} \text{qek hidup} &= (1/4 \times q \times L_s) \times 2 \\ &= (1/4 \times 200 \times 3.3) \times 2 \\ &= 330 \text{ kg/m} \end{aligned}$$



Gambar 6.1 Tributary area balok

- q mati total = $475.2 + 0.58 \times 0.4 \times 2400 = 1032 \text{ kg/m}$
- q hidup total = $330 + 0.58 \times 0.4 \times 2400 = 886.9 \text{ kg/m}$

kombinasi pembebanan

$$Q_u = 1.2 \times 1032 + 1.6 \times 886.9 = 2657.3 \text{ kg/m}$$

Contoh perhitungan untuk balok As 3A-B

- $L = 6.6 \text{ m}$
- Dimensi 40/70
- $f'_c = 30 \text{ MPa}$
- $f_y = 320 \text{ MPa}$
- Diameter rencana 19 mm

Untuk f'_c sampai dengan 30 MPa, β_1 diambil 0.85 PB '89)

$$\rho_{min} = \frac{1.4}{f_y} = \frac{1.4}{320} = 0.0044 \quad (\text{Ps. 10.5.1. PB '89})$$

$$\rho_b = \frac{0.85 * \beta_1 * f'_c}{f_y} \times \frac{(600)}{(600 + f_y)} \quad (\text{Ps. 8.4.3. PB '89})$$

$$= \frac{0.85 \cdot 0.85_1 \cdot 30}{320} \times \frac{(600)}{(600 + 320)} = 0.044$$

$$\rho_{\max} = 0.75 * \rho_b \quad \dots \dots \dots \text{(Ps. 10.5.1, PB '89)}$$

$$= 0.75 \times 0.044$$

$$= 0.033$$

$$m = \frac{f_y}{0.85 * f_c}$$

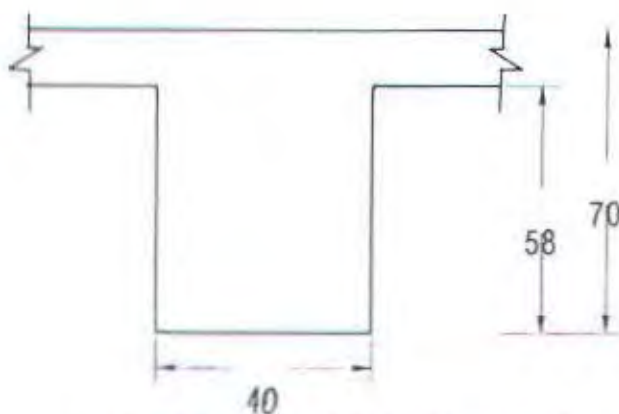
$$= \frac{320}{0.85 * 30}$$

$$= 12.55$$

$$M_u \text{ lapangan} = 1/8 \times q \times l^2 = 1/8 \times 2657.3 \times 6.6^2 = 14468.99 \text{ kg.m}$$

$$= 144689985 \text{ Nmm}$$

Karena perletakan sebelum komposit dianggap sendi maka momennya adalah nol, namun tetap diberi penulangan sebesar setengah dari tulangan lapangan.



Gambar 6.2 Tinggi efektif balok pracetak

$$d = 700 - 120 - 40 - 12 - (1/2 \times 19) = 530.5 \text{ mm}$$

$$b = 400 \text{ mm}$$

$$R_n = \frac{Mn}{b * dx^2}$$

$$= \frac{144689985}{0.8 \times 400 \times 530.5^2} = 1.61$$

$$\rho_{perlu} = \frac{1}{m} \left\{ 1 - \sqrt{1 - \frac{2 * m * Rn}{f_y}} \right\}$$

$$= \frac{1}{12.55} \left\{ 1 - \sqrt{1 - \frac{2 * 12.55 * 1.61}{320}} \right\}$$

$$= 0.0062 > \rho_{min} = 0.0044$$

$\rho_{max} = 0.033$

Di pakai $\rho = 0.0062$

$$As = \rho * b * dx$$

$$= 0.0062 * 400 * 530.5$$

$$= 1336.9 \text{ mm}^2$$

$$\text{Tulangan Lapangan} = 5D19 = 1417.4 \text{ mm}^2$$

6.2.1.2 Penulangan Lentur Setelah Komposit

Penulangan tulangan :

- Rasio tulangan balance (ρ_b) = 0,044
- Rasio tulangan maksimum (ρ_{mak}) = 0,033
- Rasio tulangan minimum (ρ_{min}) = 0,0044
- Rasio antara baja dan beton (m) = 12,55

Contoh Perhitungan

Dengan memakai program ETABS diperoleh :

Dimensi balok induk 40/70 cm pada lantai 6 As3 B – C bentang balok 5,6 m

$$M_{tump} = 30886 \text{ kgm} = 308860000 \text{ Nmm}$$

$$M_{lap} = 32543 \text{ kgm} = 325430000 \text{ Nmm}$$

Tulangan tumpuan

- Tulangan tumpuan atas

Balok dianggap persegi

$$b = 400 \text{ mm}$$

$$d = 700 - 40 - 12 - (19/2) = 638.5 \text{ mm}$$

$$Rn = \frac{308860000}{0.8 \times 400 \times 638.5^2} = 2.37$$

$$Rn = \frac{308860000}{0.8 \times 400 \times 638.5^2} = 2.37$$

$$\rho_{\text{perlu}} = \frac{1}{12.55} \sqrt{1 - \frac{2 \times 12.55 \times 2.37}{320}} = 0.0077 > \rho_{\text{min}} = 0.0044$$

$$As_{\text{perlu}} = 0.0077 \times 400 \times 638.5 = 1988.7 \text{ mm}^2$$

Pakai 8D19 = 2267.1 mm²

- Tulangan tumpuan bawah

$$As_{\text{perlu}} = 0.0039 \times 400 \times 638.5 = 996.06 \text{ mm}^2$$

Pakai 4D19 = 1133.5 mm²

- Cek kondisi tulangan tekan :

$$(\rho - \rho') \leq 0.85 \times \beta \times \frac{f_c' \times d l'}{f_y \times d} \times \left(\frac{600}{600 - f_y} \right)$$

$$(0.0077 - 0.00385) \leq 0.85 \times 0.85 \times \frac{30 \times 61.5}{320 \times 638.5} \times \left(\frac{600}{600 - 320} \right)$$

$0.00385 < 0.0139$... tulangan tekan tidak leleh

Tulangan lapangan

$$bel = \frac{1}{4} L = 1650 \text{ mm}$$

$$be_2 = 16.t + bw = 16 \times 120 + 400 = 2320 \text{ mm}$$

$$be_3 = L_n - bw = 6600 - 400 = 6200 \text{ mm}$$

sehingga $b = be = 1650 \text{ mm}$

$$d = 638.5 \text{ mm}$$

$$d' = 61.5 \text{ mm}$$

$$\rho' = 0.5 \times \rho$$

- Tulangan lapangan atas

$$Mu = 22543 \text{ kgm} = 225430000 \text{ Nmm}$$

$$Rn = \frac{225430000}{0.8 \times 400 \times 638.5^2} = 0.1720$$

$$\rho_{\text{perlu}} = \frac{1}{12.55} \sqrt{1 - \frac{2 \times 12.55 \times 0.172}{320}} = 0.00172 < \rho_{\text{min}} = 0.004375$$

$$As_{\text{perlu}} = 0.0044 \times 400 \times 638.5 = 1123.76 \text{ mm}^2$$

Pakai 4D19 = 1133.52 mm²

- Tulangan lapangan bawah

$$As \text{ perlu} = 0.0022 \times 400 \times 638.5 = 591.88 \text{ mm}^2$$

$$\text{Pakai } 3D19 = 850.16 \text{ mm}^2$$

➢ Cek kondisi tulangan tekan :

$$(\rho - \rho') \leq 0.85 \times \beta \times \frac{f_c' \times d l'}{f_y \times d} \times \left(\frac{600}{600 - f_y} \right)$$

$$(0.0082 - 0.00425) \leq 0.85 \times 0.85 \times \frac{30 \times 61.5}{320 \times 638.5} \times \left(\frac{600}{600 - 320} \right)$$

$0.00425 < 0.0139$... tulangan tekan tidak leleh

sebagai pendekatan awal untuk uktuk kontrol tegangan kompatibel di seluruh penampang taraf kuat rancang apabila tulangan tekan tidak leleh digunakan rumus sebagai berikut :

$$f_s = E_s \times \epsilon_s < f_y$$

dimana :

$$E_s = 2000000 \text{ MPa}$$

$$\epsilon_s = 0.003 \times \left(1 - \frac{0.85 \times \beta \times f_c'}{(\rho - \rho') \times f_y} \times \frac{d'}{d} \right) < f_y$$

$$\begin{aligned} f_s &= 600 \times \left(1 - \frac{0.85 \times 0.85 \times 30}{(0.0082 - 0.00425) \times 320} \times \frac{61.5}{638.5} \right) \\ &= 307.2 < 320 \text{ MPa} \dots \text{ok} \end{aligned}$$

ratio tulangan ijin untuk penampang bertulangan rangkap :

$$\rho \leq 0.75 \times \rho_b \times \rho \frac{f_s}{f_y}$$

$$\rho \leq 0.75 \times 0.044 + 0.00425 \times \frac{307.2}{320}$$

$$\rho = 0.00738$$

$$\begin{aligned} a &= \frac{As \cdot f_y - As' \cdot f's}{0.85 f_e' b e} = \frac{2093.3 \times 320 - 1133.54 \times 307.2}{0.85 \times 30 \times 1650} \\ &= 7.64 \text{ mm} < t \text{ pelat} = 120 \text{ mm} \end{aligned}$$

kontrol Mu :

$$\begin{aligned}Mu &= 0.8 \times \left[(As \times f_y - As' \times f_s) \times \left(d - \frac{a}{2} \right) + As \times f_s(d - d') \right] \\&= 0.8 \times \left[(2093.3 \times 320 - 1133.5 \times 307.2) \times \left(638.5 - \frac{7.64}{2} \right) + 2093.3 \times 307.2 \times (638.5 - 61.5) \right] \\&= 5.751 \times 10^8 \text{ Nmm} > Mu = 3.254 \times 10^8 \text{ Nmm} .. \text{ OK}\end{aligned}$$

6.2.1.4 Penulangan Lentur Akhir

Perhitungan Tulangan lentur akhir ini dengan membandingkan kondisi antar sebelum dan sesudah komposit. Luasan tulangan terbesar dipakai dalam tulangan akhir yang dibutuhkan.

- Dimensi balok induk = 40/70
- Bentang = 6,6 m
- Lantai = 6

Kondisi	lapangan		Tumpuan	
Sebelum	Tul atas	-	Tul atas	-
Komposit	Tul bawah	5D19	Tul bawah	-
Sesudah	Tul atas	2D19	Tul atas	8D19
Komposit	Tul bawah	3D19	Tul bawah	4D19

Didapat penulangan lentur balok induk :

- daerah lapangan
 - Tulangan atas = 3D19
 - Tulangan bawah = 5D19
- daerah tumpuan
 - Tulangan atas = 8D19
 - Tulangan bawah = 4D19

6.2.2 Penulangan Geser Dan Torsi

Keputusan dan perencanaan geser dan torsi didasarkan pada SK SNI T - 15 - 1991 - 03 mulal pasal 3.4.1 sampai dengan pasal 3.4.6, garis besarnya sebagai berikut :

- Perencanaan penampang yang diakibatkan oleh geser harus didasarkan pada perumusan :

$V_u < \phi V_n$ SK SNI T - 15 - 1991 - 03 psI. 3.4.1 butir 1
dimana :

V_u = geser terfaktor pada penampang yang ditinjau

ϕ = faktor reduksi geser = 0.6

V_n = kuat geser nominal = $V_c + V_s$

V_c = kuat geser beton

V_s = kuat geser nominal

- Perencanaan penampang yang diakibatkan oleh torsi, harus didasarkan pada perumusan sebagai berikut

$T_u < \phi T_n$ SK SNI T - 15 - 1991 - 03 psI 3.4.6 butir 5

dimana :

T_u = momen torsi terfaktor pada penampang yang ditinjau

ϕ = faktor reduksi geser dan torsi = 0.6

T_n = kuat momen torsi = $T_c + T_s > T_{u \min}$

T_c = kuat momen torsi nominal yang disumbangkan oleh beton

T_s = kuat momen torsi nominal tulangan geser

$$T_{u \min} = \frac{1}{20} \phi \sqrt{f_c} \sum x^2 \cdot y \dots \text{batas } T_u \text{ (SK SNI T - 15 - 1991 - 03 psI}$$

3.4.6 butir)

Contoh Perhitungan

Perhitungan balok induk dimensi 40/70 cm pada lantai 6 As3 A-B

$V_u = 140980 \text{ N}$

$T_u = 6303500 \text{ Nmm}$

Direncanakan dengan daktilitas terbatas



Dipakai diameter tulangan geser = 12 mm

$$d = 638.5 \text{ mm}$$

a. Torsi maksimum yang mampu dipikul penampang

$$Tu_{\max} = \frac{1}{20} \phi \sqrt{f_c} \sum x^2 \cdot y$$

Dimana :

$$\sum x^2 \cdot y = (400)^2 (700) + 2 (120)^2 (638.5) = 130302400 \text{ mm}^2 \dots \text{menentukan}$$

$$\sum x^2 \cdot y = (400)^2 (580) + (120)^2 (1650) = 116560000 \text{ mm}^2$$

$$\text{shg } Tu = \frac{1}{20} \times \sqrt{30} \times 130302400 = 35684781.9 \text{ Nmm}$$

$$Tu_c = 35684781 \text{ Nmm} > 6303500 \text{ Nmm}$$

Jadi torsi dapat diabaikan dan hanya dilakukan perhitungan geser saja

b. Kebutuhan tulangan geser

$$V_c = \frac{\sqrt{f_c}}{6} \cdot b \cdot w \cdot d \dots \text{psl 3.4.3 butir 1.1}$$

$$V_c = \frac{\sqrt{f_c}}{6} \times 400 \times 638.5 = 203045.3 \text{ N}$$

$$\phi V_c = 0.6 \times 203045.3 = 121827.2 \text{ N}$$

$$\frac{1}{2} \phi V_c = 60913.6 \text{ N}$$

$$V_{u,b} = 140985 \text{ N}$$

$V_{u,b} > \phi V_c \dots$ perlu tulangan geser (SK SNI Y-15-03 psl 3.4.5 butir 6.1)

$$V_s = \frac{Av \cdot fy \cdot d}{s} \dots \text{SKSNI psl 3.4.5 butir 6.1}$$

$$V_u = \phi(V_c + V_s) \dots \text{SKSNI psl 3.4.1 butir 1}$$

Kedua persamaan tersebut disederhanakan menjadi

$$s = \frac{Av \cdot \phi \cdot fy \cdot d}{(V_u - \phi V_c)}$$

$$s = \frac{(0.25 \times 3.14 \times 12^2) \times 0.6 \times 320 \times 638.5}{140985 - 121827.2} = 723.1 \text{ mm}$$

pada lokasi sepanjang d dari muka kolom, spasi maksimum tulangan geser tidak boleh melebihi nilai (SK SNI T-15-1991-03 psl 3.14.9.3)

- $d/4 = 638.5/4 = 159.625 \text{ mm}$
- $10 \times D_{\text{tul. Longitudinal}} = 10 \times 19 = 190 \text{ mm}$
- $24 \times D_{\text{tul. geser}} = 24 \times 12 = 348 \text{ mm}$
- 300 mm

Pada daerah diluar jarak d dari muka kolom, spasi maksimum tulangan geser yang diijinkan tidak boleh melebihi nilai (SK SNI T-15-1991-03 psl 3.4.5.4):

- $d/2 = 638.5/2 = 319.25 \text{ mm}$
- 600 mm

Dari pembatasan diatas maka dipakai tulangan geser :

Pada lokasi sepanjang d dari muka kolom digunakan sengkang D12 – 150 mm

Pada daerah diluar jarak d dari muka kolom digunakan sengkang D12 – 300 mm

6.2.3 Penulangan Stud Balok Induk

a. Transfer Gaya Horisontal

Mekanisme dari tranfer gaya horisontal dihitung berdasarkan gaya geser yang dipindahkan melalui permukaan temu. ACI 318.83 mengusulkan dua metode alternatif untuk merencanakan tranfer gaya horisontal, yaitu :

1. Perencanaan berdasarkan gaya geser berfaktor vertikal pada penampang yang ditinjau.
2. Perencanaan berdasarkan pada kekuatan geser friksi pada bidang temu dimana kekuatan geser tersebut mampu menjamin perubahan aktual gaya tekan/tarik yang terjadi pada penamang yang ditinjau.

Dalam perancangan ini dipakai metode yang kedua, karena lebih mendekati kenyataan, dimana dasar desain :

$$V_u \leq \phi V_n$$

Dimana :

V_u = gaya geser horisontal berfaktor dari penampang yang ditinjau

V_{nh} = kekuatan geser horisontal nominal

$$\phi = 0.65 \dots \text{SKSNI 1991 psl 3.2.3}$$

Menurut SKSNI 1991 pasal 3.10.5 ada tiga kasus yang mungkin terjadi, yaitu :

1. Bila bidang kontaknya bersih dan bebas dari serpihan dan sengaja dikasarkan, maka $V_{nh} \leq 0.6 \times b_v \times d$
2. Bila dipasang sengkang pengikat minimum tetapi sengaja dikasarkan maka $V_{nh} \leq 0.6 \times b_v \times d$
3. Bila dipasang sengkang pengikat minimum sesuai dengan pasal 3.10.6 SKSNI 1991, bersih dan bebas dari serpihan dan sengaja dikasarkan, hingga mencapai tingkat kekasaran penuh dengan tonjolan dan cekungan permukaan kira-kira 5 mm, maka kuat geser V_{nh} tidak boleh diambil lebih dari $2.5 \cdot b_v \cdot d$

Menurut SKSNI 1991 pasal 3.4.7 luas tulangan geser horisontal dapat dihitung dengan persamaan :

$$A_{vf} = \frac{V_{nh}}{\mu \cdot f_y}$$

A_{vf} = luas tulangan geser horisontal

V_{nh} = gaya geser horisontal nominal

μ = koefisien friksi SKSNI 1991 psl 3.4.7 butir 4.3

$\mu = 1 \times 1$ dimana 1 = 1 untuk beton normal

Tulangan geser dipasang dalam bentuk sengkang pengikat dengan jarak sengkang :

$S = L_{vh} \cdot A_{te}/A_{vi}$

$S_{\max} = 4 \times \text{dimensi terkecil elemen yang didukung}$
= 1400 mm

Penulangan geser minimum :

$A_{vi,min} = b_v \cdot l_{vh}/3 \cdot f_y$

b. Perhitungan Penulangan Stud

Stud berfungsi sebagai sekang pengikat antara elemen pracetak dan elemen cast in place. Stud harus mampu mentransfer gaya - gaya dalam yang bekerja pada penampang tekan menjadi gaya geser horisontal yang bekerja pada permukaan

pertemuan antara kedua elemen. Dengan demikian kedua elemen tersebut dapat menjadi satu kesatuan elemen yang komposit dalam memikul beban.

Contoh perhitungan

Dicontohkan balok pada lantai 6 As 3A - B dengan panjang 6.60 m. Sebagai pendekatan, panjang balok yang mentransfer gaya geser permukaan,
 $Lvh = \frac{1}{4} \times 6600 = 1650$

Penulangan Stud Daerah Tumpuan

Tul. Atas ($8D19 = 2267.08 \text{ mm}^2$)

Tul. Bawah ($4D19 = 1133.54 \text{ mm}^2$)

$$Vnh = T = As \times fy = 2267.08 \times 320 = 725465.6 \text{ N}$$

$$0.6 \times bv \times d = 0.6 \times 400 \times 638.5 = 152520 \text{ N} < Vnh$$

Apabila dari ketiga kondisi diatas diambil kondisi yang kedua, maka

$$Vnh \leq 0.6 \times bv \times d$$

$$= 152520 \text{ N}$$

$$Avf = \frac{Vnh}{\mu \cdot fy} = \frac{152520}{1.320} = 476.6 \text{ mm}^2$$

$$Avf_{min} = \frac{bv \cdot Lvh}{3 \cdot fy} = \frac{400 \cdot 1650}{3.320} = 687.5 \text{ mm}^2$$

Direncanakan sengkang pengikat D10 mm ($A_{tie} = 2 \times 78.5 = 157 \text{ mm}^2$)

$$s = \frac{Lvh \times A_{tie}}{Avf} = \frac{1650 \times 157}{687.5} = 376.8 \text{ mm}$$

sesuai dengan SKSNI-T-15-1991-03 psl 3.10.6.1

$$s_{max} \leq 4 \times t_{pelat} = 480 \text{ mm}$$

$$\leq 600 \text{ mm}$$

Dipasang sengkang pengikat D10 – 300 mm

Penulangan Stud Daerah Lapangan

$$Lvh = 1650 \text{ mm}$$

$$\text{Tul. Atas} = 2D19 (\text{ mm}^2)$$

$$\text{Tul. Bawah} = 5D19 (\text{ mm}^2)$$

$$Vnh = T = As \times fy = 1416.92 \times 320 = 453416 \text{ N}$$

$$0.6 \times bv \times d = 0.6 \times 400 \times 638.5 = 152520 \text{ N} < Vnh$$

Apabila dari ketiga kondisi diatas diambil kondisi yang kedua, maka

$$Vnh \leq 0.6 \times bv \times d$$

$$= 153240 \text{ N}$$

$$Avf = \frac{Vnh}{\mu_fy} = \frac{153240}{1.320} = 115.9 \text{ mm}^2$$

$$Avf_{min} = \frac{bv \cdot Lvh}{3 \cdot fy} = \frac{400 \cdot 1650}{3 \cdot 320} = 687.5 \text{ mm}^2$$

Direncanakan sengkang pengikat D10 mm ($A_{tie} = 2 \times 78.5 = 157 \text{ mm}^2$)

$$s = \frac{Lvh \times A_{tie}}{Avf} = \frac{1650 \times 157}{687.5} = 376.8 \text{ mm}$$

Sesuai dengan SKSNI-T-15-1991-03 psl 3.10.6.1

$$S_{max} \leq 4 \times t_{pelat} = 480 \text{ mm}$$

$$\leq 600 \text{ mm}$$

Dipasang sengkang pengikat D10 – 300 mm

6.2.4 Panjang Penyaluran

- a. Panjang penyaluran tulangan tarik

Panjang penyaluran tulangan dasar harus dihitung sesuai dengan perumusan SKSNI-T-15 1991 - 03 psl 3.5.2

- Untuk batang D-36 dan lebih kecil

$$Ldb = \frac{0.02 \times Ab \times fy}{\sqrt{fc'}} \text{ tetapi tidak kurang dari } Ldb = 0.06 \times db \times fy$$

dimana :

$$Ab = \text{luas satu batang tulangan} = 0.25 \times 3.14 \times 19^2 = 283.38 \text{ mm}^2$$

f_y = tegangan leleh tulang = 320 Mpa

f'_c = tegangan leleh beton = 30 Mpa

$$L_{db} = \frac{0.02 \times 283.38 \times 320}{\sqrt{30}} = 331.12 \text{ mm}$$

tetapi tidak kurang dari $L_{db} = 0.06 \times 19 \times 320 = 364.8 \text{ mm}$

maka diambil $L_{db} = 350 \text{ mm}$

b. Panjang penyaluran tulangan tekan

Panjang penyaluran tulangan dasar harus dihitung sesuai dengan perumusan SKSNI-T-15-1991-03 psl 3.5.2 :

$$L_{db} = \frac{db \times f_y}{4\sqrt{f'_c}} \text{ tetapi tidak kurang dari } L_{db} = 0.04 \times db \times f_y$$

$$L_{db} = \frac{19 \times 320}{4\sqrt{30}} = 277.5 \text{ mm}$$

tetapi tidak kurang dari $L_{db} = 0.04 \times 19 \times 320 = 243.2 \text{ mm}$

maka diambil $L_{db} = 300 \text{ mm}$

6.2.5 Kontrol Lendutan

Sesuai SKSNI T-15-1991-03 tabel 5.2.5.a. syarat tebal minimum balok apabila lendutan tidak dihitung adalah sebagai berikut :

- Balok dengan dua tump. $h_{min} = \frac{L}{16} \left[0.4 + \frac{f_y}{700} \right]$
- Balok dengan satu ujung menerus $h_{min} = \frac{L}{18.5} \left[0.4 + \frac{f_y}{700} \right]$
- Balok dengan kedua ujung menerus $h_{min} = \frac{L}{21} \left[0.4 + \frac{f_y}{700} \right]$
- Balok kantilever $h_{min} = \frac{L}{8} \left[0.4 + \frac{f_y}{700} \right]$

Lendutan tidak perlu dihitung, sebab sejak dari preliminary design sudah direncanakan agar tinggi dari masing-masing type balok lebih besar dari persyaratan h_{min} .

6.2.6 Kontrol Tegangan Balok Induk

Kontrol tegangan-tegangan yang timbul pada balok induk pencetak pada daerah lapangan, untuk kasus tanpa penyangga (unproved)

1. Menentukan titik berat sebelum komposit

Dihitung dengan metoda Transformasi Penampang, yaitu luas penampang tulangan baja dan beton ditransformasikan menjadi satu macam penampang bahan serba sama dengan tujuan untuk menyamakan perilaku dalam mekanisme menahan beban.

Transformasi dilakukan dengan mengganti luasan penampang baja dengan luasan beton ekivalen (luasan semu). Dengan demikian A_s' adalah luas penampang tulangan baja yang diganti dengan luas beton ekivalen A_{se} .

Untuk mendapatkan luasan beton ekivalen pada balok persegi bertulangan rangkap, luas penampang tulangan tekan dikalikan dengan 2n sedangkan tulangan tarik dikalikan dengan n. Sebagian luas ekivalen bagi tulangan baja tekan diperhitungkan untuk pengurangan luas beton yang ditempati tulangan baja sehingga luas ekivalen menjadi $(2n-1)A_s'$.

Untuk $f'_c = 30 \text{ MPa} \rightarrow$ nilai bandung modulus elastisitas $n = 8$

$$A_s' = 2D19 = 566.77 \text{ mm}^2$$

$$A_s = 5D19 = 1416.9 \text{ mm}^2$$

$$\frac{1}{2} \cdot b \cdot x_l \cdot l^2 - (2n-1) \cdot A_s' \cdot (x_l - dc') = n \cdot A_s \cdot (d_l - x_l)$$

$$dc' = 40 + 12 + (0.5 \times 19) = 61.5 \text{ mm}$$

$$\frac{1}{2} \times 400 \times x_l^2 + \{(2 \times 8) - 1\} \times 566.77 \times (x_l - 61.5) = 8 \times 1416.9 \times (534 - x_l) = 0$$

$$200x_l^2 - 2832.85x_l - 6588842.1 = 0$$

$$\rightarrow x_l = 188.26 \text{ mm}$$

2. Menentukan titik berat sesudah komposit

$$\{be \cdot 120 \cdot (x_2 - 60)\} + \{\frac{1}{2} \cdot b \cdot (x_2 - 120)^2\} - \{(2n-1) \cdot A_s' \cdot (-x_2)\} = n \cdot A_s \cdot (d_2 - x_2)$$

$$\{1650 \times 120 \times (x_2 - 60)\} + \{\frac{1}{2} \times 400 \times (x_2 - 120)^2\} + \{15 \times (1416.9 \times (-638.5 - x_2))\}$$

$$\text{didapatkan } x_2 = 138 \text{ mm}$$

3. Nilai tegangan sebelum komposit

$$Msbl = 144689985 \text{ Nmm}$$

$$Icr = \frac{1}{3} \cdot b \cdot xl^3 - \{(2n-1) \cdot As' \cdot (xl - dc')\} - \{n \cdot As \cdot (dl - xl)^2\}$$

$$\begin{aligned} Icr &= \frac{1}{3} \cdot 400 \cdot (188.26)^3 + \{15 \times 1416.9 \times (188.26 - 61.5)^2\} + \{8 \times 1416.9 \times (188.26 - \\ &61.5)^2\} \\ &= 214158767.9 \text{ mm}^4 \end{aligned}$$

$$ya = xl, yb = (dl - xl)$$

$$\text{Teg. Serat atas} = \frac{Msbl \cdot ya}{Icr} = \frac{144689985 \times 188.26}{2141587679} = 5.27 \text{ Mpa}$$

$$\text{Teg. Serat bawah} = \frac{Msbl \cdot yb}{Icr} = \frac{144689985 \times (521 - 188.26)}{2141587679} = 12.56 \text{ Mpa}$$

4. Nilai tegangan sesudah komposit

$$Mssd = 22543000 \text{ Nmm}$$

$$\begin{aligned} Icr &= \frac{1}{3} \cdot 1650 \cdot (120)^3 + \{\frac{1}{3} \cdot 400 \cdot (138 - 120)^3\} + \{15 \times 1416.3 \times (174.5 - 138)^2\} + \{8 \\ &\times 1416.9 \times (638.5 - 138)^2\} = 3817999841 \text{ Nmm} \end{aligned}$$

$$ya = x2 = 138 \text{ mm}, yb = (d2 - x2)$$

$$\text{Teg. Serat atas} = \frac{Msbl \cdot ya}{Icr} = \frac{22543000 \times 138}{3817999841} = 1.81 \text{ Mpa}$$

$$\text{Teg. Serat bawah} = \frac{Msbl \cdot ya}{Icr} = \frac{22543000 \times (638.5 - 138)}{3817999841} = 2.95 \text{ Mpa}$$

6.2.7 Kontrol Retak

Lebar retak diperhitungkan apabila tulangan yang digunakan memakai $f_y > 413$ MPa (Chu Kia Wang and Charles G Salmon). Sedangkan mutu tulangan yang dipakai hanya mencapai 320 MPa sehingga kontrol retak tidak perlu dilakukan.

$$\begin{aligned}
 EI_{kolom} &= \frac{0,4 \cdot Ec \cdot Ig}{1 + \beta d} \\
 &= \frac{0,4 \times 25742,9 \times 3,4133 \times 10^{10}}{1 + 0,8} \\
 &= 1,95 \times 10^{14} \text{ Nmm}^2
 \end{aligned}$$

- Tingkat penjepit ujung atas (ψ_A) dan tingkat penjepit ujung bawah (ψ_B)

$$\begin{aligned}
 \psi(A/B) &= \frac{\sum(EIc/Lc)_{kolom}}{\sum(EIb/Lb)_{balok}} \\
 \text{ujung atas } (\psi_A) &= \frac{2 \times (1,95 \times 10^{14}) / 4000}{(2,44 \times 10^{14}) / 6600} \\
 &= 6,05
 \end{aligned}$$

$$\text{ujung bawah } (\psi_B) = \text{pondasi/jepit} = 1,00$$

Dari nomogram non dimensi diperoleh nilai k (faktor tekuk) = 0,85

$$\begin{aligned}
 \bullet \text{ Nilai kelangsungan} &= \frac{k \cdot Lu}{r}, r (\text{jari-jari girasi}) = 0,3 \text{ h} \\
 &= 0,3 \times 800 = 24 \\
 &= \frac{0,85 \times 4000}{240} = 14,16
 \end{aligned}$$

batas kelangsungan

$$= 34 - 12 \cdot \frac{M_{1b}}{M_{2b}} = 34 - 12 \times \left(\frac{88000}{10721300} \right) = 14,2 < \frac{k \cdot lu}{r}$$

Termasuk kolom pendek, efek kelangsungan diabaikan

Sehingga dalam menentukan tulangan lentur tanpa memakai pembesaran momen

$$\begin{aligned}
 M_n &= \frac{Mu}{\phi} = \frac{10721,3}{0,8} \times 10^6 = 1340162500 \text{ Nmm} \\
 P_n &= \frac{Pu}{\phi} = \frac{97968,2}{0,6} = 163280 \text{ N}
 \end{aligned}$$

$$k_y = \frac{P_n}{A_g} = \frac{163280}{800^2} = 1.255$$

$$k_x = \frac{M_n}{A_g h} = \frac{1340162500}{800^2 \times 800} = 2.61$$

Dari diagram interaksi diperoleh $p = 2\%$ sehingga, diperoleh :

$$A_{\text{perlu}} = 0,020 \times 800^2 = 12800 \text{ mm}^2$$

Dipasang tulangan $26\phi 25$ ($A_s = 12756.3 \text{ mm}^2$)

Kontrol dengan Bresier Reciprocal Method

Perhitungan

$$\begin{aligned} P_{n0} &= 0,8 \phi \{ 0,85 f_c (A_g - A_{st}) + A_{st} f_y \} \\ &\approx 0,8 \times 0,65 \{ 0,85 \times 30 \times (800^2 - 12756.3) + 12756.3 \times 320 \} \\ &= 10439899.87 \text{ N} \end{aligned}$$

Perhitungan P_{nx}

$$\frac{M_{ux}}{A_g x h} = \frac{10721300}{800^2 \times 800} = 0.2$$

dari diagram interaksi F320 – 30 – 0.6 – 4, dengan $\rho = 0.01$ didapat:

$$\frac{\phi \cdot P_{nx}}{A_g} = 14.8$$

$$\begin{aligned} P_{nx} &= 14.8 \times 800^2 / 0.65 \\ &= 14572307.7 \text{ N} \end{aligned}$$

Perhitungan P_{ny}

$$\frac{M_{uy}}{A_g x h} = \frac{88000}{800^2 \times 800} = 0.13$$

dari diagram interaksi F320 – 30 – 0.6 – 4, dengan $\rho = 0.01$ didapat:

$$\frac{\phi \cdot P_{ny}}{A_g} = 14.8$$

$$\begin{aligned} P_{ny} &= 14.8 \times 800^2 / 0.65 \\ &= 14572307.7 \text{ N} \end{aligned}$$

$$\begin{aligned}
 \text{Maka: } \frac{1}{P_{nb}} &= \frac{1}{P_{nx}} + \frac{1}{P_{ny}} - \frac{1}{P_o} \\
 &= \frac{1}{14572307.7} + \frac{1}{14572307.7} - \frac{1}{10439899.8} \\
 P_{nb} &= 18704714.2 \text{ N} \\
 P_u &= 979682 \text{ N} \\
 P_n &= \frac{P_u}{\phi} = \frac{97968.2}{0.6} = 163280 \text{ N} \\
 P_{nb} &= 18704714.2 \text{ N} > 163280 \text{ N} \quad (\text{OK!})
 \end{aligned}$$

• Penulangan Geser

Data – data perencanaan :

- N_u : 979682 N
- V_u : 4734 N
- b_w : 800 mm
- ϕ utama : $\phi 25$ mm
- ϕ sengk. : $\phi 10$
- d : $800 - 40 - 10 - \frac{1}{2} \times 25 = 737.5$ mm

Sumbangan Kekuatan Geser Beton :

Di daerah ujung :

$$\begin{aligned}
 V_c &= 0.5 \times 2 \times \frac{1}{6} \sqrt{f_c^3 x b w x d x} \left[1 + \frac{N_u}{14 \cdot A_g} \right] \\
 &= 0.5 \times 2 \times \frac{1}{6} \sqrt{30} \times 800 \times 737.5 \times \left[1 + \frac{979682}{14 \times 800^2} \right] \\
 &= 597483.4 \text{ N}
 \end{aligned}$$

$$\phi V_c = 0.6 \times 597483 = 3584910.1 \text{ N}$$

$$0.5 \phi V_c = 1792245 \text{ N}$$

karena V_u yang terjadi < $0.5 \phi V_c$, maka dipasang sengkang minimum.

$$A_v \min = \frac{b_w s}{3 \cdot f_y} \rightarrow s = \frac{A_v \cdot 3 \cdot f_y}{b_w}$$

Pakai sengkang $\phi 10$, $A_s = 78.54 \text{ mm}^2$ sehingga :

$$s = \frac{2x78,54.3.320}{800}$$

$$= 188.4 \text{ mm}$$

$$s \text{ maks} \leq 0,5 h = 0,5 \times 800 = 325 \text{ mm}$$

$$\leq 10 d_b = 10 \times 25 = 250 \text{ mm}$$

$$\leq 200 \text{ mm}$$

Pasang tulangan sengkang $\phi 10 - 150 \text{ mm}$

Di daerah lapangan :

$$\begin{aligned} V_c &= 0,5x2x\frac{l}{6}\sqrt{fc'xbwx} \left[1 + \frac{Nu}{14Ag} \right] \\ &= 0,5x2x\frac{l}{6}\sqrt{30}x800x737,5x \left[1 + \frac{979682}{14x800^2} \right] \\ &= 597483,4 \text{ N} \end{aligned}$$

$$\phi V_c = 0,6 \times 597483 = 3584910,1 \text{ N}$$

$$0,5 \phi V_c = 1792245 \text{ N}$$

karena V_u yang terjadi $< 0,5 \phi V_c$, maka dipasang sengkang minimum.

$$Av_{\min} = \frac{bw.s}{3.f_y} \rightarrow s = \frac{Av.3.f_y}{bw}$$

Pakai sengkang $\phi 10$, $As = 78,54 \text{ mm}^2$ sehingga :

$$s = \frac{2x78,54.3.320}{800}$$

$$= 188.4 \text{ mm}$$

$$s \text{ maks} \leq 0,5 h = 0,5 \times 800 = 325 \text{ mm}$$

$$\leq 10 d_b = 10 \times 25 = 250 \text{ mm}$$

$$\leq 200 \text{ mm}$$

Pasang tulangan sengkang $\phi 10 - 150 \text{ mm}$

6.4. Perencanaan Dinding Geser

6.4.1 Umum

Shearwall dalam gedung berguna untuk menahan gaya geser dan momen-momen yang terjadi akibat gaya lateral. Perancangan shearwall berdasarkan SK SNI T-15-1991-03 pasal 33 sebagai struktur pemikul beban lentur dan aksial serta 3.7 sebagai struktur dinding.

6.4.2 Kuat Beban axial Rancang

Kuat beban aksial rancang ϕP_{nw} berdasarkan SK SNI T-15-1991-03 pasal 3.7.5 persamaan 3.7.1:

$$\phi P_{nw} = 0.55 \phi f'_c A_g \left(1 - \left(\frac{k \cdot L_e}{32h} \right)^2 \right)$$

dimana:

$\phi = 0.70$

$k = 0.80$ (dikekang pada salah satu ujungnya)

L_e = jarak vertical antara 2 tumpuan

h = tebal dinding

6.4.3 Perencanaan Geser

Perencanaan geser harus dilakukan berdasarkan SK SNI T-15-1991-03 pasal 3.4.10 dimana dinyatakan perencanaan dinding geser pada struktur dasar dibedakan dengan struktur diatasnya, perbedaan ini terletak pada kuat geser rencana pada dinding geser. Pada dinding geser selain lantai dasar kekuatan geser beton (V_c) diharapkan turut menyumbangkan kekuatan untuk memikul gaya geser yang terjadi, sedangkan pada lantai dasar gaya geser pada dinding geser diasumsikan diterima hanya oleh tulangan saja sehingga akan terjadi keadaan paling kritis pada lantai dasar, dimana apabila terjadi pembesaran dinamis tulangan shearwall pada lantai dasar tetap mampu untuk menahan gaya yang

terjadi, sehingga plastis diharapkan akan terjadi pada bagian bawah shearwall (lantai dasar).

6.4.3.1 Ketentuan Perencanaan Dinding Geser

Kuat geser dinding terhadap gaya geser tegak lurus muka dinding dan gaya geser dalam bidang dinding harus memenuhi ketentuan sebagai berikut:

1. Kuat geser rencana bagi dinding geser pada penampang dasar sehubungan dengan adanya pembesaran dinamis:

Dimana :

$M_{kap,d}$ = momen kapasitas dinding geser pada penampang dasar yang dihitung berdasarkan luas baha tulangan yang terpasang dan dengan tegangan tarik baja tulangan sebesar $1.25f_y$

$M_{Ed\ mark}$ = momen lentur maksimum dinding geser akibat beban gempa tak berfaktor pada penampang dasar.

$V_{Ed\ mark}$ = gaya geser maksimum dinding geser akibat beban gempa tak berfaktor pada penampang dasar.

2. Kuat geser V_n pada sembarang penampang horizontal terhadap geser bidang dinding tidak boleh lebih besar dari $(5.6) h_d$
3. Untuk kuat geser V_c diambil dari nilai terkecil dari persamaan sesuai dengan SK SNI T-15-1991-03 pasal 3.4.10.6

Rumus

Persamaan (2) tidak berlaku jika $(M_u/V_u - 1w/2)$ bernilai negatif, sedangkan V_c tidak boleh lebih dari (S.K) SNI T-15-1991-03 pasal 3.4.10.(5)

4. Rasio (ρ_h) dari luas tulangan geser horizontal terhadap luas bruto penampang tidak boleh kurang dari 0.0025 (S.K) SNI T-15-1991-03 pasal 3.4.10.9(2)

5. Spasi dari tulangan geser horizontal S2 tidak boleh lebih dari $1w / 3h$ atau pun 500 mm (S.K) SNI T-15-1991-03 pasal 3.4.10.9(3).
6. Rasio (ph) dari luas tulang geser vertical terhadap luas bruto penampang horizontal beton tidak boleh kurang dari: lebar dinding ataupun 0.0025 tetapi tidak harus lebih besar dari tulangan geser horizontal (S.K) SNI T-15-1991-03 pasal 3.4.10.9(4).

6.4.3.2 Ketentuan Perencanaan untuk struktur dengan Tingkat Daktilitas 2

Selain itu perlu diperhatikan syarat-syarat penulangan untuk struktur dengan tingkat daktilitas dua (terbatas).

1. Dalam segala hal tidak boleh kurang dari persyaratan untuk struktur tingkat daktilitas 2 (terbatas).
2. Diameter tulangan $< 1/10$ tebal dinding
3. Untuk dinding dengan tebal $d > 200$ mm, maka setiap arah harus dipasang 2 lapis tulangan (S.K) SNI T-15-1991-03 pasal 3.4.10.9(2b).

Persyaratan diatas tujuan untuk :

- Melindungi kerusakan beton akibat adanya beban tertukar terutama pada keadaan inelastic.
- Mengendalikan lebar retak yang akan timbul pada dinding karena penyebaran tulangan lebih merata sepanjang dan setinggi sepertiga dinding tersebut.

4. Jarak antar tulangan vertical

> 200 mm di dalam daerah ujung dan < 300 diluar daerah ujung (S.K) SNI T-15-1991-03 pasal 3.4.10.9(3f).

5. Jarak antar tulangan horizontal :

Di dalam daerah ujung tidak boleh diambil lebih dari 200 mm (S.K) SNI T-15-1991-03 pasal 3.4.10.9(3h).

Di luar daerah ujung tidak boleh lebih dari tiga kali tebal dinding. Seperlima lebar dinding dan 450 mm (S.K) SNI T-15-1991-03 pasal 3.4.10.9(3g)

6. Panjang daerah ujung tidak boleh kurang dari lebar dinding, seperenam dari tinggi dinding dan tidak boleh lebih besar dari dua kali lebar dinding (S.K) SNI T-15-1991-03 pasal 3.4.10.9(3i)

6.4.4 Data-data Perencanaan

Mutu bahan

- Mutu beton (f_c) = 30 Mpa
- Mutu baja (f_y) = 320 MPa

Dimensi

- Tinggi total dinding = 4000 cm
- Tebal dinding = 30 cm

6.4.5 Dasar-dasar Perencanaan

- Ratio tulangan minimum dari luas tulangan vertical terhadap penampang bruto beton harus memenuhi:
 - 0.0012 untuk tulangan < D16, dengan mutu baja < 400 Mpa
 - 0.0015 untuk batang deform lainnya atau
 - 0.0012 untuk jaringan kawat baja las tidak lebih besar dari W31 atau D31 (S.K SNI T-15-1991-03 pasal 3.7.3.2)
- Spasi tulangan pada tiap arah tidak boleh lebih dari 450 mm dan harus didistribusikan pada seluruh penampang.
(S.K SNI T-15-1991-03 pasal 3.14.9.7 (2a))
- Bila tebal dinding lebih besar atau sama dengan 200 mm, maka dinding tersebut harus dipasang dua lapis tulangan.

(S.K SNI T-15-1991-03 pasal 3.14.9.7 (2b))

- Jarak antara tulangan vertical sepanjang lo dari ujung tiang tidak boleh lebih dari 200 mm dan 300 mm di luar daerah ujung sepanjang lo.

(S.K SNI T-15-1991-03 pasal 3.14.9.7 (3f))

- Jarak antar tulangan di luar daerah ujung lo tidak boleh lebih dari tiga kali tebal dinding, seperlima lebar dinding dan 450 mm

(S.K SNI T-15-1991-03 pasal 3.14.9.7 (3g))

- Jarak antar tulangan horizontal dalam daerah ujung sepanjang lo tidak boleh lebih dari 200 mm.

(S.K SNI T-15-1991-03 pasal 3.14.9.7 (3h))

- Panjang daerah ujung lo tidak boleh kurang dari lebar dinding, seperenam dari tinggi dinding dan tidak perlu lebih besar dari dua kali lebar dinding.

(S.K SNI T-15-1991-03 pasal 3.14.9.7 (3i))

6.4.6 Kontrol Komponen Pembatas

Dalam SKSNI T-15-1991-03 disebutkan apabila pada batas dan sekeliling sisisi bukaan dari dinding diafragma struktur, tegangan serta terluar maksimum akibat gaya terfaktor dimana termasuk pengaruh gempa melampaui $0.2 f_c (=0.2 \times 30 = 6 \text{ Mpa})$ harus dipasang komponen struktur pembatas.

Data perencanaan :

- Tinggi tiap lantai = 400 cm
- Tinggi total dinding = $400 - 70 = 330 \text{ cm}$
- Tebal dinding = 30 cm
- $L_w = 5600 \text{ mm}$
- $d = 0.81.w = 5600 \times 0.8 = 4480 \text{ mm}$

$$f_c = \frac{Mn}{W} + \frac{Pn}{A_c}$$

$$= \frac{9319372 / 0.8}{\frac{1}{6} \times 300 \times 5600} + \frac{579000 / 0.8}{300 \times 5600}$$

$$= 41.6 \text{ MPa} > 6 \text{ MPa}$$

perlu komponen pembatas

Syarat komponen pembatas

$$bc = 0.017 \times L_w \times \sqrt{\mu\phi}$$

$$\mu\phi = 19 \quad \dots \quad (\text{(Paulay Priestley)})$$

$$bc = 0.017 \times 5600 \times \sqrt{19} = 444.1 \text{ mm}$$

$$b \geq bw \quad b_t \geq \frac{bc \cdot L_w}{10 \cdot b}$$

$$b \geq 300 \text{ mm} \quad b_t \geq 497.3 \text{ mm}$$

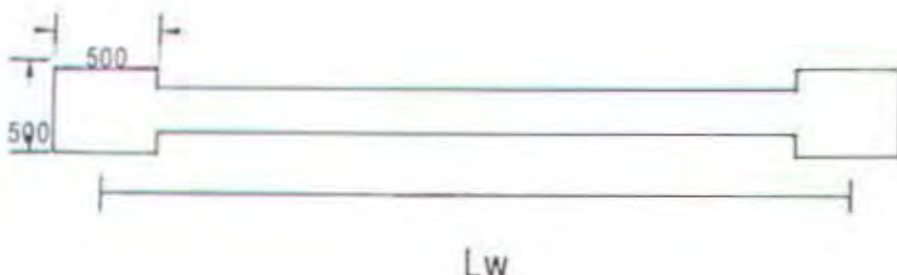
$$b \geq bc \quad b_t \geq \frac{bc^2}{b}$$

$$b \geq 444.1 \text{ mm} \quad b_t \geq 438.3 \text{ mm}$$

$$b \geq \frac{1}{16} \times 4480$$

$$b_t \geq 280 \text{ mm}$$

dimensi komponen pembatas cm 500 x 500



Gambar 6.3 Dimensi komponen pembatas

6.4.7 Kontrol kekuatan Shearwall

- Kemampuan dinding geser terhadap gaya aksial

$$\phi P_{nw} = 0.55 \phi f'_c A_g \left(1 - \left(\frac{k_L e}{32 h} \right)^2 \right)$$

$$\phi P_{nw} = 0.55 \times 0.7 \times 30 \times (300 \times 4480) \left(1 - \left(\frac{0.8 \cdot 4480}{32 \cdot 300} \right)^2 \right)$$

$$P_u = < \phi P_{nw}$$

Dinding geser mampu menahan beban aksial

- Kekuatan geser beton pada dinding geser

$$d = 0.8 L_w = 4480 \text{ mm}$$

$$V_n = \left[\frac{5 \sqrt{f'_c}}{6} \right] \times h \times d$$

$$= \left[\frac{5 \times \sqrt{30}}{6} \right] \times 300 \times 4480$$

$$= 6134492.6 \text{ N}$$

$$\frac{572214}{\phi} = \frac{572214}{0.6} = 953690 \text{ N}$$

$$\frac{V_u}{\phi} < V_n \quad \dots \text{dinding geser mampu memikul gaya geser}$$

6.4.8 Penulangan lentur pada ShearWall

Pada shearwall lantai dasar ($M_{u \max} = 9319372 \text{ Nmm}$)

Diameter rencana = D19 mm

$$M_n = A_s \times f_y \times \frac{M_u}{0.8}$$

$$= A_s \times (5600 - 500) \times 320 \geq \frac{9319372}{0.8}$$

$$= A_s \times 1632000 \geq 11649215$$

$$A_s > 17.13 \text{ mm}^2$$

Dipakai tulangan 2D19 ($A_s = 566.77 \text{ mm}^2$)

$$\text{Kontrol : a} : \frac{As \times fy}{0.85 \times fc' \times bw} = \frac{566.77 \times 320}{0.85 \times 30 \times 300} = 23.7 \text{ mm}$$

$$L = 5600 - 300 - (23.7/2) = 5288.2 \text{ mm}$$

$$Mn = 566.77 \times 320 \times 5288.2 = 959101796.5 \text{ Nmm} > 11649215 \dots \text{OK}$$

Jarak tul. Vertikal < 200 mm di dalam daerah ujung

< 300 mm di luar daerah ujung

jarak antar tul. Diluar daerah ujung

< 3 x tebal dinding = 900 mm

< 1/5 x 5600 = 1120 mm

< 450 mm

maka dipasang tulangan lentur D19 dengan jarak antar tulangan lentur

vertikal (s_1) = 200 mm di dalam daerah ujung

= 300 mm di luar daerah ujung

6.4.9 Penulangan geser vertikal (Ah)

Rasio (ρ_n) dari luas tulangan geser vertikal terhadap bruto penampang horisontal beton tidak boleh kurang dari 0.0025 .. (SKSNI '91 ps. 3.4.10(4))

$$A_n \text{ vertikal} = 0.0025 \times bw \times d = 0.0025 \times 300 \times 4480 = 3360 \text{ mm}^2$$

Spasi tulangan maksimum vertikal ... SKSNI '91 ps. 3.4.10 butir 9(5) :

$$S_1 < Lw/3 = 1866.7 \text{ mm}$$

$$< 3 \cdot bw = 3 \cdot 300 = 900 \text{ mm}$$

$$< 500 \text{ mm}$$

dipasang tulangan geser D10 – 150 mm

$$A_n \text{ actual} = (0.25 \times 3.14 \times 10^2) \times 2 + 2280/150)$$

$$= 4689.9 \text{ mm}^2 > A_n \text{ vertikal}$$

6.4.10 Penulangan geser Horisontal (Av)

Penulangan geser horisontal lantai 1

Gaya geser yang terjadi pada shearwall akan ditahan oleh tulangan geser tanpa sumbangannya kekuatan geser daribeton (Vc) atau pada kondisi kritis :

$$V_{nd \ max} = wd \times 0.7 \times \frac{M_{kap,d}}{M_{Ed,max}} \times V_{Ed,max}$$
$$= 1.3 \times 0.7 \times \frac{1.25 \times 959101796.5}{93197725} \times 572214 = 73608486 \text{ N}$$
$$S_2 = \frac{(2 \times 0.25 \times \pi \times 10^2) \times 320 \times (5600 - 500)}{73608486} = 304.8 \text{ mm}$$

Jarak antar tul. Diluar daerah ujung ... SKSNI T-15-1991-03 Ps. 3.14.9
(7.3i) dan ps. 3.14.9.(7.3h) :

$$S_2 < 3 \times \text{tebal dinding} = 900 \text{ mm}$$

$$S_2 < 1/5 \times 5600 = 1120 \text{ mm}$$

$$S_2 < 450 \text{ mm}$$

vertikal (s₁) = 200 mm di dalam daerah ujung

dipasang tulangan geser vertikal D10 – 300 mm

Penulangan lantai 2 sampai dengan atap

$$P_u = 8655716.716 \text{ N}$$

$$V_u = 61229.41 \text{ N}$$

$$M_u = 10438404 \text{ N}$$

$$L_w = 5600 \text{ mm}$$

$$d = 0.8 \times 5600 = 4480 \text{ mm}$$

Nilai Vc tidak boleh diambil lebih besar dari :

$$V_c = 5/6 \times \sqrt{f'_c} \times h \times d = 5/6 \times \sqrt{30} \times 300 \times 4480 = 7763560.9 \text{ N}$$

Dan nilai Vc diambil dari nilai terkecil dari persamaan sesuai dengan SK SNI T-15-1991-03 pasal 3.4.10.6 :

$$V_c = \frac{f'_c}{4} \times h \cdot d + \frac{N_u \cdot d}{4l_w} \quad (\text{SK SNI T-15-1991-03 ps. 3.4.32})$$

$$= \frac{30}{4} \times 300 \times 4480 + \frac{8655716.8 \times 4480}{4 \times 5600}$$

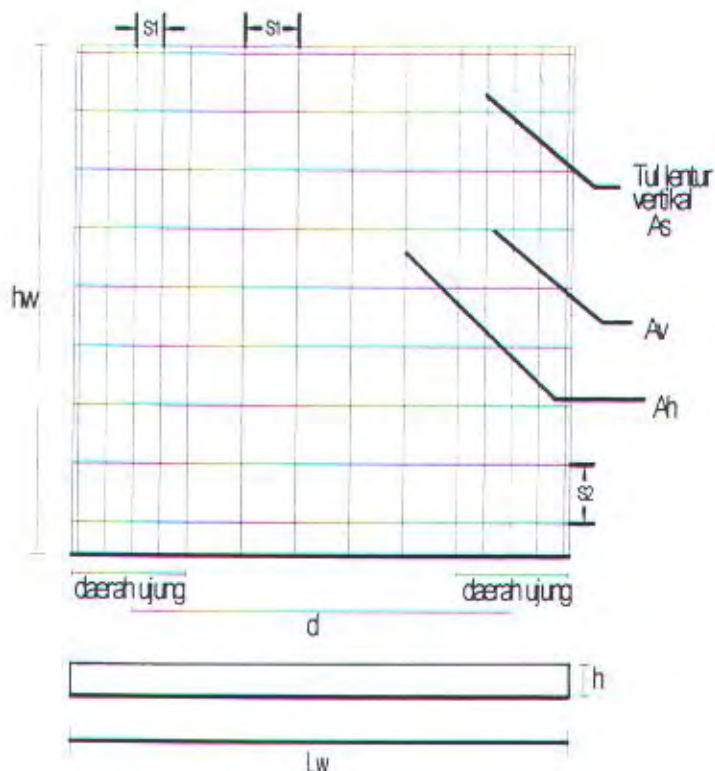
$$= 4360211 \text{ N}$$

$$\phi V_c = 2616112 \text{ N}$$

$$\frac{1}{2} \phi V_c = 1308064 \text{ N} \dots (\text{pasang tulangan geser horizontal praktis})$$

Dipasang Tulangan Horisontal = D10 – 300 d dalam daerah ujung

D10 – 300 di luar daerah ujung



Gambar 6.4 Sketsa Pemulangan Dinding Geser

BAB VII

PERENCANAAN SAMBUNGAN

BAB VII

PERENCANAAN SAMBUNGAN

7.1 Umum

Dalam bab ini akan diuraikan kriteria desain sambungan, konsep, jenis sambungan dan hal-hal yang berkaitan dengan alat-alat sambungan. Sambungan yang dipakai adalah sambungan basah (*topping*) yang relatif mudah dalam pelaksanaannya jika dibandingkan dengan sambungan kering (*non topping*) seperti *mechanical connection* dan *welding connection* yang cukup kompleks.

Untuk sambungan basah dalam daerah joint, diberikan tulangan yang dihitung berdasarkan panjang penyaluran, sambungan lewatan, dowel yang dijangkarkan di daerah pertemuan tersebut. Selain itu juga dilakukan perhitungan geser friksi yaitu geser beton yang berbeda umurnya antara beton pracetak dengan beton *topping*. Di dalam pelaksanaan biasanya dipakai stud tulangan (*shear connector*) yang berfungsi sebagai penahan geser dan sebagai pengikat antara pelat pracetak dan pelat *topping* agar pelat bersifat secara monolit dalam satu kesatuan integritas struktur.

Sambungan berfungsi sebagai penyalur gaya-gaya yang dipikul oleh elemen struktur yang lainnya. Gaya-gaya tersebut untuk selanjutnya diteruskan ke pondasi. Selain itu desain sambungan dibuat untuk menciptakan kestabilan. Suatu sambungan diharapkan dapat mentransfer beberapa gaya secara bersamaan.

Dalam pelaksanaan konstruksi beton pracetak, sebuah sambungan yang baik selalu ditinjau dari segi praktis dan ekonomis. Selain itu juga perlu ditinjau *serviceability*, kekuatan dan produksi. Factor kekuatan khususnya harus dipenuhi oleh sambungan karena sambungan harus menahan gaya-gaya yang dihasilkan oleh beberapa macam beban. Baik sambungan cor setempat maupun sambungan *grouting* sudah banyak dipergunakan sebagai salah satu pemecahan masalah dalam mendesain konstruksi pracetak yang setara dengan konstruksi cor setempat (*cast in situ*)

7.2 Kriteria Perencanaan Bangunan

Kriteria perencanaan sambungan disesuaikan dengan desain, karena ada perbedaan criteria untuk masing-masing type sambungan. Persyaratan suatu sambungan dapat menjadi syarat yang tidak terlalu penting untuk sambungan lain. Hal ini diakibatkan karena perbedaan asumsi / anggapan atau perbedaan spesifikasi dari pihak perancangan dan pemilik struktur.

7.2.1 Kekuatan

Suatu sambungan harus mempunyai kekuatan untuk menahan gaya-gaya yang diterapkan sepanjang umur dari sambungan. Beberapa dari gaya ini disebabkan oleh gaya gravitasi, angin, gempa dan perubahan volume.

7.2.2 Daktilitas

Daktilitas sering didefinisikan sebagai kemampuan relatif struktur untuk menampung deformasi yang besar tanpa mengalami runtuh. Untuk material struktur, daktilitas diukur dengan total deformasi yang terjadi saat lelah awal terhadap lelah batas (*ultimate failure*).

Daktilitas pada portal sering digabungkan dengan ketahanan terhadap momen, hal ini dipakai dalam perencanaan gempa. Pada elemen sambungan tahan momen, tegangan tarik lentur biasanya ditahan oleh komponen baja. Dan kondisi runtuh akhir dapat terjadi karena kondisi putusnya baja, hancurnya beton atau kegagalan dari sambungan baja beton.

7.2.3 Perubahan Volume

Kombinasi pemendekan akibat dari rangkak, susut dan penurunan suhu dapat menyebabkan beberapa tegangan pada elemen beton pracetak ataupun perletakannya ditarik pergerakannya. Tegangan ini harus dimasukkan oleh desain dan akan lebih bila

sambungan diijinkan untuk berpindah tempat untuk mengurangi besarnya tegangan tersebut.

7.2.4 Daya Tahan

Sambungan perlu diawasi dan dipelihara. Sambungan yang diperkirakan akan langsung dapat bersentuhan dengan cuaca harus dilakukan tindakan perlindungan dengan beton atau dengan cat (galvanis) daya tahan yang buruk dapat diakibatkan oleh retak, speling beton dan yang paling sering diakibatkan oleh korosi dari komponen baja elemen beton pracetak.

7.2.5 Ketahanan Terhadap Kebakaran

Beberapa sambungan beton pracetak tak mudah terpengaruh akibat api, seperti pada perletakan antara pelat dan balok yang secara umum tidak memerlukan perlindungan secara khusus terhadap api. Apabila pelat diletakkan diatas bearing pada yang terbuat dari bahan yang mudah terbakar, maka perlindungan khusus dari bearing pads tersebut perlu karena keadaan buruk dari pads tidak akan menyebabkan runtuh tetapi sesudah kebakaran pads harus diganti. Untuk sambungan yang tidak tahan api memerlukan perlindungan khusus seperti dengan melapisi beton, gypsum wallboard atau bahan lain yang tahan api.

7.2.6 Kesederhanaan Sambungan

Semakin sederhana sambungan maka diharapkan akan semakin ekonomis. Kriteria penyederhanaan sambungan adalah:

- Memakai bahan-bahan standar
- Menggunakan detail yang sama (berulang)
- Mengurangi bagian-bagian yang perlu ditancapkan pada elemen sehingga memerlukan presisi tinggi untuk menempatkannya
- Mempersiapkan cara-cara penggantian

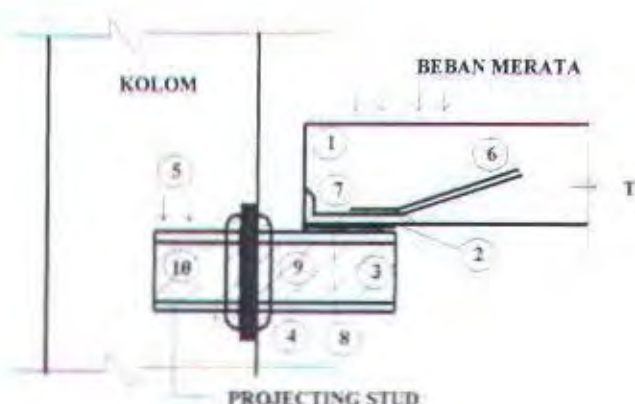
7.2.7 Kesederhanaan Pemasangan

Kesederhanaan pemasangan elemen beton pracetak sangat menentukan keberhasilan pencapaian tujuan penerapan konstruksi beton pracetak. Kesederhanaan pemasangan tidak lepas dari bentuk dan type sambungan yang dipilih. Kesederhanaan suatu sambungan biasanya menjamin kemudahan dalam pemasangan.

7.3 Konsep Desain Sambungan

7.3.1 Mekanisme Pemindahan Beban

Tujuan dari sambungan adalah memindahkan beban dari satu elemen pracetak ke elemen lainnya atau sebaliknya. Pada setiap sambungan, beban akan ditransfer melalui elemen sambungan dengan mekanisme yang bermacam-macam. Pemindahan beban diteruskan ke kolom dan wall melalui beberapa tahap :



Gambar 7.1 Mekanisme Pemindahan Beban

1. Beban w diserap pelat dan ditransfer ke perletakan dengan kekuatan geser
2. Perletakan ke *haunch* melalui gaya tekan *pads*
3. *Haunch* menyerap gaya vertical dari perletakan dengan kekuatan geser dan lentur dari profil baja.
4. Gaya geser vertical dan lentur diteruskan ke pelat baja melalui titik las.

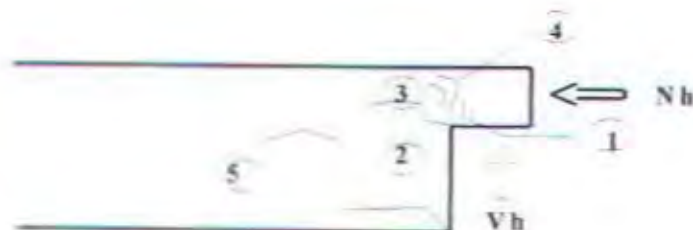
5. Kolom beton memberikan reaksi terhadap profil baja yang tertanam.

Mekanisme pemindahan gaya tarik akibat susut, dapat dijelaskan sebagai berikut:

1. Balok beton ke tulangan dengan lekatan / ikatan
2. Tulangan baja siku ujung balok diikat dengan las
3. Baja siku diujung balok ke *haunch* melalui gesekan diatas dan dibawah *bearing pads*. Sebagian gaya akibat perubahan volume dikurangi dengan adanya deformasi pada pads.
4. Sebagian kecil dari gaya akibat perubahan volume dipindahkan melalui las ke pelat baja.
5. Gaya tersebut ditahan oleh perletakan dan diteruskan oleh stud ke kolom beton melalui ikatan / lekatan.

7.3.2 Pola-pola Kehancuran

Sebagai perencana diharuskan untuk menguji masing-masing pola kehancuran. Pada dasarnya pola kehancuran kritis pada sambungan sederhana akan tampak nyata. Sebagai contoh pada kehancuran untuk sambungan sederhana dapat dilihat pada gambar 7.3

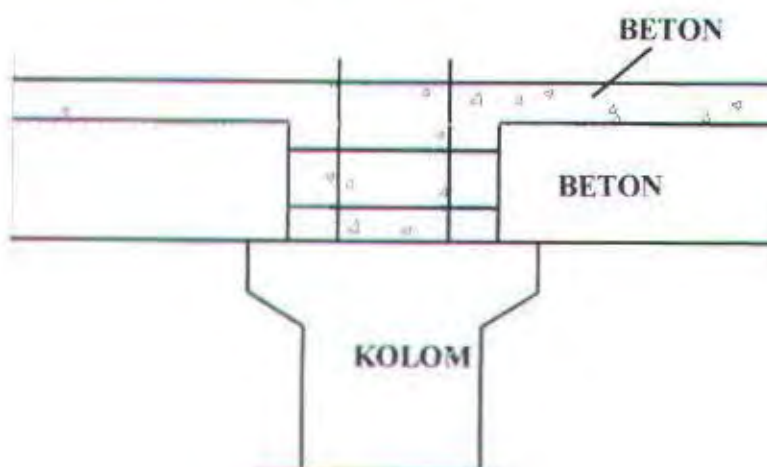


Gambar 7.3 Pola – Pola Kehancuran Pada Ujung Balok

PCI design Handbook memberikan lima pola kehancuran yang harus diselidiki pada waktu perencanaan dapped-end dari balok, yaitu sebagai berikut:

1. Lentur dan gaya tarik aksial pada ujung
2. Tarik diagonal yang berasal dari sudut ujung
3. Geser langsung antara tonjolan dengan bagian utama balok
4. Tarik diagonal pada ujung akhir
5. Perletakan pada ujung atau tonjolan

Dalam tugas akhir ini, penulis merencanakan system balok pracetak yang mampu menumpu pada kolom dengan bantuan konsol pendek pada saat proses pencapaian kekuatan penyambungan sebelum komposit sehingga mencapai kekuatan sambungan yang benar-benar monolith.



Gambar 7.3 Balok pracetak memumpu pada konsol pendek

7.3.3 Stabilitas dan Keseimbangan

Beberapa masalah utama pada struktur beton pracetak biasanya disebabkan oleh kesalahan perencanaan dalam menghitung stabilitas dan keseimbangan dari struktur dan komponen-komponen, bukan hanya kedudukan akhir tetapi juga selama fase pelaksanaan kontruksi.

Sebagai contoh pada balok induk, karena eksentrisitas beban pada balok terjadi torsi dan balok cenderung berputar pada perletakan. Jadi perencanaan perlu untuk memperhitungkan kondisi pada saat pemasangan balok tersebut. Gaya lateral didistribusikan ke setiap bagian struktur lateral melalui aksi diafragma dari pelat lantai.

7.3.4 Klasifikasi Sistem Pracetak Dan Sambungannya

Sistem pracetak didefinisikan dalam dua kategori yaitu lokasi penyambungan dan jenis alat penyambung.

1. Lokasi Penyambungan

Portal daktail dapat dibagi sesuai dengan letak penyambung dan lokasi yang diharapkan terjadi peleahan atau tempat sendi daktailnya. Simbol – simbol di bawah ini digunakan untuk mengidentifikasi perilaku dan karakteristik pelaksanaannya.

- Strong, sambungan elemen-elemen pracetak yang kuat dan tidak akan leleh akibat gempa-gempa yang besar.
- Sendi, sambungan elemen-elemen pracetak bila dilihat dari momen akibat beban lateral gempa dapat bersifat sebagai sendi.
- Daktail, sambungan elemen-elemen pracetak yang daktail dan berfungsi sebagai pemencar energi.
- Lokasi sendi plastis

2. Jenis alat penyambung

- Shell pracetak dengan bagian intinya dicor beton setempat
- Cold joint yang diberi tulangan pratekan parsial, dimana joint digROUT
- Cold joint yang diberi tulangan pratekan parsial, dimana joint tersebut tidak digROUT.
- Sambungan-sambungan mekanik



7.4 Pertimbangan -Pertimbangan Rancangan

1. Sambungan-sambungan sendi

Pertimbangan pertama adalah menentukan letak sambungan pada titik momen minimum, namun sambungan tersebut masih harus didesain terhadap momen yang masih terjadi. Momen yang terjadi lantai per lantai akibat beban mati ditambah beban hidup juga biasanya tidak banyak berbeda, tetapi pergeseran-pergeseran bidang momen akibat ragam-ragam yang lebih tinggi dalam keadaan in elastics perlu diperhatikan.

2. Sambungan daktail pemencar energi

Bila sambungan diletakkan pada titik-titik dimana sendi plastis akan terjadi, maka penyambungnya harus mampu berotasi bolak-balik secara plastis tanpa mengurangi kekuatan momen dan kapasitas geser dari joint tersebut.

Sistem sambungan menjadi sangat kompleks dan sedikit sekali penelitian dilakukan dalam hal ini. Keadaan ini cenderung dihindari oleh para desainer dan letak joint dengan lokasi sendi plastis berusaha dipisahkan.

Dari segi penggeraan dan pelaksanaan beton pracetak, peletakan lokasi joint yang sama dengan lokasi sendi plastis sangatlah ekonomis sebab elemen-elemen tunggal dan berbentuk lurus dan pengangkutannya lebih mudah.

Sebelum pelat mencapai momen lelehnya, keretakan mungkin terjadi pada kolom, sehingga rotasi *post elastis* akan terjadi pada suatu daerah yang menyebabkan peningkatan kekangan pada joint dan *defleksi post yield* elemen baloknya sehingga menghasilkan retakan yang besar pada joint. Beban siklis yang terjadi pada joint di daerah ini mengakibatkan pengurangan gaya gesernya. Regangan-regangan tinggi yang berulang dan bolak-balik pada tulangan yang dimaksud menyebabkan penurunan momen yang besar jika tidak direncanakan penulangannya. Bila akibat beban tarik kemudian diberi tekan kembali mengakibatkan gata lateral yang cukup besar pada beton yang berada di sekeliling tulangan, hal ini dapat mengakibatkan pengurangan kapasitas beton untuk menerima gaya tekan bolak-balik.

Untuk struktur beton bertulang cor setempat, degradasi ini diatasi dengan adanya tulangan lateral (sengkang). Efektivitas tulangan tersebut yang terletak pada suatu *cold*

joint sampai sekarang belum begitu terbukti. Di masa yang akan datang perlu dikembangkan joint-joint yang dapat berperilaku baik dalam keadaan *post yield*.

3. Alat penyambung kuat (tidak leleh dulu dibandingkan sendi plastisnya)

Untuk menghindari letak joint antar elemen pracetak yang bertepatan dengan letak sendi plastis adalah dengan cara memaksakan agar letak sendi tersebut jauh dari joint. Kapasitas elastis pada permukaan kolom harus melebihi dari yang diperkirakan dengan meletakkan sendi plastis tersebut pada pelat. Kapasitas momen elastis pada bagian muka kolom harus lebih besar daripada kapasitas momen pada lokasi sendi. Regangan dan gaya geser yang lebih tinggi akan timbul peleahan dan varasinya sama seperti yang digunakan untuk komponen-komponen lain yang sama yaitu plastis dengan komponen pracetak lain.

Agar mekanisme yang diharapkan dapat tercapai maka kapasitas momen kolom gabung harus lebih besar daripada kapasitas yang dihasilkan pada saat sendi plastis menempel pada kolom. Sambungan-sambungan dapat direncanakan plastis dengan banyak kemungkinan jenis-jenis sambungan yang dapat dipakai diantaranya sambungan las, sambungan *post tension* atau sambungan *grouting*.

4. Sambungan cold joint yang diberi tulangan biasa

Jenis joint ini diletakkan di daerah momen yang kecil. Pemakaiannya yang umum yaitu dengan menggunakan sendi yang bebas berputar, sebab biasanya sendi tersebut dipasang di daerah yang secara analisa memang terjadi persendian (inflection point). Pada permukaan elemen pracetak direncanakan suatu sambungan yang tidak akan terjadi peleahan sambungan. Dari sudut pelaksanaannya adalah sangat menguntungkan dan agar panjang sambungan sependek mungkin serta mengurangi kemungkinan besarnya momen yang terjadi.

Transfer bond dari tegangan yang berasal dari tulangan tarik biasanya sering dipilih sebab tiak akan menimbulkan masalah yang berarti pada waktu pemasangan *mechanical aplices*. Transfer geser diperbaiki dengan mengubah tulangan pengekang.

Sambungan-sambungan basah biasanya tidak dapat dipakai pada sambungan kolom, sehingga kebanyakan digunakan sambungan dowel atau sambungan-sambungan mekanik. Untuk gempa besar biasanya jenis sambungan ini tidak dapat memenuhi

persyaratan. Selain terjadi gaya geser yang cukup besar yang harus ditransferkan, juga terjadi momen yang cukup besar akibat pergeseran *inflection point* akibat sifat-sifat inelastic bila terjadi cukup banyak sendi-sendi plastis pada struktur. Pengaruh ragam yang lebih tinggi dapat menggeser letak *inflection point* pada analisa elastis. Gaya geser yang cukup besar dapat ditransferkan lewat *shear keys*.

7.5 Penggunaan Topping Beton

Tebal topping umumnya diambil sekitar 50 mm – 100 mm. Pemindahan sepenuhnya gaya geser akibat beban lateral pada komponen struktur komposit tersebut akan bekerja dengan baik selama tegangan geser horisontal yang terjadi tidak melebihi 5.5. kg/cm². Bila tegangan geser tersebut dilampaui, maka topping beton tersebut tidak boleh dianggap sebagai beban mati yang bekerja pada beton pracetak tersebut.

Tujuan utama penggunaan topping beton adalah sebagai berikut :

- Menjamin beton tersebut bekerja sebagai satu kesatuan diafragma horisontal yang cukup kaku.
- Agar penyebaran beban hidup vertikal antar komponen pracetak lebih merata
- Meratakan permukaan beton

Kebutuhan baja tulangan pada beton dalam menampung gaya geser horisontal tersebut dapat direncanakan dengan menggunakan geser friksi (*shear friction concept*)

$$Avf = \frac{Vn}{fy \cdot \mu} \geq Avf_{min}$$

dimana :

Avf = luas tulangan geser friksi

Vn = luas geser nominal

< 0.2 x fc x Ac (newton)

< 5.5 x Ac (Newton)

Ac = luas penampang beton yang memikul penyaluran beton

f_y = kuat leleh tulangan

μ = koef. Friksi = 1

$A_{vf\ min} = 0.018 A_c \dots\dots$ (untuk tulangan $f_y < 400$ Mpa)

= $0.018 (400/f_y) A_c \dots\dots$ (untuk tulangan $f_y > 400$ Mpa)

diukur pada regangan leleh 0.35 %

= dalam segala hal tidak boleh kurang dari 0.14 A_c

contoh perhitungan :

$f_c = 30$ Mpa

$f_y = 320$ Mpa

$A_c = 25 \times 1000 = 25000 \text{ mm}^2$

$V_n < 0.2 \times 30 \times 25000 = 150000 \text{ N}$

$V_n < 5.5 \times 25000 = 137500 \text{ N} \dots\dots$ (diambil)

Maka :

$A_{vf} = 137500/320 = 429.7 \text{ mm}^2$

Syarat : $A_{vf\ min} = 0.018 \times 25000 = 45 \text{ mm}^2 \dots\dots$ (diambil)

$A_{vf\ min} > 0.014 \times 25000 = 35 \text{ mm}^2$

$A_{vf} = 429.7 \text{ mm}^2 > A_{vf\ min} = 45 \text{ mm}^2$

Jadi topping yang diperhitungkan sebagai beton komposit

7.6 Prosedur Desain Sambungan

7.6.1 Transfer Gaya Geser Horizontal

Mekanisme dari transfer gaya geser horisontal dihitung berdasarkan besarnya gaya geser yang dipindahkan melalui permukaan temu. ACI 318.83 mengusulkan dua metode alternatif untuk merencanakan transfer gaya horisontal yaitu :

1. Perencanaan berdasarkan pada gaya geser berfaktor vertikal pada penampang yang ditinjau

2. Perencanaan berdasarkan pada kekuatan geser friksi pada bidang temu dimana kekuatan geser tersebut mampu menjamin perubahan aktual gaya tekan/tarik yang terjadi pada penampang yang ditinjau.

Dalam perencanaan ini dipakai metode yang kedua, karena lebih mendekati kenyataan, dimana dasar desain :

$$F_{uh} \leq \phi F_{nh}$$

Dimana : F_{uh} = gaya geser horisontal berfaktor

F_{nh} = kekuatan geser horisontal

ϕ = 0,65

Menurut SKSNI 1991 pasal 3.10.5 ada tiga kasus yang mungkin terjadi, yaitu :

1. $F_{uh} \leq 0,6 \text{ bv}, 1\text{vh}$

Permukaan temunya bersih dan bebas dari serpihan beton yang tidak berguna dan sengaja dikasarkan. Atau tidak sengaja dikasarkan tetapi diberi sengkang pengikat minimum sesuai SKSNI T-15-1991-03 pasal 3.10.6.

2. $0,6 \text{ bv}, 1\text{vh} \leq V_{nh} \leq 2,5 \text{ bv}, 1\text{vh}$

Permukaan temunya bersih dan bebas dari serpihan beton yang tidak berguna dan sengaja dikasarkan sehingga mencapai tingkat kekasaran dengan amplitudo $\pm 5 \text{ mm}$ diberi sengkang minimum sesuai dengan SKSNI 1991 pasal 3.10.6.

3. $V_{nh} \leq 2,5 \text{ bv}, 1\text{vh}$

Permukaan temunya bersih dan bebas dari serpihan beton yang tidak berguna serta untuk perencanaan geser horisontal harus dikerjakan sesuai dengan SKSNI 1991 pasal 3.10.6 yaitu :

- Kekuatan geser nominal maksimum yang didasarkan pada beton adalah $1,2 f_c' \text{ bv}, 1\text{vh}$ atau $5,5 \text{ bv}, 1\text{vh}$ (Newton)

Jadi dengan kata lain :

$$F_{nh \max} = 1,2 \text{ , bv , 1vh}$$

- Luas tulangan geser horisontal dapat dihitung dengan persamaan :

$$Av_f = \frac{V_n}{\mu_f}$$

dimana : A_{vf} = Luas tulangan geser horizontal
 V_{nh} = gaya geser horizontal nominal
 μ = 1x1 untuk komposit
 f = 1,0 untuk beton normal
= 0,85 untuk pasir ringan
= 0,75 untuk beton ringan
 f_y = tegangan leleh tulangan

Tulangan geser dipasang dalam bentuk sengkang pengikat dengan jarak sengkang :

s = $L_{vh} \cdot A_{tie} / A_{vi}$
 s_{max} = 4 x dimensi terkecil elemen yang didukung
= 600 mm

Penulangan geser minimum:

$$A_{vi} (\min) = b_v \cdot l_{vh} / (3 f_y)$$

7.6.2. Perencanaan Sambungan Pelat Diafragma

Seperti yang telah direncanakan pada sambungan pelat dengan balok, kekuatan sambungan pelat diafragma didasarkan pada kemampuan sambungan dalam memindahkan gaya geser horizontal. Gaya geser diperoleh dari kekuatan yang dihasilkan oleh sambungan antara pelat dengan balok. Pada sambungan pelat diafragma perlu diperkuat oleh tulangan memanjang yang diletakkan sepanjang bidang temu plat.

7.6.3 Penulangan Stud/Geser Balok Induk

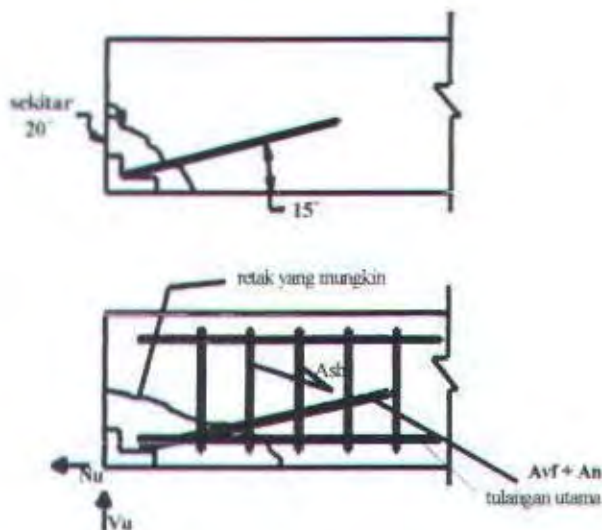
Stud berfungsi sebagai sengkang pengikat antara elemen pracetak dan elemen *cast in place*. Stud harus mampu mentransfer gaya-gaya dalam yang bekerja pada penampang tekan menjadi gaya geser horizontal yang bekerja pada permukaan pertemuan antara elemen pracetak dan elemen *cast in place*. Dengan demikian kedua elemen tersebut dapat menjadi suatu elemen yang komposit dalam memikul beban.

Sebagai pendekatan, panjang balok yang mentransfer gaya geser permukaan ditentukan seperti pada gambar 7.6. Sebagai contoh, perhitungan diambil dari contoh balok 50/75 cm dengan bentang 7,00 m. Pada bentang tersebut panjang permukaan geser horizontal $l_{vh} = 6600/4 = 1650$ mm.

7.6.4 Bearing On Plain Concrete

Jika diinginkan agar suatu elemen tidak perlu diperkuat oleh penulangan untuk mempertinggi daya dukung elemen pada bagian tepi, seperti tepi pada ujung balok yang mendukung pelat, maka perlu dilakukan pemeriksaan *bearing on plain concrete*. Menurut SKSNI T-15-1991-03, daya dukung dari *plain concrete* adalah

$$\phi V_n = \phi C_r (0.85 f'_c A_1) \sqrt{\frac{A_2}{A_1}} \leq 2 f'_c A_1$$



Gambar 7.5 Gesekan Dasar terhadap Daerah Tumpuan Balok

dimana :

$$\phi = 0,7$$

$$C_r = \left(\frac{sw}{200} \right)^{\frac{N_u}{N_b}}$$

= 1,0 bila tidak ada gaya horisontal yang berarti

A_1 = luas permukaan beton yang mendukung beton

A_2 = luas proyeksi permukaan A_1

Batas *bearing strength* adalah :

$$\phi V_c = 0,85 \cdot \phi \cdot f'_c \cdot bw$$

7.6.5 Penulangan End Bearing

Jika $\phi \cdot V_u > V_n$ hasil desain *bearing on plane concrete* maka perlu penulangan *end bearing*. Penulangan end bearing berdasarkan analisa geser friksi. Prosedur yang digunakan PCI adalah sebagai berikut :

1. Diasumsikan sudut retak adalah vertical $\theta = 0^\circ$
2. Hitung tulangan horizontal :

$$A_t = A_{vf} + A_n = \frac{V_u}{\Phi \cdot f_y \cdot \mu} + \frac{N_u}{\Phi \cdot f_y}$$

Sudut penanaman adalah 15° seperti yang disarankan pada referensi. Sedangkan nilai μ diambil secara konservatif.

$\mu = 1.4 \lambda = 1.4 \times 1 = 1.4$ sedangkan nilai $\phi = 0.6$ untuk A_{vf} dan $\phi = 0.8$ untuk A_n .

3. Perhitungan tulangan sengkang

Perhitungan tulangan sengkang Ash untuk retak horizontal adalah:

$$A_{sh} = \frac{A_t \cdot f_y}{\pi \cdot f_y}$$

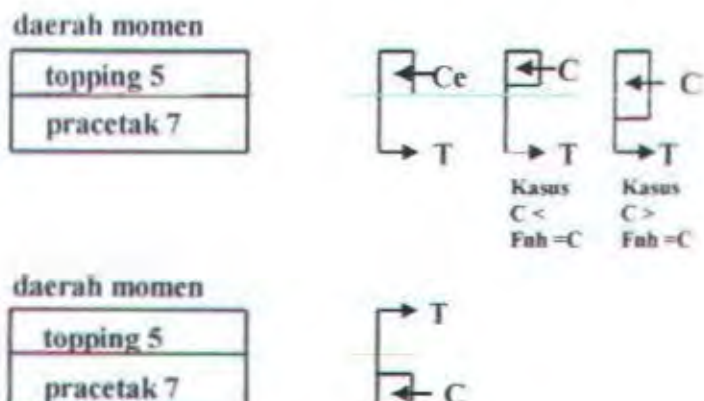
7.7 Perhitungan Sambungan

7.7.1 Perhitungan Penulangan Stud/Geser Pelat Diafragma

Sesuai dengan konsep undereinforced yang mengharuskan bahwa daerah tekan pada penampang pelat komposit masih mampu memikul regangan yang terjadi (sebelum terjadi retak pada beton) pada saat tulangan tank mengalami regangan lelehnya. Dengan kata lain, tegangan yang terjadi saat itu harus mampu dipikul oleh seluruh penampang.

Pelat lantai sebelum dan sesudah komposit

Stud berfungsi sebagai sengkang pengikat antar elemen pracetak dengan elemen cor ditempat. Stud harus mampu mentransfer gaya-gaya dalam yang bekerja pada penampang tekan menjadi gaya geser horizontal yang bekerja pada permukaan pertemuan antara kedua elemen, sehingga kedua elemen tersebut dapat menjadi satu elemen komposit dalam memikul beban.



Gambar 7.6 Geser Horisontal pada pelat komposit

Menurut SKSNI T-15-1991-03 pasal 3.10.5.3 gaya geser horizontal boleh diperiksa dengan jalan menghitung perubahan aktual dari gaya tekan dan gaya tarik di dalam sembarang segmen dan dengan menentukan bahwa gaya tersebut dipindahkan sebagai gaya geser horizontal ke elemen-elemen pendukung.

Ada dua macam gaya tekan yang terjadi pada penampang di daerah momen komposit, yaitu :

- Gaya tekan elemen komposit kurang dari gaya tekan elemen cor setempat
- Gaya tekan elemen komposit lebih dari gaya tekan elemen cor setempat

Untuk stud pelat pracetak $3.3 \times 4.0 \text{ m}^2$

$$C_c = 0.85 \times f_c' \times A_{topping}$$

$$= 0.85 \times 30 \times 50 \times 1000$$

$$= 1275 \text{ KN}$$

$$C = -T$$

$$= A_s \times f_y$$

$$= (\frac{1}{4} \times \pi \times d^2) \times 320$$

$$= 152.25 \text{ KN} < 1275 \text{ KN (kasus a) }$$

Jadi $F_{nh} - C = T = 152.25 \text{ KN}$

$$0.6 \times A_c = 0.6 \times (b v \times l_v)$$

$$= 0.6 \times 1000 \times \frac{1650}{2}$$

$$= 495 \text{ KN} \dots > F_{nh} = 152.25 \text{ KN}$$

$F_{nh} < 0.6 A_c$ SKSNI T-15-1991-03 ps. 3.10.5.2.2 dan 3

Dipasang sengkang minimum (permukaan temu bersih dan bersih dari serpihan dan tidak dikasarkan)

Menurut SKSNI T-15-1991-03 ps. 3.10.6.1

Jarak sengkang pengikat minimum $\leq 4 \times$ tebal cast in place

$$\leq 4 \times 50 = 200 \text{ mm}$$

$$\text{atau} \quad \leq 600 \text{ mm}$$

$$A_v \min = \frac{b.S}{3.f_y} = \frac{1000 \times 200}{3 \times 320} = 208.3 \text{ mm}^2$$

Dipakai stud D10 – 200 mm ($A = 1806.4 \text{ mm}^2$)

7.7.2 Sambungan Balok Induk – Balok Anak

Perencanaan sambungan balok induk dengan balok anak meliputi :

1. Perkuatan penulangan ujung balok
2. Perkuatan penulangan konsol bawah balok induk

7.7.2.1 Perkuatan penulangan ujung balok

➢ Perkuatan tulangan horizontal

Bagian ujung dari balok perlu diberi perkuatan tulangan horizontal At. Tulangan yang dibutuhkan adalah sebagai berikut :

$$V_u = 98555.6 \text{ N}$$

$$N_u = 0.2 \times V_u$$

$$= 0.2 \times 98555.6$$

$$= 19711.2 \text{ N}$$

At ditanamkan dengan sudut penanaman sebesar 15° , seperti yang disarankan oleh referensi.

Nilai $\mu = 1.4$,

$$\phi = 0.6 \dots\dots \text{ Untuk } A_{vf}$$

$$= 0.6 \dots\dots \text{ Untuk } A_n$$

$$A_t = A_{vf} + A_n$$

$$= \frac{Vu}{\phi \cdot f_y \cdot \mu} + \frac{N_u}{\phi \cdot f_y}$$

$$= \frac{98555.6}{0.6 \times 320 \times 1.4} + \frac{19711.2}{1.4 \times 320}$$

$$= 410.6 \text{ mm}^2$$

dipakai tulangan 3D16 ($A_t = 602.88 \text{ mm}^2$)

Perhitungan tulangan sengkang

Perhitungan tulangan sengkang Ash untuk retak horizontal adalah:

$$A_{sh} = \frac{A_t \cdot f_y}{\pi \cdot f_y}$$

$$= \frac{410.6}{1.4}$$

$$= 293.3 \text{ mm}^2$$

dipakai tulangan 2D16 ($A_t = 402.22 \text{ mm}^2$)

Perhitungan tulangan tambahan

$$A_{cv} = A_{ch}$$

$$= V_u / (0.8 \times f_y)$$

$$= 98555.6 / (0.8 \times 320)$$

$$= 384.9 \text{ mm}^2$$

dipakai tulangan 3D16 ($A_t = 602.88 \text{ mm}^2$)

7.7.3 Perencanaan Perkuatan Penulangan Konsol Bawah Balok Induk

Data – data perencanaan :

- o $V_u = 98555.6 \text{ N}$
- o $N_{uc} = 0.2 \times V_u$
 $= 0.2 \times 98555.6$
 $= 19711.2 \text{ N}$
- o $f'_c = 30 \text{ Mpa}$
- o $f_y = 320 \text{ Mpa}$
- o $b_w = 400 \text{ mm}$
- o $\mu = 1.4\lambda \dots \text{ beton dicor monolit}$
 $\lambda = 1 \dots \text{ Beton normal}$
- o $\phi = 0.65$

➤ lebar pelat landasan (d)

$$V_u = \phi \cdot 0.85 f'_c \cdot A_1$$

$$\begin{aligned}d &= V_u / (\phi \times 0.85 \times f'_c \times b_w) \\&= 98555.6 / (0.65 \times 0.85 \times 30 \times 400) \\&= 14.9 \text{ mm}\end{aligned}$$

dipakai lebar pelat landasan 50 mm

➤ Titik beban V_u pada konsol

$$a = 7.5 + \frac{1}{2} \times 5 = 10 \text{ cm}$$

➤ Tinggi konsol untuk geser (d)

$$V_{nmax} = 0.2 \times f'_c \times b_w \times d$$

$$d = V_{nmax} / (0.2 \times f'_c \times b_w)$$

$$= \frac{19711.2 / 0.65}{0.2 \times 320 \times 400}$$

$$= 11.8 \text{ mm}$$

➤ Tinggi konsol untuk lentur

$$Mu = Vu \cdot a + Nuc \cdot (h - d)$$

$$= 98555.6 \times 100 + 19711.2 \times 50$$

$$= 10841120 \text{ Nmm}$$

$$\rho_{max} = 1.4/fy = 1.4/320 = 0.0044$$

$$m = fy/(0.85 \cdot fc') = 320/(0.85 \times 30) = 12.55$$

$$R_n = \rho \cdot fy (1 - \frac{1}{2} \cdot \rho \cdot m)$$

$$= 0.0044 \times 320 \times (1 - \frac{1}{2} \times 0.0044 \times 12.55)$$

$$= 1.37 \text{ Mpa}$$

$$d_{perlu} = \sqrt{\frac{Mu}{\phi \cdot bw \cdot R_n}}$$

$$= \sqrt{\frac{10841120}{0.85 \times 400 \times 1.37}}$$

$$= 152.22 \text{ mm}$$

diambil d terbesar, dimana a/d < 1

dicoba d = mm

$$100/200 = 0.5 \dots \text{OK}$$

➤ Penulangan geser Avf

$$Avf_{perlu} = \frac{Vu}{\phi \cdot fy \cdot \mu}$$

$$= \frac{98555.6 / 0.65}{0.65 \times 320 \times 1.4}$$

$$= 520.7 \text{ mm}^2$$

➤ Penulangan lentur Af

$$Rn_{perlu} = \frac{Mu}{\phi \cdot fy \cdot \mu}$$

$$= \frac{71185000}{0.85 \times 320 \times 200^2}$$

$$= 3.54 \text{ Mpa}$$

$$\rho_{\text{perlu}} = \frac{1}{12.55} \times \sqrt{1 - \frac{2 \times 12.55 \times 3.54}{320}}$$

$$= 0.009$$

$$A_f_{\text{perlu}} = \rho \cdot b_w \cdot d$$

$$= 0.009 \times 400 \times 200 = 720 \text{ mm}^2$$

➤ Tulangan tambahan An

$$A_n = N_u / (\phi \cdot f_y)$$

$$= 19711.2 / (0.65 \times 320)$$

$$= 94.76 \text{ mm}^2$$

➤ Tulangan tarik utama total As

$$A_s = A_f + A_n$$

$$= 720 + 94.76$$

$$= 814.76 \text{ mm}^2$$

$$A_{s2} = 2/3 \times (A_f + A_n)$$

$$= 2/3 \times (520.7 + 94.76)$$

$$= 410.5 \text{ mm}^2$$

$$A_s \text{ perlu} = 2000.6 \text{ mm}^2$$

Digunakan 5D16 ($A_s = 1004.8 \text{ mm}^2$)

➤ Persyaratan sengkang

$$A_{h_{\min}} = 1/2 \times (A_s - A_n)$$

$$= 1/2 \times (814.6 - 94.76)$$

$$= 719.8 \text{ mm}^2$$

digunakan 4D16 ($A_s = 803.84 \text{ mm}^2$)

sengkang ikat harus disebar merata sepanjang $2/3d$

➤ Panjang penanaman As

$$L_d \text{ ada} = b - \text{selimut} - \frac{1}{2} \text{ diameter tulangan As}$$

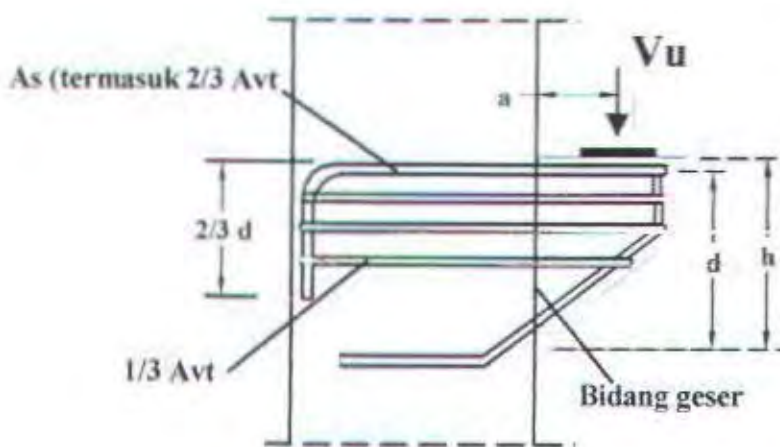
$$= 400 - 50 - \frac{1}{2} \times 16$$

$$= 342 \text{ mm}$$

7.7.4 Perencanaan Sambungan Balok Induk - Kolom

7.7.4.1 Perencanaan Konsol pada Kolom

Tumpuan dari balok induk yang menumpu pada kolom direncanakan dengan konsol pendek.



Gambar 7.4 Sistem Penulangan Konsol Pendek

SKSNIT-15-1991-03 pasal 3.4.9 memberikan tata cara perencanaan konsol pendek dengan nilai bentang retak dan tinggi efektif a.d tidak lebih dari 1 dengan ketentuan sebagai berikut:

1. Gaya horizontal terfaktor Nuc tidak lebih besar dari gaya geser terfaktor Vu
2. Penampang pada muka tumpuan harus direncanakan untuk secara bersamaan memikul gaya geser Vu, momen $\{Vu \cdot a + Nuc(h-d)\}$ dan gaya tarik horizontal Nuc.
3. Untuk semua perhitungan perencanaan konsol pendek menggunakan faktor reduksi kekuatan $\phi = 0,6$, sedangkan pada tumpuan digunakan $\phi = 0,7$.
4. Tulangan Af harus diperhitungkan untuk menahan lentur sebesar $\{Vu \cdot a + Nuc(h-d)\}$
5. Perhitungan tulangan geser friksi Avf harus dihitung sesuai dengan SKSNI T-1991-03 pasal 3.4.7 dengan ketentuan tambahan

- a. untuk beton normal, kuat geser Vu tidak boleh lebih besar dari nilai-nilai $0.2 f_c b w d$ atau $5,5 b w d$.
 - b. untuk beton ringan total atau beton ringan berpasir, kuat geser Vu tidak boleh lebih dari $(0,2 - 0,07) f'_c b w d$ atau $(5,5 - 1,9) b w d$
6. Perhitungan tulangan A_n yang berfungsi memikul gaya tank horizontal N_{uc} ditentukan berdasarkan $N_{uc} < \phi A_n F_y$
 7. Gaya tarik terfaktor N_{uc} harus dianggap sebagai beban hidup walaupun gaya tersebut terjadi akibat rangkak, susut atau perubahan suhu, dan N_{uc} tidak boleh kurang dari $0,2 Vu$ kecuali bila digunakan cara khusus untuk mencegah terjadinya gaya tarik.
 8. Penampang kritis pada konsol pendek adalah pada sisi muka tumpuan yaitu ditempat dimana tinggi efektif harus diukur, dan tinggi efektif tidak boleh kurang dari dua kali tinggi ujung luar d_1 .
 9. Luas tulangan tarik utama A_s harus diambil sama dengan nilai terbesar dari $(A_f + A_n)$ dan $(2/3 A_{vf} + A_n)$
 10. Tulangan geser sengkang A_h dipasang sejajar dengan A_s dengan luas tidak kurang dari $0.5 \times (A_s - A_n)$ dan disebar merata dalam batas $2/3$ tinggi efektif
 11. Ratio penulangan $\rho = \frac{A_s}{b \cdot d} \geq 0.04 \left(\frac{f_c}{f_y} \right)$

Contoh perhitungan pada Balok induk lantai 6 (B19)

Dari output ETABS didapatkan $V_u = 140985.3 \text{ N}$

- bw = 400 mm
- d = 500 mm
- h = 550 mm
- f_c = 30 Mpa
- f_y = 320 Mpa
- l_p = 300 mm
- a = 150 mm

$$\bullet \quad a/d = 0.3 \text{ mm}$$

$$V_n = V_u/\phi = 140985.3/0.6 = 234975 \text{ N}$$

$$0.2 \times f_c \times b_w \times d = 0.2 \times 30 \times 400 \times 500 = 1200000 \text{ N} > V_n$$

$$5.5 \times b_w \times d = 5.5 \times 400 \times 500 = 1100000 \text{ N} > V_n$$

Menentukan Luas Tulangan Geser Friksi

Hubungan konsol dengan kolom monolit, beton normal = $\mu = 1.4$

$$Av_f = \frac{V_n}{f_y \cdot \mu} = \frac{234975}{320 \times 1.4} = 524.5 \text{ mm}^2$$

Menentukan luas tulangan lentur

$$N_{uc} = 0.2 V_u = 28198 \text{ N}$$

$$Af = \frac{Mu}{\phi \cdot f_y + \text{lengan}} = \frac{V_u \cdot a + N_{uc} \cdot (h - d)}{\phi \cdot f_y + \text{lengan}}$$

$$= \frac{140985.3 \times 150 + 28198 \times (550 - 500)}{0.65 \times 320 \times (0.85 \times 500)}$$

$$= 255.1 \text{ mm}^2$$

$$A_n = \frac{N_{uc}}{\phi \cdot f_y} = \frac{28189}{0.65 \times 320} = 135.5 \text{ mm}^2$$

$$A_s = 2/3 \times (Av_f + A_n) = 2/3 \times (524.5 + 135.5) = 660 \text{ mm}^2 \dots \text{menentukan}$$

$$A_s = Af + A_n = 255.1 + 135.5 = 390.6 \text{ mm}^2$$

$$A_{s \min} = 0.04 \times \frac{f_c}{f_y} b \times d$$

$$= 0.04 \times \frac{30}{320} \times 400 \times 500$$

$$= 750 \text{ mm}^2$$

$$\text{Dambil } A_s = 750 \text{ mm}^2$$

$$\text{Dipakai tulangan 4D16} = 803.8 \text{ mm}^2$$

$$A_h = 1/2 \times (A_s - A_n) = 1/2 \times (750 - 135.5) = 614.5 \text{ mm}^2$$

$$\text{Dipakai sengkang D10} = 2 \times 5 \times 78.5 = 785 \text{ mm}^2$$

Dipasang sepanjang $(2/3)d = 333.3 \text{ mm}^2$ (vertikal) dipasang 5D10
dengan spasi $333.3/3 = 111.1 \text{ mm}$

Dipasang pula tulangan 5D10 sebagai rangka

Menentukan Luas Pelat Landasan

$$V_u = \phi \times 0.85 \times f_c' \times A_l$$

$$A_l = \frac{140985.3}{0.85 \times 30 \times 0.65} = 8505.9 \text{ mm}^2$$

dipakai pelat landasan $400 \times 200 \text{ mm}^2$, dengan tebal 15 mm

7.7.4.2 Perencanaan Reinforced Concrete Bearing pada Balok

Perkuatan Tulangan Horisontal (At)

Bagian ujung balok diberi perkuatan tulangan horisontal A_t . Tulangan yang dibutuhkan adalah sebagai berikut :

$$A_t = A_{vf} + A_n = \frac{V_u}{\phi \cdot f_y \cdot \mu} + \frac{N_u}{\phi \cdot f_y}$$

Dimana

$$V_u = 140985 \text{ N}$$

$$N_u = 0.2 \times V_u = 0.2 \times 14098.5 = 2819.7 \text{ N}$$

A_t ditanam dengan sudut 15° seperti yang disarankan referensi, nilai $\mu = 1.4$, $\phi = 0.6$, untuk $A_{vf} =$ dan $\phi = 0.8$ untuk A_n

$$A_t = \frac{140985}{0.6 \times 320 \times 1.4} + \frac{28197}{0.8 \times 320} = 634.6 \text{ mm}^2$$

Maka dipakai tulangan 3D19 ($A_t = 850.15 \text{ mm}^2$)

➤ Tulangan Sengkang (A_{sh})

Tulangan sengkang digunakan untuk mencegah retak arah horisontal

$$A_{sh} = \frac{A_t \cdot f_y}{\mu \cdot f_y} = \frac{634.320}{1.4 \cdot 320} = 452.9 \text{ mm}^2$$

Maka dipakai tulangan 2D19 ($A_{cv} = 566.7 \text{ mm}^2$)

➤ Tulangan Pengikat Tambahan (A_{cv})

$$A_{cv} = A_{ch}$$

$$\frac{V_u}{8 \times f_y} = \frac{140985}{8 \times 320} = 55.1 \text{ mm}^2$$

Maka dipakai tulangan 2D19 ($A_{cv} = 566.7 \text{ mm}^2$)

BAB VIII

PERENCANAAN PONDASI

BAB VIII

PERENCANAAN PONDASI

8.1 Perencanaan Pondasi Pada Struktur Utama

8.1.1 Daya Dukung Tiang Pancang Tunggal

Daya dukung vertikal tiang dihitung berdasarkan kombinasi tahanan gesekan (*friction*) dan tahanan ujung (*end bearing*). Data tanah yang digunakan untuk perencanaan daya dukung didapat dari hasil SPT, dengan ujung sampai tanah keras $q_c \geq 150 \text{ kg/cm}^2$ atau nilai SPT ≥ 30 (*end bearing pile*).

Menurut Terzaghi dan Meyerhof:

$$Q_{sp} = \frac{1}{FK} \left(f_b A_b + U \sum_{i=1}^n l_i f_u \right)$$

Di mana :

Q_{sp} = daya dukung vertikal yang diijinkan untuk sebuah tiang tunggal (ton)

FK = faktor keamanan (diambil 3.0)

f_b = tahanan ujung tiang (ton/m^2)

A_b = luas penampang ujung tiang (m^2)

U = keliling tiang (m)

l_i = tebal lapisan tanah dengan memperhitungkan geseran dinding tiang (m)

f_u = intensitas tahanan geser tiang (ton/m^2)

Tabel 8.1 Intensitas Gaya Geser Dinding Tiang Pancang

Jenis Tanah	Tiang Pracetak	Tiang Cor Setempat
Tanah Kohesif	C atau N (≤ 12)	C/2 atau N/2 (≤ 12)
Tanah Berpasir	N/5 (≤ 10)	N/2 (≤ 12)

Direncanakan (misalkan BH4 dari data tanah pada lampiran) memakai tiang pancang :

Diameter tiang pancang (D) = 50 cm

Panjang tiang pancang = 22 m

Luas tiang pancang (A_b) = $\frac{1}{4} \pi D^2$ = 0.196 m^2

$$\text{Keliling tiang pancang } (U) = \pi D = 1.57 \text{ m}$$

Menghitung Daya Dukung Pada Ujung Tiang Pancang.

$$\bar{N} = \frac{N_1 + N_2}{2} \leq 40$$

di mana :

\bar{N} = Nilai N rata-rata untuk perencanaan tahan ujung tiang

N_1 = Nilai N pada ujung tiang

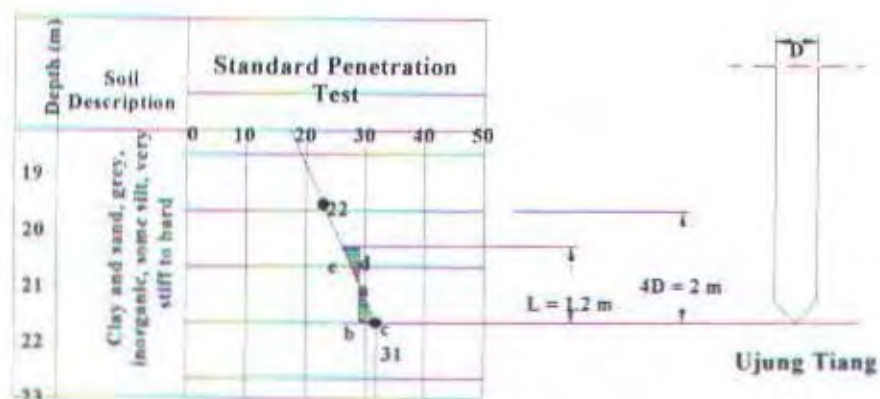
N_2 = Nilai N rata-rata sepanjang $4D$ dari ujung tiang

Dari data sondir diperoleh nilai :

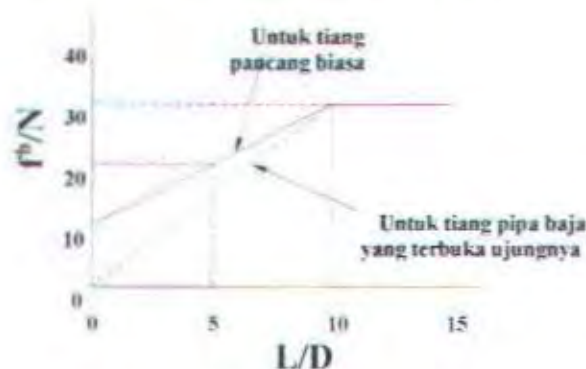
$$N_1 = 31 \quad \text{dan} \quad N_2 = \frac{22 + 24 + 26 + 29 + 30 + 31}{6} = 26.83$$

$$\bar{N} = \frac{31 + 26.83}{2} = 28.91 < 40 \quad (\text{OK})$$

Nilai f_b diperoleh dari gambar di bawah ini :



Gambar 8.1 Diagram Untuk Mencari L .



Gambar 8.2 Diagram Mencari f_b

l_e adalah panjang ekivalen pemancangan ke dalam lapisan pendukung (m) dihitung sebagai berikut :

- menentukan titik b pada ujung tiang dengan harga \bar{N} .
- menentukan garis tegak db sehingga luas D_{abc} sama dengan luas D_{ade} hitung panjang garis tegak lurus tersebut sebagai L .

Dari gambar 5.1 didapat $l_e = 1.2 \text{ m}$

$$L/D = 1.2/0.5 = 2.4 \text{ sehingga dari gambar 5.2 didapat } f_b/\bar{N} = 14$$

$$f_b = 14 \bar{N} = 14 \cdot 28.91 = 404.74 \text{ t/m}^2$$

Kemampuan daya dukung ujung tiang

$$Q_p = f_b A_b = 404.74 \times 0.196 = 79.33 \text{ ton}$$

Menghitung Gaya Geser Maximum Pada Dinding Tiang Pancang.

Langkah pertama adalah menentukan harga rata-rata N bagi lapisan-lapisan tanah, selanjutnya besarnya gaya geser maximum dinding tiang dapat diperkirakan sebagaimana berikut ini :

Tabel 8.2 Perhitungan Intensitas Gaya Geser Dinding Tiang Pancang

Kedalaman (m)	Ketebalan lapisan l_i (m)	Tanah	Har ga rata- rata N	$f_i (\text{ton}/\text{m}^2)$	$l_i f_i$ (ton/ m)
0 – 1	1	Clay, brown, inorganic, some silt, trace sand	0	0	0
1 – 6	5	Clay, grey, inorganic, some silt, some sand	0	0	0
6 – 9	3	Clay, grey, inorganic, some silt, trace sand, soft	0.2	0.2	0.6

9 - 10	1	Clay, grey, inorganic, some silt, some sand	2.6	2.6	2.6
10 - 12	2	Clay, grey, inorganic, some silt, little sand,medium	6.5	6.5	13
12 - 18.5	6.5	Clay, grey, inorganic, some silt, little sand,stiff	12.2 5	12	78
18.5 - 22	3.5	Clay, grey, inorganic, some silt, very stiff	22.6 7	12	42
$\sum I_i f_i = 136.2$					

Total gaya geser maximum pada dinding tiang

$$Q_f = U \sum I_i f_u = 1.57 \times 136.2 = 213.83 \text{ ton}$$

$$Q_{sp} = \frac{1}{3}(Q_p + Q_f) = 97.723 \text{ ton} = 97723 \text{ kg}$$

Daya Dukung Pondasi Berdasarkan Mutu Bahan

Tiang pancang yang digunakan adalah tiang pancang produk WIKA dengan data-data sebagai berikut :

Diameter = 50 mm

$$\begin{aligned} Q_{bahan} &= 185.30 \text{ ton} \\ &= 185300 \text{ kg} \end{aligned}$$

Sehingga daya dukung $Q_{sp} = 97723 \text{ kg}$ lebih menentukan.

8.1.2 Daya Dukung Kelompok Tiang Pancang Kelompok

Dari output ETABS didapatkan gaya dalam yang bekerja pada pondasi yaitu :

1. Beban Sementara (*COMB 12 joint 15*)

$$\text{Axial} : P = 86718.6 \text{ kg}$$

$$\text{Momen} : M_x = 15288.19 \text{ kg-m} \quad M_y = 2061.47 \text{ kg-m}$$

$$\text{Gaya Horisontal} : H_x = 342.18 \text{ kg} \quad H_y = 2445.5 \text{ kg}$$

2. Beban Tetap (*COMB 11 joint 15*)

$$\text{Axial} : P = 107039.6 \text{ kg}$$

$$\text{Momen} : M_x = 1345.17 \text{ kg-m} \quad M_y = 24647.7 \text{ kg-m}$$

$$\text{Gaya Horisontal} : H_x = 3174.4 \text{ kg} \quad H_y = 465.6 \text{ kg}$$

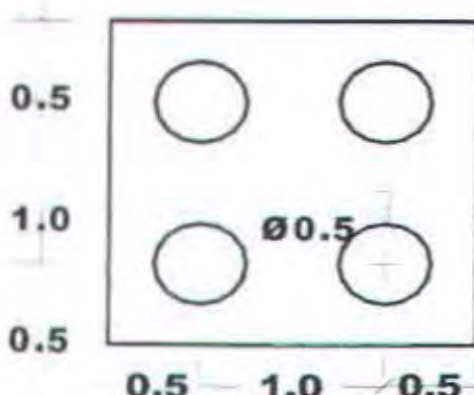
Efisiensi Kelompok Tiang Pancang

Jarak antar tiang (S) = 1.00 m sehingga efisiensi kelompok tiang menurut CONVERSE-LABARRE adalah sebagai berikut :

$$\begin{aligned} E_{ff} &= 1 - \left\{ \tan^{-1} \left(\frac{\phi}{S} \right) \left(\frac{(m-1)n + (n-1)m}{90mn} \right) \right\} \\ &= 1 - \left\{ \tan^{-1} \left(\frac{500}{1000} \right) \left(\frac{(2-1)2 + (2-1)2}{90 \times 2 \times 2} \right) \right\} \\ &= 0.84 \end{aligned}$$

Sehingga $Q_{qst} = 0.84 \cdot 97723 \text{ kg} = 83300 \text{ kg}$

Direncanakan dimensi poer : 2.00 m x 2.00 m x 1 m dengan 4 buah tiang pancang Ø50 cm seperti pada gambar di bawah ini :



Gambar 8.3 Gambar Perletakan Tiang Pancang

Dari gambar di atas dapat diketahui :

$$X_{max} = 0.5 \text{ m}$$

$$\sum X^2 = 4(0.5)^2 = 1 \text{ m}^2$$

$$Y_{max} = 0.5 \text{ m}$$

$$\sum Y^2 = 4(0.5)^2 = 1 \text{ m}^2$$

Momen tambahan akibat gaya horisontal dengan tebal poer 1 m :

$$\text{Akibat beban sementara : } M_x = 342.18 \text{ kg} \cdot 1 \text{ m} = 342.18 \text{ kg}\cdot\text{m}$$

$$M_y = 2445.5 \text{ kg} \cdot 1 \text{ m} = 2445.5 \text{ kg}\cdot\text{m}$$

$$\text{Akibat beban tetap : } M_x = 3174.4 \text{ kg} \cdot 1 \text{ m} = 3174.4 \text{ kg}\cdot\text{m}$$

$$M_y = 465.5 \text{ kg} \cdot 1 \text{ m} = 465.5 \text{ kg}\cdot\text{m}$$

Gaya normal yang terjadi berdasarkan beban sementara :

$$\begin{array}{lll} \text{- Gaya dari kolom (P)} & = 86718.6 \text{ kg} \\ & & = 86718.6 \text{ kg} \end{array}$$

$$\begin{array}{lll} \text{- Berat sloof} & = 0.4 \times 0.7 \times 5.6 \times 2400 \\ & & = 4435.2 \text{ kg} \end{array}$$

$$\begin{array}{lll} \text{- Berat sendiri poer} & = 2 \times 2 \times 1 \times 2400 \\ & & = 9600 \text{ kg} \end{array}$$

$$\sum V = 100753.8 \text{ kg}$$

$$\begin{aligned} P_{max} &= \frac{\sum V}{n} + \frac{M_x Y_{max}}{\sum Y^2} + \frac{M_y X_{max}}{\sum X^2} \\ &= \frac{100753.8}{4} + \frac{(342.18+15288.19)0.5}{1} + \frac{(2445.5+2061.47)0.5}{1} \\ &= 83300 \text{ kg} < 70360.56 \text{ kg} \quad \text{(OK)} \end{aligned}$$

Gaya normal yang terjadi berdasarkan beban tetap :

$$\begin{array}{lll} \text{- Gaya dari kolom (P)} & = 107039.6 \text{ kg} \\ & & = 107039.6 \text{ kg} \end{array}$$

$$\begin{array}{lll} \text{- Berat sloof} & = 0.4 \times 0.7 \times 5 \times 2400 \\ & & = 4435.2 \text{ kg} \end{array}$$

$$\begin{array}{lll} \text{- Berat sendiri poer} & = 2 \times 2 \times 1 \times 2400 \\ & & = 9600 \text{ kg} \end{array}$$

$$\sum V = 121074.4 \text{ kg}$$

$$\begin{aligned} P_{max} &= \frac{\sum V}{n} + \frac{M_x Y_{max}}{n \sum Y^2} + \frac{M_y X_{max}}{n \sum X^2} \\ &= \frac{121074.4}{4} + \frac{(1345.2+3174.4)0.5}{1} + \frac{(24647.7+2445.5)0.5}{1} \\ &= 43870.32 \text{ kg} < 70360.56 \text{ kg}, Q_{lim} \quad \text{(OK)} \end{aligned}$$

8.1.3 Daya Dukung Lateral Tiang Pancang

Faktor kekakuan relatif :

$$T = \sqrt{\frac{EI}{n_b}} ; \text{ di mana :}$$

$$E = 4700\sqrt{f_c} = 4700\sqrt{60} = 36406.04 \text{ MPa} = 357143.28 \text{ kg/cm}^2$$

$$I = \frac{1}{64}D^4 = \frac{1}{64}50^4 = 97656.25 \text{ cm}^4$$

Dari buku *Pile Design and Construction Practice (M. J. Tomlinson)* nilai n_b untuk tanah kohesive dapat dipakai :

untuk normally consolidated : 350 KN/m³ s/d 700 KN/m³

untuk soft organic silts : 150 KN/m³

Dari data-data tersebut dipakai nilai :

$$\begin{aligned} n_b &= 500 \text{ KN/m}^3 \\ &= (500 \cdot 10^3)/9.81 \\ &= 50968.39 \\ &= 0.051 \text{ kg/cm}^3 \end{aligned}$$

Sehingga nilai :

$$\begin{aligned} T &= \sqrt{\frac{35714.2 \times 97656}{0.051}} \\ &= 4089.4 \text{ cm} \end{aligned}$$

Diasumsikan bahwa tanah mempunyai modulus tanah yang bertambah secara linear, kedalaman sampai pada taraf penjepitan lateral adalah :

$$\begin{aligned} Z_f &= 1.8 T \\ &= 1.8 \cdot 217.2 = 390.1 \text{ cm} \end{aligned}$$

Kekuatan bahan pondasi :

$\sigma_{maks} = f_c = 600 \text{ kg/cm}^2$ (dari brosur tiang pancang WIKA pada lampiran)

$$\begin{aligned} W &= \frac{I}{y} ; \text{ di mana nilai } y = \frac{1}{2}D = \frac{1}{2} \cdot 50 \text{ cm} = 25 \text{ cm} \\ &= \frac{97656}{25} = 3906.2 \text{ cm}^3 \end{aligned}$$

$$\begin{aligned}
 M_f &= \sigma_{maks} W \\
 &= 600 \times 3906.2 \\
 &= 2343744 \text{ kg.cm} \\
 &= 23437.44 \text{ kg.m}
 \end{aligned}$$

Untuk fixed head :

$$\text{Momen } (M_f) = F_m H T$$

$$\text{Defleksi, } y_f = \frac{F_i H T^3}{EI}$$

$$L = 22 \text{ meter}$$

$$\frac{L}{T} = \frac{22}{2.17} = 10.14$$

$Z = 0$ (momen dan defleksi yang dicari berada di ujung tiang)

Dari grafik *coefficients for deflection and coefficients bending moment* didapat :

$$F_m = -0.93$$

$$F_y = 0.94$$

Beban lateral yang dapat ditahan tiang adalah :

$$H = \frac{M_f}{F_m T} = \frac{23437.44}{(-0.93) \times 2.17} = -11613.6 \text{ kg}$$

Defleksi di ujung tiang yang terjadi sebesar :

$$y_f = \frac{F_i H T^3}{EI} = \frac{0.94 \times 11613.6 \times 217.21^3}{357143.3 \times 97656} = 3.2 \text{ cm}$$

Effisiensi daya dukung lateral, dianggap bahwa tiang pada *baris pertama* yang terkena beban akan memikul 100% gaya lateral dan tiang pada *baris kedua* hanya menerima 25% dari gaya lateral sehingga jumlah tiang, $n = 2.5$

$$H_{tiang} = H_u/n = 3174.4/2.5 = 1269.8 \text{ kg}$$

Daya dukung lateral tiang pancang adalah $11613.65 \text{ kg} > 1269.8 \text{ kg}$

8.1.4 Perencanaan Poer Pondasi (*Pile Cap*)

Data-data perencanaan :

$$\begin{aligned}
 \text{Dimensi poer :} \quad &\text{- tinggi } (h) = 1000 \text{ mm} \\
 &\text{- lebar } (b) = 2000 \text{ mm}
 \end{aligned}$$

- panjang (l) = 2000 mm

- $\text{Ø}_{\text{bul. utama}}$ = 25 mm

Selimut beton = 50 mm

Tinggi efektif balok poer

$$d_y = 1000 - (50 + \frac{1}{2} \cdot 19) = 940.5 \text{ mm}$$

$$d_y' = 1000 - (50 + 25 + \frac{1}{2} \cdot 19) = 921.5 \text{ mm}$$

Mutu bahan : $f_c = 30 \text{ MPa}$

$$f_y = 400 \text{ MPa}$$

$$P_u = 107039.6 \text{ kg}$$

$$M_{ux} = 1345.17 \text{ kg-m} \quad M_{uy} = 24647.7 \text{ kg-m}$$

$$H_{ux} = 3174.4 \text{ kg} \quad H_{uy} = 465.6 \text{ kg}$$

Tambahan momen akibat ketebalan poer 1.00 m :

$$M_{ux} = 3174.4 \times 1 = 3174.4 \text{ kgm}$$

$$M_{uy} = 465.1 \times 1 = 465.1 \text{ kgm}$$

Gaya normal yang terjadi akibat beban terfaktor

$$P_u = 100753.8 \text{ kg}$$

$$\text{Berat sloof} = 1.2 \times 0.4 \times 0.7 \times 5.6 \times 2400 = 4515.8 \text{ kg}$$

$$\text{Berat sendiri poer} = 1.2 \times 2 \times 2 \times 1 \times 2400 = 11520 \text{ kg}$$

$$\sum V_u = 116789.6 \text{ kg}$$

$$\begin{aligned} P_{u \max} &= \frac{\sum V}{n} + \frac{M_x Y_{\max}}{n_x \sum Y^2} + \frac{M_y X_{\max}}{n_y \sum X^2} \\ &= \frac{116789}{4} + \frac{(1345+3174)0.5}{1} + \frac{(24647.07+465.1)0.5}{1} \\ &= 44012.8 \text{ kg} \end{aligned}$$

Untuk perhitungan pembebanan pada poer diasumsikan poer sebagai balok kantilever yang dijepit pada bagian kolom, untuk lebih jelasnya dapat dilihat pada gambar di bawah:

- panjang (l) = 2000 mm

- $\text{Ø}_{\text{tul. utama}}$ = 25 mm

Selimut beton = 50 mm

Tinggi efektif balok poer

$$d_s = 1000 - (50 + \frac{1}{2} \cdot 19) = 940.5 \text{ mm}$$

$$d_y = 1000 - (50 + 25 + \frac{1}{2} \cdot 19) = 921.5 \text{ mm}$$

Mutu bahan : $f_c = 30 \text{ MPa}$

$$f_y = 400 \text{ MPa}$$

$$P_u = 107039.6 \text{ kg}$$

$$M_{ux} = 1345.17 \text{ kg-m} \quad M_{uy} = 24647.7 \text{ kg-m}$$

$$H_{ux} = 3174.4 \text{ kg} \quad H_{uy} = 465.6 \text{ kg}$$

Tambahan momen akibat ketebalan poer 1.00 m :

$$M_{ux} = 3174.4 \times 1 = 3174.4 \text{ kgm}$$

$$M_{uy} = 465.1 \times 1 = 465.1 \text{ kgm}$$

Gaya normal yang terjadi akibat beban terfaktor

$$P_u = 100753.8 \text{ kg}$$

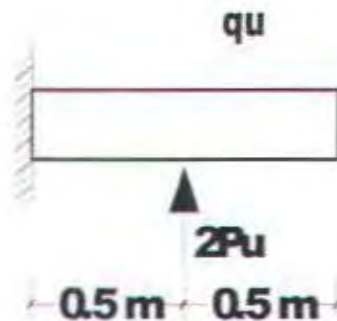
$$\text{Berat sloof} = 1.2 \times 0.4 \times 0.7 \times 5.6 \times 2400 = 4515.8 \text{ kg}$$

$$\text{Berat sendiri poer} = 1.2 \times 2 \times 2 \times 1 \times 2400 = 11520 \text{ kg}$$

$$\sum V_u = 116789.6 \text{ kg}$$

$$\begin{aligned} P_{u \max} &= \frac{\sum V}{n} + \frac{M_x Y_{\max}}{n_x \sum Y^2} + \frac{M_y X_{\max}}{n_y \sum X^2} \\ &= \frac{116789}{4} + \frac{(1345+3174)0.5}{1} + \frac{(24647.07+465.1)0.5}{1} \\ &= 44012.8 \text{ kg} \end{aligned}$$

Untuk perhitungan pembebanan pada poer diasumsikan poer sebagai balok kantilever yang dijepit pada bagian kolom, untuk lebih jelasnya dapat dilihat pada gambar di bawah:



$$q_u = 1.2 \times 2 \times 2400 = 5760 \text{ kg/m}$$

$$V_u = 2P_u - q_u \times 1 = 2 \times 44012.8 - 5760 \times 1 = 82265.6 \text{ kg} \\ = 822656 \text{ N}$$

$$M_u = 2P_u \times 0.5 - \frac{1}{2} \cdot q_u \times 1 \\ = 2 \times 44012.8 \times 0.5 - \frac{1}{2} \times 5760 \times 1^2 \\ = 41132.8 \text{ kg-m} \\ = 411328000 \text{ mm}$$

Penulangan Lentur Poer

$$R_n = \frac{M_u}{\phi bd^2} = \frac{411328000}{0.8 \times 1000 \times 912.5^2} = 0.617$$

$$m = \frac{f_y}{0.85f_c} = \frac{400}{0.85 \times 30} = 15.68$$

$$\rho_{min} = 0.002$$

$$\rho_{perlu} = \frac{1}{m} \left(1 - \sqrt{1 - \frac{2mR_n}{f_y}} \right) = \frac{1}{15.68} \left(1 - \sqrt{1 - \frac{2 \times 15.68 \times 0.617}{400}} \right) = 0.0005$$

$$A_t = \rho b d \\ = 0.002 \times 1000 \times 921.5 = 2461.3 \text{ mm}^2$$

Dipasang D25-150 ($A_t = 2661 \text{ mm}^2$)

Penulangan Geser Poer

$$V_u = 822656 \text{ N}$$

$$\phi V_c = 0.6 \cdot 1/6 \sqrt{f_y} b d = 0.6 \cdot 1/6 \sqrt{30} \times 2000 \times 912.5 \\ = 999593.7 \text{ N}$$

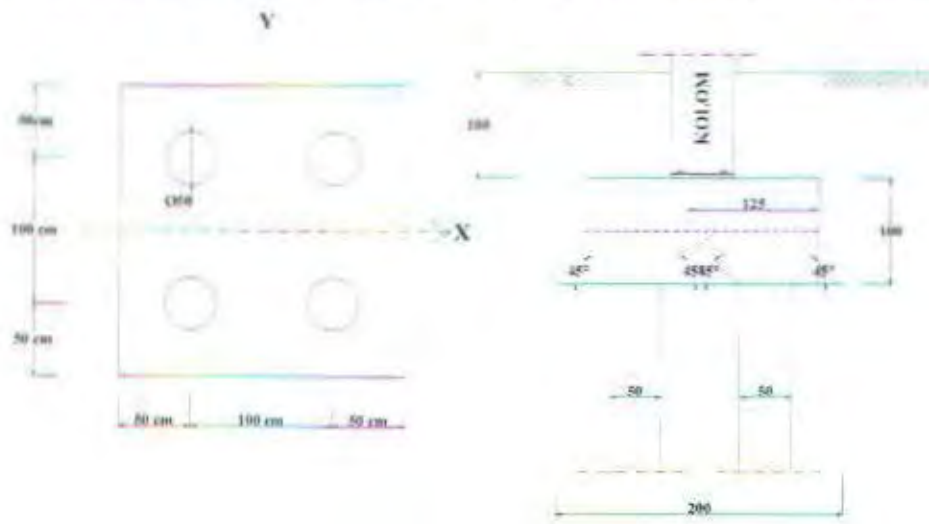
$V_u < \phi V_c$ maka tidak diperlukan tulangan geser.

Kontrol Geser Pons

Akibat Dari Tiang Pancang

$$\beta_c = \text{ratio panjang dan pendek ukuran tiang} = 50/50 = 1$$

$$b_o = \text{keliling kritis} = \pi D_{kritis} = \pi \cdot 150 \text{ cm} = 471.23 \text{ cm} = 4712.3 \text{ mm}$$



Gambar 8.4 Ratio pancang terhadap geser pons

$$V_c = \left[1 + \frac{2}{\beta_c} \right] \frac{1}{6} \sqrt{f_c} b_o d$$

$$= \left[1 + \frac{2}{1} \right] \frac{1}{6} \sqrt{30} \times 4712.3 \times 91.5 = 11914822.27 \text{ N}$$

Tidak boleh lebih besar dari :

$$V_c = 1/3 \sqrt{f_c} b_o d \beta_c$$

$$= 1/3 \sqrt{30} \times 4712.3 \times 912.5 \times 1$$

$$= 7842791.42 \text{ N (menentukan)}$$

$$V_n = \frac{P_{n\max}}{\phi} = \frac{44012.5}{0.6} = 73354.1 \text{ kg} = 733541 \text{ N}$$

$$V_n < V_c$$

Sehingga tulangan geser pons tidak diperlukan.

Akibat Dari Kolom

$$\beta_c = \text{rasio panjang dan pendek ukuran tiang} = 80/80 = 1$$

$$b_o = \text{keliling kritis} = 2(1300 \text{ mm} + 1300 \text{ mm}) = 5200 \text{ mm}$$

$$V_c = \left[1 + \frac{2}{\beta_c} \right] \frac{1}{6} \sqrt{f_c} b_o d$$
$$= \left[1 + \frac{2}{1} \right] \frac{1}{6} \sqrt{30} \times 5200 \times 921.5 = 13122884.76 \text{ N (menentukan)}$$

Tidak boleh lebih besar dari :

$$V_c = 1/3 \sqrt{f_c} b_o d \beta_c$$
$$= 1/3 \sqrt{30} \cdot 5200 \times 921.5 \times 1$$
$$= 8661103.9 \text{ N}$$

$$V_n = \frac{P_{u,kolom} - 4 \times P_{maka tangan panjang}}{\phi} = \frac{107039.6 - 4 \times 44012.8}{0.6} < 0$$

$$V_n < V_c$$

Sehingga tulangan geser pons tidak diperlukan.

8.1.5 Perencanaan Sloof Pondasi

Penentuan dimensi sloof dilakukan dengan mempertimbangkan syarat bahwa tegangan tarik yang terjadi tidak melampaui tegangan tarik ijin beton yang ada (f_a). Gaya aksial yang bekerja diambil sebesar 10% dari beban aksial kolom yang terjadi pada kondisi pembebahan gempa.

Penulangan Balok Sloof Akibat Beban Aksial dan Lentur

$$\text{Ukuran sloof : } b = 400 \text{ mm}$$

$$h = 700 \text{ mm}$$

$$A_g = 240000 \text{ mm}^2$$

$$\text{Mutu bahan : } f'_c = 30 \text{ MPa}$$

$$f_{v,tul.\,utama} = 400 \text{ MPa}$$

$$f_{v,tul.\,sengkang} = 240 \text{ MPa}$$

$$\text{Selimut Beton} = 50 \text{ mm}$$

$$\begin{aligned}
 \text{Tulangan utama} &= D22 \\
 \text{Tulangan sengkang} &= \emptyset 10 \\
 \text{Tinggi efektif } (d) &= 600 - (50 + 10 + \frac{1}{2} \cdot 22) = 529 \text{ mm}
 \end{aligned}$$

Beban-beban yang terjadi pada sloof :

$$\begin{array}{lll}
 \text{- Berat sendiri sloof} & = 1.2 \times 0.4 \times 0.7 \times 2400 & = 691.2 \text{ kg/m} \\
 \text{- Berat dinding} & = 1.2 \times 5.8 \times 250 & = 1740 \text{ kg/m} \\
 \hline
 q_u & & = 2431.2 \text{ kg/m}
 \end{array}$$

$$M_{u \text{ tumpuan}} = 1/12 q_u L^2$$

$$= 1/12 \times 2431.2 \times 6.6^2 = 6825.3 \text{ kgm} = 68253000 \text{ Nmm}$$

$$M_{u \text{ lapangan}} = \frac{1}{2} M_{u \text{ tumpuan}} = 44126500 \text{ Nmm}$$

Gaya tekan pada sloof

$$\begin{aligned}
 P_u &= 10\% P_{u \text{ kolom}} \\
 &= 10\% \times 107039.6 \\
 &= 10703.96 \text{ kg} \\
 &= 107039.6 \text{ N}
 \end{aligned}$$

$$\begin{aligned}
 e &= \frac{M_u}{P_u} \\
 &= \frac{68253000}{107039.6} = 637.6 \text{ mm}
 \end{aligned}$$

$$\frac{P_u}{\phi A_s 0.85 f_c'} = \frac{107039.6 \text{ N}}{0.65 \times 280000 \times 0.85 \times 30} = 0.024$$

$$\frac{P_u}{\phi A_s 0.85 f_c'} \left[\frac{e}{h} \right] = \frac{107039.6}{0.65 \times 280000 \times 0.85 \times 30} \left[\frac{637.6}{660} \right] = 0.023$$

dari diagram interaksi didapat :

$$r = 0.01$$

$$\rho = r \beta = 1.2 \times 0.01 = 0.012 ; \text{ di mana } \beta \text{ untuk } f_c' = 30 \text{ adalah } 1.2$$

$$\begin{aligned}
 A_{s \text{ tumpuan}} &= \rho h d \\
 &= 0.012 \times 400 \times 629 \text{ mm} \\
 &= 2539.2 \text{ mm}^2
 \end{aligned}$$

Dipasang 8D22 ($A_s = 3041 \text{ mm}^2$) untuk daerah tumpuan

Dipasang 4D22 ($A_s = 1512 \text{ mm}^2$) untuk daerah lapangan

Kontrol terhadap gaya tarik pada sloof, gaya tarik diambil sebesar gaya tekan = 107039.6 N. Gaya tarik ini akan ditahan seluruhnya oleh tulangan balok sloof.

$$F = A_s f_y$$

$$107039.6 \text{ N} = A_s \cdot 400 \text{ MPa}$$

$$A_s = 267.59 \text{ mm}^2$$

Sehingga dipasang tulangan utama 4D22.

Penulangan Geser Sloof

Gaya geser maksimum di tumpuan :

$$\begin{aligned} V_u &= \frac{1}{2} q_u L \\ &= \frac{1}{2} \times 2431.2 \times 6.6 \text{ m} \\ &= 8022.96 \text{ kg} = 80229.6 \text{ N} \end{aligned}$$

$$\begin{aligned} V_c &= 2 \left(1 + \frac{P_u}{14 A_s} \right) \frac{1}{6} \sqrt{f_c} b d \\ &= 2 \left(1 + \frac{107039.6}{14 \times 280000} \right) \frac{1}{6} \sqrt{30} \times 400 \times 629 \\ &= 584788.8 \text{ N} \end{aligned}$$

$$\phi V_c = 0.6 \times 584788.8 = 350873.2 \text{ N}$$

Karena $V_u < \phi V_c$, maka dipasang tulangan geser minimum.

Direncanakan $\mathcal{O}_{tengkang}$ digunakan 10 mm ($A_v = 157 \text{ mm}^2$)

$S_{maks} = d/4 = 132.25 \text{ mm}$ dipasang $\mathcal{O}10-125 \text{ mm}$ (untuk daerah tumpuan)

Direncanakan $\mathcal{O}_{tengkang}$ digunakan 10 mm ($A_v = 157 \text{ mm}^2$)

$S_{maks} = d/2 = 264.50 \text{ mm}$ dipasang $\mathcal{O}10-250 \text{ mm}$ (untuk daerah lapangan).

BAB IX

PELAKSANAAN

BAB IX

PELAKSANAAN

9.1 Umum

Dalam bab pelaksanaan ini selain diuraikan mengenai item pekerjaan secara umum, ditinjau pula mengenai pelaksanaan yang berkaitan dengan penggunaan material pracetak

Dalam mencetak elemen struktur pracetak, ada dua proses yang biasa dilakukan, yaitu :

1. Proses pencetakan secara pabrikasi di industri pracetak

Dengan proses pabrikasi perlu diperhatikan :

- Terbatasnya fleksibilitas yang tersedia untuk elemen disebabkan harus mengikuti kaidah sistem dimensi satuan yang telah disepakati dalam bentuk kelipatan suatu modul
- Perlunya standar khusus sehingga hasil pracetak dapat dipakai secara umum di masyarakat
- Cara ini memungkinkan mencari produk yang terbaik dari lain pabrik

2. Proses pencetakan di lapangan/lokasi proyek

Ada beberapa hal yang perlu diperhatikan

- Proses ini sering dilakukan pada proyek – proyek lokal
- Umur dari proses produksi pencetakan disesuaikan dengan usia proyek
- Proses ini lebih disukai dimungkinkan untuk dilaksanakan dikarenakan standarisasi hasil pencetakan disesuaikan dengan keperluan proyek.

9.2 Proses Produksi Elemen Beton Pracetak

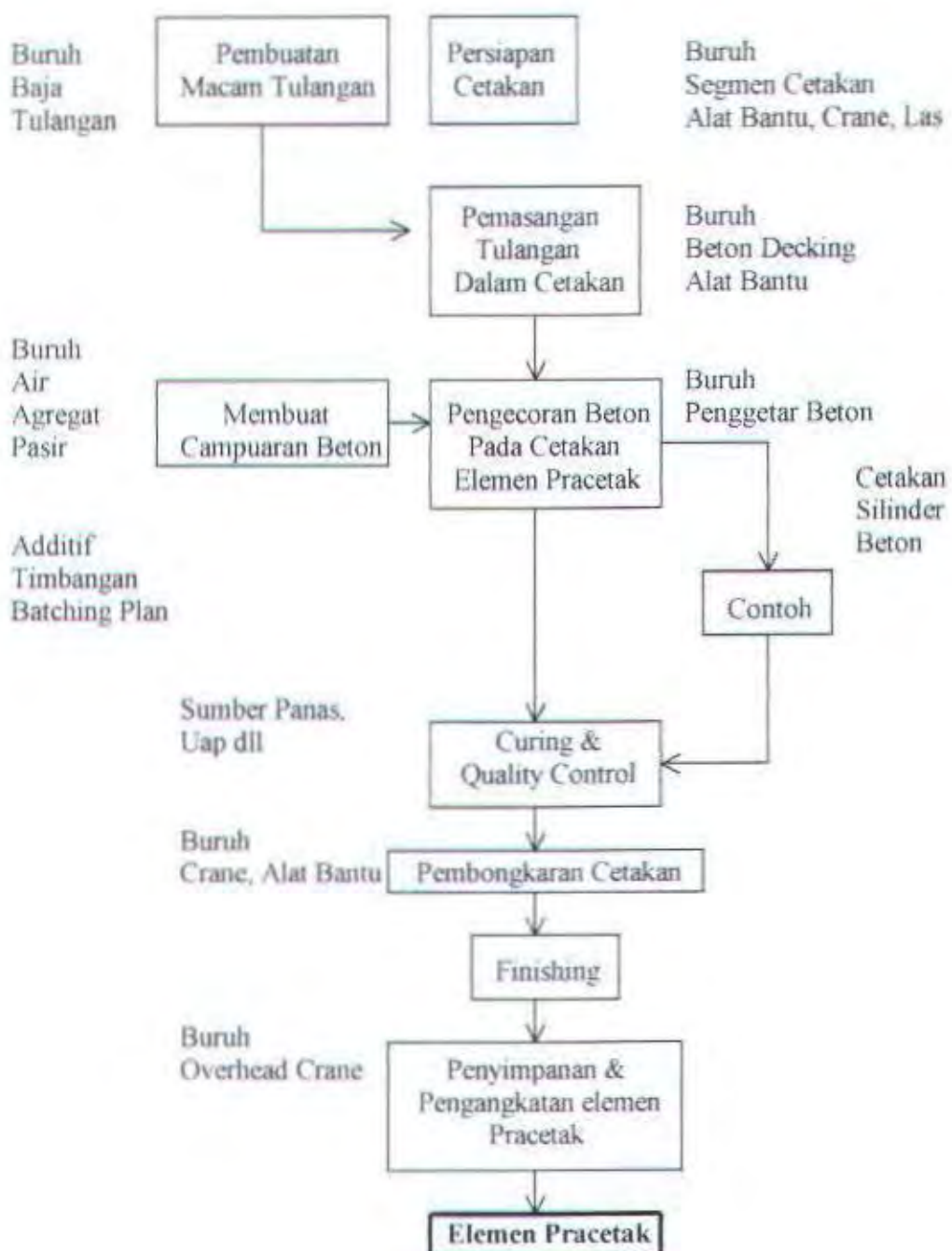
Setelah proses pengcoran, perawatan dilakukan untuk menghindari penguapan air semen sehingga mutu beton yang direncanakan sudah memenuhi.

Pembukaan bekisting dilakukan setelah kekuatan beton mencapai 20% - 60% dari kekuatan akhir yang dapat tercapai, kurang lebih umur 3 – 7 hari pada suhu kamar.

Syarat cetakan :

Volume stabil untuk pencetakan berulang, Mudah ditangani, tidak bocor dan Mudah untuk dipindahkan untuk pelaksanaan di proyek

Setelah pembongkaran bekisting, dilakukan finishing elemen beton pracetak
Secara *skematis* proses produksi elemen beton pracetak digambarkan dalam bagan berikut ini :



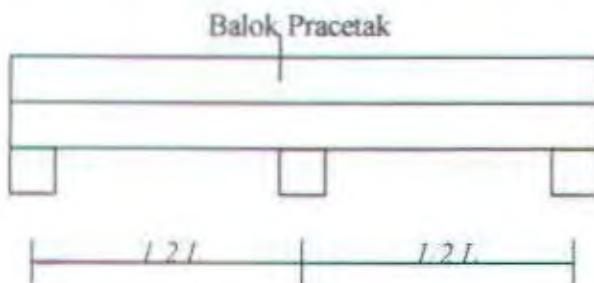
9.3 Penumpukan Elemen Balok Pracetak

Contoh balok induk $L = 660 \text{ cm}$ dengan dimensi 40/70

Berat balok (w) = $6.6 \times 0.4 \times 0.58 \times 2400 = 3674.9 \text{ kg}$

Ditumpuk pada umur beton 3 hari = $0.4 f_{c'} = 12 \text{ MPa}$

Tumpuan memakai balok kayu ukuran $10 \times 10 \text{ cm}$



Gambar 9.1 Penumpukan Balok Pracetak

Kontrol tegangan pada tengah bentang :

$$\frac{1/2 \times w_{\text{balok}}}{\text{Luas bid.kontak}} = \frac{1/2 \times 36749}{40000} = 0.46 \text{ MPa}$$

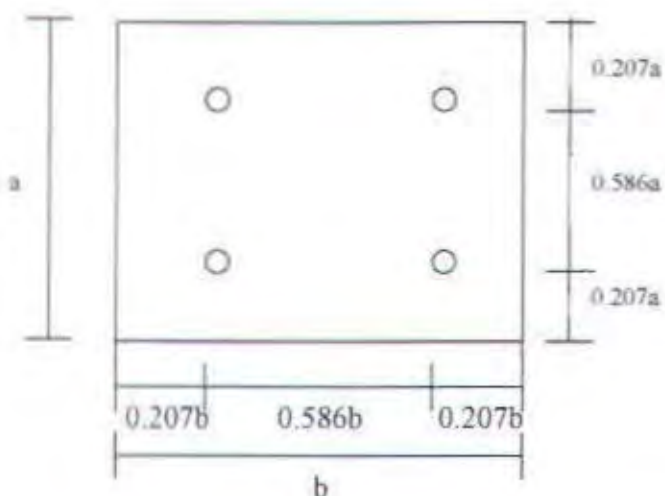
Ditumpuk sebanyak 2 tumpukan = $2 \times 0.46 = 0.92 \text{ MPa} < 12 \text{ MPa}$

9.4 Perhitungan Tulangan Angkat Pelat Pracetak

Tulangan angkat diperlukan saat pemasangan pelat pracetak ke titik – titik yang diinginkan.

Contoh perhitungan :

Pelat pracetak Type A ($3.3 \times 4.0 \text{ m}^2$) menggunakan empat titik pengangkatan (four point pick up)



Gambar 9.2 Pengaturan Jarak tulangan angkat menurut buku

" Precast and Prestressed Concrete "

Pelat dianggap sebagai balok sederhana. Pembebaan saat ereksi meliputi berat sendiri pelat pracetak dan berat pekerja sebanyak dua orang. Gaya horisontal yang bekerja ditransfer ke dua arah, yaitu arah i (sejajar sumbu pendek pelat) dan j (sejajar sumbu panjang pelat).

- Koefisien kejut ($k = 1.2$)
- Beban hidup 2 pekerja $= 2 \times 100 = 200 \text{ kg}$

Beban – beban :

$$DL = 0.07 \times 3.3 \times 4 \times 2400 = 2534.3 \text{ kg}$$

$$LL = 200 \text{ kg}$$

$$\begin{aligned}Qu &= k(1.2DL) + k(1.6LL) \\&= 1.2 \times (1.2 \times 2534.3) + 1.2 \times (1.6 \times 200) \\&= 3969.5 \text{ kgm}\end{aligned}$$

ada 4 titik angkat

$$Tu = \frac{3969.5}{4} = 924.1 \text{ kg/tulangan angkat}$$

$$\sigma = \frac{f_y}{1.5} \quad \dots \dots \text{PPBBI ps. 2.2.2}$$

$$\sigma = \frac{3200}{1.5} = 2133.3 \text{ kg/cm}^2$$

$$D = \sqrt{\frac{4.T_u}{\pi.\sigma}} = \sqrt{\frac{4 \times 924.1}{\pi \times 2133.3}} = 0.74 \approx 7.4 \text{ mm}$$

diambil 10 mm untuk tulangan angkat

$$\alpha_i = \arctg \left[\frac{(0.97^2 + 1.172^2)}{0.97} \right] = 67.26^\circ$$

$$\alpha_j = \arctg \left[\frac{(0.97^2 + 1.172^2)}{1.172} \right] = 63.14^\circ$$

gaya horisontal

$$T_{u_i} = 924.1 \times \cos 67.26^\circ = 357.2 \text{ kg}$$

$$T_{u_j} = 924.1 \times \cos 63.14^\circ = 417.5 \text{ kg} \quad \dots \dots \text{menentukan}$$

Diperoleh diameter tulangan arah i dan j

$$D = \sqrt{\frac{4.T_u}{\pi.\sigma}} = \sqrt{\frac{4 \times 417.5}{\pi \times 2133.3}} = 0.5 \approx 5 \text{ mm}$$

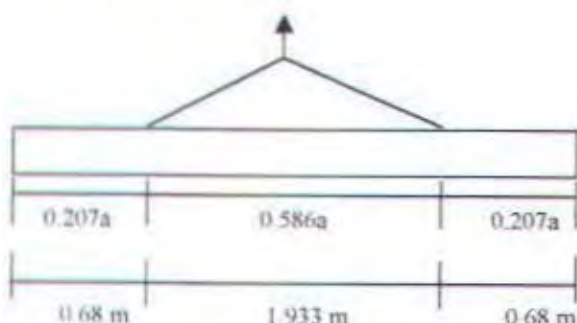
diambil 8 mm untuk tulangan angkat

9.4.1 Kontrol Tegangan Angkat

$$f_r' = 0.7 \times \sqrt{30} = 3.834 \text{ MPa}$$

Kontrol tegangan pelat saat tripping (pengangkatan awal)

a. Lentur arah memanjang pelat pracetak



Gambar 9.3 Pengangkatan pelat arah melintang

Pelat dengan 2 titik angkat :

$$\theta = 45^\circ$$

$$w = 2400 \text{ kg/m}^2$$

$$a = 330/2 = 165 \text{ cm}$$

$$b = 400 \text{ cm}$$

$$t = 7 \text{ cm}$$

$$Z = \frac{1}{6} \times 165 \times 7^2 = 1347.5 \text{ cm}^3$$

$$\begin{aligned} My &= 0.0027 \cdot w \cdot a \cdot b^2 \\ &= 0.0027 \times (0.07 \times 2400) \times 165 \times 4^2 \\ &= 18.95 \text{ kgm} = 189500 \text{ Nmm} \end{aligned}$$

momen tambahan akibat sudut angkat :

$$P = \frac{1.2 \times (2400 \times 0.07 \times 3.3 \times 4) + (1.6 \times 200)}{2 \times 2}$$

$$= 1210 \text{ kg}$$

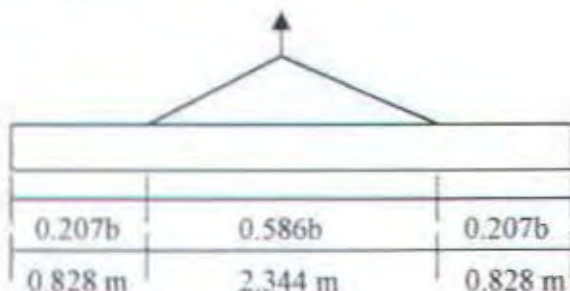
$$Y_c = 0.5 \times 0.07 = 0.035 \text{ m}$$

$$M_p = \frac{1210 \times 0.035}{\tan 45^\circ} = 39.35 \text{ kgm}$$

$$M_t = M_p + My = 39.35 + 18.95 = 58.3 \text{ kgm} = 583000 \text{ Nmm}$$

$$f_t = f_b = \frac{583000}{154750} = 3.83 \text{ MPa} < f_r = 3.83 \text{ MPa} \dots \text{OK}$$

b. Lentur arah melintang pelat pracetak



Gambar 9.4 Pengangkatan pelat arah memanjang

$$M_x \text{ ditahan penampang selebar } \frac{x}{2} = \frac{400}{2} = 100 \text{ cm atau } 15t = 105 \text{ cm}$$

Ditambil 100 cm

$$Z = \frac{1}{6} \times 1050 \times 70^2 = 857500 \text{ mm}^3$$

$$\begin{aligned} M_y &= 0.0027 \cdot w \cdot a \cdot b^2 \\ &= 0.0027 \times (0.07 \times 2400) \times 3.3^2 \times 4 \\ &= 17.25 \text{ kgm} = 172500 \text{ Nmm} \end{aligned}$$

momen tambahan akibat sudut angkat :

$$P = \frac{1.2 \times (2400 \times 0.07 \times 3.3 \times 4) + (1.6 \times 200)}{2 \times 2}$$

$$= 1210 \text{ kg}$$

$$Y_c = 0.5 \times 0.07 = 0.035 \text{ m}$$

$$M_p = \frac{1210 \times 0.035}{\tan 55} = 27.65 \text{ kgm}$$

$$M_t = M_p + M_y = 27.65 + 17.25 = 45.3 \text{ kgm} = 453000 \text{ Nmm}$$

$$f_t = f_b = \frac{453000}{857500} = 0.53 \text{ MPa} < f_r = 3.83 \text{ MPa} \dots \text{OK}$$

9.5 Pengangkatan Balok Anak

Ukuran balok anak $30/40 \text{ cm}^2$ (bentang $L = 400 \text{ cm}$)

Beban yang ada pada balok anak saat pengangkatan :

1. Beban Mati (DL)

• Berat sendiri: $0.3 \times 0.28 \times 2400 = 194.4 \text{ kg/m}$

$$\begin{aligned} \text{• Berat tulangan (1%)} &= 1.944 \text{ kg/m} \\ &\underline{196.44 \text{ kg/m}} \end{aligned}$$

2. Beban Hidup (LL)

• Berat Pekerja = 100 kg/m

$$Z = 1/6 \times 300 \times 280^2 = 3645000 \text{ mm}^3$$

Tegangan lentur tarik beton :

$$f_c = 30 \text{ MPa}$$

$$f_r = 0.7 \sqrt{30} = 3.834 \text{ MPa}$$

Momen Lapangan

$$+ M = \frac{wL^2}{8} \left[1 - 4x + \frac{4Yc}{L \tan \theta} \right]$$

Momen Tumpuan

$$+ M = \frac{w(xL)^2}{8}$$

dimana :

$$x = \frac{1 + \frac{4Yc}{L \tan \theta}}{2 \left[1 + \sqrt{1 + \frac{Yt}{Yb} \left(1 + \frac{4Yc}{L \tan \theta} \right)} \right]}$$

$$Yt = Yb + h/2 = \frac{40 - 12}{2} = 14 \text{ cm}$$

$$Yc = Yt + 5 = 19 \text{ cm}$$

$$L = 4,00 \text{ m}$$

$$\theta = 45^\circ$$

$$x = \frac{1 + \frac{4 \times 19}{400 \times \tan 45}}{2 \left[1 + \sqrt{1 + \frac{14}{400} \left(1 + \frac{4 \times 19}{400 \times \tan 45} \right)} \right]} = 0.24$$

$$x \cdot L = 0.24 \times 400 = 96.3 \text{ cm}$$

momen yang terjadi :

o Momen dilapangan

- Akibat beban mati

$$+ M = \frac{wL^2}{8} \left[1 - 4x + \frac{4Yc}{L \tan \theta} \right]$$

$$= \frac{196.4 \times 4^2}{8} \left[1 - 4 \times 0.24 + \frac{4 \times 0.19}{4 \times \tan 45} \right] = 323.04 \text{ Kgm}$$

- Akibat beban hidup

$$+M_I = 1/4 \times P \times L$$

$$= 1/4 \times 100 \times 4$$

$$= 100 \text{ kgm}$$

Momen total : $323.04 + 100 = 423.04 \text{ kgm} = 4230400 \text{ Nmm}$

Tegangan yang terjadi :

$$F_t = f_b = + M_t / Z$$

$$= \frac{4230400}{3645000}$$

$$= 1.16 \text{ MPa} < 3.834 \text{ MPa}$$

o Momen Tumpuan

- Akibat beban mati

$$-M = \frac{196.44 \times (0.24 \times 4)^2}{2} = 90.52 \text{ kgm}$$

- Akibat beban hidup

$$-M = 100 \times (0.24 \times 4) = 96 \text{ kgm}$$

Momen total : $90.52 + 96 = 186.52 \text{ kgm}$

Tegangan yang terjadi :

$$F_t = f_b = + M_t / Z$$

$$= \frac{1865200}{3645000}$$

$$= 0.51 \text{ MPa} < 3.834 \text{ MPa}$$

Tulangan Angkat : Diperhitungkan terhadap koefisien kejut :

$$V_u = 1/2 \times [(1.2 \times 1.2 \times 196.44) + (1.2 \times 1.4 \times 100)] = 237.4 \text{ kg}$$

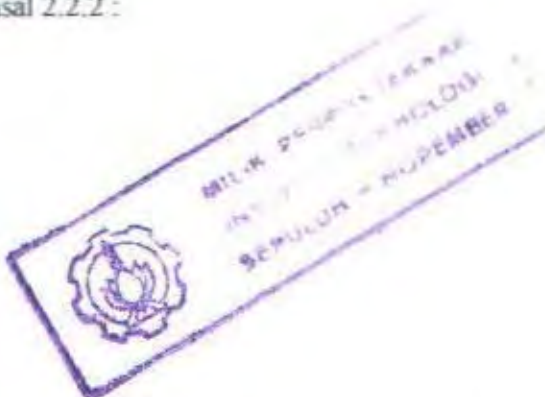
Tegangan tarik ijin baja U35 menurut PBBI pasal 2.2.2 :

$$\rho_{tarik \ ijin} = \frac{f_y}{1.5} = \frac{3200}{1.5} = 2133.3 \text{ kg/cm}^2$$

didapatkan tulangan angkat i

$$D = \sqrt{\frac{4.7u}{\pi \cdot \sigma'}} = \sqrt{\frac{4 \times 237.4}{\pi \times 2133.3}} = 0.36 \approx 3.6 \text{ cm}$$

Dipasang tulangan angkat $\phi 10 \text{ mm}$



9.6 Pengangkatan Balok Induk

Ukuran balok anak $40/70 \text{ cm}^2$ (bentang $L = 670 \text{ cm}$)

Beban yang ada pada balok anak saat pengangkatan :

1. Beban Mati (DL)

• Berat sendiri: $0.4 \times 0.58 \times 2400 = 547.2 \text{ kg/m}$

$$\begin{array}{l} \bullet \text{Berat tulangan (1\%)} \\ \hline = 5.472 \text{ kg/m} \\ \hline 552.67 \text{ kg/m} \end{array}$$

2. Beban Hidup (LL)

• Berat Pekerja = 100 kg/m

$$Z = 1/6 \times 400 \times 580^2 = 21660000 \text{ mm}^2$$

Tegangan lentur tarik beton :

$$f_c = 30 \text{ Mpa}$$

$$f_t = 0.7 \sqrt{30} = 3.834 \text{ Mpa}$$

Momen Lapangan

$$+M = \frac{wL^2}{8} \left[1 - 4x + \frac{4Y_c}{Ltg\theta} \right]$$

Momen Tumpuan

$$-M = \frac{w(xL)^2}{8}$$

dimana :

$$x = \frac{1 + \frac{4Y_c}{Ltg\theta}}{2 \left[1 + \sqrt{1 + \frac{Y_t}{Y_b} \left(1 + \frac{4Y_c}{Ltg\theta} \right)} \right]}$$

$$Y_t = Y_b = h/2 = \frac{70 - 12}{2} = 29 \text{ cm}$$

$$Y_c = Y_t + 5 = 34 \text{ cm}$$

$$L = 660 \text{ m}$$

$$\theta = 45^\circ$$

$$x = \frac{1 + \frac{4 \times 34}{660 \cdot \tan 45}}{2 \left[1 + \sqrt{1 + \frac{29}{29} \left(1 + \frac{4 \times 34}{660 \times \tan 45} \right)} \right]} = 0.24$$

$$x \cdot L = 0.24 \times 660 = 158.4 \text{ cm}$$

momen yang terjadi :

- Momen dilapangan

- Akibat beban mati

$$\begin{aligned} +M &= \frac{wL^2}{8} \left[1 - 4x + \frac{4Yc}{L \cdot g \cdot \theta} \right] \\ &= \frac{552.7 \times 6.6^2}{8} \left[1 - 4x0.24 + \frac{4x0.34}{6.6 \times \tan 45} \right] = 731.39 \text{ Kgm} \end{aligned}$$

- Akibat beban hidup

$$+MI = 1/4 \times P \times L$$

$$= 1/4 \times 100 \times 6.6$$

$$= 165 \text{ kgm}$$

$$\text{Momen total : } 731.39 + 165 = 896.3900 \text{ Nmm}$$

Tegangan yang terjadi :

$$F_t = f_b = +M/Z$$

$$= \frac{80963900}{21660000}$$

$$= 0.413 \text{ MPa} < 3.834 \text{ MPa}$$

- Momen Tumpuan

- Akibat beban mati

$$-M = \frac{731.39 \times (0.24 \times 6.6)^2}{2} = 917.6 \text{ kgm}$$

- Akibat beban hidup

$$-M = 165 \times (0.24 \times 6.6) = 261.36 \text{ kgm}$$

$$\text{Momen total : } 917.6 + 261.36 = 1178.9 \text{ kgm}$$

Tegangan yang terjadi :

$$F_t = f_b = + M_t / Z$$

$$\approx \frac{11789000}{21660000}$$

$$= 0.55 \text{ MPa} < 3.834 \text{ MPa}$$

Tulangan Angkat : Diperhitungkan terhadap koefisien kejut :

$$V_u = 1/2 \times [(1.2 \times 1.2 \times 552.67) + (1.2 \times 1.4 \times 100)] = 481.92 \text{ kg}$$

Tegangan tarik ijin baja U35 menurut PBBI pasal 2.2.2 :

$$\rho_{tarik\ ijin} = \frac{f_y}{1.5} = \frac{3200}{1.5} = 2133.3 \text{ kg/cm}^2$$

didapatkan tulangan angkat i

$$D = \sqrt{\frac{4.7u}{\pi \cdot \sigma'}} = \sqrt{\frac{4 \times 481.92}{\pi \times 2133.3}} = 0.54 \approx 5.4 \text{ mm}$$

Dipasang tulangan angkat $\phi 10 \text{ mm}$

9.7 Penempatan Crane

Dalam perencanaan ini penulis memakai peralatan Crane untuk mengangkat elemen pracetak di lapangan.

Data - data crane yang digunakan :

- Jenis Crane = UNIMAC UG 55.25
- Jarak jangkau minimum = m dengan beban maksimum ton
- Jarak jangkau maksimum = m dengan beban maksimum ton

Elemen struktur pracetak (data elemen pracetak terbesar)

- Pelat pracetak $w = 3.3 \times 4 \times 0.07 \times 2400 = 2217.6 \text{ kg} = 2.217 \text{ ton}$
- Balok induk pracetak, $w = 0.58 \times 0.4 \times 6.6 \times 2400 = 3611.52 \text{ kg} = 3611.52 \text{ ton}$
- Balok anak pracetak, $w = 0.3 \times 0.28 \times 4 \times 2400 = 777.6 \text{ kg} = 7.776 \text{ ton}$

Luas Gedung I = $18.00 \times 30 = 540 \text{ m}^2$ (lantai 1 – 3)

II = $18.00 \times 23.4 = 421.2 \text{ m}^2$ (lantai 4 – 9)

9.8 Proses Pemasangan Elemen Pracetak

Secara garis besar tahapan pelaksanaan proses pemasangan dan perakitan beton pracetak dapat dijelaskan dalam bagian skema dibawah berikut ini :

Tahapan pemasangan elemen beton pracetak



Keberhasilan pelaksanaan metode pracetak tergantung pada organisasi pelaksanaan, organisasi yang baik, teknical skill personil yang terlibat, kerja sama yang baik dan kontrol yang baik dalam organisasi.

9.8.1 Pekerjaan tiang pancang

Spesifikasi tiang pancang yang digunakan dalam proyek ini adalah type dengan diameter cm, produksi PT. Wijaya Karya

1. Crane
2. Mesin pemancangan
3. Theodolit

9.8.2 Pekerjaan Poer

Langkah – langkah pekerjaan Poer adalah sebagai berikut :

1. Penggalian poer
2. Pembuatan lantai kerja
3. Pemasangan batako sebagai bekisting poer
4. Pemasangan tulangan poer
5. Pengecoran

9.8.3 Pekerjaan Sloof

Langkah – langkah pekerjaan sloof adalah sebagai berikut

1. Penggalian lubang untuk sloof
2. Pembuatan lantai kerja dan pemasangan batako untuk bekisting
3. Pemasangan tulangan Pengecoran.

9.8.4 Pekerjaan Kolom

Langkah – langkah pekerjaan Poer adalah sebagai berikut :

1. Pekerjaan dilakukan setelah pengecoran poer dan sloof
2. Penulangan kolom
3. Pekerjaan bekisting kolom dipasang setelah tulangan geser dipasang, distud dan selanjutnya setelah semua tulangan terpasangan dilakukan pengecoran.

9.8.5 Pemasangan Elemen Balok

Pemasangan balok pracetak setelah pengecoran kolom. Balok induk dipasang terlebih dulu baru kemudian dilanjutkan pemasangan balok anak. Diperlukan peralatan crane dan scaffolding untuk membantu menunjang balok pracetak. Kemudian dapat dilanjutkan pemasangan tulangan utama pada balok yaitu tulangan pada tumpuan, setelah semua terpasang barulah dilakukan pengecoran.

9.8.6 Pekerjaan Tangga

Langkah – langkah pekerjaan Poer adalah sebagai berikut :

1. Pemasangan bekisting tangga
2. Pemasangan tulangan
3. Pengecoran

9.8.7 Pemasangan Elemen Pelat

Langkah – langkah pekerjaan Poer adalah sebagai berikut :

1. Pemasangan elemen pejal dilakukan setelah pemasangan balok pracetak selesai dilakukan.
2. Penulangan pelat meliputi tulangan lentur dan tulangan stud pelat.
3. Pengecoran overtopping setebal 5 cm
4. Alat yang dipergunakan adalah crane untuk mengangkat elemen pelat pracetak dan dibantu dengan scaffolding.

9.9 Transportasi Elemen Beton Pracetak

9.9.1 Sistem Transportasi

Sistem transportasi disini meliputi :

1. Pemindahan beton pracetak ke areal proyek.
2. Pemindahan dari pabrik ke areal penampungan di proyek.
3. Pemindahan dari penampungan sementara di posisi akhir di proyek.

Pemilihan jenis, ukuran dan kapasitas alat angkut dan angkat seperti truk, mobile crane dan tower crane akan sangat mempengaruhi ukuran komponen beton pracetaknya. Untuk tahap pemindahan komponen beton pracetak dari lokasi pabrik ke areal proyek diperlukan sarana angku seperti truk. Truk yang biasanya digunakan

untuk pengangkutan nerukuran lebar 2.4 m x 16 m atau 2.4 m x 18 m dengan kapasitas angku kurang lebih 50 ton. Untuk komponen tertentu dimana panjangnya cukup panjang hingga mencapai 30 mendapat digunakan truk dimana kapasitasnya mencapai 80 ton. Kendala dalam pemilihan truk adalah kapasitas jalan yang akan dilalui truk, baik dari segi muatan maupun dari segi lebar jalan serta fasilitas untuk memutar/menikung.

Diareal pabrik dan lokasi proyek juga diperlukan sarana untuk pemindahan komponen beton pracetak yang biasa menggunakan mobile – crane,rail – crane, gantry atau tower – crane. Tersedianya alat angkat ini diharapakan akan mempengaruhi ukuran yang diinginkan.

9.9.2 Jadwal Pengangkutan Elemen Beton Pracetak.

Dalam jadwal pengangkatan/pemindahan perlu dipertimbangkan beberapa hal – hal sebagai berikut :

1. Ijin penggunaan jalan utama untuk mobil jenis truk yang diperbolehkan untuk dilewati ke areal proyek.
2. Tersedianya peralatan angkat mobile – crane atau tower – crane yang siap pakai untuk menaikkan/menurunkan elemen pracetak dari dan ke alat angkut baik di areal proyek maupun di lokasi proyek.

BAB X

PENUTUP

BAB X

PENUTUP

10.1 Kesimpulan

Dalam Tugas Akhir ini didapatkan Modifikasi Struktur Tower Gedung Perkantoran PT. Halim Sakti Surabaya dengan metoda Pracetak

Beberapa kesimpulan yang didapatkan :

1. Sistem pracetak dapat dapat dimodelkan dengan berbagai sistem permodelan, diantaranya dengan model " Building Frame System " yang mengacu pada peraturan UBC 1997.
2. Dengan bantuan Program ETABS dapat pula diketahui bahwa dengan pemodelan " Building Frame System " dapat mengurangi gaya – gaya yang terjadi pada frame serta dihasilkan sifat pemodelan yang sesuai dengan ketentuan UBC 1997.
3. Sambunganan antar elemen bangunan seperti sambungan balok – kolom, balok anak – balok induk diusahakan sedemikian rupa sehingga memenuhi kriteria jenis sambungan seperti yang diasumsikan dapat bekerja sesuai dengan yang direncanakan.
4. Pelaksanaan pekerjaan fabrikasi elemen beton pracetak di tempat lain dapat mempercepat pelaksanaan pembangunan, tetapi hal ini membutuhkan keakuratan dalam ukuran dan penyambungan, sehingga asumsi terhadap struktur desain tidak jauh menyimpang dengan kenyataan lapangan.
5. Metode pelaksanaan pembangunan banyak dipengaruhi keadaan lapangan, jenis struktur yang direncanakan maupun waktu yang tersedia.
6. Pelaksanaan metode pracetak menjadi suatu hal yang sangat mungkin untuk diterapkan di Indonesia melihat dari metode pelaksanaannya, namun disini dibutuhkan keahlian dan ketelitian yang tinggi.

10.2 Saran

Melalui Tugas Akhir ini kiranya dapat saya sampaikan beberapa saran – saran sebagai berikut :

- 1 Riset dan pengembangan Teknologi Pracetak perlu dikembangkan untuk kemajuan Sistem Pracetak di Indonesia
- 2 Perlu dibuatnya sebuah Standar Perencanaan Beton Pracetak di Indonesia, baik dari segi perencanaan elemen beton pracetak, perencanaan biaya maupun perencanaan pelaksanaan. Sehingga nantinya teknologi precatak akan lebih banyak dipahami dan diterapkan.
- 3 Pihak – pihak yang terkait diharapkan dapat lebih banyak memberikan pelatihan bagi seluruh komponen jasa konstruksi di Indonesia dan juga lebih mensosialisasikan sistem pracetak secara luas kepada masyarakat.
- 4 Industri Konstruksi Beton Pracetak hendaknya dikembangkan menjadi industri yang membuat elemen – elemen pracetak berdasarkan tuntutan konsumen, seperti segi arsitektur, bentang dan modul. Sehingga beton pracetak menjadi sangat fleksibel dan kompetitif

Demikianlah perencanaan Tower Gedung Perkantoran PT. Halim Sakti Surabaya ini semoga menjadi bermanfaat bagi pembaca.

DAFTAR PUSTAKA

DAFTAR PUSTAKA

1. Departemen Pekerjaan Umum 1991 SKSNI T-15-1991-03 " Tata Cara Perhitungan Struktur Beton Bertulang Untuk Bangunan Gedung ", Penerbit Yayasan LPMB, Bandung.
2. Departemen Pekerjaan Umum 1983 " Pedoman Perencanaan Struktur Beton Bertulang Biasa dan Struktur Tembok bertulang untuk Gedung ", Penerbit Direktorat Jendral Cipta Karya, Bandung.
3. Departemen Pekerjaan Umum 1987 " Pedoman Perencanaan Ketahan Gempa untuk Gedung dan Rumah ", Penerbit Yayasan Badan Penerbit PU.
4. Departemen Pekerjaan Umum 1987 " Peraturan Beton Bertulang Indonesia N.I.-2 ", Penerbit Direktorat Cipta Karya.
5. Departemen Pekerjaan Umum 1983 " Peraturan Pembebanan Indonesia untuk Gedung ", Penerbit Direktorat Jendral Cipta Karya, Bandung.
6. Chu-Kia Wang, Charles G. Salmon, 1990 " Desain Beton Bertulang 1 dan 2 ", Penerbit Erlangga, Jakarta.
7. W.C. Vis, Gideon Kusuma, 1994 " Dasar – Dasar Perencanaan Beton Bertulang 1 dan 2 ", Penerbit Erlangga, Jakarta.
8. PCI 1988 " Design And Typical Detail of Connection for Precast And Presstressd Concrete ", PCI Commitee, Chicago.
9. PCI 1988 " PCI Design Handbook Precast And Presstressed Concrete ", PCI Comitee, Chicago.
10. J.E Bowles 1982 " Foundation Analysis And Design ", International Student Edition.
11. Herman Wahyudi 1993 " Daya Dukung Tiang Pondasi Berdasarkan Hasil dari beberapa Percobaan Penetrasi, Pressiometer dan Aplikasinya ", Teknik Sipil ITS, Surabaya.

12. Jurusan Teknik Sipil ITS 1997 " **Tabel, Grafik dan Diagram Interaksi untuk Perhitungan Beton berdasarkan SNI 1993** ", Kursus singkat Perencanaan Konstruksi Beton Berdasarkan SNI 1993.

LAMPIRAN

TABEL PENULANGAN PELAT SEBELUM KOMPOSIT

$q_u = 521.6 \text{ kg/m}^2$

$= 30 \text{ Mpa}$

320 Mpa

$\rho_{\min} = 0.0044$

Drencana = 10 mm

Type Pelat	dimensi m	Ix m	Iy m	Cx	Cy	M _{ix} kgm	Rn				Rho perlu		As perlu		As pasang	
							arah x	arah y	arah x	arah y	lap. arah x mm ²	lap. arah y mm ²	arah x mm	As mm ²	arah y mm	As mm ²
A	3.3x4.0	3.3	4.0	59	45	335.13	2.06872	2.6083	0.0068	0.0086167	303.7827341	301.5858662	210	392.5	210	392.5
B	2.8x4.0	2.8	4.0	73	44	298.52	1.84273	1.836	0.006	0.0059605	269.2423033	208.6188407	210	392.5	210	392.5
C	3.0x3.3	3.0	3.3	52	45	244.11	1.50684	2.1556	0.0049	0.0070479	218.5611163	246.677341	210	392.5	210	392.5
D	2.8x3.0	2.8	3.0	52	45	212.65	1.31263	1.8778	0.0042	0.0061016	189.6012835	213.5565782	210	392.5	210	392.5
E	3.0x3.3	3.0	3.3	52	45	244.11	1.50684	2.1556	0.0049	0.0070479	218.5611163	246.677341	210	392.5	210	392.5
F	3.3x4.0	3.3	4.0	59	45	335.13	2.06872	2.6083	0.0068	0.0086167	303.7827341	301.5858662	210	392.5	210	392.5

TABEL PENULANGAN PELAT AKIBAT PENGANGKATAN

$q_u = 168 \text{ kg/m}^2$

$f_c' = 30 \text{ Mpa}$

$f_y = 320 \text{ Mpa}$

$\rho_{\min} = 0.0044$

Drencana = 10 mm

Type Pelat	dimensi	a m	b m	Rn		Rho perlu		As perlu		As pasang			
				arah x	arah y	arah x	arah y	lap. arahx mm ²	lap. arah y mm ²	arah x mm	As mm ²	arah y mm	As mm ²
A	3.3x4.0	3.3	4.0	0.24	0.04	0.0008	0.0001288	198	154	175	392.5	210	392.5
B	2.8x4.0	2.8	4.0	0.18	0.03	0.0006	0.0001093	198	154	175	392.5	210	392.5
C	3.0x3.3	3.0	3.3	0.17	0.03	0.0005	7.968E-05	198	154	175	392.5	210	392.5
D	2.8x3.0	2.8	3.0	0.13	0.02	0.0004	6.146E-05	198	154	175	392.5	210	392.5
E	3.0x3.3	3.0	3.3	0.17	0.03	0.0005	7.968E-05	198	154	175	392.5	210	392.5
F	3.3x4.0	3.3	4.0	0.24	0.04	0.0008	0.0001288	198	154	175	392.5	210	392.5

TABEL PENULANGAN PELAT SESUDAH KOMPOSIT

qu = 887.2 kg/m²

30 Mpa

320 Mpa

rho min = 0.0044

Drencana = 10 mm

Type Pelat	dimensi	Ix m	Iy m	Cx	Cy	Mtx kgm	Rn	Rho perlu		As perlu		As pasang		A m	
							arah x	arah y	arah x	arah y	lap. arahx mm ²	lap. arah y mm ²	arah x mm	As mm ²	
A	3.3x4.0	3.3	4.0	46	38	444.43	0.62	0.64	0.0019	0.0020103	418	374	175	549.5	210
B	2.8x4.0	2.8	4.0	53	38	368.65	0.51	0.46	0.0016	0.0014421	418	374	175	549.5	210
C	3.0x3.3	3.0	3.3	42	37	292.14	0.40	0.51	0.0013	0.0016136	418	374	175	549.5	210
D	2.8x3.0	2.8	3.0	42	37	292.14	0.40	0.45	0.0013	0.0014038	418	374	175	549.5	210
E	3.0x3.3	3.0	3.3	42	37	292.14	0.40	0.51	0.0013	0.0016136	418	374	175	549.5	210
F	3.3x4.0	3.3	4.0	46	38	319.96	0.44	0.64	0.0014	0.0020103	418	374	175	549.5	210

Perhitungan Lentur Balok Induk Sesudah Komposit

a
 a
 0.0044
 0.033
 2.55
 mm
 $g = 12 \text{ mm}$
 10 mm

Balok Induk (40/70)

nomor	dimensi			M Nmm	Rn	rho perlu	rho		As perlu		Tulangan
	b m	h m	d m				rho atas	rho bawah	Tul. Atas	Tul. Bawah	Tul. Atas
B-14	400	700	638.5	137458080	1.580482717	0.00765356	0.0077	0.00382678	1954.719161	977.3595806	8D18
B-15	400	700	638.5	100943340	1.160638969	0.005570296	0.0056	0.002785148	1422.653721	711.3288607	8D19
B-15	400	700	638.5	146807690	1.687983833	0.008193249	0.0082	0.004096624	2092.555678	1046.277839	8D19
B-15	400	700	638.5	145741580	1.67572578	0.008131577	0.0081	0.004065789	2076.804831	1038.402415	8D19
B-15	400	700	638.5	144377230	1.660038586	0.008052703	0.0081	0.004026352	2056.860458	1028.330229	8D19
B-15	400	700	638.5	138187960	1.588874822	0.007895597	0.0077	0.003847798	1965.45547	982.7277352	7D19
B-15	400	700	638.5	128187960	1.473895571	0.007121018	0.0071	0.003560509	1818.707918	909.3539589	7D19
B-15	400	700	638.5	133500000	1.534973009	0.00742587	0.0074	0.003712935	1896.567146	948.2635732	6D19

Balok Induk (30/50)

nomor	dimensi			M Nmm	Rn	rho perlu	rho		As perlu		Tulangan Pakai
	b m	h m	d m				rho atas	rho bawah	Tul. Atas	Tul. Bawah	Tul. Atas
B-14	300	500	438.5	350480000	7.594738117	0.029017032	0.008891	0.0044455	1169.61105	584.805525	9D18
B-15	300	500	438.5	335210000	7.26384434	0.027416055	0.008481	0.0042405	1115.67555	557.837775	8D19
B-15	300	500	438.5	325210000	7.047149004	0.026393666	0.008213	0.0041065	1080.42015	540.210075	8D19
B-15	300	500	438.5	308860000	6.692652131	0.024763046	0.007778	0.003889	1023.1959	511.59795	8D19
B-15	300	500	438.5	279890000	6.065085744	0.021988668	0.007013	0.0035065	922.56015	461.280075	7D19
B-15	300	500	438.5	234890000	5.089956735	0.017921526	0.005841	0.0029205	768.38355	384.191775	7D19
B-15	300	500	438.5	176570000	3.826189538	0.013020697	0.004400	0.0022	578.82	289.41	6D19
B-15	300	500	438.5	103870000	2.250114449	0.007375106	0.004400	0.0022	578.82	289.41	6D19

Perhitungan Lentur Balok Induk Sesudah Komposit

$f'_c = 30 \text{ Mpa}$
 $f_y = 320 \text{ Mpa}$
 $\rho_{\min} = 0.0044$
 $\rho_{\max} = 0.033$
 $m = 12.55$
D. Tul. = 19 mm
D. Sengkang = 12 mm
Decking = 40 mm
T. Pelat lantai = 120 mm

Lapangan Balok Induk (40/70)

B19	dimensi			M Nmm	Rn	rho perlu	rho		As perlu		Tulangan Pakai	
	b m	h m	d m				rho atas	rho bawah	Tul. Atas mm ²	Tul. Bawah mm ²	Tul. Atas	Tul. Bawah
atao	400	700	638.5	279234270	2.14040983	0.01399179	0.008891	0.0044455	2270.7614	1135.3807	9D19	5D19
5	400	700	638.5	98047030	0.75155628	0.00476858	0.008481	0.0042405	2166.0474	1063.0237	8D19	5D19
7	400	700	638.5	314493010	2.41067806	0.0158555	0.008213	0.0041065	2097.6002	1048.8001	8D19	4D19
6	400	700	638.5	309050000	2.38895585	0.007778	0.007778	0.003889	1988.5012	993.2508	8D19	4D19
5	400	700	638.5	294471854	2.25721023	0.01479427	0.007013	0.0035065	1791.1202	895.5601	7D19	4D19
4	400	700	638.5	271469851	2.08089335	0.01358458	0.004400	0.0022	1123.76	561.88	4D19	2D19
3	400	700	638.5	237635481	1.82154332	0.01182323	0.004400	0.0022	1123.76	561.88	4D19	2D19
2	400	700	638.5	201027821	1.54093523	0.0099409	0.004400	0.0022	1123.76	561.88	4D19	2D19

Lapangan Balok Induk (30/50)

B17	dimensi			M Nmm	Rn	rho perlu	rho		As perlu		Tulangan Pakai	
	b m	h m	d m				rho atas	rho bawah	Tul. Atas mm ²	Tul. Bawah mm ²	Tul. Atas	Tul. Bawah
atao	300	500	438.5	280180000	8.07136991	0.022014	0.008891	0.0044455	1169.61105	584.805525	9D19	5D19
5	300	500	438.5	252590000	5.47350748	0.01948779	0.008481	0.0042405	1115.67555	557.837775	8D19	5D19
7	300	500	438.5	241630000	5.23600939	0.01851322	0.008213	0.0041065	1080.42015	540.210075	8D19	4D19
6	300	500	438.5	225430000	4.88406295	0.01710049	0.007778	0.003889	1023.1959	511.59795	8D19	4D19
5	300	500	438.5	199290000	4.31852134	0.01488585	0.007013	0.0035065	922.56015	461.280075	7D19	4D19
4	300	500	438.5	161760000	3.50526375	0.0044	0.004400	0.0022	578.82	289.41	4D19	2D19
3	300	500	438.5	113380000	0.24568917	0.0044	0.004400	0.0022	578.82	289.41	4D19	2D19
2	300	500	438.5	54060000	1.17145498	0.0044	0.004400	0.0022	578.82	289.41	4D19	2D19

PENULANGAN LENTUR KOLOM

4 mm

10 mm

$a = 4000 \text{ mm}$

= Tanpa Pengaku

Ju N	M1b Nmm	M2b Nmm	34-12(M1b/M2b)	Jenis kolom	Mn Nmm	Pn N	k _y	k _x	rho	Asp mm
375,2	9056000	964089000	33.88728012	pendek	1205111250	764459	1.194466667	2.35373291	0,01	64
561,5	3663920	408411000	33.89234809	pendek	510513750	1485938	2.32177474	0.997097168	0,01	64
5514	5182200	112525000	33.44735481	pendek	140656250	2159190	3.373734375	0.274719238	0,02	128
6611	8137600	164348300	33.40582775	pendek	205435375	2827685	4.418257813	0.401240967	0,02	128
776,6	5045700	303422100	33.80044829	pendek	379277625	295128	0.461136979	0.740776611	0,02	128
9638	6891900	197225000	33.58066777	pendek	246531250	3032727	4.738635417	0.481506348	0,02	128
7636	11521200	34019400	29.93601298	pendek	42524250	3129393	4.889677083	0.083055176	0,02	128
8906	18673100	186460400	32.7982585	pendek	233075500	4148177	6.481526042	0.455225586	0,02	128

$$5x4000)/240 = 14,16$$

$$12.b.h^3 = 1,1433 \times 10^{10} \text{ mm}^4$$

$$12.h^4 = 3,413 \times 10^{10} \text{ mm}^4$$

$$,5.Ec.lg)/(1+0,8) = 2,44 \times 10^{14} \text{ Nmm}^2$$

$$,4.Ec.lg)/(1+0,8) = 1,9^5 \times 10^{14} \text{ Nmm}^2$$

$$\text{uk }) = 0,85$$

PENULANGAN GESER TUMPUAN KOLOM

$a = 25 \text{ mm}$

$\text{sengkang} = 10 \text{ mm}$

300 mm

$$0 - 40 - 10 - 1/2 \times 25 = 737,5 \text{ mm}$$

N	Nu N	Vu N	Vc N	0,6.Vc N	0,6.0,6.Vc N	Vu<0,5.0,6.Vc pasang	s mm	s maks			s pasang mm
								s1 = 0,5h mm	s2 = 10 db mm	s3 = 200 mm	
458675.2	492843.3	566165.2367	339699.142	169849.57	sengkang minimum	188.4	325	250	200	200	D10
891561.5	249303.3	592186.4307	355311.8584	177655.93	sengkang minlimum	188.4	325	250	200	200	D10
1295514	332944.7	616468.3874	389881.0324	184940.52	sengkang minimum	188.4	325	250	200	200	D10
1696611	305006.8	640578.8973	384347.2184	192173.81	sengkang minlimum	188.4	325	250	200	200	D10
177076.8	277748	549238.0856	329542.8514	184771.43	sengkang minlimum	188.4	325	250	200	200	D10
1819636	246164	647973.8433	388784.306	194392.15	sengkang mlnlimum	188.4	325	250	200	200	D10
1877838	188337.8	651460.2786	390876.166	195438.08	sengkang minlimum	188.4	325	250	200	200	D10
2488906	152651.2	688204.2791	412922.5674	206461.28	sengkang minlimum	188.4	325	250	200	200	D10

PENULANGAN GESER LAPANGAN KOLOM

a = 25 mm

sengkang = 10 mm

00 mm

0 - 40 - 10 - 1/2 x 25 = 737,5 mm

0 Mpa

0 Mpa

n	Nu	Vu	Vc	0,6,Vc	0,5,0,6,Vc	Vu<0,5,0,6,Vc pasang	s mm	s maks			s pasal mm
								s1 = 0,5h mm	s2 = 10 db mm	s3 = 200 mm	
	N	N	N	N	N						
458675,2	492843,3	566165,2367	339699,142	169849,571	sengkang minimum	188,4	325	250	200	200	D10-1
891561,5	249303,3	592186,4307	355311,8584	177655,9292	sengkang minimum	188,4	325	250	200	200	D10-1
1295514	332944,7	616468,3874	369881,0324	184940,5162	sengkang minimum	188,4	325	250	200	200	D10-1
1896611	305006,8	640578,6973	384347,2184	192173,6092	sengkang minimum	188,4	325	250	200	200	D10-1
177076,8	277748	549238,0856	329542,8514	184771,4257	sengkang minimum	188,4	325	250	200	200	D10-1
1819636	246164	647973,8433	388784,306	194392,153	sengkang minimum	188,4	325	250	200	200	D10-1
1877636	186337,8	651460,2766	390876,166	195438,083	sengkang minimum	188,4	325	250	200	200	D10-1
2488906	152851,2	688204,2791	412922,5674	206461,2837	sengkang minimum	188,4	325	250	200	200	D10-1

PENULANGAN LENTUR KOLOM

a
 = 25 mm
 = 10 mm
 b = 4000 mm
 m = Tanpa Pengaku

Vu	M1b Nmm	M2b Nmm	34-12(M1b/M2b)	Jenis kolom	Mn Nmm	Pn N	k _y	k _z	k _{tz}	rho	Asperitas mm ⁻²	Tol pasang
137855	31235400	222716000	32.31702796	pendek	278395000	229758	0.358997396	0.543740234	0.01	6400	16D25	
270921	25716400	155787900	32.01912215	pendek	194734875	451535	0.705523438	0.380341553	0.01	6400	16D25	
537567	39584300	197847800	31.59667651	pendek	247059750	895945	1.399914063	0.482538574	0.02	12800	26D25	
718734	44167800	218621700	31.55326667	pendek	270777125	1197890	1.871703125	0.528861572	0.02	12800	26D25	
898583	50180000	241239000	31.50388619	pendek	301548750	1497638	2.340059896	0.588962402	0.02	12800	26D25	
108895	197279600	92035400	8.277775725	pendek	115044250	181492	0.283580729	0.224695601	0.02	12800	26D25	
119303	13295000	19719600	25.9095722	pendek	24649500	198838	0.310684896	0.048143555	0.02	12800	26D25	
137469	2767000	48343000	33.31315806	pendek	60428750	229115	0.357992188	0.118024902	0.02	12800	26D25	

$$1,85 \times 4000) / 240 = 14,16$$

$$1/12.b.h^3 = 1,1433 \times 10^{10} \text{ mm}^4$$

$$1/12.b.h^4 = 3,413 \times 10^{10} \text{ mm}^4$$

$$(0,5.Ec.lg)/(1+0,8) = 2,44 \times 10^{14} \text{ Nmm}^2$$

$$(0,4.Ec.lg)/(1+0,8) = 1,95 \times 10^{14} \text{ Nmm}^2$$

$$\text{ekuk }) = 0,85$$

PENULANGAN GESER TUMPUAN KOLOM

a = 25 mm

kang = 10 mm

00 mm

- 40 - 10 - 1/2 x 25 = 737,5 mm

Nu N	Vu N	Vc N	0,6.Vc N	0,6.0,6.Vc N	Vu<0,5.0,6.Vc pasang	s mm	s maks			s pasang
							s1 = 0,6h mm	s2 = 10 db mm	s3 = 200 mm	
137855	20407	548880.4392	328128.2835	184064.13	sengkang minimum	188.4	325	250	200	D10-
270921	13839.8	554879.1589	332927.4954	186463.75	sengkang minimum	188.4	325	250	200	D10-
537567	21136.8	570907.4954	342544.4973	171272.25	sengkang minimum	188.4	325	250	200	D10-
718734	21303.6	581797.6106	349078.5664	174539.28	sengkang minimum	188.4	325	250	200	D10-
898583	10248	592608.4995	355565.0997	177782.55	sengkang minimum	188.4	325	250	200	D10-
108895	7995.8	545139.6289	327083.7781	163541.89	sengkang minimum	188.4	325	250	200	D10-
119303	24937	545765.2814	327459.1568	163729.58	sengkang minimum	188.4	325	250	200	D10-
137469	18538.7	548857.2364	328114.3418	184057.17	sengkang minimum	188.4	325	250	200	D10-

PENULANGAN GESER LAPANGAN KOLOM

$\delta = 25 \text{ mm}$

$\delta_{\text{ang}} = 10 \text{ mm}$

$\delta = 0 \text{ mm}$

$40 - 10 - 1/2 \times 25 = 737,5 \text{ mm}$

Mpa

Mpa

No	Vu N	Vc N	0,6.Vc N	0,5.0,6.Vc N	Vu<0,5.0,6.Vc pasang	δ mm	s maks			s pasal
							s1 = 0,5h mm	s2 = 10 db mm	s3 = 200 mm	
137855	20407	546880,4392	328128,2635	164064,1318	sengkang minimum	188,4	325	250	200	D10-1
270921	13639,6	554879,1589	332927,4954	166463,7477	sengkang minimum	188,4	325	250	200	D10-1
537567	21136,8	570907,4954	342544,4973	171272,2486	sengkang minimum	188,4	325	250	200	D10-1
718734	21303,6	581797,6106	349078,5684	174539,2832	sengkang minimum	188,4	325	250	200	D10-1
898583	10248	592608,4995	355565,0997	177782,5499	sengkang minimum	188,4	325	250	200	D10-1
108895	7995,8	545139,6269	327083,7761	163541,8881	sengkang minimum	188,4	325	250	200	D10-1
119303	24937	545765,2614	327459,1588	163729,5784	sengkang minimum	188,4	325	250	200	D10-1
137469	18538,7	546857,2364	328114,3418	164057,1709	sengkang minimum	188,4	325	250	200	D10-1

TABEL PENULANGAN LENTUR SHEARWALL

pa
 tpa
 = 40 mm
 = 12 mm

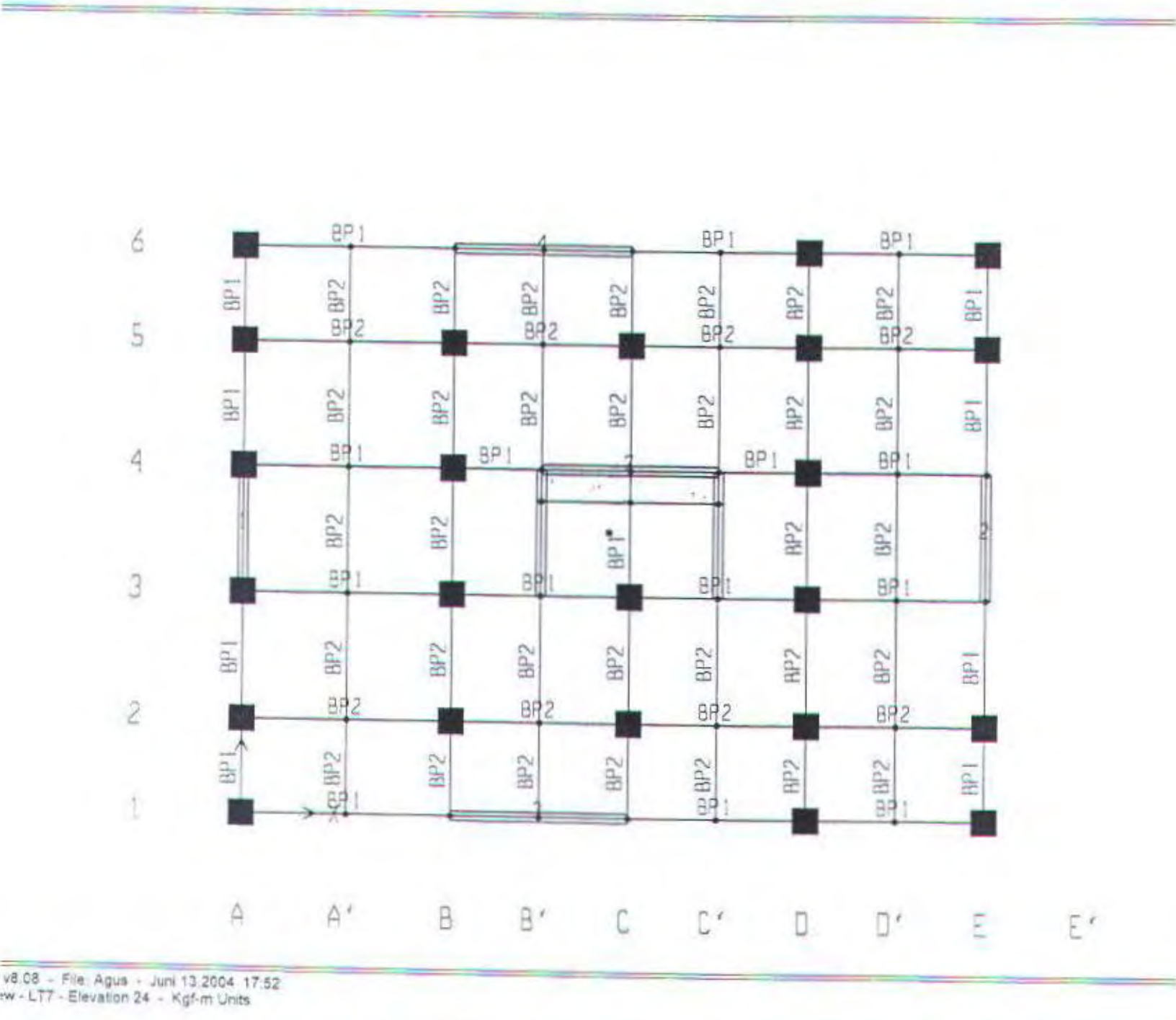
Dimensi				panjang daerah ujung mm	Mu max Nmm	As perlu mm^2	Tul. Pakai		a mm	L mm	Mn Nmm	Mu/0.8 Nmm	ket.	Tul. Pasang daerah ujung	
b mm	b mm	b1 mm	Lw mm				n	As ada mm^2						dalam mm	luar mm
00	500	500	5600	700	11994130	9.18868	2	226.08	9.46	5295.3	363089596	14992662.5	OK	3D12-200	3D12-300
00	500	500	4000	700	38094960	42.5167	2	226.08	9.46	3695.3	287336636	47816700	OK	3D12-200	3D12-300
00	500	500	4000	700	25169830	28.0913	2	226.08	9.46	3695.3	287336636	31482287.5	OK	3D12-200	3D12-300

PENULANGAN GESER SHEARWALL HORIZONTAL

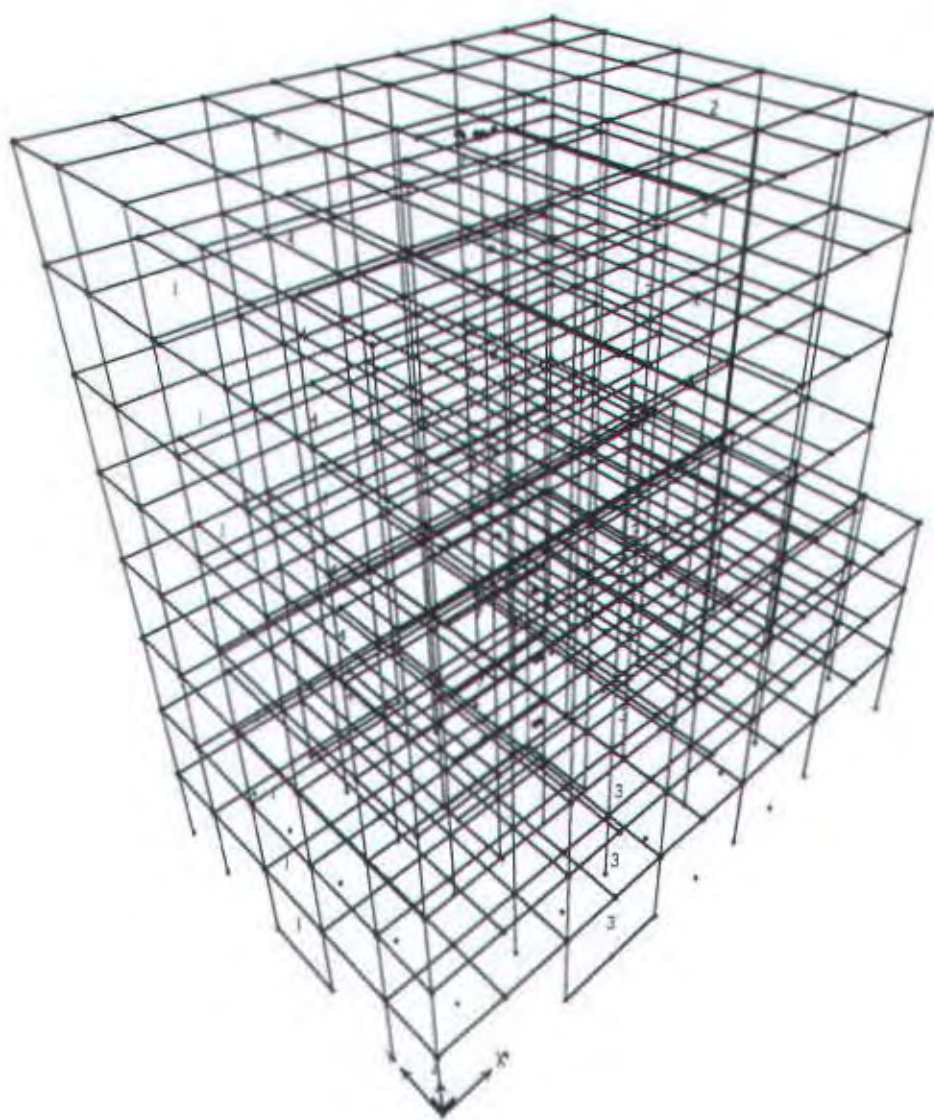
ta
10 mm
ng s.wall = 300 mm

iar

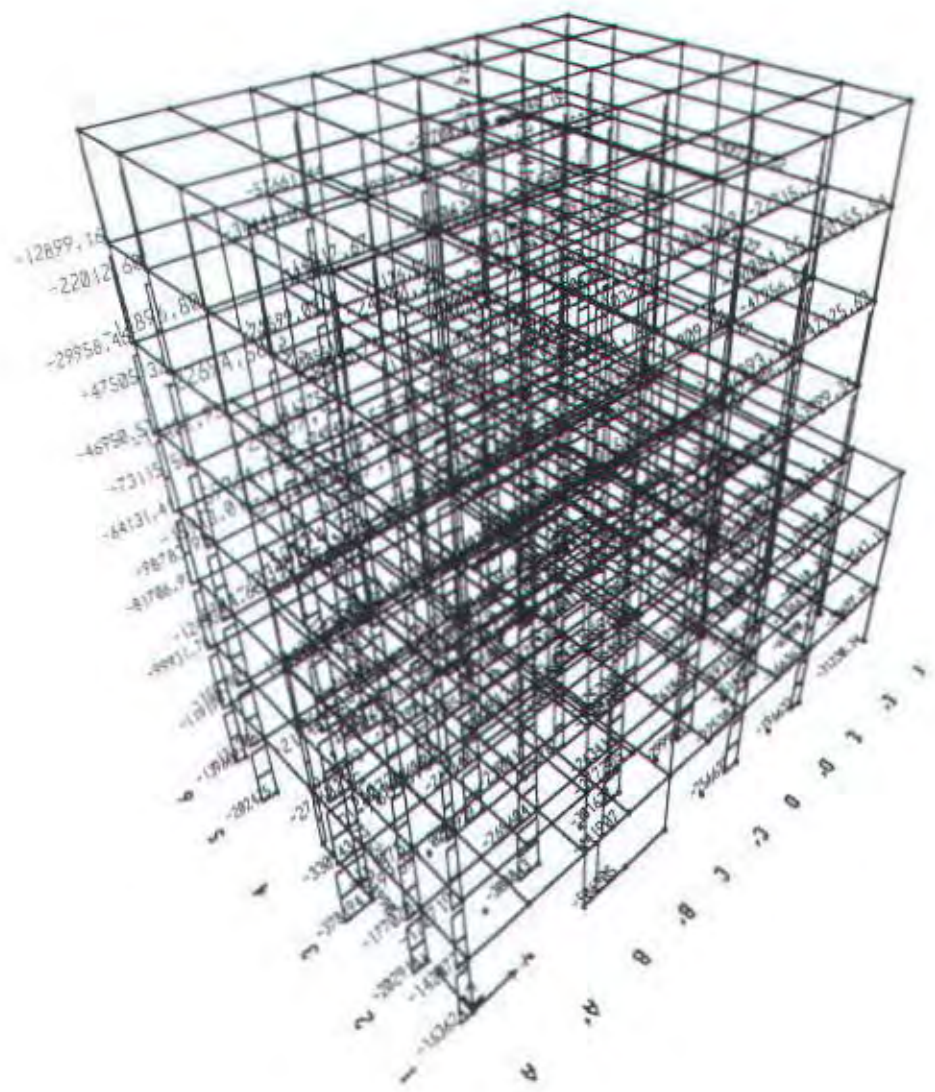
tabel	Lw	Panjang	Mkap,d	ME, dmak	VE,dmak	Vnd mak	s2	syarat jarak			daerah ujung
	mm	daerah ujung	Nmm	Nmm	N	N	mm	3x t.dinding	1/5xLw	450	
300	5600	700	383089596	11994130	30085	874425.9	293.0196821	900	1120	450	D10-30
300	4000	700	267336636	38094960	25472.7	162689.9	208.03	900	1120	450	D10-20
300	5600	700	267336636	25169830	46520.7	449640.9	156.23	900	1120	450	D10-15



v8.08 - File: Aguas - Juni 13.2004 17:52
ew - L77 - Elevation 24 - Kgf-m Units



- File: Agus - Juni 13.2004 17:50
qf-m Units



v8.08 - File: Agus - Juni 16.2004 7:48
n: Zonal Flow Diagram (COMB2) - Krf in Units

ANALISA STRUKTUR UTAMA (ARAH X)

A U T O S E I S M I C U B C 9 7
Case: A

AUTO SEISMIC INPUT DATA

Direction: X + EccY
Typical Eccentricity = 5%
Eccentricity Overrides: No

Period Calculation: User Defined
User T = 0,656

Top Story: ATAP
Bottom Story: BASE

R = 5,5
I = 1

Soil Profile Type = SD
Z = 0,2
Ca = 0,2800
Cv = 0,4000

AUTO SEISMIC CALCULATION FORMULAS

$$V = (Cv \cdot I \cdot W) / (R \cdot T) \quad (\text{Eqn. 1})$$

$$V \leq 2,5 \cdot Ca \cdot I \cdot W / R \quad (\text{Eqn. 2})$$

$$V \geq 0,11 \cdot Ca \cdot I \cdot W \quad (\text{Eqn. 3})$$

If T <= 0,7 sec, then Ft = 0

If T > 0,7 sec, then Ft = 0,07 T V <= 0,25 V

AUTO SEISMIC CALCULATION RESULTS

T Used = 0,6560 sec
W Used = 8817913,10

V (Eqn 1) = 0,1109W
V (Eqn 2) = 0,1273W
V (Eqn 3) = 0,0308W
V (Eqn 4) = 0,0000W

V Used = 0,1109W = 977595,69

Ft Used = 0,00

AUTO SEISMIC STORY FORCES

STORY	X	Y	Z	MX	MY	MZ
ATAP	(Forces reported at X = 11,7153, Y = 8,9585, Z = 32,0000) 320837,62	0,00	0,00	0,000	0,000	-152542,252
L7B	(Forces reported at X = 11,5647, Y = 9,0326, Z = 28,0000) 384766,03	0,00	0,00	0,000	0,000	-102966,895
L7T	(Forces reported at X = 11,5647, Y = 9,0326, Z = 24,0000) 329799,46	0,00	0,00	0,000	0,000	-152467,783
L7S	(Forces reported at X = 11,5647, Y = 9,0326, Z = 20,0000) 274832,88	0,00	0,00	0,000	0,000	-127056,486
L7S	(Forces reported at X = 11,5647, Y = 9,0326, Z = 16,0000) 219866,31	0,00	0,00	0,000	0,000	-101645,188
L74	(Forces reported at X = 13,7185, Y = 9,0281, Z = 12,0000) 191617,15	0,00	0,00	0,000	0,000	-86762,810
L73	(Forces reported at X = 13,8988, Y = 9,0278, Z = 8,0000) 133229,24	0,00	0,00	0,000	0,000	-58574,819
L72	(Forces reported at X = 13,8988, Y = 9,0278, Z = 4,0000) 66614,62	0,00	0,00	0,000	0,000	-30065,634

AUTO SEISMIC DIAPHRAGM FORCES

STORY	DIAPHRAGM	FX	FY	FZ	MX	MY	MZ
ATAP	D1	(Forces reported at X = 11,7153, Y = 8,9585, Z = 32,0000) 319089,99	0,00	0,00	0,000	0,000	-150722,014
LTS	D1	(Forces reported at X = 11,5647, Y = 9,0326, Z = 28,0000) 384233,66	0,00	0,00	0,000	0,000	-102451,898
LT7	D1	(Forces reported at X = 11,5647, Y = 9,0326, Z = 24,0000) 166446,91	0,00	0,00	0,000	0,000	-149802,216
LT6	D1	(Forces reported at X = 11,5647, Y = 9,0326, Z = 20,0000) 138705,76	0,00	0,00	0,000	0,000	-124835,180
LTS	D1	(Forces reported at X = 11,5647, Y = 9,0326, Z = 16,0000) 110964,60	0,00	0,00	0,000	0,000	-99868,144
LT4	D1	(Forces reported at X = 13,7185, Y = 9,0281, Z = 12,0000) 96657,38	0,00	0,00	0,000	0,000	-86991,641
LT3	D1	(Forces reported at X = 13,8988, Y = 9,0278, Z = 8,0000) 65250,91	0,00	0,00	0,000	0,000	-58725,817
LT2	D1	(Forces reported at X = 13,8988, Y = 9,0278, Z = 4,0000) 32625,45	0,00	0,00	0,000	0,000	-29362,909

AUTO SEISMIC POINT FORCES

STORY	POINT	FX	FY	FZ	MX	MY	MZ
ATAP	301	(Point and forces located at X = 12,2000, Y = 10,0000, Z = 32,0000) 1747,63	0,00	0,00	0,000	0,000	0,000
LTS	301	(Point and forces located at X = 12,2000, Y = 10,0000, Z = 28,0000) 532,38	0,00	0,00	0,000	0,000	0,000
LT7	179	(Point and forces located at X = 11,5226, Y = 9,0463, Z = 24,0000) 162896,23	0,00	0,00	0,000	0,000	0,000
LT7	301	(Point and forces located at X = 12,2000, Y = 10,0000, Z = 24,0000) 456,32	0,00	0,00	0,000	0,000	0,000
LT6	179	(Point and forces located at X = 11,5226, Y = 9,0463, Z = 20,0000) 135746,86	0,00	0,00	0,000	0,000	0,000
LT6	301	(Point and forces located at X = 12,2000, Y = 10,0000, Z = 20,0000) 380,27	0,00	0,00	0,000	0,000	0,000
LT5	179	(Point and forces located at X = 11,5226, Y = 9,0463, Z = 16,0000) 108597,49	0,00	0,00	0,000	0,000	0,000
LT5	301	(Point and forces located at X = 12,2000, Y = 10,0000, Z = 16,0000) 304,21	0,00	0,00	0,000	0,000	0,000
LT4	180	(Point and forces located at X = 13,5190, Y = 9,0234, Z = 12,0000) 94731,61	0,72	0,00	0,000	0,000	0,000
LT4	301	(Point and forces located at X = 12,2000, Y = 10,0000, Z = 12,0000) 228,16	0,00	0,00	0,000	0,000	0,000
LT3	181	(Point and forces located at X = 13,6108, Y = 9,0234, Z = 8,0000) 67826,22	0,00	0,00	0,000	0,000	0,000
LT3	301	(Point and forces located at X = 12,2000, Y = 10,0000, Z = 8,0000) 152,11	0,00	0,00	0,000	0,000	0,000
LT2	182	(Point and forces located at X = 13,6108, Y = 9,0463, Z = 4,0000) 33913,11	0,72	0,00	0,000	0,000	0,000
LT2	301	(Point and forces located at X = 12,2000, Y = 10,0000, Z = 4,0000) 76,05	0,00	0,00	0,000	0,000	0,000

ANALISA STRUKTUR UTAMA (ARAH Y)

A U T O S E I S M I C U B C 97
Case: B

AUTO SEISMIC INPUT DATA

Direction: Y + EccX
Typical Eccentricity = 5%
Eccentricity Overrides: No

Period Calculation: User Defined
User T = 0,656

Top Story: ATAP
Bottom Story: BASE

R = 5,5
I = 1

Soil Profile Type = SD
Z = 0,2
Ca = 0,2800
Cv = 0,4000

AUTO SEISMIC CALCULATION FORMULAS

$$V = (Cv I W) / (R \cdot T) \quad (\text{Eqn. 1})$$
$$V \leq 2.5 Ca I W / R \quad (\text{Eqn. 2})$$
$$V \geq 0.11 Ca I W \quad (\text{Eqn. 3})$$

If T <= 0.7 sec, then Ft = 0
If T > 0.7 sec, then Ft = 0.07 T V <= 0.25 V

AUTO SEISMIC CALCULATION RESULTS

T Used = 0,6560 sec
W Used = 8817913,10

V (Eqn 1) = 0,1109W
V (Eqn 2) = 0,1273W
V (Eqn 3) = 0,0308W
V (Eqn 4) = 0,0000W

V Used = 0,1109W = 977595,69
Ft Used = 0,00

AUTO SEISMIC STORY FORCES

STORY	FX	FY	FZ	MO	MY	MZ
ATAP	(Forces reported at X = 11,7153, Y = 8,9585, Z = 32,0000) 0,00	20416,63	0,00	0,000	0,000	197729,675
LTE	(Forces reported at X = 11,5647, Y = 9,0326, Z = 28,0000) 0,00	4674,83	0,00	0,000	0,000	240652,098
L7	(Forces reported at X = 11,5647, Y = 9,0326, Z = 24,0000) 0,00	4007,00	0,00	0,000	0,000	201897,495
L6	(Forces reported at X = 11,5647, Y = 9,0326, Z = 20,0000) 0,00	3339,16	0,00	0,000	0,000	165247,904
L5	(Forces reported at X = 11,5647, Y = 9,0326, Z = 16,0000) 0,00	2671,33	0,00	0,000	0,000	134596,324
L4	(Forces reported at X = 13,7185, Y = 9,0281, Z = 12,0000) 0,00	2153,93	0,00	0,000	0,000	103538,898
L3	(Forces reported at X = 13,8985, Y = 9,0278, Z = 8,0000) 0,00	-2423,20	0,00	0,000	0,000	117155,264
L2	(Forces reported at X = 13,8988, Y = 9,0278, Z = 4,0000) 0,00	-1211,49	0,00	0,000	0,000	58577,600

AUTO SEISMIC DIAPHRAGM FORCES

STORY	DIAPHRAGM	FX	FY	FZ	MX	MY	MZ
ATAP	D1	(Forces reported at X = 11,7153, Y = 8,9585, Z = 32,0000) 0,00 18669,00	0,00	0,000	0,000	0,000	196882,595
LT8	D1	(Forces reported at X = 11,5647, Y = 9,0326, Z = 28,0000) 0,00 4142,46	0,00	0,000	0,000	240313,880	
LT7	D1	(Forces reported at X = 11,5647, Y = 9,0326, Z = 24,0000) 0,00 166446,91	0,00	0,000	0,000	194742,881	
LT6	D1	(Forces reported at X = 11,5647, Y = 9,0326, Z = 20,0000) 0,00 138705,76	0,00	0,000	0,000	162285,734	
LT5	D1	(Forces reported at X = 11,5647, Y = 9,0326, Z = 16,0000) 0,00 110964,60	0,00	0,000	0,000	129828,587	
LT4	D1	(Forces reported at X = 13,7185, Y = 9,0281, Z = 12,0000) 0,00 96657,38	0,00	0,000	0,000	144986,068	
LT3	D1	(Forces reported at X = 13,8988, Y = 9,0278, Z = 8,0000) 0,00 65250,91	0,00	0,000	0,000	97876,382	
LT2	D1	(Forces reported at X = 13,8988, Y = 9,0278, Z = 4,0000) 0,00 32625,45	0,00	0,000	0,000	48930,181	

AUTO SEISMIC POINT FORCES

STORY	POINT	FX	FY	FZ	MX	MY	MZ
ATAP	301	(Point and forces located at X = 12,2000, Y = 10,0000, Z = 32,0000) 0,00 1747,63	0,00	0,000	0,000	0,000	0,000
LT8	301	(Point and forces located at X = 12,2000, Y = 10,0000, Z = 28,0000) 0,00 532,38	0,00	0,000	0,000	0,000	0,000
LT7	179	(Point and forces located at X = 11,5226, Y = 9,0463, Z = 24,0000) 0,00 -162096,23	0,00	0,000	0,000	0,000	0,000
LT7	301	(Point and forces located at X = 12,2000, Y = 10,0000, Z = 24,0000) 0,00 456,32	0,00	0,000	0,000	0,000	0,000
LT6	179	(Point and forces located at X = 11,5226, Y = 9,0463, Z = 20,0000) 0,00 -135746,86	0,00	0,000	0,000	0,000	0,000
LT6	301	(Point and forces located at X = 12,2000, Y = 10,0000, Z = 20,0000) 0,00 380,27	0,00	0,000	0,000	0,000	0,000
LT5	179	(Point and forces located at X = 11,5226, Y = 9,0463, Z = 16,0000) 0,00 -108597,49	0,00	0,000	0,000	0,000	0,000
LT5	301	(Point and forces located at X = 12,2000, Y = 10,0000, Z = 16,0000) 0,00 304,21	0,00	0,000	0,000	0,000	0,000
LT4	180	(Point and forces located at X = 13,5190, Y = 9,0234, Z = 12,0000) 0,00 -94731,61	0,00	0,000	0,000	0,000	0,000
LT4	301	(Point and forces located at X = 12,2000, Y = 10,0000, Z = 12,0000) 0,00 228,16	0,00	0,000	0,000	0,000	0,000
LT3	181	(Point and forces located at X = 13,6108, Y = 9,0234, Z = 8,0000) 0,00 -67826,22	0,00	0,000	0,000	0,000	0,000
LT3	301	(Point and forces located at X = 12,2000, Y = 10,0000, Z = 8,0000) 0,00 152,11	0,00	0,000	0,000	0,000	0,000
LT2	182	(Point and forces located at X = 13,6108, Y = 9,0463, Z = 4,0000) 0,00 -33913,00	0,00	0,000	0,000	0,000	0,000
LT2	301	(Point and forces located at X = 12,2000, Y = 10,0000, Z = 4,0000) 0,00 76,05	0,00	0,000	0,000	0,000	0,000

Story	Item	Load	Point	X	Y	Z	DriftX	DriftY
ATAP	Diaph D1 X	I		66	20.6	0	32	0.000021
ATAP	Diaph D1 Y	I		43	23.4	18	32	0.000064
ATAP	Diaph D1 X	II		66	20.6	0	32	0.000005
ATAP	Diaph D1 Y	II		43	23.4	18	32	0.000019
ATAP	Diaph D1 X	A		66	20.6	0	32	0.005175
ATAP	Diaph D1 Y	A		43	23.4	7	32	0.001377
ATAP	Diaph D1 X	B		66	20.6	0	32	0.000602
ATAP	Diaph D1 Y	B		43	23.4	18	32	0.002868
ATAP	Diaph D1 X	C		71	20.6	18	32	0
ATAP	Diaph D1 Y	C		71	20.6	18	32	0
ATAP	Diaph D1 X	COMB1		66	20.6	0	32	0.000036
ATAP	Diaph D1 Y	COMB1		43	23.4	18	32	0.000149
ATAP	Diaph D1 X	COMB2		66	20.6	0	32	0.005136
ATAP	Diaph D1 Y	COMB2		43	23.4	7	32	0.001222
ATAP	Diaph D1 X	COMB3		66	20.6	0	32	0.000763
ATAP	Diaph D1 Y	COMB3		43	23.4	18	32	0.002713
ATAP	Diaph D1 X	COMB4		66	20.6	0	32	0.005153
ATAP	Diaph D1 Y	COMB4		43	23.4	7	32	0.00129
ATAP	Diaph D1 X	COMB5		66	20.6	0	32	0.000781
ATAP	Diaph D1 Y	COMB5		43	23.4	18	32	0.002781
ATAP	Diaph D1 X	COMB6		66	20.6	0	32	0.014462
ATAP	Diaph D1 Y	COMB6		43	23.4	7	32	0.003746
ATAP	Diaph D1 X	COMB7		66	20.6	0	32	0.002218
ATAP	Diaph D1 Y	COMB7		43	23.4	18	32	0.007922
ATAP	Diaph D1 X	COMB8		66	20.6	0	32	0.014471
ATAP	Diaph D1 Y	COMB8		43	23.4	7	32	0.00378
ATAP	Diaph D1 X	COMB9		66	20.6	0	32	0.002225
ATAP	Diaph D1 Y	COMB9		43	23.4	18	32	0.007849
ATAP	Diaph D1 X	COMB10		66	20.6	0	32	0.000026
ATAP	Diaph D1 Y	COMB10		43	23.4	18	32	0.000102
ATAP	Diaph D1 X	COMB11		66	20.6	0	32	0.005149
ATAP	Diaph D1 Y	COMB11		43	23.4	7	32	0.001275
ATAP	Diaph D1 X	COMB12		66	20.6	0	32	0.000776
ATAP	Diaph D1 Y	COMB12		43	23.4	18	32	0.002786
LT8	Diaph D1 X	I		66	20.6	0	28	0.00002
LT8	Diaph D1 Y	I		43	23.4	18	28	0.000081
LT8	Diaph D1 X	II		66	20.6	0	28	0.000005
LT8	Diaph D1 Y	II		43	23.4	18	28	0.000018
LT8	Diaph D1 X	A		66	20.6	0	28	0.005244
LT8	Diaph D1 Y	A		43	23.4	18	28	0.001382
LT8	Diaph D1 X	B		66	20.6	0	28	0.000632
LT8	Diaph D1 Y	B		43	23.4	18	28	0.002944
LT8	Diaph D1 X	C		71	20.6	18	28	0
LT8	Diaph D1 Y	C		71	20.6	18	28	0
LT8	Diaph D1 X	COMB1		66	20.6	0	28	0.000037
LT8	Diaph D1 Y	COMB1		43	23.4	18	28	0.000144
LT8	Diaph D1 X	COMB2		66	20.6	0	28	0.005206
LT8	Diaph D1 Y	COMB2		43	23.4	18	28	0.001232
LT8	Diaph D1 X	COMB3		66	20.6	0	28	0.000794
LT8	Diaph D1 Y	COMB3		43	23.4	18	28	0.002794
LT8	Diaph D1 X	COMB4		66	20.6	0	28	0.005223
LT8	Diaph D1 Y	COMB4		43	23.4	18	28	0.001298
LT8	Diaph D1 X	COMB5		66	20.6	0	28	0.000811
LT8	Diaph D1 Y	COMB5		43	23.4	18	28	0.00286
LT8	Diaph D1 X	COMB6		66	20.6	0	28	0.014655
LT8	Diaph D1 Y	COMB6		43	23.4	18	28	0.003764

LT8	Diaph D1 X	COMB7	66	20.6	0	28	0.002302	
LT8	Diaph D1 Y	COMB7	43	23.4	18	28		0.008137
LT8	Diaph D1 X	COMB8	66	20.6	0	28	0.014664	
LT8	Diaph D1 Y	COMB8	43	23.4	18	28		0.003797
LT8	Diaph D1 X	COMB9	66	20.6	0	28	0.002309	
LT8	Diaph D1 Y	COMB9	43	23.4	18	28		0.008163
LT8	Diaph D1 X	COMB10	66	20.6	0	28	0.000025	
LT8	Diaph D1 Y	COMB10	43	23.4	18	28		0.000099
LT8	Diaph D1 X	COMB11	66	20.6	0	28	0.005218	
LT8	Diaph D1 Y	COMB11	43	23.4	18	28		0.001283
LT8	Diaph D1 X	COMB12	66	20.6	0	28	0.000806	
LT8	Diaph D1 Y	COMB12	43	23.4	18	28		0.002845
LT7	Diaph D1 X	I	66	20.6	0	24	0.000018	
LT7	Diaph D1 Y	I	43	23.4	18	24		0.000075
LT7	Diaph D1 X	II	66	20.6	0	24	0.000005	
LT7	Diaph D1 Y	II	43	23.4	18	24		0.000017
LT7	Diaph D1 X	A	66	20.6	0	24	0.005151	
LT7	Diaph D1 Y	A	43	23.4	18	24		0.001351
LT7	Diaph D1 X	B	66	20.6	0	24	0.000859	
LT7	Diaph D1 Y	B	43	23.4	18	24		0.003047
LT7	Diaph D1 X	C	71	20.6	18	24	0	
LT7	Diaph D1 Y	C	71	20.6	18	24		0
LT7	Diaph D1 X	COMB1	66	20.6	0	24	0.000033	
LT7	Diaph D1 Y	COMB1	43	23.4	18	24		0.000134
LT7	Diaph D1 X	COMB2	66	20.6	0	24	0.005117	
LT7	Diaph D1 Y	COMB2	43	23.4	18	24		0.001211
LT7	Diaph D1 X	COMB3	66	20.6	0	24	0.000825	
LT7	Diaph D1 Y	COMB3	43	23.4	18	24		0.002907
LT7	Diaph D1 X	COMB4	66	20.6	0	24	0.005132	
LT7	Diaph D1 Y	COMB4	43	23.4	18	24		0.001273
LT7	Diaph D1 X	COMB5	66	20.6	0	24	0.00084	
LT7	Diaph D1 Y	COMB5	43	23.4	18	24		0.002969
LT7	Diaph D1 X	COMB6	66	20.6	0	24	0.014399	
LT7	Diaph D1 Y	COMB6	43	23.4	18	24		0.003684
LT7	Diaph D1 X	COMB7	66	20.6	0	24	0.002381	
LT7	Diaph D1 Y	COMB7	43	23.4	18	24		0.008432
LT7	Diaph D1 X	COMB8	66	20.6	0	24	0.014407	
LT7	Diaph D1 Y	COMB8	43	23.4	18	24		0.003715
LT7	Diaph D1 X	COMB9	66	20.6	0	24	0.002388	
LT7	Diaph D1 Y	COMB9	43	23.4	18	24		0.006457
LT7	Diaph D1 X	COMB10	66	20.6	0	24	0.000023	
LT7	Diaph D1 Y	COMB10	43	23.4	18	24		0.000092
LT7	Diaph D1 X	COMB11	66	20.6	0	24	0.005126	
LT7	Diaph D1 Y	COMB11	43	23.4	18	24		0.001259
LT7	Diaph D1 X	COMB12	66	20.6	0	24	0.000836	
LT7	Diaph D1 Y	COMB12	43	23.4	18	24		0.002954
LT6	Diaph D1 X	I	66	20.6	0	20	0.000016	
LT6	Diaph D1 Y	I	43	23.4	18	20		0.000057
LT6	Diaph D1 X	II	66	20.6	0	20	0.000004	
LT6	Diaph D1 Y	II	43	23.4	18	20		0.000016
LT6	Diaph D1 X	A	66	20.6	0	20	0.004872	
LT6	Diaph D1 Y	A	11	23.4	3	20		0.001269
LT6	Diaph D1 X	B	66	20.6	0	20	0.000865	
LT6	Diaph D1 Y	B	43	23.4	18	20		0.003072
LT6	Diaph D1 X	C	71	20.6	18	20	0	
LT6	Diaph D1 Y	C	71	20.6	18	20		0
LT6	Diaph D1 X	COMB1	66	20.6	0	20	0.000029	



LT6	Diaph D1 Y	COMB1	43	23.4	18	20	0.00012
LT6	Diaph D1 X	COMB2	66	20.6	0	20	0.004842
LT6	Diaph D1 Y	COMB2	11	23.4	3	20	0.001145
LT6	Diaph D1 X	COMB3	66	20.6	0	20	0.000835
LT6	Diaph D1 Y	COMB3	43	23.4	18	20	0.002946
LT6	Diaph D1 X	COMB4	66	20.6	0	20	0.004856
LT6	Diaph D1 Y	COMB4	11	23.4	3	20	0.0012
LT6	Diaph D1 X	COMB5	66	20.6	0	20	0.000845
LT6	Diaph D1 Y	COMB5	43	23.4	18	20	0.003003
LT6	Diaph D1 X	COMB6	66	20.6	0	20	0.013622
LT6	Diaph D1 Y	COMB6	11	23.4	3	20	0.003466
LT6	Diaph D1 X	COMB7	66	20.6	0	20	0.0024
LT6	Diaph D1 Y	COMB7	43	23.4	18	20	0.008515
LT6	Diaph D1 X	COMB8	66	20.6	0	20	0.013629
LT6	Diaph D1 Y	COMB8	11	23.4	3	20	0.003494
LT6	Diaph D1 X	COMB9	66	20.6	0	20	0.002406
LT6	Diaph D1 Y	COMB9	43	23.4	18	20	0.008537
LT6	Diaph D1 X	COMB10	66	20.6	0	20	0.00002
LT6	Diaph D1 Y	COMB10	43	23.4	18	20	0.000082
LT6	Diaph D1 X	COMB11	66	20.6	0	20	0.004853
LT6	Diaph D1 Y	COMB11	11	23.4	3	20	0.001187
LT6	Diaph D1 X	COMB12	66	20.6	0	20	0.000845
LT6	Diaph D1 Y	COMB12	43	23.4	18	20	0.00299
LT5	Diaph D1 X	I	66	20.6	0	16	0.000011
LT5	Diaph D1 Y	I	43	23.4	18	16	0.000056
LT5	Diaph D1 X	II	66	20.6	0	16	0.000003
LT5	Diaph D1 Y	II	43	23.4	18	16	0.000013
LT5	Diaph D1 X	A	66	20.6	0	16	0.004364
LT5	Diaph D1 Y	A	23	23.4	11	16	0.001121
LT5	Diaph D1 X	B	66	20.6	0	16	0.000823
LT5	Diaph D1 Y	B	43	23.4	18	16	0.002929
LT5	Diaph D1 X	C	71	20.6	18	16	0
LT5	Diaph D1 Y	C	71	20.6	18	16	0
LT5	Diaph D1 X	COMB1	66	20.6	0	16	0.000021
LT5	Diaph D1 Y	COMB1	43	23.4	18	16	0.000101
LT5	Diaph D1 X	COMB2	66	20.6	0	16	0.004342
LT5	Diaph D1 Y	COMB2	23	23.4	11	16	0.001016
LT5	Diaph D1 X	COMB3	66	20.6	0	16	0.000801
LT5	Diaph D1 Y	COMB3	43	23.4	18	16	0.002824
LT5	Diaph D1 X	COMB4	66	20.6	0	16	0.004353
LT5	Diaph D1 Y	COMB4	23	23.4	11	16	0.001063
LT5	Diaph D1 X	COMB5	66	20.6	0	16	0.000811
LT5	Diaph D1 Y	COMB5	43	23.4	18	16	0.002871
LT5	Diaph D1 X	COMB6	66	20.6	0	16	0.012205
LT5	Diaph D1 Y	COMB6	23	23.4	11	16	0.003065
LT5	Diaph D1 X	COMB7	66	20.6	0	16	0.002288
LT5	Diaph D1 Y	COMB7	43	23.4	18	16	0.008127
LT5	Diaph D1 X	COMB8	66	20.6	0	16	0.01221
LT5	Diaph D1 Y	COMB8	23	23.4	11	16	0.003089
LT5	Diaph D1 X	COMB9	66	20.6	0	16	0.002293
LT5	Diaph D1 Y	COMB9	43	23.4	18	16	0.008146
LT5	Diaph D1 X	COMB10	66	20.6	0	16	0.000015
LT5	Diaph D1 Y	COMB10	43	23.4	18	16	0.000069
LT5	Diaph D1 X	COMB11	66	20.6	0	16	0.00435
LT5	Diaph D1 Y	COMB12	66	20.6	0	16	0.000808
LT5	Diaph D1 Y	COMB12	43	23.4	18	16	0.00286

LT4	Diaph D1 X	I	78	26.7	0	12	0.000009	
LT4	Diaph D1 Y	I	44	30	18	12		0.000046
LT4	Diaph D1 X	II	78	26.7	0	12	0.000063	
LT4	Diaph D1 Y	II	44	30	18	12		0.000011
LT4	Diaph D1 X	A	78	26.7	0	12	0.00359	
LT4	Diaph D1 Y	A	44	30	18	12		0.001308
LT4	Diaph D1 X	B	78	26.7	0	12	0.000714	
LT4	Diaph D1 Y	B	44	30	18	12		0.002962
LT4	Diaph D1 X	C	83	26.7	18	12	0	
LT4	Diaph D1 Y	C	83	26.7	18	12		0
LT4	Diaph D1 X	COMB1	78	26.7	0	12	0.000017	
LT4	Diaph D1 Y	COMB1	44	30	18	12		0.000062
LT4	Diaph D1 X	COMB2	78	26.7	0	12	0.003573	
LT4	Diaph D1 Y	COMB2	44	30	18	12		0.001223
LT4	Diaph D1 X	COMB3	78	26.7	0	12	0.000697	
LT4	Diaph D1 Y	COMB3	44	30	18	12		0.002876
LT4	Diaph D1 X	COMB4	78	26.7	0	12	0.003581	
LT4	Diaph D1 Y	COMB4	44	30	18	12		0.001261
LT4	Diaph D1 X	COMB5	78	26.7	0	12	0.000705	
LT4	Diaph D1 Y	COMB5	44	30	18	12		0.002914
LT4	Diaph D1 X	COMB6	78	26.7	0	12	0.010041	
LT4	Diaph D1 Y	COMB6	44	30	18	12		0.003604
LT4	Diaph D1 X	COMB7	78	26.7	0	12	0.001987	
LT4	Diaph D1 Y	COMB7	44	30	18	12		0.008232
LT4	Diaph D1 X	COMB8	78	26.7	0	12	0.010045	
LT4	Diaph D1 Y	COMB8	44	30	18	12		0.003623
LT4	Diaph D1 X	COMB9	78	26.7	0	12	0.00199	
LT4	Diaph D1 Y	COMB9	44	30	18	12		0.008247
LT4	Diaph D1 X	COMB10	78	26.7	0	12	0.000011	
LT4	Diaph D1 Y	COMB10	44	30	18	12		0.000057
LT4	Diaph D1 X	COMB11	78	26.7	0	12	0.003579	
LT4	Diaph D1 Y	COMB11	44	30	18	12		0.001252
LT4	Diaph D1 X	COMB12	78	26.7	0	12	0.000702	
LT4	Diaph D1 Y	COMB12	44	30	18	12		0.002905
LT3	Diaph D1 X	I	78	26.7	0	8	0.000005	
LT3	Diaph D1 Y	I	44	30	18	8		0.000029
LT3	Diaph D1 X	II	78	26.7	0	8	0.000001	
LT3	Diaph D1 Y	II	44	30	18	8		0.000007
LT3	Diaph D1 X	A	78	26.7	0	8	0.002515	
LT3	Diaph D1 Y	A	44	30	18	8		0.000666
LT3	Diaph D1 X	B	78	26.7	0	8	0.000518	
LT3	Diaph D1 Y	B	44	30	18	8		0.002163
LT3	Diaph D1 X	C	83	26.7	18	8	0	
LT3	Diaph D1 Y	C	83	26.7	18	8		0
LT3	Diaph D1 X	COMB1	78	26.7	0	8	0.00001	
LT3	Diaph D1 Y	COMB1	44	30	18	8		0.000053
LT3	Diaph D1 X	COMB2	78	26.7	0	8	0.002505	
LT3	Diaph D1 Y	COMB2	44	30	18	8		0.000611
LT3	Diaph D1 X	COMB3	78	26.7	0	8	0.000508	
LT3	Diaph D1 Y	COMB3	44	30	18	8		0.002109
LT3	Diaph D1 X	COMB4	78	26.7	0	8	0.002509	
LT3	Diaph D1 Y	COMB4	44	30	18	8		0.000835
LT3	Diaph D1 X	COMB5	78	26.7	0	8	0.000513	
LT3	Diaph D1 Y	COMB5	44	30	18	8		0.002133
LT3	Diaph D1 X	COMB6	78	26.7	0	8	0.007034	
LT3	Diaph D1 Y	COMB6	44	30	18	8		0.002386
LT3	Diaph D1 X	COMB7	78	26.7	0	8	0.001444	

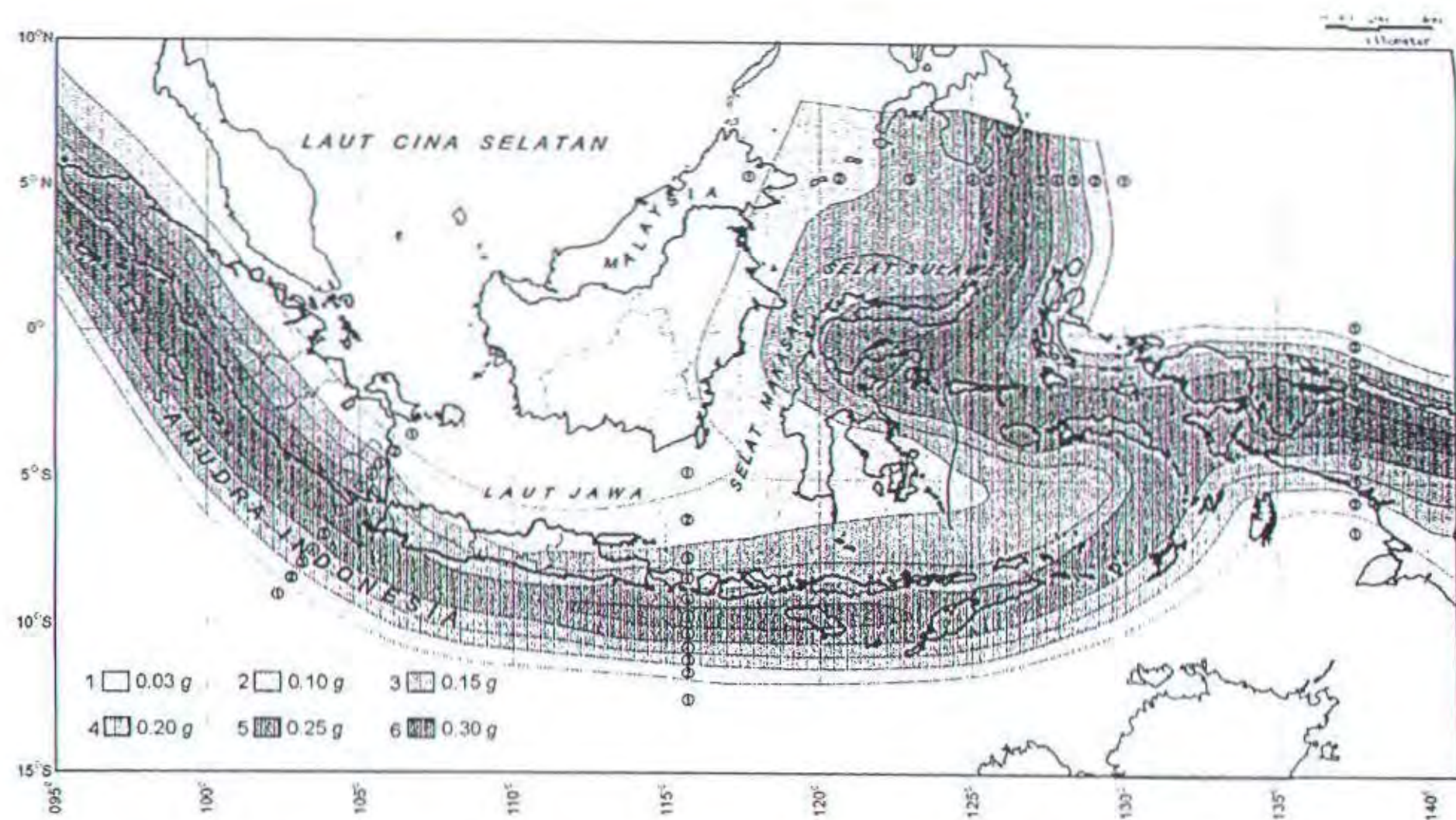
LT3	Diaph D1 Y	COMB7	44	30	18	8	0.006019
LT3	Diaph D1 X	COMB8	78	26.7	0	8	0.007036
LT3	Diaph D1 Y	COMB8	44	30	18	8	0.002398
LT3	Diaph D1 X	COMB9	78	26.7	0	8	0.001445
LT3	Diaph D1 Y	COMB9	44	30	18	8	0.006029
LT3	Diaph D1 X	COMB10	78	26.7	0	8	0.000007
LT3	Diaph D1 Y	COMB10	44	30	18	8	0.000036
LT3	Diaph D1 X	COMB11	78	26.7	0	8	0.002508
LT3	Diaph D1 Y	COMB11	44	30	18	8	0.00083
LT3	Diaph D1 X	COMB12	78	26.7	0	8	0.000511
LT3	Diaph D1 Y	COMB12	44	30	18	8	0.002127
LT2	Diaph D1 X	I	66	20.6	0	4	0.000001
LT2	Diaph D1 Y	I	44	30	18	4	0.00001
LT2	Diaph D1 X	II	66	20.6	0	4	0
LT2	Diaph D1 Y	II	44	30	18	4	0.000002
LT2	Diaph D1 X	A	66	20.6	0	4	0.001051
LT2	Diaph D1 Y	A	44	30	18	4	0.000306
LT2	Diaph D1 X	B	66	20.6	0	4	0.000206
LT2	Diaph D1 Y	B	44	30	18	4	0.000901
LT2	Diaph D1 X	C	71	20.6	18	4	0
LT2	Diaph D1 Y	C	71	20.6	18	4	0
LT2	Diaph D1 X	COMB1	66	20.6	0	4	0.000003
LT2	Diaph D1 Y	COMB1	44	30	18	4	0.000018
LT2	Diaph D1 X	COMB2	66	20.6	0	4	0.001048
LT2	Diaph D1 Y	COMB2	44	30	18	4	0.000287
LT2	Diaph D1 X	COMB3	66	20.6	0	4	0.000203
LT2	Diaph D1 Y	COMB3	44	30	18	4	0.000882
LT2	Diaph D1 X	COMB4	66	20.6	0	4	0.001049
LT2	Diaph D1 Y	COMB4	44	30	18	4	0.000295
LT2	Diaph D1 X	COMB5	66	20.6	0	4	0.000205
LT2	Diaph D1 Y	COMB5	44	30	18	4	0.000891
LT2	Diaph D1 X	COMB6	66	20.6	0	4	0.00294
LT2	Diaph D1 Y	COMB6	44	30	18	4	0.000842
LT2	Diaph D1 X	COMB7	66	20.6	0	4	0.000576
LT2	Diaph D1 Y	COMB7	44	30	18	4	0.002511
LT2	Diaph D1 X	COMB8	66	20.6	0	4	0.002941
LT2	Diaph D1 Y	COMB8	44	30	18	4	0.000847
LT2	Diaph D1 X	COMB9	66	20.6	0	4	0.000576
LT2	Diaph D1 Y	COMB9	44	30	18	4	0.002514
LT2	Diaph D1 X	COMB10	66	20.6	0	4	0.000002
LT2	Diaph D1 Y	COMB10	44	30	18	4	0.000013
LT2	Diaph D1 X	COMB11	66	20.6	0	4	0.001049
LT2	Diaph D1 Y	COMB11	44	30	18	4	0.000293
LT2	Diaph D1 X	COMB12	66	20.6	0	4	0.000204
LT2	Diaph D1 Y	COMB12	44	30	18	4	0.000889

OUTPUT SHEARWALL

Story	Pier	Load	Loc	P	V2	V3	T	M2	M3
ATAP		2 COMB1	Bottom	-45042.6	-3501.2	-0.66	-0.144	0	-8293.111
ATAP		2 COMB2	Top	-31975.7	7773.24	122.51	-8.953	0	-28574.82
ATAP		2 COMB2	Bottom	-49734.62	7773.24	122.51	-0.131	0	2693.246
ATAP		2 COMB3	Top	-30838.59	123.82	0.27	-23.957	0	-55396.08
ATAP		2 COMB3	Bottom	-48597.51	123.82	0.27	17.485	0	-54511.15
ATAP		2 COMB4	Top	-20035.78	9305.11	122.82	-9.081	0	-31110.52
ATAP		2 COMB4	Bottom	-32028.82	9305.11	122.82	-0.066	0	6294.572
ATAP		2 COMB5	Top	-18898.68	1655.69	0.59	-24.084	0	-57931.78
ATAP		2 COMB5	Bottom	-30891.71	1655.69	0.59	17.55	0	-50909.83
ATAP		2 COMB6	Top	-26028.39	29420.36	344.44	-25.681	0	-92530.93
ATAP		2 COMB6	Bottom	-39866.51	29420.36	344.44	-0.053	0	25686.05
ATAP		2 COMB7	Top	-22844.5	8001.99	2.2	-67.691	0	-167630.4
ATAP		2 COMB7	Bottom	-36682.62	8001.99	2.2	49.273	0	-134486.3
ATAP		2 COMB8	Top	-19558.78	30218.79	344.59	-25.746	0	-93842.91
ATAP		2 COMB8	Bottom	-29937.37	30218.79	344.59	-0.02	0	27572.61
ATAP		2 COMB9	Top	-18009.45	8614.14	2.32	-67.742	0	-168641.2
ATAP		2 COMB9	Bottom	-29425.9	8614.14	2.32	49.299	0	-133044.7
LT8		2 COMB1	Top	-79772.71	-2813.87	-1.56	0.668	0	-1901.451
LT8		2 COMB1	Bottom	-95917.18	-2813.87	-1.56	-0.359	0	-13203.28
LT8		2 COMB2	Top	-86967.86	15449.56	295	-41.041	0	-26895.16
LT8		2 COMB2	Bottom	-104726.8	15449.56	295	20.082	0	35309.22
LT8		2 COMB3	Top	-84391.01	4549.24	8.08	-48.954	0	-112656.9
LT8		2 COMB3	Bottom	-102149.9	4549.24	8.08	33.439	0	-93536.4
LT8		2 COMB4	Top	-52820.52	16765.94	295.74	-41.348	0	-26268.65
LT8		2 COMB4	Bottom	-64813.56	16765.94	295.74	20.249	0	41222.63
LT8		2 COMB5	Top	-50243.68	5865.63	8.82	-49.261	0	-112030.4
LT8		2 COMB5	Bottom	-62236.72	5865.63	8.82	33.605	0	-87623
LT8		2 COMB6	Top	-68747.13	49372.63	829.37	-116.37	0	-71056.01
LT8		2 COMB6	Bottom	-82585.25	49372.63	829.37	57.012	0	127672.6
LT8		2 COMB7	Top	-61531.98	18851.75	25.99	-138.525	0	-311188.8
LT8		2 COMB7	Bottom	-75370.1	18851.75	25.99	94.409	0	-233095.1
LT8		2 COMB8	Top	-50684.65	50028.91	829.73	-116.524	0	-70657.55
LT8		2 COMB8	Bottom	-61063.24	50028.91	829.73	57.096	0	130706.9
LT8		2 COMB9	Top	-47817.98	19370.07	26.28	-138.646	0	-310919.8
LT8		2 COMB9	Bottom	-59234.43	19370.07	26.28	94.475	0	-230744.5
LT7		2 COMB1	Top	-130713.7	-2585.26	-2.23	0.86	0	-7044.716
LT7		2 COMB1	Bottom	-146858.2	-2585.26	-2.23	-0.41	0	-17453.35
LT7		2 COMB2	Top	-141989.8	18803.33	457.43	-58.402	0	6052.637
LT7		2 COMB2	Bottom	-159748.8	18803.33	457.43	26.356	0	81891.1
LT7		2 COMB3	Top	-138029.5	34069.37	15.65	-65.129	0	-153563.4
LT7		2 COMB3	Bottom	-155788.4	34069.37	15.65	39.881	0	-15782.93
LT7		2 COMB4	Top	-85613.44	20019.8	458.5	-58.8	0	9090.852
LT7		2 COMB4	Bottom	-97606.47	20019.8	458.5	26.546	0	89826.42
LT7		2 COMB5	Top	-81653.11	35285.84	16.71	-65.526	0	-150525.2
LT7		2 COMB5	Bottom	-93646.15	35285.84	16.71	40.072	0	-7847.608
LT7		2 COMB6	Top	-111400.7	58263.29	1285.64	-165.398	0	32370.41
LT7		2 COMB6	Bottom	-125238.8	58263.29	1285.64	74.689	0	267321
LT7		2 COMB7	Top	-100311.8	101008.2	48.63	-184.232	0	-414554.6
LT7		2 COMB7	Bottom	-114149.9	101008.2	48.63	112.56	0	-6166.258
LT7		2 COMB8	Top	-81731.44	58867.45	1286.16	-165.597	0	33969.38
LT7		2 COMB8	Bottom	-92110.03	58867.45	1286.16	74.784	0	271352.4
LT7		2 COMB9	Top	-77709.51	101486.6	49.05	-184.389	0	-413336.5

LT7	2 COMB9	Bottom	-89125.96	101486.6	49.05	112.635	0	-3022.327
LT6	2 COMB1	Bottom	-197785.2	-2605.57	-2.63	-0.339	0	-22061.66
LT6	2 COMB2	Top	-196950.9	22394.83	591.55	-62.798	0	53701.25
LT6	2 COMB2	Bottom	-214709.8	22394.83	591.55	21.845	0	144084.4
LT6	2 COMB3	Top	-191653.6	57463.33	22.78	-71.777	0	-77853.06
LT6	2 COMB3	Bottom	-209412.5	57463.33	22.78	36.974	0	154072.5
LT6	2 COMB4	Top	-118349	23620.72	592.81	-63.207	0	58879.57
LT6	2 COMB4	Bottom	-130342	23620.72	592.81	22.003	0	154204.3
LT6	2 COMB5	Top	-113051.6	58689.22	24.04	-72.185	0	-72674.73
LT6	2 COMB5	Bottom	-125044.7	58689.22	24.04	37.131	0	164192.4
LT6	2 COMB6	Top	-153915.7	68363.65	1662.04	-177.752	0	175578.1
LT6	2 COMB6	Bottom	-167753.8	68363.65	1662.04	61.904	-0	451461.9
LT6	2 COMB7	Top	-139083.1	166555.5	69.47	-202.892	0	-192773.9
LT6	2 COMB7	Bottom	-152921.2	166555.5	69.47	104.263	0	479428.8
LT6	2 COMB8	Top	-112642.4	68972.54	1662.66	-177.957	0	178234.6
LT6	2 COMB8	Bottom	-123021	68972.54	1662.66	61.983	0	456573
LT6	2 COMB9	Top	-107594.2	167037.6	69.97	-203.053	0	-190715.6
LT6	2 COMB9	Bottom	-119010.7	167037.6	69.97	104.325	0	483430.5
LT5	2 COMB1	Top	-232539.5	-2427.01	-2.29	0.78	0	-16561.59
LT5	2 COMB1	Bottom	-248684	-2427.01	-2.29	-0.215	0	-26356.86
LT5	2 COMB2	Top	-251780.2	25411.44	673.93	-57.95	0	118397.4
LT5	2 COMB2	Bottom	-269539.1	25411.44	673.93	12.165	0	220945.6
LT5	2 COMB3	Top	-245251.9	76031.77	28.78	-68.538	0	92700.78
LT5	2 COMB3	Bottom	-263010.8	76031.77	28.78	26.38	0	399337
LT5	2 COMB4	Top	-150963.5	26569.5	675.07	-58.313	0	125939.9
LT5	2 COMB4	Bottom	-162956.5	26569.5	675.07	12.265	0	233160.8
LT5	2 COMB5	Top	-144435.2	77189.83	29.91	-68.9	0	100243.3
LT5	2 COMB5	Bottom	-156428.2	77189.83	29.91	26.479	0	411552.2
LT5	2 COMB6	Top	-196124.1	76415.08	1891.96	-163.956	0	367590.1
LT5	2 COMB6	Bottom	-209962.2	76415.08	1891.96	34.53	0	675966.9
LT5	2 COMB7	Top	-177844.7	218152	85.51	-193.601	0	295639.5
LT5	2 COMB7	Bottom	-191682.8	218152	85.51	74.332	0	1175463
LT5	2 COMB8	Top	-143253	76985.01	1892.5	-164.137	0	371417.6
LT5	2 COMB8	Bottom	-153631.6	76985.01	1892.5	34.58	0	682094.5
LT5	2 COMB9	Top	-137473.7	218606.1	85.95	-193.744	0	298626.7
LT5	2 COMB9	Bottom	-148890.1	218606.1	85.95	74.371	0	1180282
LT4	2 COMB1	Top	-328321.4	-2332.68	-2.54	0.672	0	-20865.98
LT4	2 COMB1	Bottom	-344465.9	-2332.68	-2.54	-0.072	0	-30290.19
LT4	2 COMB2	Top	-353135.6	24240.05	780.07	-52.428	0	194138.3
LT4	2 COMB2	Bottom	-370894.5	24240.05	780.07	1.214	0	292109.6
LT4	2 COMB3	Top	-346437	91431.33	34.97	-64.776	0	332483.7
LT4	2 COMB3	Bottom	-364195.9	91431.33	34.97	13.261	0	701267.4
LT4	2 COMB4	Top	-211062.3	25344.69	781.31	-52.741	0	203730.4
LT4	2 COMB4	Bottom	-223055.3	25344.69	781.31	1.247	0	306163.8
LT4	2 COMB5	Top	-204363.7	92535.97	36.2	-65.089	0	342075.9
LT4	2 COMB5	Bottom	-216356.7	92535.97	36.2	13.295	0	715321.6
LT4	2 COMB6	Top	-270200	72934.45	2189.7	-148.257	0	589000.6
LT4	2 COMB6	Bottom	-284038.1	72934.45	2189.7	3.557	0	883772.8
LT4	2 COMB7	Top	-251444	261070	103.4	-182.833	0	976367.8
LT4	2 COMB7	Bottom	-265282.1	261070	103.4	37.289	0	2029415
LT4	2 COMB8	Top	-195597.7	73480.79	2190.3	-148.414	0	593838.2
LT4	2 COMB8	Bottom	-205976.2	73480.79	2190.3	3.574	0	890817.5
LT4	2 COMB9	Top	-194527.5	261503.8	103.88	-182.957	0	980159

LT4	2 COMB9	Bottom	-205943.9	261503.8	103.88	37.303	0	2034958
LT3	2 COMB1	Top	-431203.3	-2275.17	-1.8	0.431	0	-25645.5
LT3	2 COMB1	Bottom	-447347.7	-2275.17	-1.8	0.055	0	-34823.27
LT3	2 COMB2	Top	-459600.9	23486.73	713.88	-34.448	0	272837.2
LT3	2 COMB2	Bottom	-477359.8	23486.73	713.88	-9.421	0	367649.5
LT3	2 COMB3	Top	-453349.5	108084	32.42	-46.23	0	647497.7
LT3	2 COMB3	Bottom	-471108.5	108084	32.42	-2.609	0	1082722
LT3	2 COMB4	Top	-270260.8	24560.24	714.76	-34.649	0	284714.1
LT3	2 COMB4	Bottom	-282253.8	24560.24	714.76	-9.447	0	383856.3
LT3	2 COMB5	Top	-264009.4	109157.5	33.3	-46.431	0	659374.6
LT3	2 COMB5	Bottom	-276002.5	109157.5	33.3	-2.635	0	1098929
LT3	2 COMB6	Top	-344374.1	70702.11	2002.76	-97.391	0	819720.2
LT3	2 COMB6	Bottom	-358212.2	70702.11	2002.76	-26.498	0	1105119
LT3	2 COMB7	Top	-326870.3	307574.5	94.67	-130.379	0	1868770
LT3	2 COMB7	Bottom	-340708.5	307574.5	94.67	-7.425	0	3107323
LT3	2 COMB8	Top	-245924.4	71234.31	2003.18	-97.491	0	825680.9
LT3	2 COMB8	Bottom	-256303	71234.31	2003.18	-26.511	0	1113227
LT3	2 COMB9	Top	-251269.8	307996.5	95.01	-130.458	0	1873456
LT3	2 COMB9	Bottom	-262686.3	307996.5	95.01	-7.436	0	3113711
LT2	2 COMB1	Top	-534988.3	-1112.61	-0.56	0.149	0	-31056.24
LT2	2 COMB1	Bottom	-551132.8	-1112.61	-0.56	0.052	0	-35539.48
LT2	2 COMB2	Top	-567338.9	9789.24	376.74	-12.983	0	358284
LT2	2 COMB2	Bottom	-585097.8	9789.24	376.74	-6.054	0	397816.2
LT2	2 COMB3	Top	-561242.4	147260.6	15.23	-18.154	0	1050798
LT2	2 COMB3	Bottom	-579001.3	147260.6	15.23	-6.121	0	1641309
LT2	2 COMB4	Top	-330357	10315.55	377.02	-13.053	0	372719.3
LT2	2 COMB4	Bottom	-342350.1	10315.55	377.02	-6.079	0	414372.1
LT2	2 COMB5	Top	-324260.5	147786.9	15.51	-18.223	0	1065234
LT2	2 COMB5	Bottom	-336253.5	147786.9	15.51	-6.146	0	1657864
LT2	2 COMB6	Top	-420127.9	29824.69	1056.09	-36.676	0	1070715
LT2	2 COMB6	Bottom	-433966.1	29824.69	1056.09	-17.065	0	1191136
LT2	2 COMB7	Top	-403057.6	414744.4	43.87	-51.154	0	3009755
LT2	2 COMB7	Bottom	-416895.7	414744.4	43.87	-17.253	0	4672915
LT2	2 COMB8	Top	-297628.3	30085.18	1056.22	-36.711	0	1077942
LT2	2 COMB8	Bottom	-308006.9	30085.18	1056.22	-17.077	0	1199413
LT2	2 COMB9	Top	-308621.3	414951.1	43.98	-51.182	0	3015447
LT2	2 COMB9	Bottom	-320037.7	414951.1	43.98	-17.262	0	4679439



PETA GEMPA INDONESIA

TESTANA ENGINEERING, Inc.			A.B.L. 4.1 DRILLING LOG			BOREHOLE #: BH -4		
PROJECT	Tower	LOCATION	-	GROUNDS WATER LEVEL		-	- 6,90 m	
ADDRESS	Jl. Ant. Radenwan Hakkim 100, Surabaya	DEPTH	- 30 m	GROUND SURFACE LEVEL		-	+ 6,00 m	
SLPHL	SOIL DESCRIPTION	STANDAR	PENETRATI	TEST	STRENGTH TEST	ATTERBERG	LIMITS	
			10 20 30	40 50	TYPE C T	0 20 40 60 80 100	CL LS	1 Gs eo
0	Clay, brown, inorganic, some silt, trace sand.				UU 0,20 0	30 55 58		1,66 2,60 1,43 1
1			0,45				37	
2			0,45					
3	Clay, grey, inorganic, some silt, some sand, contains crushed shells, very soft.		0,45					
4			0,45					
5			0,45					
6			0,45					
7	Clay, grey, inorganic, some silt, trace sand, very soft.		0,45		UU 0,06 0	38 60 83	57	1,47 2,61 2,43 1
8			0,45				61	
9			0,45					
10	Clay, grey, inorganic, some silt, some sand, contains crushed shells, medium		0,45					
11	Clay, brown, inorganic, some silt, little sand, medium.		0,45					
12			0,45					
13			0,45					
14			0,45					
15	Clay, grey, inorganic, some silt, little sand, stiff.		0,45					
16			0,45					
17			0,45					
18			0,45					
19			0,45					
20	Clay intercalated, grey, inorganic, some silt, very stiff to hard.		0,45					
21			0,45					
22			0,45					
23			0,45					
24			0,45					
25			0,45					
26			0,45					
27			0,45					
28	Clay, grey, inorganic, some silt, trace sand, stiff to very stiff.		0,45					
29			0,45					
30			0,45					
	End of boring							

LEGEND

0 to 10 % = Trace
 10 to 20 % = Little
 20 to 30 % = Some
 30 to 50 % = A lot

- = Thin Veinlet
- = SPT
- C = Cohesion intercept, kN/m²
- φ = Internal friction angle, deg

UU = Unconsolidated undrained

CU = Consolidated undrained

CD = Consolidated drained

SPT = Standard penetration test (Blakely / R)

qc = Unconsolidated compression strength, kN/m²

C = Water content, %

Wp = Plastic limit, %

WL = Liquid limit, %

G = Bulk density, ton/m³

Gs = Specific gravity

e = Void ratio

Design and Manufacturing Reference

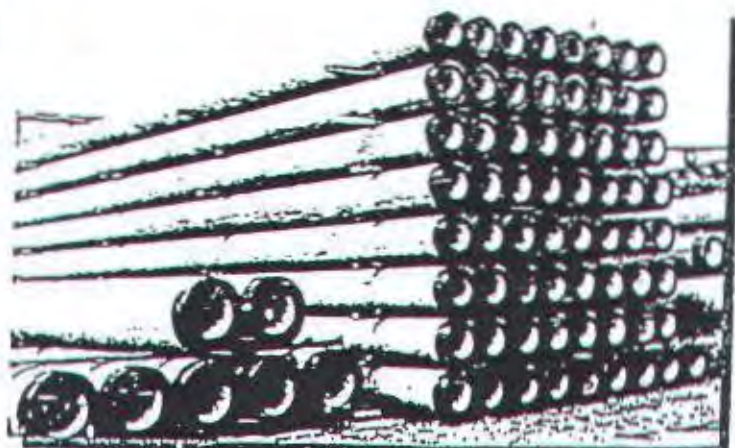
Item	Reference	Description
Design	JIS A 5335 - 1985	Prestressed Spun Concrete Piles
	ACI 543R-74 / 1980	Recommendation for Design, Manufactured and Installation of Concrete Piles
	NI 2 PBI - 1971	Indonesian Concrete Codes
Manufacturing	JIS A 5335 - 1985 WKA-II-IK-007	Prestressed Spun Concrete Piles Piles Manufacturing Works Instruction

Specification of Material

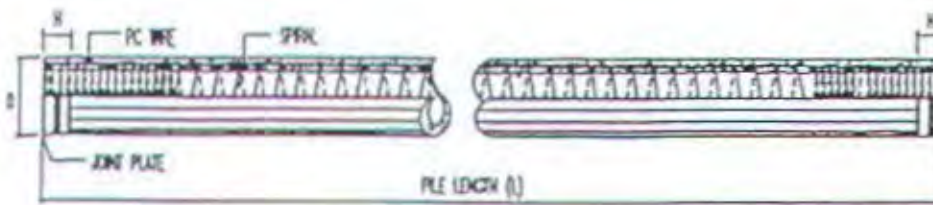
Item	Reference	Description	Specification
Aggregate	ASTM C33 - 1985	Standard specification for Concrete Aggregates	
	NI 2 PBI - 1971	Indonesian Concrete Codes	
Cement	SII 0013 - 1981	Quality and testing method of Portland cements	Standard Product type I Special order: type-II or V
Admixture	ASTM C494 - 1985	Standard specification for chemical admixture for concrete	Type-A: water reducing admixtures
Concrete	JIS A 1132 - 1985	Method of Making and Curing Concrete Specimens	
	JIS A 1108 - 1985	Method of Test Compressive Strength of Concrete	
	NI 2 - PBI - 1971	Indonesian Concrete Codes	Compressive Strength at 28 days : 600 kgf/ cm ²
PC Wire	JIS G 3536 - 1985	Uncoated Stress-Relieved Steel Wire and Strand for Prestressed Concrete	SWPD1
Spiral Wire	JIS A 3532 - 1985	Low Carbon Steel Wire	SWMA
Sheet Plate	JIS G 3101 - 1987	Rolled steel for general structure	SS 41
Welding	ANSI/ AWS D1.1-1990	Structural Welding Code-Steel	AWS A.S.1 / E 6013 NIKKO STEEL RB26/ RD 260, LION-26, or Equivalent

Pile diameter Diameter (mm)	Wall Thickness (mm)	Class	Concrete Cross Section (cm ²)	Section Modulus (cm ³)	Bending Moment Capacity (tf.m)		Allowable Axial Load (kN)
					Crack	Ultimate	
300	60	A2	452	2368,70	42,50	72,60	
		A3		2389,60	43,00	70,75	
		B		2431,40	43,50	67,50	
		C		2478,70	44,00	65,40	
350	65	A1	582	3646,00	3,50	93,10	
		A3		3693,90	4,20	89,50	
		B		3741,70	5,00	86,40	
		C		3787,60	6,00	85,00	
400	75	A2	765	5483,50	5,50	121,10	
		A3		5537,40	6,50	117,60	
		B		5591,30	7,50	114,40	
		C		5678,20	9,00	111,50	
450	80	A1	929	7591,60	7,50	149,50	
		A2		7655,60	8,50	145,80	
		A3		7717,10	10,00	143,80	
		B		7783,80	11,00	139,10	
		C		7929,00	12,50	134,90	
500	90	A1	1159	10505,00	10,50	185,30	
		A2		10579,30	12,50	181,70	
		A3		10653,50	14,00	178,20	
		B		10727,80	15,00	174,90	
		C		10944,60	17,00	169,00	
600	100	A1	1570	17482,80	17,00	252,70	
		A2		17577,70	19,00	249,00	
		A3		17792,70	22,00	243,20	
		B		17949,60	25,00	238,30	
		C		18263,40	29,00	229,50	

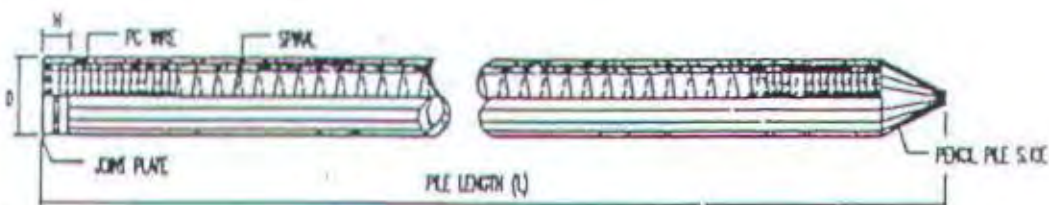
Note: 1) Piles are generally comply to AS A 5335 - 1985
and modified to suit to AIC 543 - 1979, ISCE and PBII - 1971.
2) Specified concrete cube compressive strength is 4000 kg/cm² or 28 days.
3) Allowable axial load is applicable to pile acting as a short pile.



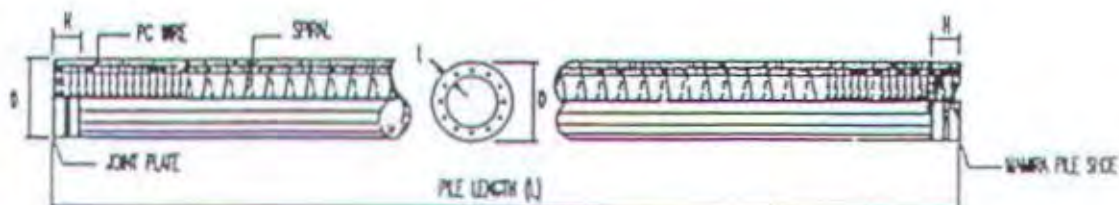
SHAPE AND DIMENSIONS



MIDDLE PILE



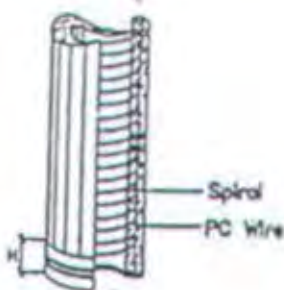
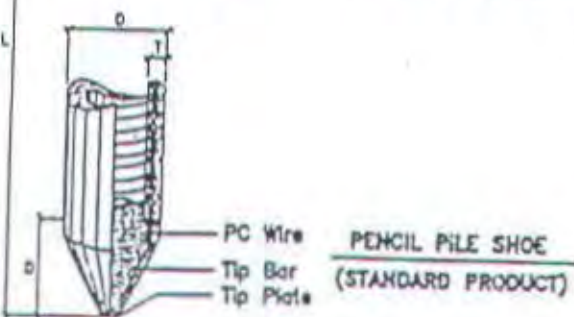
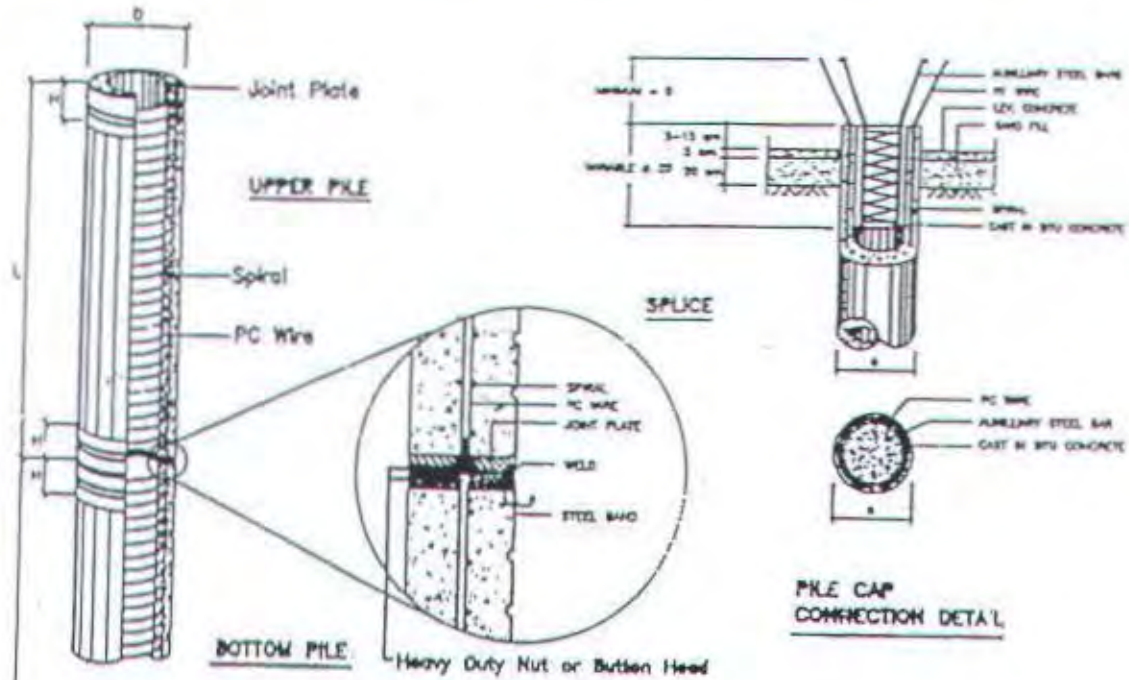
BOTTOM PILE (PENCIL SHOE) (STANDARD PRODUCT)



BOTTOM PILE (MAMIRA SHOE) (SPECIAL DESIGN)

Outside Diameter (D-mm)	Wall Thickness (T-mm)	Length of ¹⁾ Single Pile (L-m)	Steel Band Length ²⁾ (H-mm)	Pencil Shoe Length (D-mm)	Unit Weight ³⁾ (W - kg/m)
300	60	6-13	100	300	110
350	65	6-15	100	350	140
400	75	6-16	150	400	200
450	80	6-16	150	450	240
500	90	6-16	150	500	300
600	100	6-16	150	600	400

PILE HEAD, SPLICE & SHOE



Mamira Pile Shoe
(Special design)

**Thickness
of Weld**

D (mm)	T (mm)	H (mm)	a (mm)
300	60	100	8
350	65	100	10
400	75	150	10
450	80	150	10
500	90	150	10
600	100	150	10

**INTERACTION DIAGRAM
OF BENDING MOMENT & AXIAL LOAD CAPACITY**

